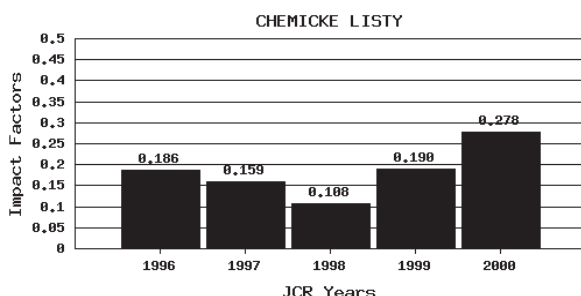


## Chemické listy a Impact factor

Každá vědní disciplína postupně obohacuje a opět redukuje svůj slovník o nové termíny, kterými pojmenovává nové poznatky svého oboru. Jsou ale i nové nebo jen nově objevené pojmy, které jdou napříč všemi vědními disciplínami. Takovým je nepochyběně i termín *impact factor* (IF), který sice řada vědců již dříve někdy slyšela, ale o jeho přesný význam se zajímají méně. A najednou je to termín, resp. dokonce jakési číslo, které kdekdo shání, protože je o ně žádán a je nutné jej uvádět tu i onde. Díky několika jedincům, kteří se jaksi z principu vždy a důsledně snažili přijít všemu na kloub a odhalit pravý význam podobných hodnotících atributů vědecké práce, máme i v české literatuře slušnou bibliografiю publikací na toto téma<sup>1</sup>. V žádném případě není smyslem této ediční poznámky diskusi na téma smysluplnosti IF otevřít. Důvodem je vcelku prozaické upozornění na to, že se odborné veřejnosti otevřel velmi snadný a také docela efektní přístup k jedinému oficiálnímu souboru hodnot IF ve formě elektronické báze dat. Současně ovšem chci jemně upozornit čtenářskou obec na skutečnost, že hodnocení časopisu *Chemické listy* vychází podle posledních dat velmi příznivě a elektronická forma prezentace dat umožňuje názorně graficky demonstrovat impresivní nárůst IF za poslední tři roky (viz obr.). Letmá inspekce řady dalších periodik pak ukáže, že asi jen málo periodik se může pochlubit tak výrazným nárůstem tohoto ukazatele.

**Impact Factor\* Trend Graph**



Reprodukované z ISI® Journal Citation Reports® (JCR®) se svolením majitele copyrightu.

Pro ty, kteří zatím nebyli nuteni údaje o IF shánět a dozvědět se tak, co to vlastně je, připomeňme, že IF je definován zakladatelem praxe citačních rejstříků Eugenem Garfieldem jako poměr počtu odkazů na práce publikované v daném periodiku ve všech sledovaných časopisech v určitém roce (např. v r. 2000) ku celkovému počtu prací publikovaných v daném periodiku během dvou předchozích let (tzn. v r. 1998 a 1999). Jeho stanovení je závislé na excerpti citací spolu se zpracováním daného článku, což je hlavním smyslem vytváření *Science Citation Indexu*, a IF je proto jakýmsi vedlejším produktem této činnosti. Tento rejstřík a jeho producent, *Institute of Scientific Information* ve Philadelphia, jsou proto jediným zdrojem hodnot IF. Tento ústav toho také náležitě využívá a pro zveřejňování IF vydává speciální časopis, *Journal Citation Report*, který má ovšem jen jedno číslo do roka, což se dobře hodí k tomu, aby byl zpřístupňován na médiu

CD-ROM (jedenkrát za rok jeden CD-ROM). Na tomto médiu byl tento zdroj přístupný na několika institucích v České republice (Knihovna AV ČR a VŠCHT v Praze). Vývoj jde ale rychle dál a v současné době je zájemcům nabízeno zpřístupnění ve webovském prostředí jako báze dat ISI® *Journal Citation Reports*® (JCR®). Přístup do této báze byl otevřen na základě přijetí projektu předloženého do programu Informačního zdroje pro výzkum a vývoj (LJ) vyhlášeného MŠMT v r. 1999 prakticky pro všechny vysoké školy a ústavy Akademie věd ČR na adrese: [www.jcrweb.com](http://www.jcrweb.com).

Tato forma je velmi snadno přístupná a ať si již každý myslí o smyslu a významu určování a používání hodnot IF cokoliv, určitě stojí za to se na tento zdroj podívat a elektronicky si v něm zalistovat. V každém případě se najdou zajímavé informace, které jednak poskytují údaje o řadě aspektů produkce vědecké literatury, jednak nepochyběně provokující k souhlasným i nesouhlasným reakcím. Tak např. snadno můžeme získat přehled o souborech časopisů vydávaných jednotlivými nakladateli a současně se také dozvímme, jak extrémní je rozložení vydavatelů od velké řady těch, kteří vydávají právě jeden časopis, až k těm, kteří jich vydávají více než 1000. Snadno zjistíme, jaké časopisy jsou zpracovávány z České republiky (22 titulů) a že i v této skupině *Chemické listy* zaujímají čestné 12. místo v pořadí podle IF, druhé mezi těmi, které jsou vydávány převážně v češtině (zároveň je označuje jako multilanguage). Obořové seskupení titulů zpřehledňuje rozsáhlé disciplíny, jako je právě chemie. Uváděný počet článků v jednotlivých titulech otištěných v daném roce je vůbec velmi zajímavý údaj. Ukazuje na skutečnost, že do souboru zpracovávaných časopisů jsou zařazovány i tituly vycházející jedenkrát za rok, a mající tudíž jen několik přehledných, a proto vysoce citovaných článků. Pokud má někdo údaje o předplatném pro jednotlivé časopisy (nebo si je většinou snadno najde na webovských stránkách vydavatelů), může si zjistit, kolik že vlastně stojí publikace od toho či onoho vydavatele. Relace mezi předplatným a počtem článků (nebo počtem stran) je již dlouho používána jako argument univerzitních knihoven proti cenové politice vydavatelů, nutno ale konstatovat, že většinou zcela neúspěšně.

Snadný přístup k prakticky jediným statistickým údajům o vědeckých časopisech přichází v okamžiku, kdy se i české odborné veřejnosti otevří jak svět elektronických verzí tištěných titulů, tak, zatím v daleko menší míře, časopisy jen elektronické. Současně otevřený přístup k cca 1500 titulům časopisů od několika největších vydavatelů za období 7–8 i více let představuje objem informací, který je na řadě pracovišť již teď větší, než objem literatury uložené v regálech knihoven. Postupně otevřený přístup k primárním článcům ze sekundárních bází dat a podobné vzájemné propojování citací s plnými texty představuje velmi výrazně zefektivnění práce s vědeckou literaturou a už teď je zřejmé, že míra využití publikovaných prací bude vyšší, než v době existence jen tištěných článků. Zda se takový zvýšený zájem o výsledky vědecké práce odrazí i na jejich kvalitě, bude zajímavou otázkou pro budoucnost.

- Exner O.: *Chem. Listy* 87, 719 (1993), a literatura zde citovaná.

Jaroslav Šilhánek

# FOTOLABILNÍ CHRÁNÍCÍ SKUPINY

MIROSLAV ZABADAL a PETR KLÁN

Katedra organické chemie, Přírodovědecká fakulta, Masarykova univerzita, Kotlářská 2, 611 37 Brno  
e-mail: klan@sci.muni.cz

Věnováno profesoru Jaroslavu Jonasovi k 65. narozeninám.

Došlo dne 26.II.2001

Klíčová slova: chránící skupiny, fotochemie, syntéza

## Obsah

1. Úvod
2. 2-Nitrobenzyllová skupina
3. (2-Nitrofenyl)aminová skupina
4. 2-Fenyl-2-oxoethylová skupina
5. Fenoxy- a benzyloxyskupiny
6. 2-(2-Azidofenyl)ethylová skupina
7. Benzensulfonylová skupina
8. Závěr

## 1. Úvod

Syntéza sloučeniny s několika funkčními skupinami je obvykle náročná na počet reakčních stupňů. Při plánování jednotlivých reakcí tak musíme brát v úvahu reaktivitu všech skupin za daných reakčních podmínek, a proto sloučeniny často modifikujeme, abychom vedlejší a nechtěným reakcím zamezili. Jedním z možných způsobů je použití chránících skupin, které funkční skupinu derivatizují a ve vhodném okamžiku ji opět uvolní<sup>1</sup>. Každá taková operace znamená několik syntetických kroků navíc, a proto u nich vyžadujeme selektivitu, vysoké chemické výtěžky, jednoduchost a nízkou cenu realizace. Vznikající vedlejší produkty by měly být netoxicke a dále v reakční směsi nereagovat.

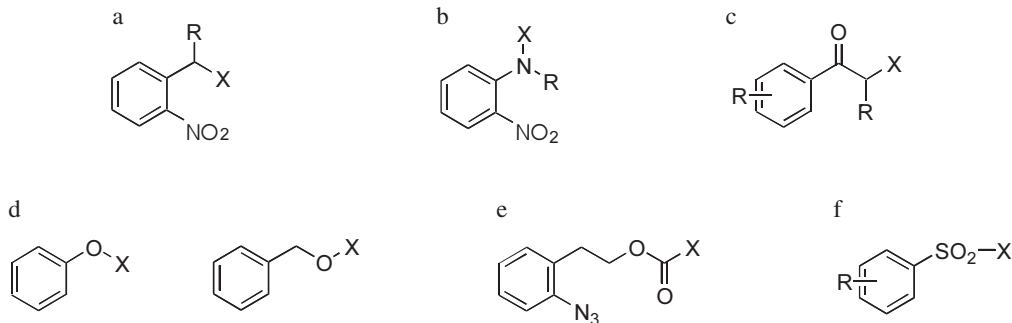
Dnes se s úspěchem používá několik typů chránících skupin (obr. 1), které se z funkční skupiny odstraňují fotochemicky. Nazývají se fotolabilní chránící skupiny<sup>2–6</sup> (PPG – Photolabile (photoremoveable; photoreleasable) Protecting Groups) a jsou předmětem tohoto přehledného článku. Tyto skupiny mají význam nejen pro syntetickou organickou chemii, ale jsou využívány i k chránění funkčních skupin v biologicky významných materiálech. Chrání-li se u biologicky aktivní molekuly funkční skupina, která se podílí na její aktivitě, molekula se někdy označuje jako fotobiologický spouštěč. Fotolýzou se PPG uvolní nebo modifikuje a aktivita molekuly se obnoví<sup>7</sup>. Stejně tak je namísto zmínit se o orthogonalitě chránících skupin<sup>8–10</sup>, které se využívají například při syntézách oligonukleotidů v pevné fázi<sup>11,12</sup>. Kromě všech nároků, které jsou kladený na běžnou chránící skupinu, musí fotolabilní chránící skupina splňovat další dva požadavky: *a*) vysoký kvantový výtěžek a velká rychlosť odštěpení skupiny a *b*) možnost použití širokého rozsahu vlnových délek. Zejména u biologických materiálů usilujeme o PPG, která se bude odstraňovat zářením ve viditelné oblasti, čímž se vyvarujeme fotodestrukce zbytku molekuly. Fotolabilní chránící skupiny mohou být uvolněny přímým ozářením nebo fotosenzibilací, případně fotoreakcí s jinou molekulou.

V tomto článku bychom rádi upozornili na nejpoužívanější fotolabilní chránící skupiny a zároveň na nejnovější trendy v této oblasti fotochemie, a tak navázali na dřívější přehledné články o fotolabilních chránících skupinách<sup>2–4,13,14</sup>.

## 2. 2-Nitrobenzyllová skupina

2-Nitrobenzyllová (NBz) skupina (obr. 1a) je široce užívána a možná nejpopulárnější fotolabilní chránící skupinou pro mnoho funkčních skupin, jako jsou alkoholy<sup>15–17</sup>, karboxylové kyseliny<sup>18,19</sup>, aminy<sup>21–22</sup>, fosfáty<sup>23,24</sup> a thioly<sup>25</sup>, zejména v reakčním prostředí, kde hrozí kyselá hydrolyza. Schéma 1 naznačuje průběh fotoindukovaného odštěpení NBz skupiny chránící karboxylovou funkci.

Mechanismus fotochemického odštěpení NBz skupiny byl studován u 2-nitrobenzylesterů pomocí zábleskové fotolýzy<sup>26,27</sup>. Tripletově excitovaný ester *I* intramolekulárně odště-



Obr. 1. a – 2-Nitrobenzyllová skupina, b – (2-nitrofenyl)aminová skupina, c – 2-phenyl-2-oxoethylová skupina, d – fenoxy- a benzyloxyskupiny, e – 2-(2-azidofenyl)ethylová skupina, f – benzensulfonylová skupina

puje vodík za vzniku biradikálu *II*, tj. dochází k intramolekulární fotoredukcii nitrosokupiny<sup>28</sup>. Reakční sekvence pokračuje přes (1-hydroxy-3-methyl-1,3-dihydro-benzo[c]isoxazol-3-yl)ester *III*, který se štěpí za vzniku 2-nitrosoacetofenonu *IV* a příslušné karboxylové kyseliny *V*. Kinetika fotoindukovaného odštěpení NBz skupiny je závislá na  $\alpha$ -substituentu, přičemž alkyl- a arylsubstituenty významně zvyšují kvantový

výtěžek reakce až na  $\Phi \sim 0,2$ . Postupem let se NBz skupina modifikovala, zejména za účelem zvýšení účinnosti reakce. S úspěchem byly např. použity [2-(2-nitrofenyl)ethoxy]karbonylové a [2-(2-nitrofenyl)ethyl]sulfonylové chránící skupiny v chemii nukleosidů a nukleotidů<sup>29</sup>.

Ve snaze o zjednodušení fotolýzy fotolabilních chránících skupin je v poslední době v popředí zájmu použití chránících

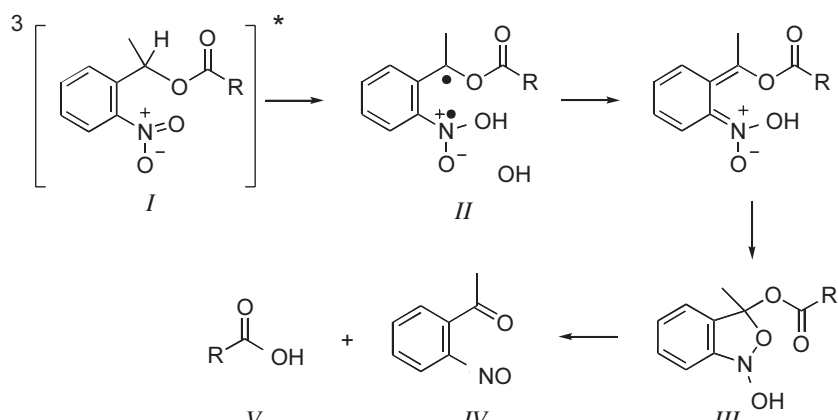


Schéma 1

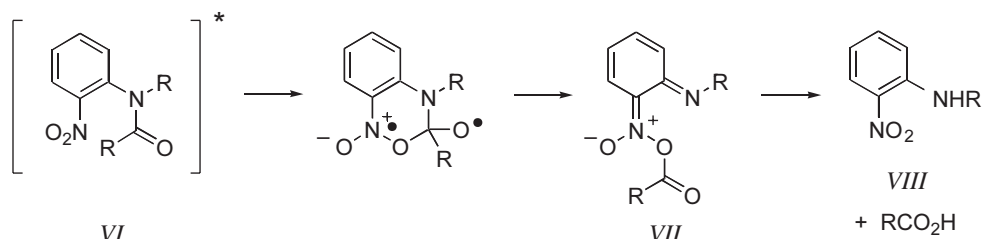


Schéma 2

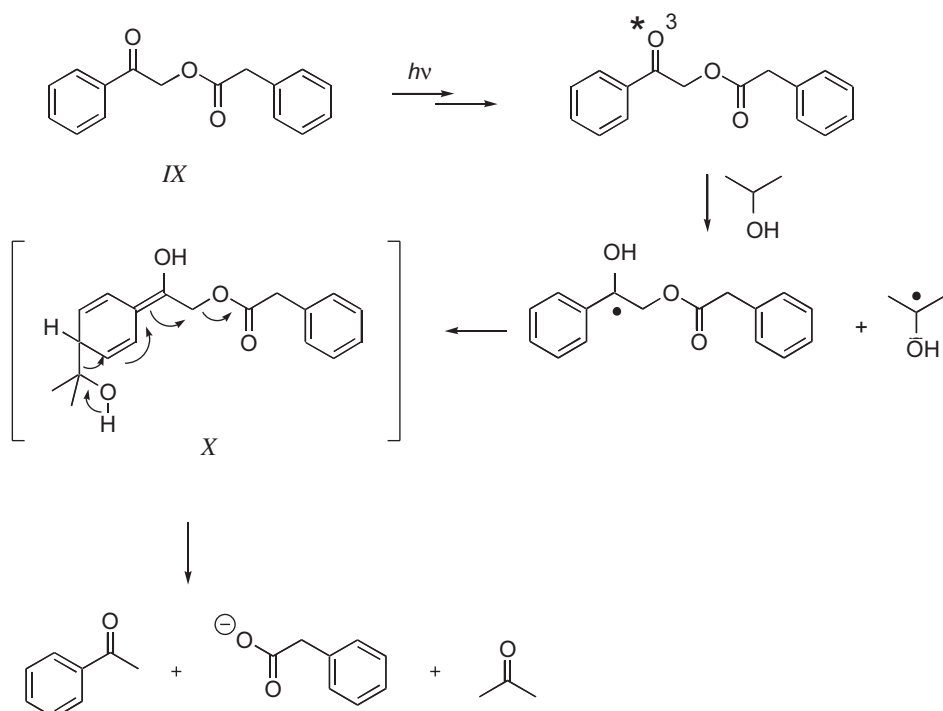


Schéma 3

skupin, které se obejdou bez jakékoli účasti okolního prostředí, tj. které se odštěpují přímým ozářením. Biochemická a biologické aplikace navíc vyžadují vyloučení toxicických látek v průběhu celého procesu a vysokou účinnost reakce. NBz skupina a její deriváty nejsou v tomto ohledu zcela vhodnými, neboť poskytují nitrososloučeniny jako meziprodukty a vedlejší produkty; ty jsou značně reaktivní a navíc absorbují UV záření, čímž snižují kvantový výtěžek reakce.

### 3. (2-Nitrofenyl)aminová skupin

Skupinou strukturně podobnou s NBz skupinou je (2-nitrofenyl)aminoskupina (NPA – 2-NitroPhenylAmino, obr. 1b), která se používá zejména ke chránění karboxylových kyselin<sup>30,31</sup>. Odštěpení skupiny např. z 4,5-dimethoxy-2'-nitroanilidu VI vede k vytvoření volné karboxylové kyseliny. Schéma 2 naznačuje mechanismus, ve kterém se jako meziprodukt tvoří ester alkylidenazinové kyseliny VII a vedlejším produktem je 2-nitro-N-substituovaný anilin VIII.

### 4. 2-Fenyl-2-oxoethylová skupina

Jednou z nejrozšířenějších fotolabilních chránících skupin je 2-fenyl-2-oxoethylová (fenacylová) skupina (PAC – Phen-ACyl, obr. 1c), využívaná pro karboxylové kyseliny<sup>32–36</sup>, fenoly<sup>37</sup>, fosfáty<sup>38</sup> nebo aminy<sup>39,40</sup>. Ve srovnání s NBz skupinou odštěpení PAC probíhá rychleji a s podobnými kvantovými výtěžky, avšak díky svým absorpčním charakteristikám vyžaduje použití záření o kratší vlnové délce. Při některých aplikacích mohou reaktivní radikály, vznikající za určitých podmínek v průběhu reakce, poškodit biologický materiál, tzn. skupina nemusí být vhodný fotochemický spouštěč.

Příkladem mechanismu odštěpení PAC skupiny je fotoindukované odštěpení vodíku z propan-2-olu karboxylovou sku-

pinou PAC esteru fenylooctové kyseliny IX. Vzniklý radikál se fragmentuje, zřejmě přes meziprodukt X, na volnou kyselinu a acetofenon (schéma 3) (cit.<sup>41</sup>). Jde tedy o bimolekulární fotochemickou reakci; přímé ozáření PAC esteru nevede k účinné reakci.

PAC skupina může být uvolněna též fotolýzou za přítomnosti fotosenzibilátoru, který je dobrým donorem elektronu v excitovaném stavu. Výběr senzibilátoru tak předurčuje vlnovou délku použitého záření, což znamená možnost širokého uplatnění v organické syntéze i biochemii. Mechanismus senzibilace, navržený Falveyem, je naznačen ve schématu 4, kde jako donor elektronu vystupuje N,N-dimethylanilin a jako akceptor PAC ester XI (cit.<sup>35,36</sup>). PAC estery karboxylových kyselin mohou být i kovalentně vázané k senzibilátoru (např. N,N-dimethylanilinu) a k uvolnění karboxylové kyseliny dochází díky intramolekulárnímu přenosu elektronu<sup>42</sup>.

V nedávné době studoval Givens se spolupracovníky 2-(4-hydroxyfenyl)-2-oxoethylovou (4-hydroxyfenacylovou) skupinu jako chránící skupinu pro karboxylové kyseliny při syntéze oligopeptidů<sup>43,44</sup>. Tato skupina navíc dříve sloužila ke chránění derivátů kyseliny fosforečné a karboxylových kyselin<sup>45–47</sup>. Její fotolýza probíhá přes tripletový stav a produktem jsou 4-hydroxyfenyloctová a příslušná karboxylová kyselina.

V minulém roce jsme navrhli 2-oxo-2-(2,5-dimethylfenzyl)ethylovou (dimethyl-fenacylovou) chránící skupinu (DMP – DiMethylPhenacyl) pro karboxylové kyseliny<sup>48,49</sup>, sulfáty a fosfáty<sup>50</sup>, která byla koncipována na základě dřívějších studií o-alkylsubstituovaných derivátů acetofenonu<sup>51–53</sup>. Odštěpení této fotolabilní chránící skupiny je založeno na intramolekulárním odštěpení vodíku z methylové skupiny v *ortho* poloze. Jde o přímou fotolýzu, která nepotřebuje spoluúčast žádné další látky. Reakce DMP esteru probíhá přes tripletový excitovaný stav XII, 1,4-biradikál XIII a enol XIV. Odštěpení karboxylové kyseliny v benzenu je doprovázeno vznikem 6-methylindan-1-onu XV (schéma 5). Přítomný nukleofil (např. methanol) atakuje enol a vzniká 2-(methoxymethyl)-5-me-

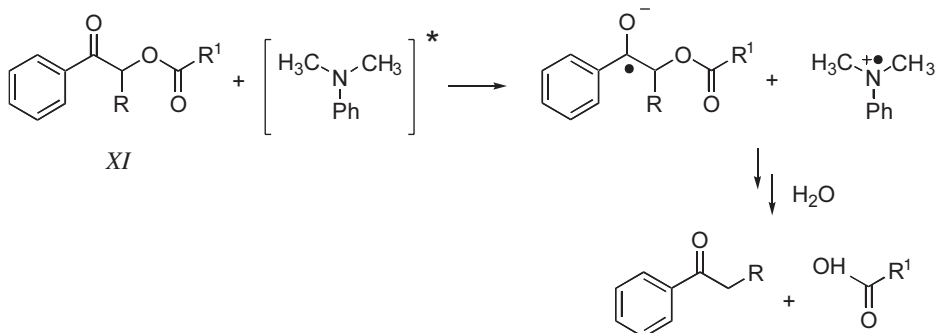
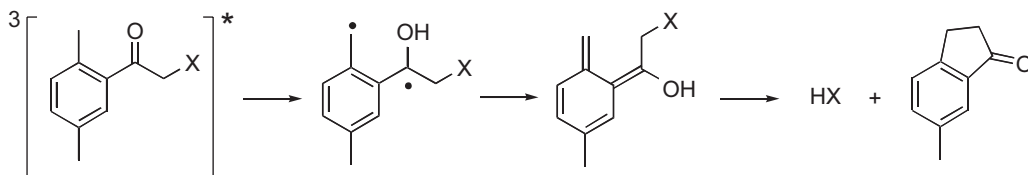


Schéma 4



X = Cl, OCOR

Schéma 5

XII

XIII

XIV

XV

thylacetofenon jako další vedlejší produkt. Kvantové výtěžky DMP esterů jsou srovnatelné s kvantovými výtěžky NBz esterů a fotoprodukty nejsou toxické.

Do řady této skupiny můžeme zařadit i chránící skupiny vycházející ze struktury 1,2-difenyl-2-oxoethylové (desylové: *XI*, R = Ph) skupiny<sup>54–57</sup>. Ozářením této fotolabilní chránící skupiny dochází k  $\alpha$ -štěpení (Norrishově reakci typu I) nebo fotocyklizaci. Ve druhém případě skupina snadno eliminuje substituent v  $\alpha$ -poloze ve formě radikálu za vzniku příslušné kyseliny a fotocyklizačního produktu 2-fenyl-1-benzofuranu, příp. jeho dimeru<sup>58,59</sup>. Derivativace této PPG na karbonát rozšířilo její aplikační možnosti. Skupina se běžně využívá ke chránění 5'-hydroxylové skupiny nukleosidů<sup>60,61</sup>, alkoholu<sup>60</sup>, aminu<sup>55</sup>, thiolu<sup>60</sup>, karboxylových kyselin<sup>62</sup> nebo některých biologicky aktivních peptidů<sup>63</sup>.

## 5. Fenoxy- a benzyloxyskupiny

Odštěpení fenoxykskupiny (obr. 1d) chránící karboxylové kyseliny zahrnuje homolytické štěpení esteru (např. *XVI*) za vzniku fenoxy- a acylradikálů<sup>64,65</sup>. Tyto částice se ve smyslu foto-Friesovy reakce buď rekombinují za vytvoření acylfenolů nebo odštěpí vodík z prostředí za vzniku fenolu a karboxylové kyseliny (schéma 6). Nižší fotochemická účinnost a tvorba reaktivních radikálů poněkud odrazuje od výběru této skupiny jako PPG.

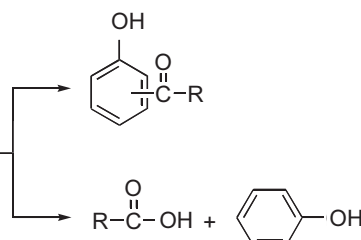
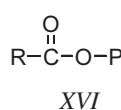


Schéma 6

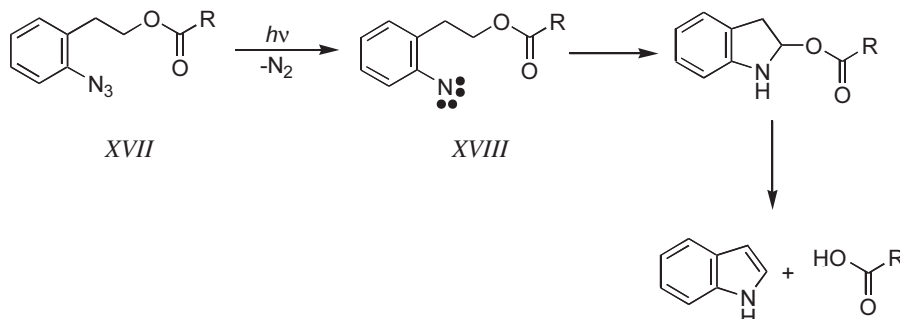


Schéma 7



Schéma 8

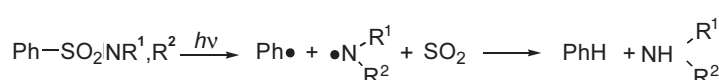


Schéma 9

Jako fotolabilní chránící skupina aminů při syntéze peptidů je často používána benzyloxykarboxylová (obr. 1d) skupina. Reakce probíhá díky heterolytickému štěpení C–O vazby za vytvoření příslušného benzylového kationtu<sup>66</sup>. Odštěpení skupiny obvykle probíhá s vysokými chemickými výtěžky.

## 6. 2-(2-Azidofenyl)ethylová skupina

2-(2-Azidofenyl)ethylová (obr. 1e) fotolabilní chránící skupina dnes patří již mezi klasické chránící skupiny karboxylových kyselin<sup>67</sup>. Mechanismus fotolýzy esteru *XVII* (schéma 7) zahrnuje fragmentaci azidové skupiny na nitren *XVIII* a dusík, následnou cyklizaci a štěpení na pyrrol *XIX* a příslušnou karboxylovou kyselinu *XX*.

## 7. Benzensulfonylová skupina

Do této kategorie zařazujeme estery a amidy sulfonových kyselin. Estery jsou využívány pro chránění hydroxyskupin<sup>68,69</sup>. Mechanismus fotolýzy byl intenzivně studován začátkem 70. let, kdy se zjistilo, že se singletově excitovaná molekula homolyticky štěpí na C–S vazbě za současněho uvolnění oxidu siřičitého a tvorbou alkoxyradikálu, který vytvoří alkohol odštěpením vodíku z prostředí (schéma 8). Kvantové výtěžky fragmentace esterů sulfonových kyselin

se pohybují v rozmezí  $\Phi = 0,02\text{--}0,07$ . Nevýhodou je nutnost použití UV záření s krátkou vlnovou délkou (obvykle ~254 nm), což může vyvolat fotodegradaci výchozího materiálu.

Amidy sulfonových kyselin se po ozáření fragmentují podobně jako estery za vzniku příslušného aminu (schéma 9) (cit.<sup>70</sup>). Uplatňují se především v oblasti chemie aminokyselin a peptidů.

## 8. Závěr

V tomto článku bylo naší snahou představit širší chemické obci klasické i nové fotolabilní chránící skupiny, které našly využití v organické syntéze a biochemii. Článek si neklade za cíl obsáhnout celou problematiku této oblasti chemie, ale spíše upozornit na její nejdůležitější aspekty. V tabulce I jsou fotolabilní chránící skupiny uspořádány podle typu funkční skupiny, která je chráněna. Výčet obsahuje informaci nejen o chemických, ale i fotochemických účinnostech jejich odstranění, tj. uvolnění požadovaného produktu.

Tabulka I  
Přehled použití fotolabilních chránících skupin

Funkční skupina	PPG <sup>a</sup>	Chemické výtěžky [%] (kvantové výtěžky $\Phi$ ) <sup>b</sup>	Lit.
-COOH	NBz	70–100 (0,08–0,21)	18,19,71
	NPA	80–95	30
	PAc	49–100	32–36
	4-hydroxyPAc	n.h. <sup>c</sup> (0,20–0,41)	44
	desyl	57–93 (~0,30)	56,58, 59,62
	DMP	85–95 (0,11–0,25)	48
	1-naftyloxy-karbonyl	8–46	65
	azidoaryl	65–70	67
	NBz	37–100 (0,19–0,27)	15–17
	pixyl (9-fenyl-9H-xanthen-9-yl)	78–97	72
-OH	sulfonyl	62–100 (0,02–0,07)	68,69
	PAc	88–96	37
	desyl	88–98	60
	NBz	~100	20–22
	benzyloxy-karbonyl	70–85	66
-NH <sub>2</sub>	sulfonyl	10–98	70
	PAc	n.h. <sup>c</sup>	39,40
	desyl	n.h. <sup>c</sup>	55
	NBz	90 (0,49–0,63)	23,24,73
	PAc	60–90	38
>C=O	4-hydroxyPAc	n.h. <sup>c</sup> (0,30–0,38)	47
	desyl	n.h. <sup>c</sup> (0,01–0,36)	46
	NBz	86–90	74
	1,3-dithian-2-yl	35–97	75

<sup>a</sup> Zkratky vysvětleny v textu, <sup>b</sup> výtěžky odstranění PPG, <sup>c</sup> neznámá hodnota (nenalezena v literatuře)

## LITERATURA

- Greene T. W., Wuts P. G. M.: *Protective Groups in Organic Chemistry*. Wiley, New York 1999.
- Pillai V. N. R.: *Synthesis* 1980, 1.
- Sammes P. G.: *Q. Rev., Chem. Soc.* 24, 37 (1970).
- Amit B., Zehavi U., Patchornik A.: *Isr. J. Chem.* 12, 103 (1974).
- Pillai V. N. R.: *Org. Photochem.* 9, 225 (1987).
- Zehavi V.: *Adv. Carbohydr. Chem. Biochem.* 46, 179 (1988).
- Willner I., Willner B., v knize: *Biological Applications of Photochemical Switches* (Morrison H., ed.), kap. 1. Wiley, New York 1993.
- Kocienski P. J., v knize: *Protecting Groups* (Thieme Foundations of Organic Chemistry Series). Book News, Portland 2000.
- Gomez-Martinez P., Guibe F., Albericio F.: *Lett. Pept. Sci.* 7, 187 (2000).
- Kim B. M., Cho J. H.: *Tetrahedron Lett.* 40, 5333 (1999).
- McMinn D. L., Hirsch R., Greenberg M. M.: *Tetrahedron Lett.* 39, 4155 (1998).
- Matray T. J., Yoo D. J., McMinn D. L., Greenberg M. M.: *Bioconjug. Chem.* 8, 99 (1997).
- Binkley R. W., Flechtner T. W., v knize: *Synthetic Organic Photochemistry* (Horspool W. M., ed.), str. 375. Plenum Press, New York 1984.
- Binkley R. W.: *Adv. Carbohydr. Chem. Biochem.* 38, 105 (1981).
- Bartholomew D. G., Broom A. D.: *J. Chem. Soc., Chem. Commun.* 1975, 38.
- Uesugi S., Tanaka S., Ohtsuka E., Ikebara M.: *Chem. Pharm. Bull.* 26, 2396 (1978).
- Peng L., Goeldner M.: *J. Org. Chem.* 61, 185 (1996).
- Cama L. D., Christensen B. G.: *J. Am. Chem. Soc.* 100, 8006 (1978).
- Gee K. R., Niu L., Schaper K., Hess G. P.: *J. Org. Chem.* 60, 4260 (1995).
- Kalbag S. M., Roeske R. W.: *J. Am. Chem. Soc.* 97, 440 (1975).
- Cummings R. T., Krafft G. A.: *Tetrahedron Lett.* 29, 65 (1988).
- Cameron J. F., Frechet J. M. J.: *J. Am. Chem. Soc.* 113, 4303 (1991).
- Walker J. W., Reid G. P., McCray J. A., Trentham D. R.: *J. Am. Chem. Soc.* 110, 7170 (1988).
- Reinhard R., Schmidt B. F.: *J. Org. Chem.* 63, 2434 (1998).
- Pillai V. N. R., v knize: *Organic Photochemistry and Photobiology* (Horspool W. M., Song P.-S., ed.), kap. 62. CRC Press, Boca Raton 1994.
- Schupp H., Wong W. K., Schnabel W.: *J. Photochem.* 36, 85 (1987).
- Zhu Q. Q., Schnabel W., Schupp H.: *J. Photochem.* 39, 317 (1987).
- Döpp D., v knize: *Organic Photochemistry and Photobiology* (Horspool W. M., Song P.-S., ed.), kap. 81. CRC Press, Boca Raton 1994.
- Giegrich H., Eisele-Bühler S., Hermann C., Kvasyuk E., Cherabula R., Pfleiderer W.: *Nucleosides Nucleotides* 17, 1987 (1998).

30. Amit B., Patchornik A.: Tetrahedron Lett. 14, 2205 (1973).
31. Amit B., Ben-Efraim D. A., Patchornik A.: J. Am. Chem. Soc. 98, 843 (1976).
32. Stelakatos G. C., Paganou A., Zervas L.: J. Chem. Soc. C 1966, 1191.
33. Sheehan J. C., Umezawa J.: J. Org. Chem. 38, 3771 (1973).
34. Jagdale S. J., Patil S. V., Salunkhe M. M.: Synth. Commun. 26, 1747 (1996).
35. Banerjee A., Falvey D. E.: J. Org. Chem. 62, 6245 (1997).
36. Banerjee A., Lee K., Yu Q., Fang A. G., Falvey D. E.: Tetrahedron Lett. 39, 4635 (1998).
37. Hendrickson J. B., Kendall C.: Tetrahedron Lett. 11, 343 (1970).
38. Banerjee A., Lee K., Falvey D. E.: Tetrahedron 55, 12699 (1999).
39. Fletcher A. R., Jones J. H., Ramage W. I., Stachulski A. V., v knize: *Peptides* (Siemion I. Z., Kupryszewski U., ed.), str. 168. Wrocław University Press, Wrocław 1979.
40. Fletcher A. R., Jones J. H., Ramage W. I., Stachulski A. V.: J. Chem. Soc., Perkin Trans. 1 1979, 2261.
41. Banerjee A., Falvey D. E.: J. Am. Chem. Soc. 120, 2965 (1998).
42. Lee K., Falvey D. E.: J. Am. Chem. Soc. 122, 9361 (2000).
43. Givens R. S., Jung A., Park C.-H., Weber J. F. W., Bartlett W.: J. Am. Chem. Soc. 119, 8369 (1997).
44. Givens R. S., Weber J. F. W., Conrad P. G. II, Orosz G., Donahue S. L., Thayer S. A.: J. Am. Chem. Soc. 122, 2687 (2000).
45. Epstein W. W., Garrossian M.: J. Chem. Soc., Chem. Commun. 1987, 532.
46. Givens R. S., Athey P. S., Matuszewski B., Kueper L. W., Xue J.-Y., Fister T.: J. Am. Chem. Soc. 115, 6001 (1993).
47. Park C.-H., Givens R. S.: J. Am. Chem. Soc. 119, 2453 (1997).
48. Klán P., Zabadal M., Heger D.: Org. Lett. 2, 1569 (2000).
49. Zabadal M., Pelliccioli A. P., Klán P., Wirz J.: J. Phys. Chem. A, v tisku.
50. Klán P., Pospíšil T.: nepublikované výsledky.
51. Pelliccioli A. P., Klán P., Zabadal M., Wirz J.: J. Am. Chem. Soc. 123, 7931 (2001).
52. Wagner P. J., Chen C.-P.: J. Am. Chem. Soc. 98, 239 (1976).
53. Bergmark W. R., Barnes C., Clark J., Paparian S., Marynowski S.: J. Org. Chem. 50, 5612 (1985).
54. Stowell M. H. B., Rock R. S., Rees D. C.: Tetrahedron Lett. 37, 307 (1996).
55. Cameron J. F., Willson C. G., Fréchet J. M.: J. Chem. Soc., Perkin Trans. 1 1997, 2429.
56. Lee H. B., Balasubramanian S.: J. Org. Chem. 64, 3454 (1999).
57. Ueki M., Aoki H., Katoh T.: Tetrahedron Lett. 34, 2783 (1993).
58. Sheehan J. C., Wilson R. M.: J. Am. Chem. Soc. 86, 5277 (1964).
59. Sheehan J. C., Wilson R. M., Oxford A. W.: J. Am. Chem. Soc. 93, 7222 (1971).
60. Pirrung M. C., Bradley J.-C.: J. Org. Chem. 60, 1116 (1995).
61. Pirrung M. C., Bradley J.-C.: J. Org. Chem. 60, 6270 (1995).
62. Shi Y. J., Corrie J. E. T., Wan P.: J. Org. Chem. 62, 8278 (1997).
63. Peach J. M., Pratt A. J., Snaith J. S.: Tetrahedron 51, 10013 (1995).
64. Miranda M. A., v knize: *Organic Photochemistry and Photobiology* (Horspool W. M., Song P.-S., ed.), kap. 47. CRC Press, Boca Raton 1994.
65. Barton D. H. R., Chow Y. L., Cox A., Kirby G. W.: J. Chem. Soc. 1965, 3571.
66. Barltrop J. A., Schofield P.: J. Chem. Soc. 1965, 4758.
67. Barton D. H. R., Sammes P. G., Weingarten G. G.: J. Chem. Soc. C 1971, 721.
68. Seymour F. R.: Carbohydr. Res. 34, 65 (1974).
69. Hanessian S., Masse R.: Carbohydr. Res. 54, 142 (1977).
70. Pincock J. A., Jurgens A.: Tetrahedron Lett. 20, 1029 (1979).
71. Patchornik A., Kraus M. A.: J. Am. Chem. Soc. 92, 7587 (1970).
72. Misetic A., Boyd M. K.: Tetrahedron Lett. 39, 1653 (1998).
73. Kaplan J. H., Forbush B., Hoffman J. F.: Biochemistry 17, 1929 (1978).
74. Hébert J., Gravel D.: Can. J. Chem. 52, 187 (1974).
75. McHale W. A., Kutateladze A. G.: J. Org. Chem. 63, 9924 (1998).

**M. Zabadal and P. Klán** (*Department of Organic Chemistry, Faculty of Science, Masaryk University, Brno*): **Photoremoveable Protecting Groups**

Photoremoveable protecting groups (PPG) are of current interest because of their numerous practical applications, especially in organic synthesis and biological sciences. This review describes the most important families of PPGs: the 2-nitrobenzyl, 2-nitroanilino, phenacyl, phenoxy, azidoaryl, and sulfonic ester groups. It also comments on mechanisms of their photo-induced deprotection in some cases. Chemical and quantum yields of the deprotection are provided.

# INHIBITORY MIKROTUBULŮ

JIŘÍ PATOČKA<sup>a</sup>, ANNA STRUNECKÁ<sup>b</sup>  
a MARIE STIBOROVÁ<sup>c</sup>

<sup>a</sup>Katedra toxikologie, Vojenská lékařská akademie, Šimkova 878, 500 01 Hradec Králové, e-mail: patocka@pmfhk.cz,  
<sup>b</sup>Katedra fyziologie a vývojové biologie, Přírodovědecká fakulta, Univerzita Karlova, Viničná 7, 128 00 Praha 2, <sup>c</sup>Katedra biochemie, Přírodovědecká fakulta, Univerzita Karlova, Albertov 6, 128 43 Praha 2

Došlo dne 27.II.2001

**Klíčová slova:** cytoskelet, mikrotubuly, inhibitor, mitóza, přírodní látky, paclitaxel, kolchicin, protinádorová léčiva

## Obsah

1. Úvod
2. Klasifikace mikrotubulárních inhibitorů
3. Látky blokující polymeraci tubulinu
  - 3.1. Látky vážící se na vazebné místo pro GTP
  - 3.2. Látky vážící se na vazebné místo pro kolchicin
  - 3.3. Látky s dosud nejasným místem vazby
4. Látky stabilizující mikrotubuly
5. Látky dezorganizující mikrotubuly
6. Závěr

## 1. Úvod

Cytoskelet eukaryotických buněk je tvořen komplikovaným pletivem vláknitých proteinových struktur tří druhů: mikrofilamenty, intermediární filamenty a mikrotubuly. Mikrofilamenty tvoří dvojitá šroubovicová vlákna o průměru 8 nm, tvořená F-aktinem (filamentous actin) složeným z monomerních jednotek G-aktinu (globular actin) o molekulové hmotnosti 42 kDa. Intermediární filamenty mohou být tvořeny více typy proteinových podjednotek, např. desminem, vimentinem, keratinem apod. Mají podobu vláken o průměru 10 nm. Nejsilnější vlákna tvoří mikrotubuly, složené ze dvou typů proteinových molekul, z  $\alpha$ -tubulinu (53 kDa) a z  $\beta$ -tubulinu (55 kDa). Heterodimer  $\alpha$ -tubulin/ $\beta$ -tubulin polymerizuje tak, že vytváří šroubovicovou strukturu v podobě dutého válce o vnějším průměru 28 nm a vnitřním 14 nm (obr. 1).

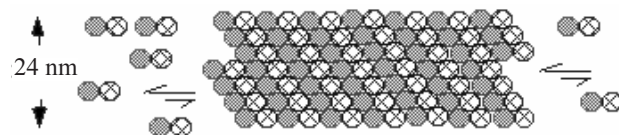
Cytoskelet buněky není rigidní kostrou, nýbrž neobyčejně dynamickým útvarem, který je zodpovědný za její mechanické vlastnosti a podílí se na všech fyziologických pochodech odehrávajících se v každé živé buňce<sup>1</sup>. Odpovídá za všechny druhy buněčného i vnitrobuněčného pohybu, dělení buněk, přesun organel v buňce, pohyb bičíků a rásinek atd. Cytoskelet propojuje navzájem jednotlivé buněčné struktury a vytváří vysoce sofistikovaný prostor s velkým a neobyčejně differencovaným povrchem, na němž dochází k interakci různých

proteinů a signálních molekul. Cytoskelet je zcela nezbytný pro regulaci buněčných pochodů a zachování integrity buňky, čímž zajišťuje její životaschopnost (viabilitu). Dynamika cytoskeletálních změn je podmíněna vratnou a rychlou polymerizací základních proteinových subjednotek do podoby vláken. To je spojeno s neustálým zkracováním a prodlužováním vláken cytoskeletu.

Mikrotubuly se podílejí na všech procesech spojených s dělením buňky<sup>2</sup>. Polymerace a s ní spojené prodlužování mikrotubulů je podmíněno navázáním guanosintrifosátu (GTP) na heterodimer tubulinu. Vazebné místo pro GTP se nachází na  $\beta$ -subjednotce tubulinu. Prodlužování mikrotubulu se děje postupným navazováním heterodimeru  $\alpha$ -tubulin/ $\beta$ -tubulin na tzv. plus konec vlákna, které se šroubovicově stáčí a vždy 13 dimerů vytvoří jeden úplný závit. Při hydrolyze GTP za vzniku guanosindifosátu (GDP) dochází k zablokování dalšího růstu vlákna. Oddělováním dimeru z minus konce vlákna dochází k postupné depolymeraci a zkracování mikrotubulů<sup>3</sup>. Stabilita mikrotubulů ve zdravé buňce je regulována proteiny, nazývanými „microtubule-associated proteins“ (MAP), které kontrolují koncentrace  $\text{Ca}^{2+}$  v buňce<sup>4</sup>. Látky, které se váží na mikrotubuly a brání jim v polymeraci či depolymeraci, mají cytotoxický účinek a jsou označovány jako mitotické jedy, antitubulinové látky, nebo inhibitory mikrotubulů. Mnohé z těchto látek se nacházejí v různých přírodních zdrojích, mikroorganismech, rostlinách, mořských organismech apod. a jsou příčinou jejich vysoké toxicity. Jejich účinek na buňku je smrtící, ale cíleným zásahem mikrotubulárních inhibitorů do dělení nádorových buněk lze dosáhnout zastavení jejich dalšího růstu. Proto nalezly tyto látky praktické uplatnění v medicíně jako významná léčiva různých forem zhoubného bujení a zájem o ně se neustále zvyšuje. Lákají pozornost chemiků svou velmi často zajímavou chemickou strukturou, xenobiochemiky a molekulární biologie svým unikátním mechanismem účinku a onkology svým praktickým využitím v boji s rakovinou. V poslední době jsou z různých přírodních zdrojů izolovány a chemicky identifikovány stále nové inhibitory mikrotubulů, které by mohly posunout možnosti terapie zhoubných nádorů a které se stávají vzorem pro syntézu ještě účinnějších derivátů a analogů. Systematickému přehledu těchto látek je věnován tento článek.

## 2. Klasifikace mikrotubulárních inhibitorů

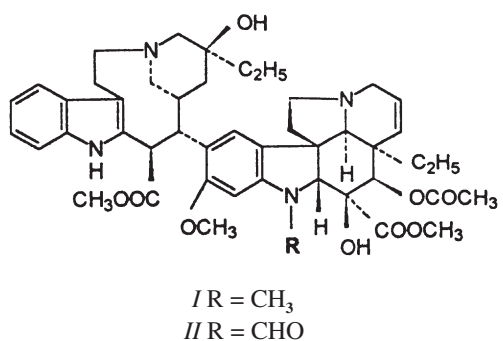
Po chemické stránce představují inhibitory mikrotubulů pestrou paletu látek; počet známých inhibitorů se každoročně



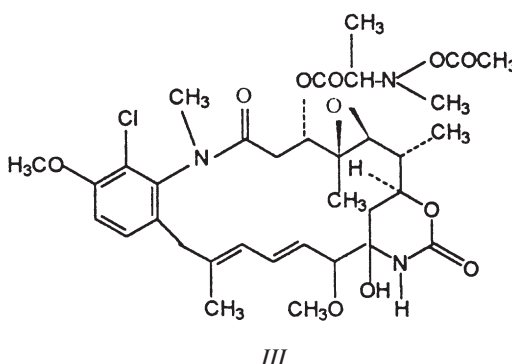
Obr. 1. Schéma tvorby mikrotubulů polymerací heterodimerních  $\alpha$ -tubulin/ $\beta$ -tubulin subjednotek

zvyšuje, ale vztahy mezi jejich chemickou strukturou a biologickým účinkem nejsou dosud dostatečně probádány. Využití chemické struktury pro jejich systematickou klasifikaci je

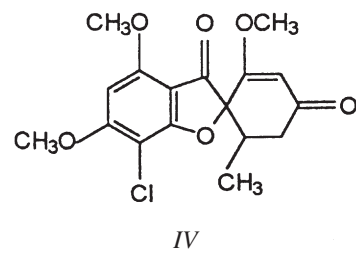
dosud problematické, proto se používá spíše nesystematické klasifikace podle místa a způsobu jejich vazby na mikrotubuly a podle mechanismu jejich účinku na mikrotubulární aparát



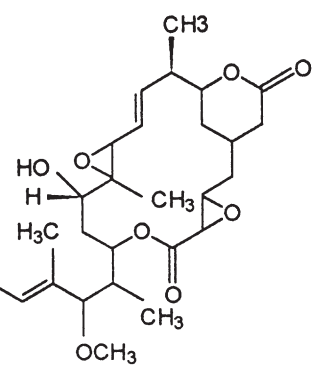
I R = CH<sub>3</sub>  
II R = CHO



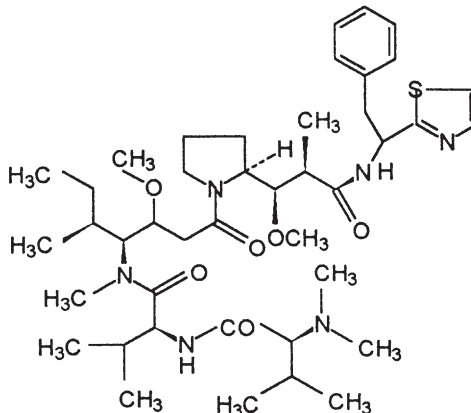
III



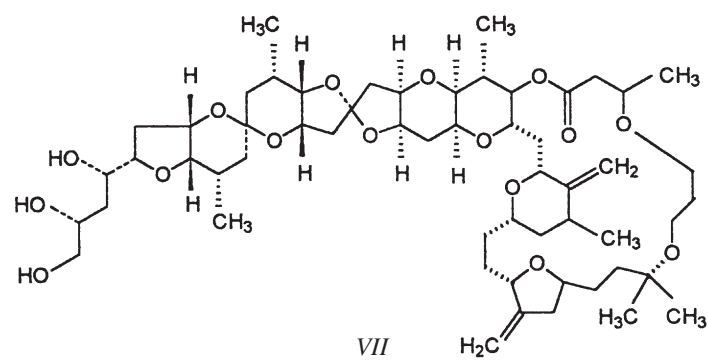
IV



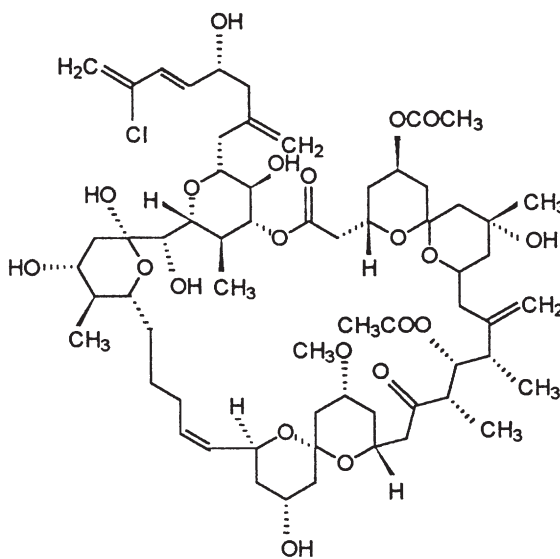
V



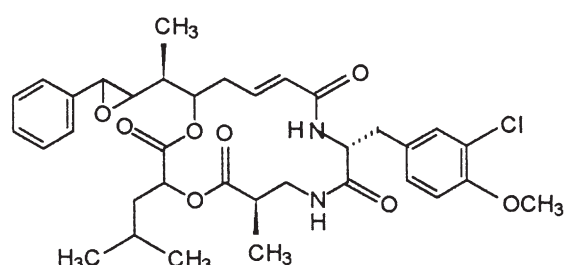
VI



VII



VIII



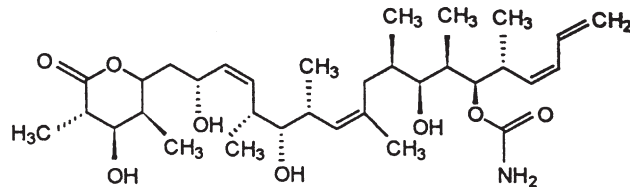
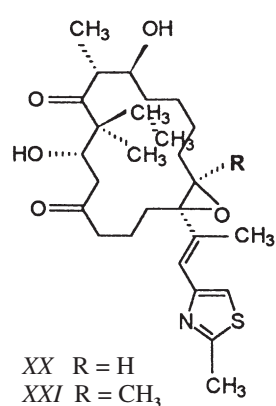
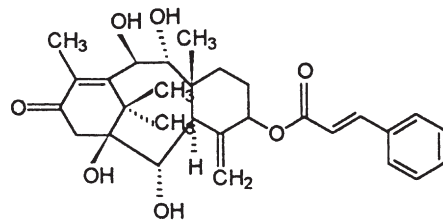
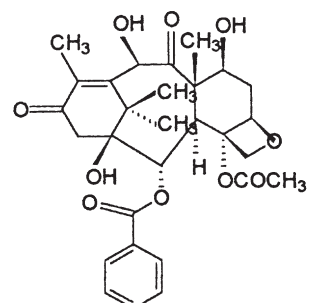
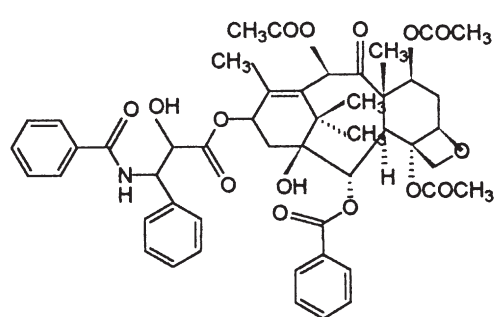
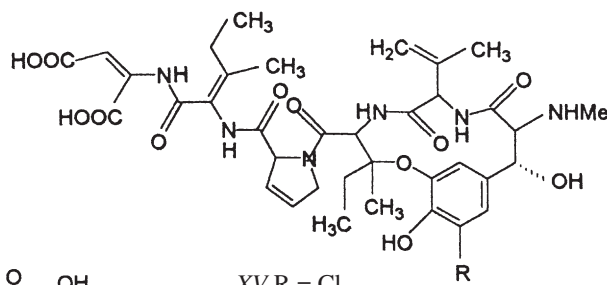
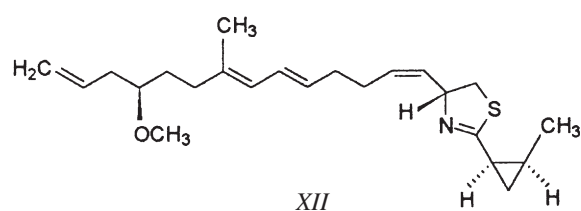
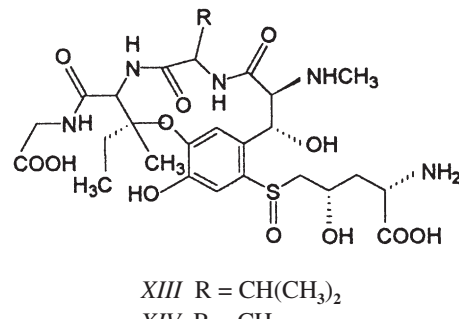
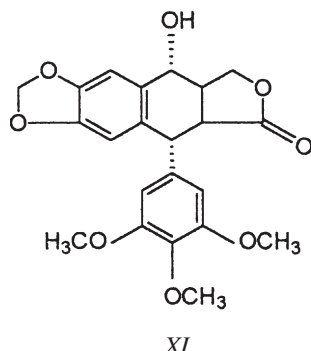
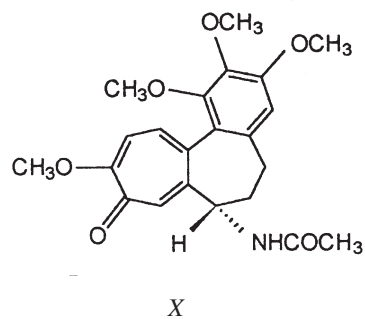
IX

buňky<sup>5</sup>. Podle této metody třídění můžeme rozdělit inhibitory mikrotubulů do tří skupin: 1. látky blokující polymeraci tubulinu tím, že se váží na heterodimer  $\alpha$ -tubulin/ $\beta$ -tubulin, který nemůže vytvářet mikrotubuly; 2. látky, které svou vazbou na mikrotubuly znemožní jejich depolymeraci a svým stabilizačním účinkem z nich vytváří rigidní a nefunkční struktury; 3. látky, které tím, že inhibují aktivitu buněčných enzymů, zejména proteinkinas a fosfatas, způsobí fatální dezorganizaci

mikrotubulárního systému (místem jejich účinku by mohly být např. MAP-kinasy<sup>6</sup>).

### 3. Látky blokující polymeraci tubulinu

Polymeraci heterodimeru  $\alpha$ -tubulin/ $\beta$ -tubulin blokují jednak látky, které se váží na vazebné místo pro GTP, jednak látky



obsazující vazebné místo pro kolchicin. Nelze vyloučit, že existují i některá další vazebná místa, jejichž obsazení ligandy zabrání procesu polymerace.

### 3.1. Látky vážící se na vazebné místo pro GTP

Nejdéle známými reprezentanty této skupiny jsou tzv. vinca-alkaloidy, látky nalezené v tropické rostlině *Catharanthus roseus*. Nejdůležitějšími vinca-alkaloidy jsou vinblastin (*I*) a vincristin (*II*), látky složené z tetracyklické struktury catharantinu a pentacyklické struktury vindolinu<sup>7</sup>. Vinblastin má široké použití při léčbě lymfomů, Hodgkinovy choroby, Kaposiho sarkomu a nádorů plic a varlat. Vincristin je účinný u akutní leukemie, neuroblastomu a rhabdomyosarkomu, ale také u Hodgkinovy choroby. Nežádoucí účinky vinblastinu jsou poměrně nízké. Zřídka se projevuje leukopenie, někdy je při jeho aplikaci pozorována trombocytóza. Při vysokých dávkách se však projevuje jeho neurotoxicita. Naproti tomu vedlejší toxicité vincristinu jsou závažnější. Látka je neurotoxicitá, vyvolává parestézii, poruchy nervového přenosu se svalovou adynamii a paralýzu hladkého svalstva vedoucí k poruše střevní pasáže nebo močového měchýře<sup>8</sup>. Semisynthetické deriváty vinca-alkaloidů s nižší toxicitou, jako je např. vindesin či vinorelbín, jsou účinné u různých plicních tumorů, maligních lymfomů a karcinomu prsu. Dalším reprezentantem této skupiny je makrolidový alkaloid maytansin (*III*) z tropické rostliny *Maytenus serrata*, populární drogy známé v západní Amazonii jako chuchuhuasi, a z některých dalších rostlin čeledi jasencovitých (*Celastraceae*)<sup>9</sup>. Nejefektivněji se maytansin projevuje u maligních lymfomů, karcinomu prsu a karcinomu vaječníků. Nežádoucí účinky se projevují toxicitou hepatální, gastrointestinální a neurotoxicitou. Do této skupiny látek patří také antibiotikum griseofulvin (*IV*), produkované plísni *Penicillium griseofulvum*. Produktrem plísni (*Rhizopus chinensis*) je i rhizoxin (*V*), makrolidový polyenový derivát oxazolinu s významným účinkem na některé tumory a karcinom prsu<sup>10</sup>. Z jeho vedlejších účinků jsou nejzávažnějšími komplikacemi leukopenie, mukozitida a průjmy. Zajímavou látkou této skupiny je dolastin (*VI*), který má ve své molekule zabudován pyrrolidin a thiazolin. Dolastin byl izolován z mořského plže zvaného zej obrovský (*Aplysia depilans* = *Dolabella auriculari*), nebo také „mořský zajíc“. Tento plž žijící ve Středozemním moři byl považován za velice jedovatého tvora již Římany. Jinou látkou této skupiny je složitý makrolidový polyether Halichondrin B (*VII*), nalezený v mořských houbách rodu *Halichondra*, *Axinella*, *Phakellia* a *Lissodendoryx*<sup>11,12</sup>, s protinádorovým účinkem podobným vinblastinu<sup>13</sup>. Další látkou nalezenou v mořských houbách je i makrocyclický polyether spongistatin (*VIII*)<sup>14</sup> a také cryptophycin A (*IX*)<sup>15</sup>.

### 3.2. Látky vážící se na vazebné místo pro kolchicin

Kolchicin (*X*) je alkaloid nalezený v *Colchicum autumnale* (ocún podzimní). Je to tricyklický tropolonový derivát, vážící se na specifické, ale zatím ne dosti dobře definované místo tubulinu<sup>16</sup>. Reakce tubulinu s kolchicinem je velmi pomalá, teplotně závislá a prakticky irreverzibilní. Kolchicin je účinný v léčbě chronické myeloidní leukémie, funguje též jako antiuretikum. Dalším inhibitorem se stejným místem vazby jako

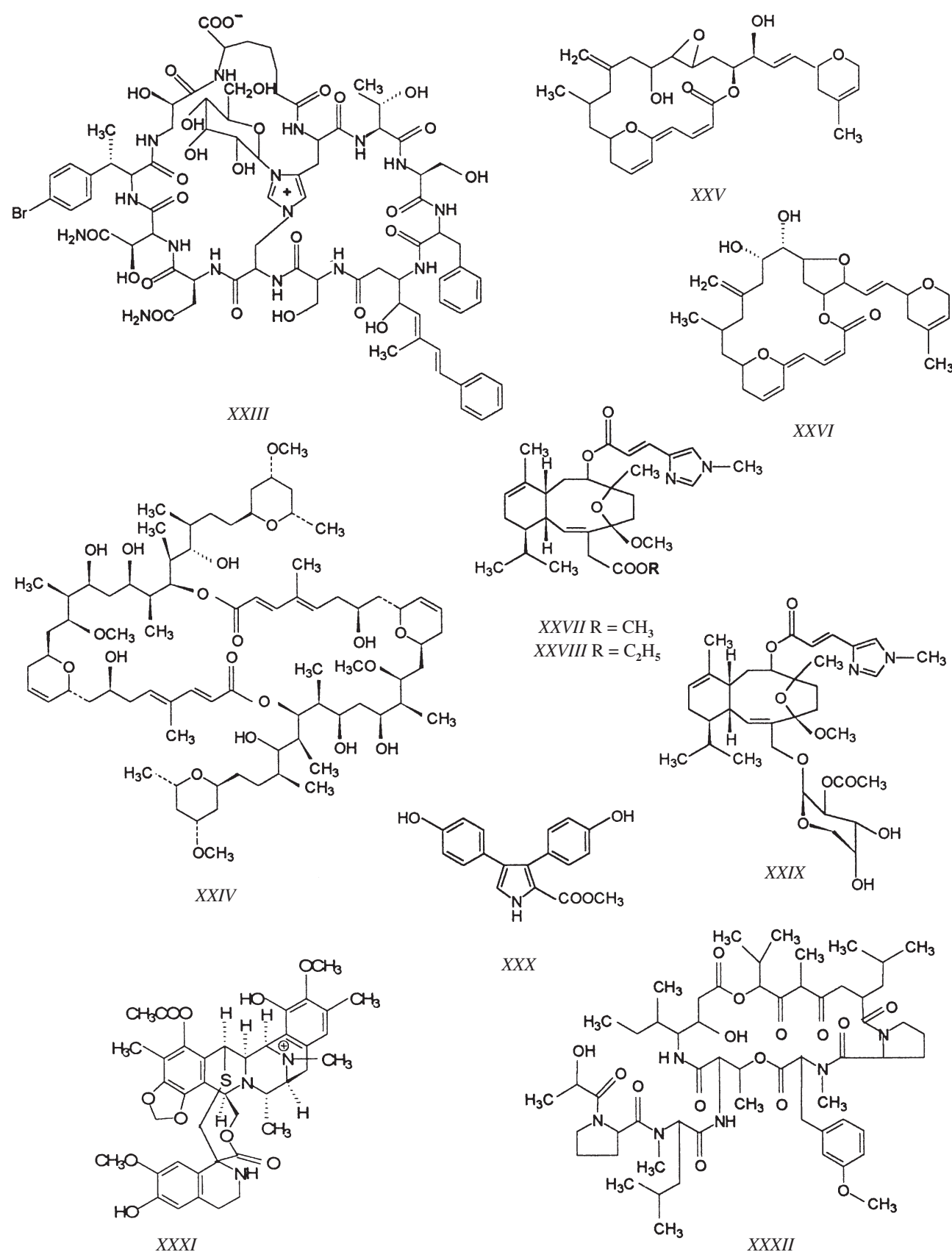
kolchicin je podophyllotoxin (*XI*), alkaloid z *Podophyllum peltatum* a *P. emodi*<sup>17</sup>. Je možno jej použít k léčbě některých benigních kožních nádorů, ale některé jeho syntetické deriváty, např. etoposid (VP-16) nebo teniposid, jsou účinnější než přirozený alkaloid<sup>18</sup>. Jsou významnými inhibitory topoizomerasy II. Jsou účinné zejména při léčení leukemie a některých solidních tumorů. Teniposid je účinný vůči nádorům mozku, neuroblastomu a maligním lymfomům. Silný efekt vyvolává i proti Kaposiho sarkomu, bronchogennímu karcinomu a karcinomu močového měchýře. Etoposid se užívá i k léčbě bronchogenních karcinomů, choriokarcinomu, karcinomu štítné žlázy, ovaria a sarkomů měkkých tkání. Nežádoucími vedlejšími účinky teniposidu a etoposidu jsou především útlum krvetvorby a hematologická toxicita, jako je např. granulocytopenie. Etoposid může indukovat i chromosomalní změny, které jsou rizikovým faktorem pro vznik akutní leukémie. Na stejném místě jako kolchicin se váže také polyenový derivát thiazolinu curacin A (*XII*), nalezený v mořské cyanobakterii *Lyngbya majuscula*<sup>19</sup>. Přestože kompetuje o stejně vazebné místo jako kolchicin či podophyllotoxiny, je jeho vazba na tubulin poněkud odlišná<sup>20</sup>. Slabší vazbu na kolchicinové místo tubulinu vykazují také benzofenantridinové alkaloidy chelidonin, chelerythrin a sanguinarin<sup>21</sup>.

### 3.3. Látky s dosud nejasným místem vazby

U některých látek je obtížné jednoznačně rozhodnout, zda se váží na GTP-místo či na kolchicinové místo tubulinu. I když často kompetují o obě místa, je pravděpodobné, že se neváží ani na jedno z nich, a jejich mechanismus vazby na tubulin je proto odlišný jak od GTP, tak od kolchicina. Řadíme sem některé malé cyklické látky, jako jsou např. ustiloxiny A (*XIII*) a B (*XIV*) či phomopsiny A (*XV*) a B (*XVI*), nalezené v některých mořských houbách.

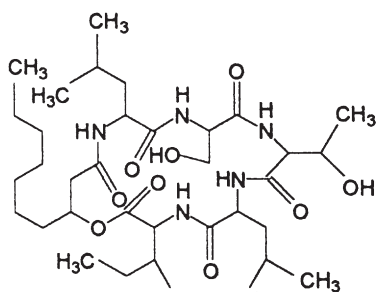
## 4. Látky stabilizující mikrotubuly

Nejznámějším reprezentantem této skupiny je paclitaxel (*XVII*), tetracyklická sloučenina získaná z pacifického tisu *Taxus brevifolia*. Oxetanový kruh v jeho molekule je nezbytný pro jeho biologický účinek, spočívající ve stabilizaci mikrotubulů, které pak nejsou schopny depolymerace a nemohou tak plnit svou fyziologickou úlohu<sup>22</sup>. Pod vlivem paclitaxelu se zastaví buněčný cyklus v G<sub>2</sub>/M fázi. Paclitaxel interaguje s heterodimerem tubulinu tak, že se váže na několika místech na β-tubulin, ale vazba na α-tubulin byla také prokázána<sup>23</sup>. Dalším pravděpodobným mechanismem účinku taxanů je indukce programované smrti buňky – apoptózy. Tlumí totiž expresi onkogenu bcl-2, kódujícího protein vnitřní membrány mitochondrií, který apoptózu inhibuje. Přesný mechanismus indukce apoptózy však doposud není znám<sup>24–26</sup>. V klinické praxi se paclitaxel osvědčil u rakoviny prsu a vaječníků, ale úspěšný byl rovněž u karcinomu plic, krku, hlavy a u melanomu. To vzbudilo enormní zájem onkologů o toto nové léčivo. I když se i u této látky projevují určité nežádoucí účinky, její vysoká protinádorová aktivita nad těmito vlivy převažuje. Limitujícím faktorem léčby paclitaxelem je myelosuprese, především granulocytopenie. Z dalších vedlejších účinků lze zmínit kardiotoxicitu a neurotoxicitu. Dostupnost paclitaxelu

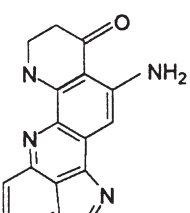


byla zprvu velmi malá, protože tis, ze kterého byl paclitaxel izolován, roste jen na omezeném území USA a Kanady a výtěžnost látky je nepatrná. Z 1 kg kůry je možno izolovat 0,1 až 0,2 g paclitaxelu, takže k léčení 1 pacienta je nutno izolovat paclitaxel ze 2 až 3 tisíc. Omezené rozšíření pacifického tisu a jeho velmi pomalý růst jej diskvalifikují jako vhodný zdroj paclitaxelu pro širší klinické využití. Byly a jsou proto hledány možnosti, jak tuto látku získat synteticky v dostatečném vý-

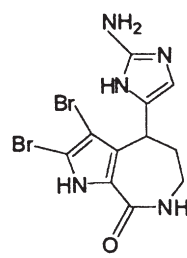
těžku. Totální syntéza paclitaxelu byla popsána Nicolauem a jeho spolupracovníky<sup>27</sup> v roce 1994. Semi-syntetické metody přípravy dalšího zástupce taxanů, docetaxelu, využívají jako suroviny 10-deacetyl-baccatin III (XVIII), resp. taxicin (XIX), které se dají připravit z jehličí tisu červeného (*Taxus baccata*), rostoucího hojně v celém středním pásmu. Klinické využití paclitaxelu je komplikováno jeho malou rozpustností ve vodě. Byly proto syntetizovány ve vodě více rozpustné



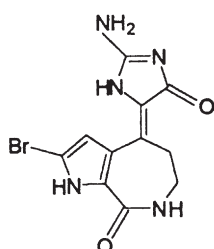
XXXIII



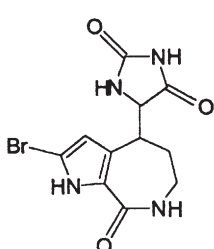
XXXIV



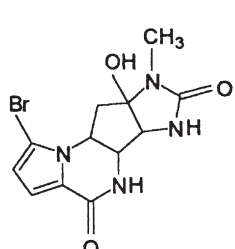
XXXVII



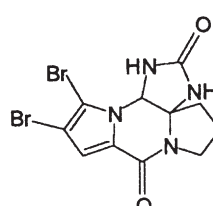
XXXVIII



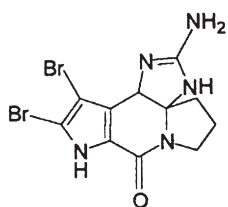
XXXIX



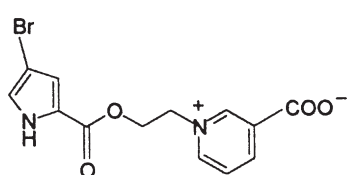
XL



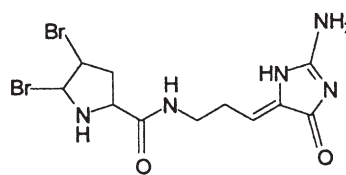
XLI



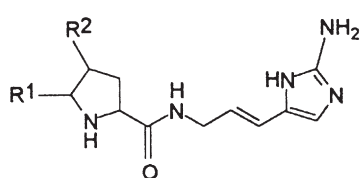
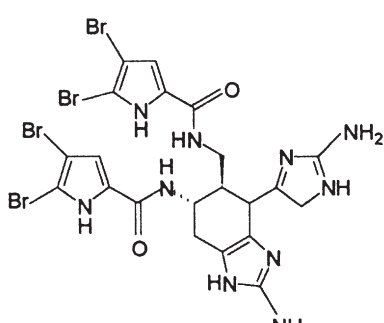
XLII



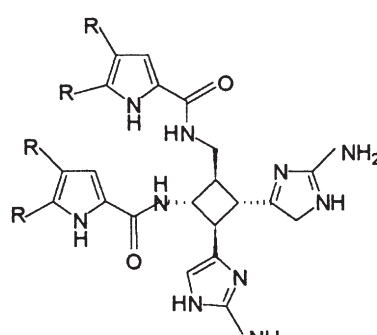
XLIII



XLIV

XLV R<sup>1</sup> = R<sup>2</sup> = HXLVI R<sup>1</sup> = H, R<sup>2</sup> = BrXLVII R<sup>1</sup> = R<sup>2</sup> = Br

XLVIII



XLIX R = H nebo Br

deriváty jako je docetaxel, vindesin a vinorelbín. Docetaxel působí v jiné fázi buněčného cyklu, nejvíce je aktivní v S fázi. Je účinnějším inhibitorem depolymerizace mikrotubulů než paclitaxel<sup>28,29</sup>. Docetaxel má totiž větší afinitu k mikrotubulům než první ze zástupců taxanů, paclitaxel<sup>26</sup>. Účinný je především proti karcinomu prsu a nemalobuněčnému karcinomu plic, dále pak vůči karcinomu vaječníků, pankreatu a žaludku. Vedlejším nežádoucím účinkem je granulocytopenie, která limituje použití vyšších dávek.

V roce 1996 byla v bakterii *Sorangium cellulosum* nalezena nová skupina makrolidových látek stabilizujících mikrotubuly; tyto látky byly nazvány epothilony, protože v jejich molekule se nachází epoxid, thiazol a keton<sup>30</sup>. Bylo zjištěno, že epothilony vytváří dvě strukturní varianty, epothilon A (XX) a epothilon B (XXI) a že jejich makrolidový kruh je šestnáctičlenný a v přírodě ojedinělý<sup>31</sup>. Již o rok později byl epothilon A připraven synteticky<sup>32</sup> a bylo zjištěno, že je účinný i tam, kde selhal paclitaxel<sup>33</sup>. Hlavním metabolitem bakterie *Sorangium cellulosum* je epothilon A, epothilon B se objevuje v množství 20 až 30 %. Oba epothilony jsou velmi účinnými stabilizátory mikrotubulů a zastavují buněčné dělení v G<sub>2</sub>/M fázi podobně jako paclitaxel, epothilon B je však desetkrát účinnější než epothilon A (cit.<sup>34</sup>). Dalšími látkami s podobným stabilizujícím účinkem na mikrotubuly jsou discodermolid (XXII), izolovaný z hlubokomořské houby *Discodermia dissoluta*<sup>35</sup>, theopalauamid (XXIII) a swinholid A (XXIV) z mořské houby *Theonella swinhonis*<sup>36</sup>. Dalšími, nedávno objevenými látkami, jsou polycyklické ethery laulimalid (XXV) a iso-laulimalid (XXVI)<sup>37</sup> či diterpenoidní esterifikované alkoholy sarcodictyin A (XXVII), sarcodictyin B (XXVIII) a eleutheroxin (XXIX), izolované ze středomořského korálu *Sarcodyction roseum*<sup>38,39</sup>.

## 5. Látky dezorganizující mikrotubuly

Látky tohoto typu byly nalezeny zejména v četných mořských organismech. Jejich zdrojem jsou především živočichové kmene žahavců (*Cnidaria*) všech tříd – polypovci (*Hydrozoa*), medúzovci (*Scyphozoa*) i korálnatci (*Anthozoa*). Nalezeny byly u drobných jednobuněčných živočichů kmene bičíkovců (*Flagellata*) a u kmene měkkýšů (*Mollusca*), zejména ve třídě plžů (*Gastropoda*). Jejich bohatým zdrojem jsou i četné druhy cyanobakterií a mořských hub. Mechanismus jejich účinku, tj. způsob, jakým vyvolávají naprostou dezorganizaci mikrotubulární konstrukce buňky, není však dosud dostatečně probádán. Vzhledem k tomu, že jsou ve většině případů i silnými inhibitory cyklin-dependentních kinas či fosfatas, lze předpokládat, že zasahují do komplikovaných regulačních mechanismů buňky<sup>40</sup>. Ovlivňují zřejmě procesy, kterými mikrotubuly spolupracují s proteiny, regulujícími buněčný cyklus. Pravděpodobný je jejich inhibiční účinek na MAP-kinasy, které udržují stabilitu tubulární sítě<sup>3</sup>.

Po chemické stránce se jedná o nehomogenní skupinu struktur, od relativně jednoduchých lamellarinů, viz např. lamellarin Q (XXX)<sup>41</sup>, až po různě složité heteropolyaromatické systémy jako je např. ecteinascidin 741 (XXXI), nalezený v sasance *Ecteinascidia turbinata*<sup>42</sup>. Velmi rozšířeny jsou různé cyklické sloučeniny, jako např. didemminy z plžů<sup>43</sup>, viz např. didemmin B (XXXII), kailuin A (XXXIII) a zejména četné polycyklické heteroaromatické dusíkaté látky, nalézané v moř-

ských houbách (zejména rody *Axinellidae*, *Agelasidae* a *Halicondriidae*), jako např. plakinidin D (XXXIV), arnoamin A (XXXV) a B (XXXVI), v jejichž molekule se velmi často vyskytuje také halogen, nejčastěji brom. Jsou to např. stevensin (odilin) (XXXVII) (cit.<sup>44</sup>), hymenialdisin (XXXVIII) (cit.<sup>45</sup>), axinohydantoin (XXXIX) (cit.<sup>46</sup>), agelastatin A (XL) (cit.<sup>47</sup>), dibromophakellstatin (XLII) (cit.<sup>48</sup>), dibromocantharellin (XLII), agelongin (XLIII) (cit.<sup>49</sup>) či dispecamid A (XLIV) (cit.<sup>50</sup>). Z uvedených struktur je zřejmé, že velmi často se v jejich molekule objevuje struktura guanidinu. Z dalších látek tohoto typu jsou to např. clathrodin (XLV), hymenidin (XLVI) a oroidin (XLVII) (cit.<sup>51</sup>), dibromoageliferin (XLVIII) a sceptriny (XLIX) (cit.<sup>52</sup>). Žádná z těchto látek dosud nepřekročila stadium preklinického zkoušení, ale již dnes je zřejmé, že i v této skupině mikrotubulárních inhibitorů budou nalezena účinná protinádorová léčiva, která významným způsobem rozšíří spektrum současných látek používaných v chemoterapii zhoubných nádorů.

## 6. Závěr

Objevení, izolace, strukturní identifikace a příprava nových inhibitorů mikrotubulů se slibnou protinádorovou účinností otevírá nové možnosti jejich použití v humánní protirakovinné chemoterapii. Z uvedeného přehledu je patrná extrémní variabilita struktury sloučenin, které však vykazují podobnou biologickou aktivitu jako inhibitory mitózy. Lze se jen těšit, že se tato skutečnost stane výzvou nejen pro pracoviště studující detailní mechanismus poškození mikrotubulárního systému buněk, ale především pro chemická pracoviště vyvíjející nové typy protinádorových léčiv na bázi přírodních sloučenin. Přispěje to nejen k významnému rozvoji protirakovinné terapie a využití chemoterapeutik v klinické praxi, ale také k teoretickému poznání, které biochemické pochody v lidském organismu jsou pro vývoj nádorových onemocnění letální.

## LITERATURA

1. Dráberová E.: Vesmír 79, 438 (2000).
2. Dustin P.: *Microtubules*, 2. vyd. Springer-Verlag, Berlin 1984.
3. Avila J.: FASEB J. 4, 3284 (1990).
4. Gelford V. J., Bershadski A. D.: Annu. Rev. Cell. Biol. 7, 93 (1991).
5. Patočka J., Strunecká A.: Acta Medica (Hradec Králové) 42, 3 (1999).
6. Gomezcambronero J., Colasanto J. M., Huang C. K., Shaafi R. I.: Biochem. J. 291, 211 (1993).
7. Saxton J. E. (ed.): *Monoterpene Indole Alkaloids*, Suppl. 4., str. 578. Wiley, Chichester 1994.
8. Budman D. R.: Semin. Oncol. 19, 639 (1992).
9. Patočka J., Jahodář L.: Chem. Listy 93, 690 (1999).
10. Tolcher A. W., Aylesworth C., Rizzo J., Izwicka E., Campbell E., Kuhn J., Weiss G., Von Hoff D. D., Rowinsky E. K.: Ann. Oncol. 11, 333 (2000).
11. Pettit G. R., Herald C. L., Boyd M. R., Leet J. E., Dufresne C., Doubek D. L., Schmidt J. M., Cerny R. L., Hooper J. N. A., Rutzler K. C.: J. Med. Chem. 34, 3339 (1991).
12. Bai R. L., Paull K. D., Herald C. L., Malspeis L., Pettit G. R., Hamel E.: J. Biol. Chem. 266, 15882 (1991).

13. Fodstat O., Breistol K., Pettit G. R., Shoemaker R. H., Boyd M. R.: *J. Exp. Ther. Oncol.* **1**, 119 (1996).
14. Bai R. L., Cichacz Z. A., Herald C. L., Pettit G. R., Hamel E.: *Mol. Pharmacol.* **44**, 757 (1993).
15. Smith C. D., Zhang X., Mooberry S., Patterson G. M. L., Moore R. E.: *Cancer Res.* **54**, 3779 (1994).
16. Hastie S.: *Pharmacol. Ther.* **51**, 377 (1991).
17. Damayanthi Y., Lown J. W.: *Curr. Med. Chem.* **5**, 205 (1998).
18. Imbert T. F.: *Biochimie* **80**, 207 (1998).
19. Blokhin A. V., Yoo H. D., Gerald R. S., Nagle D. G., Gerwick W. H., Hamel E.: *Mol. Pharmacol.* **48**, 523 (1995).
20. Luduena R. F., Prasad V., Roach M. C., Banerjee M., Yoo H. D., Gerwick W. H.: *Drug Dev. Res.* **40**, 223 (1997).
21. Wolff J., Knippling L.: *Biochemistry* **32**, 13334 (1993).
22. Hamel E.: *Med. Res. Rev.* **16**, 207 (1990).
23. Loeb C., Combeau C., Ehret-Sabatier L., Breton-Gilet A., Faucher D., Rousseau B., Commercon A., Goeldner M.: *Biochemistry* **36**, 3820 (1997).
24. Kleiner P.: *Remedia* **5**, 154 (1995).
25. Monsarrat B., Royer I., Wright M., Cresteil T.: *Bull. Cancer* **84**, 125 (1997).
26. Bořek-Dohalská L., Stiborová M.: *Chem. Listy* **94**, 226 (2000).
27. Nicolaou K. C., Yang Z., Liu J. J., Ueno H., Nantermet P. G., Guy R. K., Claiborne C. F., Renaud J., Couladouros E. A., Paulvannan K., Sorensen E. J.: *Nature* **367**, 630 (1994).
28. Verweij J.: *Anti-Cancer Drugs* **6**, 19 (1995).
29. Bissery M. C., Nohynek G., Sanderink G., Lavelle F.: *Anti-Cancer Drugs* **6**, 339 (1996).
30. Schinzer D.: *Eur. Chem. Chronicle* **1**, 7 (1996).
31. Höfle G., Bedorf N., Steinmetz H.: *Angew. Chem., Int. Ed. Engl.* **35**, 1567 (1996).
32. Schinzer D., Limberg A., Bauer A.: *Angew. Chem.* **109**, 543 (1997).
33. Kowalski R. J., Giannakakon P., Hamel E.: *J. Biol. Chem.* **272**, 2534 (1997).
34. Gerth K., Bedorf N., Höfle G., Irschik H., Reichenbach H.: *J. Antibiot.* **49**, 560 (1996).
35. Longley R. E., Caddigan D., Harmody D., Gunasekera M., Gunasekera S. P.: *Transplantation* **52**, 650 (1991).
36. Bewley C. A., Holland N. A., Faulkner D. J.: *Experientia* **52**, 716 (1996).
37. Mooberry S. L., Tien G., Hernandez A. H., Plubrukarn A., Davidson B. S.: *Cancer Res.* **59**, 653 (1999).
38. D'Ambrosio M., Guerriero A., Pietra F.: *Helv. Chim. Acta* **70**, 2019 (1987).
39. Hamel E., Sackett D. L., Vourloumis D., Nicolaou K. C.: *Biochemistry* **38**, 5490 (1999).
40. Meijer L., Thunissen A.-M. W. H., White A. W., Garnier M., Nikolic M., Tsai L.-H., Walter J., Cleverley K. E., Salinas P. C., Wu Y.-Z., Biernat J., Mandelkow E.-M., Kim S.-H., Pettit G. R.: *Chem. Biol.* **7**, 51 (2000).
41. Quesada A. R., Garcia-Gravalos M. D., Fernandez-Puentes J. L.: *Br. J. Cancer* **74**, 677 (1996).
42. Izicka E., Lawrence R., Raymond E., Eckhardt G., Faircloth G., Jimeno J., Clark G., Von Hoff D. D.: *Ann. Oncol.* **9**, 981 (1998).
43. Mayer S. C., Carroll P. J., Joullie M. M.: *Acta Crystallogr., Sect. C* **51**, 1609 (1995).
44. Albizati K. F., Faulkner D. J.: *J. Org. Chem.* **50**, 4163 (1985).
45. Williams D. H., Faulkner J.: *Nat. Prod. Lett.* **9**, 57 (1996).
46. Pettit G. R., Herald C. L., Leet J. E., Gupta R., Schaufelberger D. E., Bates R. B., Clewlow P. J., Doubek D. L., Manfredi K. P., Rutzler K., Schmidt J. M., Tackett L. P., Ward F. B., Bruck M., Camou F.: *Can. J. Chem.* **68**, 1621 (1990).
47. D'Ambrosio M., Guerriero A., Debitus C., Ribes O., Pusset J., Leroy S., Pietra F.: *J. Chem. Soc., Chem. Commun.* **1993**, 1305.
48. Pettit G. R., McNulty J., Herald D. L., Doubek D. L., Chapuis J. C., Schmidt J. M., Tackett L. P., Boyd M. R.: *J. Nat. Prod.* **60**, 180 (1997).
49. Cafieri F., Fattorusso E., Mangoni A., Taglialatela-Scafati O.: *Bioorg. Med. Chem. Lett.* **5**, 799 (1995).
50. Cafieri F., Fattorusso E., Mangoni A., Taglialatela-Scafati O.: *Tetrahedron Lett.* **37**, 3587 (1996).
51. Garcia E. E., Benjamin L. E., Fryer R. I.: *J. Chem. Soc., Chem. Commun.* **1973**, 78.
52. Walker R. P., Faulkner D. J., Van Engen D., Clardy J.: *J. Am. Chem. Soc.* **103**, 6772 (1981).

**J. Patočka<sup>a</sup>, A. Strunecká<sup>b</sup>, and M. Stiborová<sup>c</sup>** (<sup>a</sup>Department of Toxicology, Military Medical Academy, Hradec Králové, <sup>b</sup>Department of Physiology nad Developmental Biology, Faculty of Science, Charles University, Prague, <sup>c</sup>Department of Biochemistry, Faculty of Science, Charles University, Prague): **Microtubule Inhibitors**

The review deals with current knowledge of microtubule inhibitors from different natural sources, which are a very variegated group of compounds with a strong effect on cytoskeletal functions. Their use is one of the most frequent therapeutic strategies in carcinoma treatment. Drugs like taxol or vinblastine are widely used, although they have some drawbacks. The discovery of new compounds, such as epothilones, halichondrins, lamellarins, didemnins, could overcome some of the problems occurring in application of the earlier drugs. In addition, these natural compounds are used as an outstanding scientific tool in physiological and biochemical experiments, serving as model structures for synthesis of new compounds with expected effects and better pharmacological properties, such as synthetic taxanes docetaxel, vindesin or vinorelbine.

## NOMENKLATURA A TERMINOLOGIE

### DOPORUČENÍ IUPAC

#### The Naming of New Elements

A procedure is proposed to name new elements. After the discovery of a new element is established by a joint IUPAC-IUPAP (International Union of Pure and Applied Physics) Working Group, the discoverers are invited to propose a name and a symbol to the IUPAC Inorganic Chemistry Division. Elements can be named after a mythological concept, a mineral, a place or country, a property, or a scientist. After examination and acceptance by the Inorganic Chemistry Division, the proposal follows the accepted IUPAC procedure for recommendations, and is then submitted to the Council of IUPAC for approval.

Otiskujeme synopsi názvoslovného návrhu z oboru názvů prvků, který připravila komise IUPAC pro nomenklaturu anorganické chemie. Návrh je určen k posouzení a kritice chemické veřejnosti. Zájemci o bližší informace či o text návrhu se mohou obrátit buď na adresu Národního střediska IUPAC v České republice:

Ing. Jaroslav Kahovec, CSc.

Ústav makromolekulární chemie AV ČR

Heyrovského nám. 2

162 06 Praha 6

tel. (02) 20403322, fax (02) 35357981, e-mail: kah@imc.cas.cz

nebo získat text na internetové adrese

[http://www.iupac.org/reports/provisional/abstract01/  
koppenol\\_310302.html](http://www.iupac.org/reports/provisional/abstract01/koppenol_310302.html)

Připomínky k návrhům je třeba zaslat do 31. března 2002 na adresu:

Prof. Dr. W. H. Koppenol

Laboratorium für Anorganische Chemie

ETH Hönggerberg

CH-8093 Zürich

Switzerland

Tel.: +41-1-632-2875

Fax: +41-1-632-1090

e-mail: koppenol@inorg.chem.ethz.ch

## LABORATORNÍ PŘÍSTROJE A POSTUPY

### STANOVENÍ STOPOVÝCH MNOŽSTVÍ 1-NITRONAFTALENU POMOCÍ MODERNÍCH POLAROGRAFICKÝCH A VOLTAMETRICKÝCH METOD NA RTUŤOVÝCH ELEKTRODÁCH\*

KAROLÍNA PECKOVÁ, JIŘÍ BAREK a JIŘÍ ZIMA

*UNESCO Laboratoř elektrochemie životního prostředí, Katedra analytické chemie, Přírodovědecká fakulta, Univerzita Karlova, Albertov 6, 128 43 Praha 2  
e-mail: Barek@natur.cuni.cz*

Došlo dne 28.VII.2001

**Klíčová slova:** 1-nitronaftalen, polarografie, voltametrie, rtuťová kapková elektroda

### Úvod

V poslední době je věnována stále větší pozornost sledování různých typů chemických karcinogenů v našem životním prostředí. Zajímavou skupinu těchto látek tvoří nitrované polycylické aromatické uhlovodíky (NPAH), jejichž koncentrace v různých složkách životního prostředí je sice zpravidla výrazně nižší než koncentrace matečných polycylických aromatických uhlovodíků (PAH), avšak jejich mutagenita je v řadě případů mnohonásobně vyšší<sup>1</sup>. Na rozdíl od PAH, které jsou zpravidla mutagenní až po předchozí metabolické aktivaci, patří mnohé NPAH mezi přímé mutageny. Různé typy NPAH byly nalezeny ve výfukových plynech diesellových a benzínových motorů, v emisích spaloven a závodů na výrobu hliníku, v produktech hoření pevných paliv, v cigaretovém kouři, tonerech pro kopírovací stroje a dále ve vodách, sedimentech vodních toků a potravinách<sup>2</sup>.

Ke stanovení stopových množství těchto látek se používají zejména chromatografické metody<sup>3</sup>, zatímco moderním polarografickým či voltametrickým metodám je věnována pozornost teprve v poslední době<sup>4,5</sup>. Na základě snadné elektrochemické redukovatelnosti nitroskopiny<sup>6,7</sup> lze přitom očekávat, že právě tyto metody mohou být ekonomicky výhodnou, provozně nenáročnou a přitom dostatečně citlivou alternativou k převládajícím metodám spektrometrickým a separačním. Proto byla v předkládané práci věnována pozornost nalezení vhodných podmínek pro stanovení 1-nitronaftalenu (1-NN) na běžně rozšířených rtuťových elektrodách s cílem dosáhnout co nejnižší meze stanovitelnosti. K tomuto účelu byla použita jednak klasická rtuťová kapková elektroda (DME) ve spojení s tast polarografií (DCTP) a diferenční pulsní polarografií (DPP) a jednak visící rtuťová kapková elektroda (HMDE) ve

spojení s diferenční pulsní voltametrií (DPV) a adsorpční rozpouštěcí voltametrií (AdSV).

### Experimentální část

#### Reagencie

Zásobní roztok 1-nitronaftalenu v methanolu o koncentraci  $1.10^{-3}$  mol.l<sup>-1</sup> byl připraven rozpouštěním 0,01732 g látky ve 100 ml tohoto rozpouštědla. Roztoky o nižších molaritách byly připravovány přesným ředěním zásobního roztoku methanolem. Všechny roztoky byly uchovávány ve tmě za laboratorní teploty. Dále byly použity kyseliny boritá, octová, fosforečná, hydroxid sodný, methanol a dichlormethan (vše čistoty p.a., Lachema, Brno, Česká republika) a hexan (čistota pro organickou stopovou analýzu, Merck, Darmstadt, Německo). Brittonovy-Robinsonovy tlumivé roztoky o příslušném pH byly připraveny obvyklým způsobem<sup>8</sup>. pH těchto roztoků i pH jejich směsi s methanolem bylo kontrolováno digitálním pH metrem Jenway (Jenway, Essex, Velká Británie) s kombinovanou skleněnou elektrodou, kalibrovaným na standardní vodné roztoky pufrů. Pro přípravu vodních roztoků byla používána deionizovaná voda (Millipore Q-plus systém, Millipore, USA). Používané roztoky byly uchovávány ve skleněných nádobách.

#### Aparatura

Byl používán Eko-Tribo polarograf s řídícím programem PolarPro verze 2.0 (Polaro-Sensors, Praha, Česká republika) pracujícím v operačním systému Windows 3.11 (Microsoft, USA). Bylo pracováno v tříelektrodovém zapojení s nasycenou argentchloridovou referentní elektrodou a platinovou drátkovou pomocnou elektrodou. Při DCTP a DPP byla používána klasická rtuťová kapková elektroda (DME), rychlosť polarizace  $4 \text{ mV.s}^{-1}$ , elektronicky řízená doba kapky 1 s a výška rtuťového rezervoáru 64 cm. Při této výšce rezervoáru měla použitá DME dobu kapky  $\tau = 6,9$  s a průtokovou rychlosť  $m = 0,39 \text{ mg.s}^{-1}$  (měřeno v 0,1 mol.l<sup>-1</sup> KCl proti nasycené argentchloridové elektrodě). Při DPV a AdSV byla používána HMDE typu UM $\mu$ E (Polaro-Sensors, Praha, Česká republika). Velikost kapky byla dána otevřením ventilku po dobu 100 ms. Pokud není uvedeno jinak, byly při pulsních technikách na elektrody vkládány pulsy o šířce 100 ms a modulační amplitudě  $-50 \text{ mV}$ . Při technice DPV byla vždy použita rychlosť nářstu potenciálu 20 mV.s<sup>-1</sup>.

#### Pracovní postupy

Při záznamu polarogramů či voltamogramů bylo postupováno následujícím způsobem: Do odměrné baňky na objem 10 ml bylo odpipetováno příslušné množství roztoku 1-nitro-

\* Tato práce získala 2. místo v soutěži o cenu firmy Merck za nejlepší studentskou vědeckou práci v oboru analytická chemie 2.2.2001 v Olomouci.

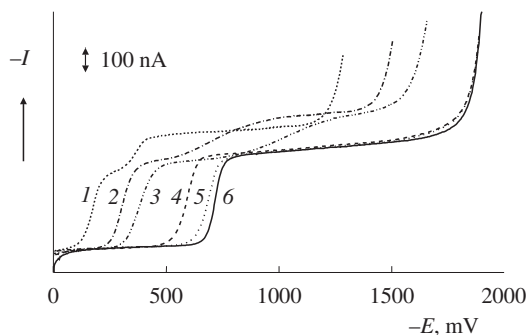
Tabulka I

Vliv pH na tast a DP polarogramy a DP voltamogramy 1-nitronaftalenu ( $c = 1 \cdot 10^{-4} \text{ mol.l}^{-1}$ ) v prostředí Brittonův-Robinsonův pufr – methanol (1:1)

pH <sup>a</sup>	pH <sup>b</sup>	Tast polarografie				DP polarografie				DP voltametrie			
		$-E_{1/2}^1$ [mV]	$-I_{\lim}^1$ [nA]	$-E_{1/2}^2$ [mV]	$-I_{\lim}^2$ [nA]	$-E_p^1$ [mV]	$-I_p^1$ [nA]	$-E_p^2$ [mV]	$-I_p^2$ [nA]	$-E_p^1$ [mV]	$-I_p^1$ [nA]	$-E_p^2$ [mV]	$-I_p^2$ [nA]
2,0	2,7	178	262	396	85	172	364	360	81	154	504	348	140
3,0	4,1	241	316	566	104	238	440	532	55	233	494	513	64
4,0	4,9	302	333	715	80	300	369	719	28	287	453	656	36
5,0	5,9	365	363	1015	106	373	328	1054	26	356	422	969	26
6,0	7,0	456	376	— <sup>c</sup>	— <sup>c</sup>	473	331	— <sup>c</sup>	— <sup>c</sup>	439	435	— <sup>c</sup>	— <sup>c</sup>
7,0	8,0	524	367	— <sup>c</sup>	— <sup>c</sup>	529	397	— <sup>c</sup>	— <sup>c</sup>	508	481	— <sup>c</sup>	— <sup>c</sup>
8,0	8,7	575	363	— <sup>c</sup>	— <sup>c</sup>	576	391	— <sup>c</sup>	— <sup>c</sup>	552	480	— <sup>c</sup>	— <sup>c</sup>
9,0	9,3	623	346	— <sup>c</sup>	— <sup>c</sup>	627	377	— <sup>c</sup>	— <sup>c</sup>	585	493	— <sup>c</sup>	— <sup>c</sup>
10,0	10,3	682	367	— <sup>c</sup>	— <sup>c</sup>	684	386	— <sup>c</sup>	— <sup>c</sup>	637	493	— <sup>c</sup>	— <sup>c</sup>
11,0	11,2	713	373	— <sup>c</sup>	— <sup>c</sup>	700	519	— <sup>c</sup>	— <sup>c</sup>	678	496	— <sup>c</sup>	— <sup>c</sup>
12,0	12,2	708	365	— <sup>c</sup>	— <sup>c</sup>	696	550	— <sup>c</sup>	— <sup>c</sup>	692	665	— <sup>c</sup>	— <sup>c</sup>

<sup>a</sup> pH použitého Brittonova-Robinsonova pufru, <sup>b</sup> výsledné pH směsi Brittonův-Robinsonův pufr – methanol,  $E_{1/2}^1$  – půlvalnový potenciál první vlny,  $I_{\lim}^1$  – limitní difuzní proud první vlny,  $E_{1/2}^2$  – půlvalnový potenciál druhé vlny,  $I_{\lim}^2$  – limitní difuzní proud druhé vlny,  $E_p^1$  – potenciál prvního píku,  $I_p^1$  – proud prvního píku,  $E_p^2$  – potenciál druhého píku,  $I_p^2$  – proud druhého píku,  
<sup>c</sup> nevhodnotitelná druhá vlna či pík

směrodatná odchylka predikce z kalibračního grafu dostatečně malá, rovná hodnotě 0,1 (cit.<sup>9</sup>).



Obr. 1. Polarogramy 1-nitronaftalenu ( $c = 1 \cdot 10^{-4} \text{ mol.l}^{-1}$ ) měřené technikou DCTP na DME v prostředí Brittonův-Robinsonův pufr – methanol (1:1) o výsledném pH 2,7 (1), 4,9 (2), 5,9 (3), 8,7 (4), 10,3 (5), 12,2 (6)

naftalenu o potřebné koncentraci v methanolu, 3 ml methanolu a 5 ml Brittonova-Robinsonova pufru o příslušném pH a doplněno na 10 ml methanolem. Takto připravený roztok byl po promíchání převeden do polarografické nádobky a zbaven kyslíku pětiminutovým probubláváním dusíkem. Před vstupem dusíku do nádobky byla zařazena promývačka obsahující směs vody a methanolu ve stejném poměru jako analyzovaný roztok. Při AdSV byla akumulace prováděna v míchaném roztoku, po skončení akumulace bylo míchání vypnuto a po 15 s byl v ustáleném roztoku proveden záznam. Všechny křivky byly měřeny třikrát. Příprava roztoků s nižším obsahem methanolu probíhala analogickým způsobem. Všechna měření byla prováděna za laboratorní teploty. Mez stanovitelnosti ( $L_o$ ) byla počítána pomocí programu ADSTAT (TriloByte Statistical Software, Pardubice, Česká republika), který ji počítá jako nejmenší hodnotu signálu, pro kterou je relativní

## Výsledky a diskuse

Jak je patrné z tabulky I a obr. 1, poskytuje 1-nitronaftalen v oblasti pH 2,7–5,9 při DCTP na DME dvě vlny. Půlvalnový potenciál obou vln se s rostoucím pH posouvá k zápornějším hodnotám. Druhá, evidentně ireverzibilní vlna, v oblasti vyšších pH mizí a látka poskytuje jen jednu vlnu, jejíž výška se s pH prakticky nemění. Výška obou vln při klasické DC polarografii je přímo úměrná odmocnině z výšky rtuťového rezervoáru, což potvrzuje, že se jedná o limitní proud kontrolovaný difuzí. Na základě analogie s chováním řady aromatických nitrosloučenin<sup>6,7</sup> lze předpokládat, že první vlna odpovídá čtyřelektronové redukci  $-\text{NO}_2$  skupiny na  $-\text{NHOH}$  skupinu a druhá vlna následně dvouelektronové redukci skupiny  $-\text{NHOH}$  až na skupinu  $-\text{NH}_2$ .

Z obr. 2 a 3 i z tabulky I je patrné, že chování 1-nitronaftalenu při DPP na DME či DPV na HMDE v podstatě odráží jeho chování při tast polarografii. Z obr. 1–3 je patrné, že nejlépe vyvinuté a nejsnáze vyhodnotitelné vlny při DCTP na DME či píky při DPP na DME a DPV na HMDE byly získány v prostředí o pH 12,2. Proto byly kalibrační závislosti pro všechny tyto techniky proměřeny ve směsi  $0,01 \text{ mol.l}^{-1}$  NaOH-methanol (1:1). V případě DPV na HMDE byl pro proměření kalibračních závislostí použit roztok obsahující methanol a  $0,01 \text{ mol.l}^{-1}$  NaOH v poměru 1:9 o výsledném pH roztoku 12,0, neboť snížení obsahu methanolu vedlo ke zvýšení píků 1-nitronaftalenu. Parametry proměřených koncentračních závislostí jsou uvedeny v tabulce II, z níž je patrná značná citlivost zejména pulsních metod.

Dále byla věnována pozornost možnosti dalšího zvýšení citlivosti pomocí adsorpční akumulace 1-nitronaftalenu na

povrchu HMDE. Jelikož zvýšený obsah methanolu negativně ovlivňuje adsorpci 1-nitronaftalenu, byl jako základní elektrolyt použit roztok  $0,01 \text{ mol.l}^{-1}$  NaOH s přídavkem 2–10  $\mu\text{l}$  zásobního roztoku stanovené látky v methanolu. Vliv po-

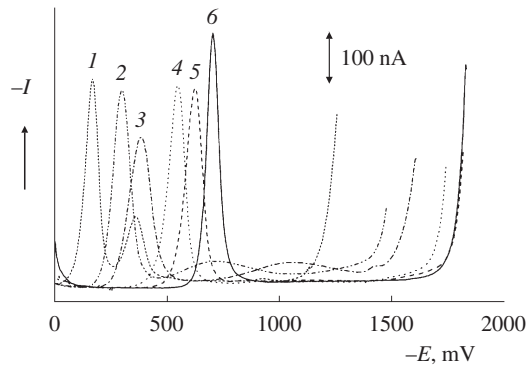
tenciálu akumulace na výšku píku byl proměřen v rozmezí  $-100$  až  $-500$  mV v prostředí  $0,01 \text{ mol.l}^{-1}$  NaOH při koncentraci 1-nitronaftalenu  $2.10^{-7} \text{ mol.l}^{-1}$ . Roztok byl při akumulaci míchán a doba akumulace byla 60 s. Jako optimální potenciál

Tabulka II

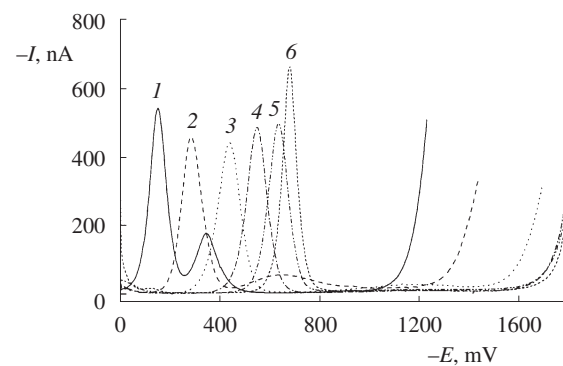
Parametry kalibračních přímek pro stanovení 1-nitronaftalenu moderními polarografickými a voltametrickými metodami

Technika	Prostředí	$c$ [mol.l <sup>-1</sup> ]	Úsek [nA]	Směrnice [nA.mol <sup>-1</sup> .l]	Korelační koeficient	$L_Q^a$ [mol.l <sup>-4</sup> ]
DCTP/DME	0,01 mol.l <sup>-1</sup> NaOH	(2–10). $10^{-5}$	-1,63	$3,25.10^6$	0,9950	–
	– methanol (1:1)	(0,8–10). $10^{-6}$	0,57	$2,97.10^6$	0,9987	$1.10^{-6}$
DPP/DME	0,01 mol.l <sup>-1</sup> NaOH	(2–10). $10^{-5}$	1,37	$4,86.10^6$	0,9987	–
	– methanol (1:1)	(2–10). $10^{-6}$	-1,03	$5,12.10^6$	0,9982	–
DPV/HMDE	0,01 mol.l <sup>-1</sup> NaOH	(2–10). $10^{-7}$	0,05	$5,22.10^6$	0,9993	$1.10^{-7}$
	– methanol (9:1)	(2–10). $10^{-6}$	0,83	$2,84.10^7$	0,9991	–
	– methanol (9:1)	(2–10). $10^{-7}$	0,05	$2,57.10^7$	0,9989	–
AdSV/HMDE <sup>b</sup>	0,01 mol.l <sup>-1</sup> NaOH	(2–10). $10^{-8}$	0,04	$2,58.10^7$	0,9952	$3.10^{-8}$
	– methanol (9:1)	(1–10). $10^{-8}$	0,06	$1,03.10^8$	0,9953	$2.10^{-8}$

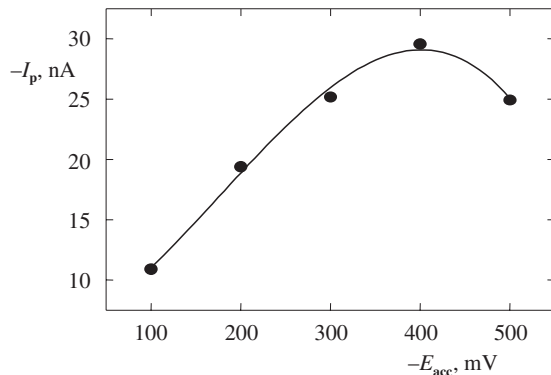
<sup>a</sup>  $L_Q$  – mez stanovitelnosti, <sup>b</sup>  $E_{acc} = -400$  mV,  $t_{acc} = 60$  s



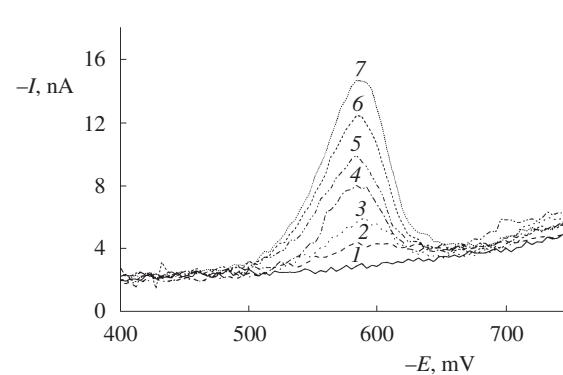
Obr. 2. Polarogramy 1-nitronaftalenu ( $c = 1.10^{-4} \text{ mol.l}^{-1}$ ) měřené technikou DPP na DME v prostředí Brittonův-Robinsonův pufr-methanol (1:1) o výsledném pH 2,7 (1), 4,9 (2), 5,9 (3), 8,0 (4), 9,3 (5), 12,2 (6)



Obr. 3. Voltamogramy 1-nitronaftalenu ( $c = 1.10^{-4} \text{ mol.l}^{-1}$ ) měřené technikou DPV na HMDE v prostředí Brittonův-Robinsonův pufr-methanol (1:1) o výsledném pH 2,7 (1), 4,9 (2), 7,0 (3), 8,7 (4), 10,3 (5), 12,2 (6)



Obr. 4. Závislost proudu píku  $I_p$  1-nitronaftalenu ( $c = 2.10^{-7} \text{ mol.l}^{-1}$ ) měřeného technikou AdSV na HMDE na potenciálu akumulace  $E_{acc}$  v prostředí  $0,01 \text{ mol.l}^{-1}$  NaOH při době akumulace  $t_{acc} = 60$  s



Obr. 5. Voltamogramy 1-nitronaftalenu měřené technikou AdSV na HMDE v  $0,01 \text{ mol.l}^{-1}$  NaOH, potenciál akumulace  $-400$  mV, doba akumulace 60 s,  $c$  (1-nitronaftalen) = 0 (1),  $1.10^{-8}$  (2),  $2.10^{-8}$  (3),  $4.10^{-8}$  (4),  $6.10^{-8}$  (5),  $8.10^{-8}$  (6),  $1.10^{-7}$  (7)  $\text{mol.l}^{-1}$

akumulace byla zvolena hodnota  $-400\text{ mV}$ , při níž byly získány nejvyšší, snadno vyhodnotitelné a dobře reprodukovatelné píky (viz obr. 4). Na základě proměření vlivu doby akumulace na výšku piku byla pro koncentrační rozmezí  $(1\text{--}10) \cdot 10^{-8}\text{ mol.l}^{-1}$  zvolena jako optimální doba akumulace 60 s. Při této době akumulace byly píky dobře vyvinuté a dostatečně vysoké a její další prodlužování již nebylo účelné. Parametry kalibračních přímek proměřených za těchto podmínek jsou uvedeny v tabulce II, odpovídající voltamogramy jsou znázorněny na obr. 5. Pokus o stanovení 1-nitronaftalenu v koncentračním rozmezí  $(2\text{--}10) \cdot 10^{-9}\text{ mol.l}^{-1}$  při použití doby akumulace 300 s v míchaném roztoku nebyl úspěšný vzhledem ke špatné reprodukovatelnosti výšky píků získaných za těchto podmínek<sup>10</sup>.

## Závěr

Cílem práce bylo nalézt podmínky umožňující dosažení co nejnižších mezí stanovitelnosti na použitych rtufovéch elektrodách. Jako nejcitlivější se ukázala dle předpokladů technika AdSV na HMDE. Díky nízké polaritě a přítomnosti rozsáhlého aromatického systému se NPAH zpravidla dobře adsorbují na elektrodu<sup>11,12</sup> a mohou být stanoveny v koncentračním řádu  $(1\text{--}10) \cdot 10^{-9}\text{ mol.l}^{-1}$ . Aromatický systém 1-nitronaftalenu však není tak rozsáhlý, což mohlo být příčinou jeho menší akumulace v tomto koncentračním rozmezí. Dosažená meze stanovitelnosti 1-nitronaftalenu pro techniku AdSV byla tak vyšší a srovnatelná s mezi stanovitelnosti pro DPV na HMDE. Právě tato technika je použitelná např. při sledování účinnosti fotochemické destrukce 1-nitronaftalenu či při stanovení této látky v pitné či říční vodě po její předběžné separaci a prekoncentraci pomocí extrakce tuhou fází<sup>10</sup>.

*Autoři děkují za finanční podporu Fondu rozvoje vysokých škol (grant G4-1768/2001) a MŠMT ČR (Výzkumný záměr 113100002).*

## LITERATURA

- Barek J., Cvačka J., Moreira J. C., Zima J.: Chem. Listy 90, 805 (1996).

- Jacob J., Karcher W., Belliardo J. J., Dumler R., Boenke A.: Fresenius' J. Anal. Chem. 349, 755 (1991).
- Cvačka J., Barek J., Fog A. G., Moreira J. C., Zima J.: Analyst 123, 9R (1998).
- Barek J., Cvačka J., Mejstřík V., Muck A., Zima J.: Crit. Rev. Anal. Chem. 29, 81 (1999).
- Barek J., Pumera M., Muck A., Kadeřábková M., Zima J.: Anal. Chim. Acta 393, 141 (1999).
- Kemula W., Krygowski T. M., v knize: *Encyclopedia of the Electrochemistry of the Elements – Organic Section* (Bard A. J., Lund H., ed.), sv. 13, str. 77. Dekker, New York 1979.
- Fry A. J., v knize: *Chemistry of Amino, Nitroso and Nitro Compounds and Their Derivatives* (Patai S., ed.), str. 319. Wiley, Chichester 1982.
- Sýkora V., Zátka V.: *Příruční tabulky pro chemiky*. SNTL, Praha 1967.
- Meloun M., Militký J.: *Statistické zpracování experimentálních dat na osobním počítači*. FINISH, Pardubice 1992.
- Pecková K.: *Diplomová práce*. Přírodovědecká fakulta, Univerzita Karlova, Praha 2001.
- Barek J., Kadeřábková M., Mejstřík V., Zima J.: *Electro-analysis*, v tisku.
- Barek J., Zima J., Moreira J. C., Muck A.: Collect. Czech. Chem. Commun. 65, 1888 (2000).

**K. Pecková, J. Barek, and J. Zima (UNESCO Laboratory of Environmental Electrochemistry, Department of Analytical Chemistry, Charles University, Prague): Determination of Trace Amounts of 1-Nitronaphthalene by Modern Polarographic and Voltammetric Methods Using Mercury Electrodes**

Optimum conditions are described for the determination of 1-nitronaphthalene using fast polarography (limit of determination  $L_Q = 1.10^{-6}\text{ mol.l}^{-1}$ ) and differential pulse polarography ( $L_Q = 1.10^{-7}\text{ mol.l}^{-1}$ ) with a classic dropping mercury electrode and differential pulse voltammetry ( $L_Q = 3.10^{-8}\text{ mol.l}^{-1}$ ) and adsorptive stripping voltammetry ( $L_Q = 2.10^{-8}\text{ mol.l}^{-1}$ ) with a hanging mercury drop electrode.

## NMR ANALÝZA VÝLUHŮ ALTEROVANÝCH UHLÍ\*

MICHAL PEŇÁZ, JIŘINA BOHDÁLKOVÁ  
a ERVÍN KOZUBEK

Katedra analytické chemie a zkoušení materiálu, Vysoká škola báňská – Technická univerzita Ostrava, 17. listopadu 15, 708 33 Ostrava  
e-mail: jirina.bohdalkova@vsb.cz, ervin.kozubek@vsb.cz

Došlo dne 23.VIII.2001

**Klíčová slova:** NMR spektroskopie, alterované uhlí

### Úvod

Sloje, ve kterých se černá uhlí v hornoslezské uhlé pánvi nachází, jsou v místech výskytu tzv. pestřích vrstev často „nahrazeny“ pestře zbarvenými sedimentárními horninami pocházejícími z těchto vrstev. Původní sedimentární horniny včetně uhlenných slojí byly v těchto místech tepelně a oxidačně alterovány za vzniku pestře zbarvených hornin a uhlenné sloje v nich uložené byly obvykle totálně destruovány. Alterovaná černá uhlí ve slojích, které se přimykají k tělesům pestřich vrstev, jsou ojedinělým přírodním fenoménem, který je nejenom zajímavý z pohledu základního výzkumu, ale jehož komplexní objasnění je velmi důležité z hlediska vlastní těžby uhlí<sup>1,2</sup>.

Tato práce je součástí projektu zkoumajícího alterovaná uhlí. Cílem je pomocí NMR spektroskopie charakterizovat výluhy přírodně i laboratorně alterovaných uhlí.

Nukleární magnetická rezonance se řadí mezi spektroskopické nedestruktivní metody, přičemž jde o důležitou metodu pro studium struktury a složení látka<sup>3</sup>. Měření je možno provádět v roztoku a v tuhému stavu. Na základě <sup>1</sup>H a <sup>13</sup>C NMR spekter lze určit molární hmotnost i strukturu molekuly neznámého uhlovodíku. Těchto schopností využívá také typová NMR analýza kapalných i tuhých produktů fosilních paliv, což jsou víceméně složité směsi organických sloučenin. Tento přístup vyžaduje určité předpoklady a omezení, např. odhad molekulárních vlastností paliv z výsledků typové NMR analýzy zahrnuje představu o usporádání skeletu, která nemusí mít obecnou platnost<sup>3,4</sup>.

Typová <sup>1</sup>H NMR analýza poskytuje rozdelení typů vodíku (protonů) ve vzorcích. Typová <sup>13</sup>C NMR analýza umožňuje přímé studium rozdelení typů uhlíku<sup>5,6</sup>.

Základní charakteristika <sup>1</sup>H NMR spektra kapalných podílů fosilních paliv spočívá v jeho rozdelení na oblast aromatických protonů (6,0 až 9,0 ppm) a oblast protonů alifatických (0,5 až 4,0 ppm). Oblast alifatických protonů je většinou rozdělena na několik dalších skupin signálů. Charakteristické rozdelení může být komplikováno dalším dělením nebo překrytím pásů. Methylenové skupiny spojující aromatické kruhy rezonují v oblasti 3,4 až 5,8 ppm a případně mohou podstatně rozšířit alifatickou oblast spektra. Fenolické protony mohou

přispívat až do oblasti aromatických protonů (5,0 až 9,0 ppm). Oblast spektra od 1,0 do 2,2 ppm je někdy rozdělována na oblast H<sub>b</sub> (je označení pro vodíky na druhém nepřímo navázaném uhlíku od aromatického jádra) a H<sub>N</sub> (označení pro protony cykloalkanů). Podobně je někdy rozdělována aromatická oblast spektra na protony příslušející monocyklickým aromatickým systémům jader (6,0 až 7,1–7,2 ppm) a protony bi- a polycyklických aromatů a heteroaromatů (7,1–7,2 až 9,0 ppm).

Charakter <sup>1</sup>H NMR spektra kapalných produktů uhlí (nebo podílů rozpustných v organických rozpouštědlech) je samozřejmě závislý na chemické struktuře analyzovaného vzorku. Složitější výsemolekulární produkty charakterizuje obalová křivka širokých, nedostatečně rozlišených signálů v oblasti alifatických protonů. Hlavním zdrojem případné chyby stanovení je nedokonalé rozpouštění vzorku a v neuspokojivých případech je třeba přípravu vzorku opakovat<sup>2</sup>.

V <sup>13</sup>C NMR spektru kapalných podílů fosilních paliv lze podobně jako v protonovém spektru rozlišit dvě hlavní oblasti – oblast uhlíků aromatických (120 až 150 ppm) a uhlíků alifatických (10 až 50 ppm). Lze tak přímo stanovit aromaticitu analyzovaného vzorku a další strukturní parametry.

Kvantitativní <sup>13</sup>C NMR měření není jednoduché, protože vztah mezi integrovanou intenzitou signálů a počtem jader v rezonanci ovlivňuje řada faktorů. Problém spočívá v nízkém přirozeném zastoupení izotopu <sup>13</sup>C (1,3 hm.%), jeho nízké citlivosti a použitých technikách měření. První problém se řeší opakovánou akumulací spektra a následnou Fourierovou transformací. Pro získání kvalitního akumulovaného spektra jsou rozhodující dva faktory – jaderné Overhauserovo zvýšení (NOE) a spin-mřížkový relaxační čas T<sub>1</sub>. Při použití metody šumového dekaplingu je hodnota NOE můstkových aromatických uhlíků nižší než hodnota NOE aromatických uhlíků vázajících protony. Jev lze do určité míry snížit použitím relaxačního činidla, může však dojít ke značnému rozšíření čar a zhoršení kvalitativní analýzy. Výhodnější je technika klíčovaného dekaplingu heterorezonančního, i když se prodlužuje potřebná akumulační doba záznamu spektra<sup>1,2</sup>.

### Experimentální část

0,1 g vzorku uhlí bylo podrobeno mechanickým úpravám (drcení, mletí, sítování, kvartace). Poté se vzorky nechaly vyluhovat v deuterovaném rozpouštědle (benzen, chloroform, butan-1-ol, aceton, tetrachlormethan, pyridin), po odstředění a odfiltrování byly na NMR spektrometru proměny výluhy uhlí alterovaných: přírodně a laboratorně (při teplotě 250 °C v proudu vzduchu po 4 dny).

Měření bylo prováděno na FT HR NMR spektrometru Tesla BS 587 A (Tesla Kooperativ, s.r.o., Brno). Byla použita <sup>1</sup>H (prostý experiment) a <sup>13</sup>C sonda (metoda Inverse Gate Decoupling).

### Výsledky a diskuse

V tabulce I je uvedena gravimetricky zjištěná rozpustnost vzorků přírodního alterovaného uhlí ve výše uvedených roz-

\* Tato práce získala zvláštní ocenění v soutěži o cenu firmy Merck za nejlepší studentskou vědeckou práci v oboru analytická chemie 2.2.2001 v Olomouci.

**Tabulka I**  
Gravimetrické stanovení rozpustnosti alterovaného uhlí

Vzorek	Navážka [g]	Rozpouštědlo (20 ml)	Rozpuštěno [g]	Rozpuštěno [%]
1	1,0013	chloroform	0,0520	5,19
2	1,0065	acetone	0,0598	5,94
3	1,0033	butan-1-ol	0,0474	4,72
4	1,0050	benzen	0,0492	4,89
5	1,0060	toluen	0,0513	5,09
6	1,0051	tetrachlormethane	0,0520	5,17

pouštědlech. Z ekonomických důvodů bylo gravimetrické stanovení provedeno v nedeuterovaných rozpouštědlech.

Na obr. 1 a 2 jsou znázorněna  $^1\text{H}$  NMR spektra deuteroacetových výluh černého alterovaného uhlí do deuteroacetonu. Maxima při 2,9 ppm (viz obr. 1) a při 3,7 ppm (viz obr. 2) náleží pulsnímu vysílači spektrometru.

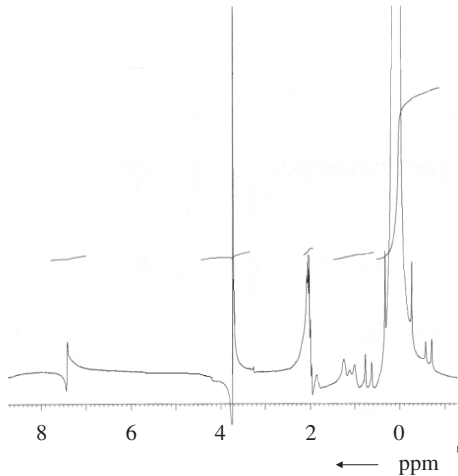
$^{13}\text{C}$  NMR spektra téhož uhlí demonstруjí obr. 3 a 4. NMR spektra potvrzují přítomnost alifatických i aromatických uhlo-

vodíků ve výluzích. Ostatní, v tomto příspěvku neuvedená spektra výluh alterovaných černých uhlí, uvedené výsledky potvrzují. V souladu s tímto závěrem jsou i zde neuváděné výsledky paralelně prováděné analýzy výluh pomocí GC-MS, při níž byly nalezeny následující látky: benzen, fenol, kyselina cyklopentanpropionová, hexadekan, 1,2-dichlortrafluorocyklobutén, 1-butylamin, nonadekan, benzofuran, benzofurazan a eikosan.

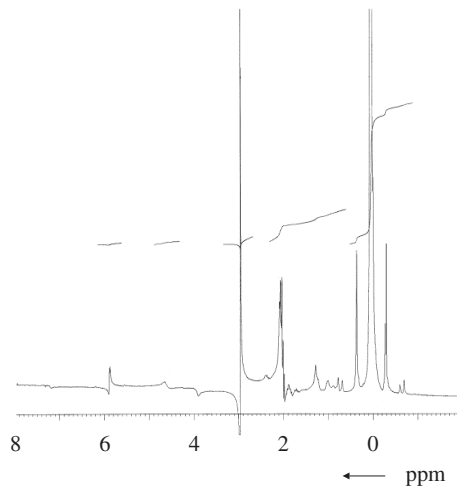
Spektra všech výluh laboratorně i přírodně alterovaného černého uhlí vykazují podobné výsledky, z čehož vyplývá, že se při laboratorní alteraci, provedené na katedře analytické chemie a zkoušení materiálu Vysoké školy báňské – Technické univerzity Ostrava, podařilo nalézt podmínky odpovídající přírodní alteraci.

## Závěr

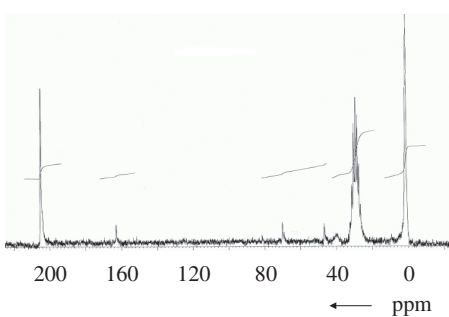
Složitost alterovaného uhlí většinou nedovoluje účinnou separaci na chemická individua. Znalost typu nebo skupin organických sloučenin v produktu je často účelnější nebo jediná možnost chemické analýzy. NMR se osvědčila jako vhodná univerzální metoda typové analýzy produktů uhlí. Relativně rychle poskytuje údaje, které lze obtížněji získat jinými metodami.



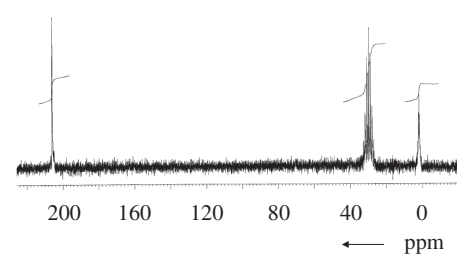
Obr. 1.  $^1\text{H}$  NMR spektrum výluhu přírodně alterovaného černého uhlí v deuteroacetonu



Obr. 2.  $^1\text{H}$  NMR spektrum výluhu laboratorně alterovaného černého uhlí v deuteroacetonu



Obr. 3.  $^{13}\text{C}$  NMR spektrum výluhu přírodně alterovaného černého uhlí v deuteroacetonu



Obr. 4.  $^{13}\text{C}$  NMR spektrum výluhu laboratorně alterovaného černého uhlí v deuteroacetonu

Ve výluzích černých alterovaných uhlí byly nalezeny skupiny alifatických uhlovodíků, aromátů a karboxylových kyselin.

Z porovnání uvedených spekter vyplývá, že rozdíl mezi přírodně a laboratorně alterovaným uhlím je minimální.

*Autoři děkují grantové agentuře české republiky (projekt 105/99/0225) za finanční podporu při řešení uvedené problematiky.*

## LITERATURA

1. Klika Z.: *Geochemistry of Coal from Region of the Red Beds Bodies of the Upper Silesian Basin*. VŠB – Technická univerzita, Ostrava 1998.
2. Roubíček V., Buchtele J.: *Chémie uhlí a jeho využití* (skripta). VŠB – Technická univerzita, Ostrava 1996.
3. Stužka V.: *Instrumentální metody chemické analýzy III*,

*jaderná magnetická rezonance* (skripta). Nakladatelství rektorátu Univerzity Palackého, Olomouc 1982.

4. Taraba B.: *Instrumentální metody chemické analýzy* (skripta). Ostravská univerzita, Ostrava 1993.
5. Kozubek E., v knize: *Analýza organických látek v životním prostředí*, str. 88. 2 THETA, Český Těšín 1999.
6. Kozubek E., Bohdálková J., Pavlovský J.: *Proceedings of 15<sup>th</sup> NMR Valtice*, str. 33. Central European NMR Discussion Groups, Brno 2000.

**M. Peňáz, J. Bohdálková, and E. Kozubek** (*Department of Analytical Chemistry and Material Testing, Mining University, Ostrava*): **NMR Analysis of Extracts of Modified Coals**

The article deals with  $^1\text{H}$  a  $^{13}\text{C}$  NMR analysis of extracts of coals modified naturally or in laboratory. In the extracts, aliphatic and aromatic hydrocarbons and carboxylic acids were found.

## Střední průmyslová škola chemická v Brně

*oslaví ve dnech 14. a 15. prosince 2001*

## 50 let své existence

Sobota 15. prosince je určena především absolventům a všem, kteří mají zájem o návštěvu a prohlídku školy.

Pro návštěvníky je připraven také bohatý doprovodný program.

## **<sup>29</sup>Si NMR STRUKTURNÍ ANALÝZA VZORKŮ VODNÍCH SKEL\***

**LADISLAV MOKOŠ<sup>a</sup>, ERVÍN KOZUBEK<sup>a</sup>, PETR JELÍNEK<sup>b</sup> a JIŘÍ PAVLOVSKÝ<sup>b</sup>**

<sup>a</sup>Katedra analytické chemie a zkoušení materiálu, <sup>b</sup>Katedra slévárenství, Vysoká škola báňská – Technická univerzita Ostrava, 17. listopadu 15, 708 33 Ostrava  
e-mail: ervin.kozubek@vsb.cz; jiri.pavlovsky@vsb.cz

Došlo dne 25.III.2001

Klíčová slova: <sup>29</sup>Si NMR, vodní sklo

### **Úvod**

NMR spektroskopie patří mezi absorpční spektrální metody. Je to moderní a nedestruktivní metoda, která slouží ke studiu vlastností látek v kapalné fázi a v posledním desetiletí i v tuhé fázi. Tato metoda má využití ve strukturní analýze a k identifikaci organických i anorganických látek<sup>1</sup>.

Vodní sklo by se dalo zjednodušeně charakterizovat jako viskózní „vodný“ roztok křemičitanu sodného, případně draselného. Tyto roztoky se snadno připravují z křemenného písku, hydroxidu sodného a vody. Našly využití jako pojiva slévárenských forem a jader, inhibitory koroze, vločkovací činidla v čistírnách vody atd.<sup>3,4</sup>

V dnešní praxi je důležité u vodních skel kromě mechanických vlastností znát i vlastnosti fyzikálně-chemické. K základním charakteristikám vodních skel patří: silikátový modul, obsah vody, obsah sušiny, hustota, viskozita a obsah příměsí. V některých případech je možné použít i doplňujících charakteristik, např. koagulační práh, elektrická vodivost, povrchové napětí, doba přeměny pojídla v gel apod.

Kromě <sup>29</sup>Si NMR spektroskopie se pro bližší určení struk-

tury používá metody GPC, IČ, popř. nefelometrické metody k určení velikosti koloidních částic vodních skel.

Metody jsou nezbytné k celkovému popisu vodních skel kvůli jejich použití ve slévárenství, stavebnictví atd.

Aplikace NMR spektroskopie na roztoky křemičitanů poskytuje zpravidla dobré rozlišitelná spektra, jejichž interpretace bývá relativně jednoduchá. Obě dvě jádra (O, Si), která tvoří základní skelet křemičitanů, jsou NMR aktivní. Je to v důsledku přirozeného výskytu izotopů <sup>17</sup>O a <sup>29</sup>Si. Nuklid <sup>29</sup>Si má přirozené zastoupení 4,7 % a jaderný spin  $I = 1/2$ . V důsledku nulového kvadrupólového momentu poskytuje relativně úzké a dobře rozlišitelné rezonanční čáry.

Jednotlivá absorpční maxima <sup>29</sup>Si NMR spekter vysokého rozlišení je možné charakterizovat třemi hlavními spektrálními parametry:

- chemickým posunem  $\delta$  (ppm) – jde o relativní vyjádření rozdílu mezi polohou signálu standardu a měřené látky:

$$\delta = (\nu - \nu_s)/\nu_s \cdot 10^6 \quad (1)$$

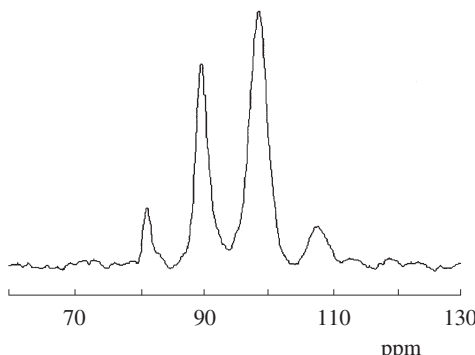
$\nu$  je rezonanční frekvence měřeného pásu vzorku a  $\nu_s$  rezonanční frekvence standardu,

- integrální intenzitu (plochou ohraničenou absorpčním maximem),
- pološírkou čáry (šířkou absorpčního maxima v jeho poloviční výšce).

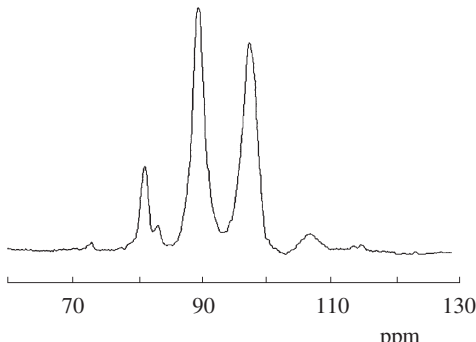
Chemický posun je nejfrequentovanějším parametrem ve strukturních studiích křemičitanů pomocí <sup>29</sup>Si NMR, protože velmi citlivě odráží strukturní okolí jádra křemíku. Intenzita absorpčních maxim pozorovaných ve <sup>29</sup>Si NMR spektru souvisí s počtem atomů křemíku daného typu přítomných ve studované látce. Z integrálních intenzit absorpčních maxim je tedy možné přímo určit kvantitativní poměr různých vazebních míst křemíku ve vzorku<sup>2</sup>.

### **Experimentální část**

První část měření <sup>29</sup>Si NMR spekter dvou roztoků vodních skel (obr. 1 a 2) používaných pro přípravu slévárenských

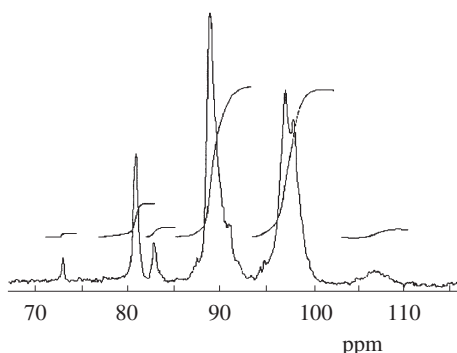
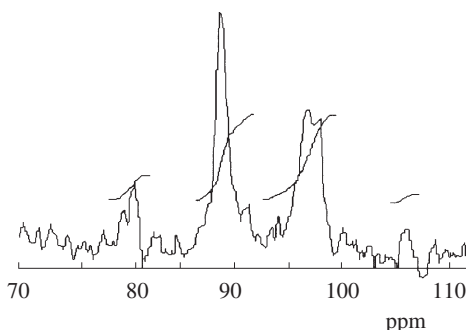


Obr. 1. <sup>29</sup>Si NMR spektrum vodního skla o hustotě 38 °Bé na FT HR NMR spektrometu 360 MHz/89 MM Bruker



Obr. 2. <sup>29</sup>Si NMR spektrum vodního skla o hustotě 50 °Bé na FT HR NMR spektrometu 360 MHz/89 MM Bruker

\* Tato práce získala zvláštní ocenění v soutěži o cenu firmy Merck za nejlepší studentskou vědeckou práci v oboru analytická chemie 2.2.2001 v Olomouci.

Obr. 3.  $^{29}\text{Si}$  NMR spektrum vodního skla změřeného na FT HR NMR spektrometru firmy VarianObr. 4.  $^{29}\text{Si}$  NMR spektrum vodního skla změřeného na FT HR NMR spektrometru Tesla 80 MHz BS 587A

formovacích směsí, byla změřena pomocí FT HR NMR spektrometru 360 MHz/89 MM Bruker na Institutu analytické chemie Technické univerzity, Bergakademie ve Freibergu. Na obr. 1 je uvedeno NMR měření vodního skla s hustotou 38 °Bé a na obr. 2 o hustotě 50 °Bé. V zahraničních literaturách se často používá jednotka °Bé (čti „Bauméovy stupně“), vyjadřující hustotu vodního skla. Vzorec pro přepočet na hustotu  $\rho$  (g.cm<sup>-3</sup>):

$$\rho = 144,3 / (144,3 - {}^{\circ}\text{Bé}) \quad (2)$$

Další měření bylo provedeno rovněž na FT NMR spektrometu Bruker na ČVUT v Praze (obr. 3).

V rámci zavádění techniky měření  $^{29}\text{Si}$  NMR spekter na katedře analytické chemie a zkoušení materiálu, FMMI, VŠB-TU v Ostravě bylo odzkoušeno měření vzorků vodních skel. Na obr. 4 je uvedeno  $^{29}\text{Si}$  NMR spektrum sodno-křemenného vodního skla. Měření bylo provedeno na FT NMR spektrometru Tesla BS 587 A. Poté bylo spektrum vyhodnoceno a srovnáno s výše uvedeným spektrem na obr. 3.

## Výsledky a diskuse

Spektra na obr. 1 a 2 byla vyhodnocena kvalitativně, následující jak z hlediska kvality, tak i kvantity. Pro vyhodnocení bylo použito tzv.  $Q^n$  notace dle Engelhardta. Na spektru uvedeném na obr. 1 naměřeném na Bergakademie ve Freibergu lze rozpoznat tyto „strukturní motivy“: zleva dimer ( $Q^1$ ), cyklický tetramer ( $Q_2^2/Q^3$ ), tricyklický oktamer ( $Q^3(X)$ ) a koloidní fáze ( $Q^4$ ). Na následujícím spektru obr. 2 lze nalézt tyto struktury: zleva monomer ( $Q^0$ ), dimer ( $Q^1$ ), substituovaný cyklický trimer ( $Q^2(X)$ ), cyklický tetramer ( $Q_2^2/Q^3$ ), tricyklický oktamer ( $Q^3(X)$ ) a koloidní fáze ( $Q^4$ ).

Spektrum na obr. 3 obsahuje: zleva monomer ( $Q^0$ ) v hm. procentech (1,19), dimer ( $Q^1$ ) (9,68), substituovaný cyklický trimer ( $Q^2(X)$ ) (2,61), tricyklický oktamer ( $Q^3(A)$ ), cyklický tetramer ( $Q_2^2/Q^3$ ), substituovaný cyklický trimer ( $Q^3(M)$ ), pentacyklický heptamer ( $Q^3(A)$ ) celkem (42,68), můstkový cyklický tetramer ( $Q^3(X)$ ) – dva, dva tricyklické oktamery ( $Q^3(X)$ ) (41,69) a koloidní fáze ( $Q^4$ ) (2,14). Poslední přiložené spektrum, viz obr. 4, obsahuje totožné „strukturní moti-

vy“ jako obr. 3, navíc při chemickém posunu okolo -84,5 ppm – tricyklický hexamer (transoid)  $\{Q^2(A)\}$ , při -96,3 ppm – bicyklický hexamer  $\{Q^3(X)\}$ . Z hlediska kvantitativního vyhodnocení v hmotnostních procentech je dimer ( $Q^1$ ) zastoupen 7,00, tricyklický oktamer ( $Q^3(A)$ ), cyklický tetramer ( $Q_2^2/Q^3$ ), substituovaný cyklický trimer ( $Q^3(M)$ ), pentacyklický heptamer ( $Q^3(A)$ ) 45,83, můstkový cyklický tetramer ( $Q^3(X)$ ) – dva, dva tricyklické oktamery ( $Q^3(X)$ ) 47,17.

V tabulce I je uvedeno procentuální zastoupení strukturních motivů zkoumaných vodních skel obr. 3 a 4.

Tabulka I

Srovnání spekter obr. 3 a 4 z hlediska kvantity a strukturních motivů

$Q^n$	Chemický posun [ppm]		Obsah [hm. %]	
	Praha	Ostrava	Praha	Ostrava
$Q^0$	-72,94	- <sup>a</sup>	1,19	- <sup>b</sup>
$Q^1$	-80,91	-80,40	9,68	7,00
$Q^2(X)$	-82,84	- <sup>a</sup>	2,61	- <sup>b</sup>
$Q^2(A)$	-87,47	- <sup>a</sup>	42,68	45,83
$Q_2^2$	-88,85	-88,69	-	-
$Q^3(M)$	-91,15	- <sup>a</sup>	-	-
$Q^3(A)$	-97,00	-95,45	-	-
$Q^3(X)$	-97,91	- <sup>a</sup>	41,69	47,17
$Q^4$	-106,70	- <sup>a</sup>	2,14	- <sup>b</sup>

<sup>a</sup> Nebylo možno odečítat, <sup>b</sup> nevypočteno z důvodů neznalosti integrálních intenzit

## Závěr

Ačkoliv příprava těchto roztoků je snadná a využití široké, informace o jejich chemické stavbě jsou relativně skromné. Pro rozsáhlejší využití vodních skel je nutné v určování a zpřesňování struktury dále pokračovat, a doplňovat dalšími metodami fyzikálně-chemického výzkumu.

Tato práce byl finančně podporována grantem GA ČR č. 60/1013.

## LITERATURA

1. Kozubek E., Thomas B., Brendler E.: *Proceedings of 11<sup>th</sup> NMR Valtice*, str. 16. Masarykova univerzita, Brno 1997.
2. Mazúr M.: Ceramics – Silikaty 35, 303 (1991).
3. Tepjakov S. D.: Litejnoje Proizvod. 1984, 18.
4. Jelínek P.: Slévárenství 44, 287 (1996).

**L. Mokoš<sup>a</sup>, E. Kozubek<sup>a</sup>, P. Jelínek<sup>b</sup>, and J. Pavlovský<sup>b</sup>**  
 (<sup>a</sup>Department of Analytical Chemistry and Material Testing,

<sup>b</sup>Department of Foundry Field, Mining University, Ostrava):  
**<sup>29</sup>Si NMR Structure Analysis of Water Glass Samples**

The article deals with qualitative and quantitative NMR analysis of water glass for assessing capability of Tesla BS 587 A and Bruker spectrometers and for comparison of water glass samples of various densities. The analyses on the Bruker device give a more detailed information on present structures. The samples include trimers, tetramers, heptamers, and octamers, pentacyclic, tricyclic and bridged. Dimers, monomers and colloid phase are present to a lesser extent. With increasing density, the hexamer and trimer contents increase, whereas the cyclic tetramer and colloid phase contents decrease. In higher-density water glass solutions, which slowly gel and crosslink, more structure motifs are present.

Zavedená farmaceutická firma v americkém vlastnictví

## hledá absolventa VŠ – organického chemika

do výzkumného oddělení v Praze.

Náplň práce: syntéza nových léčiv, vývoj syntetických metod a vývoj procesů.

Nástup možný ihned. Žádosti s profesním životopisem zašlete na:  
 Interpharma Praha, a.s., Komoranská 955, 143 00 Praha 12  
 fax: 02/4025144, e-mail: interpharma@interpharma-praha.cz

## MONITOROVÁNÍ OBSAHU SELENU V LIDSKÉM ORGANISMU METODOU AAS\*

DAGMAR FRIŠOVÁ a JAROSLAV REJNEK

Katedra chemie, Pedagogická fakulta, Univerzita J. E. Purkyně, České mládeže 8, 400 96 Ústí nad Labem  
e-mail: rejnek@pf.ujep.cz

Došlo dne 15.III.2001

Klíčová slova: selen, vlasy, AAS

### Úvod

Průmyslově rozvinuté země se stále potýkají s hrozbou kontaminace životního prostředí nejrůznějšími látkami anorganického i organického původu. Výjimkou není ani Česká republika. Pozornost je nutné věnovat hlavně prvkům a látkám pro organismy toxicickým. Spolu s těmito toxicckými látkami je životní prostředí ovlivňováno řadou dalších látek, jimž je užitečné věnovat pozornost a které jsou v současné době rovněž intenzivně sledovány. Mezi tyto látky patří nepochyběně selen, který je celosvětově zkoumán z různých hledisek. Jeho výskyt a funkce v biologických systémech jsou zkoumány již delší dobu a názor na jeho vliv na lidský organismus se měnil a vyvíjel. Do obecného povědomí selen původně vešel jako silně toxicický, postupem času se však zjistilo, že má nezastupitelnou roli v lidském těle. Dnes je tedy zařazován jako prvek esenciální. Zajímavou skutečností je relativně úzké rozmezí koncentrací s příznivými a toxicckými účinky selenu na lidský organismus. Proto je důležité znát jeho množství v těle. Informace o jeho hladině poskytují tělní tekutiny (krev), tělní tkáně a kožní deriváty (vlasy, nehty). Práce se vzorky vlasů v porovnání s manipulací se vzorky krve nebo tělními tkáněmi je evidentně snazší.

Měření množství selenu v těchto biologických materiálech je možné provést řadou instrumentálních metod. Stanovení selenu metodou atomové absorpcní spektrometrie doplněnou o generaci hydridových par je založeno na redukci analytu na hydrid v kapalné fázi, jeho převedení do plynné fáze a následné atomizaci v optické dráze atomového absorpcního spektrometru. Základním rysem této techniky je tedy separace analytu od matrice a jeho vyšší koncentrace v absorpcním prostředí ve srovnání s klasickými metodami AAS. To vede ke zvýšení citlivosti a k výraznému omezení interferencí<sup>1,2</sup>.

Pro redukci analytu na hydrid byly navrženy různé reduktanty, např. směsi kyseliny chlorovodíkové a jodidu draselného, chlorid cínatý a granule zinku, kovový hořčík, kyselina chlorovodíková a chlorid titanitý<sup>3</sup>. Ke generování hydridů arsenu a selenu se od roku 1973 používá tetrahydridoboritan sodný<sup>4</sup> ( $\text{NaBH}_4$ ).

Reakci tetrahydridoboritanu sodného v kyselém prostředí popisuje rovnice (A):



Následující rovnice demonstreuje vznik hydridu stanovaného analytu:



Optimální uvolňování hydridů závisí především na formě analytu a kyselosti roztoku. Pouze čtyřvazný selen (IV) je schopen tvořit hydridy<sup>6</sup>, a může být tedy stanovován touto technikou, zatímco selen dvojvazný (II) a šestivazný (VI) hydridy netvoří, a musí se převádět na selen čtyřvazný (IV). K této přeměně se používá kyselina chlorovodíková<sup>6–8</sup> o koncentraci 5–7 mol·dm<sup>-3</sup>.

Cílem této práce bylo stanovení koncentrace selenu ve vlasech lidské populace okresu Ústí nad Labem a vzájemné porovnání hodnot mezi jednotlivými skupinami probandů.

### Experimentální část

Vlasy potřebné pro analýzu (asi 1,5 g) byly získány od osob žijících v Ústí n. L. a okolí a byly odebrány v souladu s obecnými zásadami odběru vzorků<sup>9–11</sup>. To znamená, že byly odstraněny vlasy o délce maximálně 1 cm z několika míst hlavy za použití kvalitních nůžek z nerezového materiálu.

Nejprve bylo nutné zbavit vzorky vlasů povrchové kontaminace. Vlasy byly promývány roztokem detergentu v redestilované vodě, poté proplachovány redestilovanou vodou, acetonom a nakonec opět redestilovanou vodou za stálého míchání po dobu asi 10 minut. Následně byly vzorky sušeny při teplotě 100 °C.

Po dokonalém očištění a usušení byly vzorky naváženy a mineralizovány. Pro analýzu jednoho vzorku bylo naváženo 0,4 až 1,5 g vlasů. Navážka byla v křemenném kelímku překryta hexahydátem dusičnanu hořečnatého.

Pro mineralizaci navážených vzorků vlasů byla použita (na základě řady srovnávacích experimentů<sup>12</sup>) metoda na suché cestě. Křemenné kelímky s experimentálním materiálem byly umístěny do pásky mineralizátoru Progmin s předvoleným programem a spalovány v teplotním režimu, který sestával z těchto kroků: pozvolného vzestupu na teplotu 300 °C po dobu sedmi hodin, tříhodinové prodlevy na této teplotě, dalšího postupného ohřevu na teplotu 550 °C po dobu sedmi hodin a posléze sedmihodinového udržování na této teplotě.

Dalším krokem byla digesce získaného popela v kyselině chlorovodíkové. K popelu bylo přidáno 8 cm<sup>3</sup> koncentrované kyseliny chlorovodíkové a roztok byl po dobu pěti hodin zahříván při teplotě 70 °C. Poté byl roztok doplněn 10 cm<sup>3</sup> deionizované vody, zfiltrován do odměrné baňky a doplněn deionizovanou vodou do požadovaného objemu. Tento roztok byl přelit do polyethylenové nádoby a uchováván v chladničce.

Pro měření selenu ve vlasech lidské populace bylo použito atomové absorpcní spektrometrie doplněnou o hydridovou techniku. Analyt byl z mineralizátu převeden na hydrid a poté následně vypuzen inertním plynem (dusíkem) do křemenné trubice umístěné v plameni spektrometru Varian SpectraAA

\* Tato práce získala zvláštní ocenění v soutěži o cenu firmy Merck za nejlepší studentskou vědeckou práci v oboru analytická chemie 2.2.2001 v Olomouci.

20+ se systémem VGA 76. Pro převedení analytu na hydrid bylo použito tetrahydridoboritanu sodného o hmotnostní koncentraci 0,6 % (stabilizovaného přídavkem 0,5 % roztoku hydroxidu sodného) v přítomnosti kyseliny chlorovodíkové o koncentraci 6 mol.dm<sup>-3</sup>. Podmínky měření a nastavení parametrů přístroje jsou uvedeny v tabulce I.

Nejprve byla nutná adjustace čerpadla tak, aby stoupací rychlosť roztoku tetrahydridoboritanu sodného a kyseliny chlorovodíkové byla 1 cm<sup>3</sup> za minutu a stoupací rychlosť vzorku 6,5 cm<sup>3</sup> za minutu. Protože se tetrahydridoboritan sodný snadno rozkládá, bylo jednorázově připraveno maximálně 500 cm<sup>3</sup> roztoku, jehož životnost byla prodloužena jeho uskladněním v chladničce.

**Tabulka I**  
Parametry atomového absorpcního spektrometru Varian Spec-trAA 20+ pro měření obsahu selenu v biologickém materiálu

Parametr	Hodnota
Plamen	acetylen–vzduch
Vstupní tlak acetylenu [MPa]	0,17
Vstupní tlak vzduchu [MPa]	0,50
Rychlosť proudění acetylenu [dm <sup>3</sup> .min <sup>-1</sup> ]	1,70
Rychlosť proudění vzduchu [dm <sup>3</sup> .min <sup>-1</sup> ]	12,0
Vlnová délka záření [nm]	196,0
Šířka šterbiny [nm]	0,5
Žhavicí proud katody [mA]	10
Korekce pozadí	ano
Doba prodlevy [s]	45
Počet opakování měření	3×
Metoda vyhodnocování měření	integrační
Doba měření [s]	3

Pro kalibraci bylo připraveno pět standardních kalibračních roztoků ze zásobního roztoku selenu hmotnostní koncentrace 1 mg.cm<sup>-3</sup>. U těchto roztoků byla změřena absorbance a sestrojena kalibrační závislost

$$A = f(c) \quad (1)$$

kde  $A$  je absorbance roztoku a  $c$  je koncentrace kovu v něm. Při použití této metody je nutné dodržet základní podmínu měření, linearitu závislosti absorbance na koncentraci kovu. Koncentrace selenu v kalibračních roztocích byla volena s ohledem na předpokládaný obsah kovu v mineralizátu tak, aby spl-

**Tabulka II**  
Výsledky měření kalibrační závislosti pro stanovení selenu

Roztok	$c$ [ng.cm <sup>-3</sup> ]	$A^b$	RSD <sup>c</sup> [%]
K1 <sup>a</sup>	0	0,001	0,1
K2	2	0,040	0,4
K3	4	0,082	1,5
K4	6	0,112	0,3
K5	8	0,159	0,3
K6	10	0,198	1,9
$y_c^d$	0,012	$w_c^e$	0,63
$y_d^f$	0,024	$w_d^g$	1,26
$y_s^h$	0,045	$w_s^i$	2,29

<sup>a</sup> K1 – slepý roztok, <sup>b</sup>  $A$  – absorbance roztoku, <sup>c</sup> RSD – relativní směrodatná odchylna, <sup>d</sup>  $y_c$  – kritická úroveň absorbance, <sup>e</sup>  $w_c$  – kritická úroveň koncentrace [ng.cm<sup>-3</sup>], <sup>f</sup>  $y_d$  – limita detekce absorbance, <sup>g</sup>  $w_d$  – limita detekce koncentrace [ng.cm<sup>-3</sup>], <sup>h</sup>  $y_s$  – mez stanovitelnosti absorbance, <sup>i</sup>  $w_s$  – mez stanovitelnosti koncentrace [ng.cm<sup>-3</sup>]

**Tabulka III**  
Sumarizace statistických údajů měření obsahu selenu ve vlasech některých skupin lidské populace okresu Ústí n. L.

Soubory <sup>a</sup>	Četnost souboru	Medián [ng.g <sup>-1</sup> ]	$F_D^b$ [ng.g <sup>-1</sup> ]	$F_H^c$ [ng.g <sup>-1</sup> ]	$R^d$ [ng.g <sup>-1</sup> ]	$L_1^e$ [ng.g <sup>-1</sup> ]	$L_2^f$ [ng.g <sup>-1</sup> ]	$V^g$
M	150	190,37	158,55	239,02	80,47	207,01	173,73	0
Ž	312	121,31	79,47	174,14	94,67	131,19	111,44	6H
M-A	33	194,42	145,71	251,86	106,15	217,70	171,14	0
M-B	42	228,70	186,92	239,13	52,21	240,67	210,92	0
M-C	21	161,93	83,59	177,60	94,01	209,63	114,25	0
M-D	18	249,09	241,92	263,13	21,21	257,83	235,11	0
M-E	36	159,31	100,92	191,15	90,23	180,39	138,22	0
Ž-A	66	179,53	140,08	217,42	77,34	199,97	153,84	6H
Ž-B	90	132,59	95,08	165,93	70,85	148,42	116,44	0
Ž-C	54	125,45	77,49	160,38	82,89	149,85	95,36	0
Ž-D	48	109,00	64,47	121,98	57,51	125,73	92,26	3H
Ž-E	54	49,07	31,22	90,00	58,78	60,51	27,46	6H

<sup>a</sup> M – sjednocení všech výsledků souborů mužů, Ž – sjednocení všech výsledků souborů žen, M-A – muži, věk do 20 let, M-B – muži, věk 21 až 30 let, M-C – muži, věk 31 až 40 let, M-D – muži, věk 41 až 50 let, M-E – muži, věk nad 50 let, Ž-A – ženy, věk do 20 let, Ž-B – ženy, věk 21 až 30 let, Ž-C – ženy, věk 31 až 40 let, Ž-D – ženy, věk 41 až 50 let, Ž-E – ženy, věk nad 50 let, <sup>b</sup>  $F_D$  – dolní kvartil, <sup>c</sup>  $F_H$  – horní kvartil, <sup>d</sup>  $R$  – interkvartilové rozpětí, <sup>e</sup>  $L_1$  – dolní hranice intervalu spolehlivosti, <sup>f</sup>  $L_2$  – horní hranice intervalu spolehlivosti, <sup>g</sup> V – vychýlené hodnoty, H – horní hodnoty souboru

ňovala uvedenou podmítku. Vhodný rozsah a linearitu kalibrace poskytly standardní roztoky o hmotnostních koncentracích 2, 4, 6, 8 a 10 ng selenu v 1 cm<sup>3</sup> roztoku. Pro nastavení analytické nuly přístroje bylo použito slepého roztoku. Za podmínek uvedených v tabulce I byly proměřeny absorbance slepého roztoku a kalibračních roztoků a sestrojena kalibrační závislost. Výsledky kalibračních měření byly zpracovány lineární regresí, byla určena kritická úroveň, limity detekce a mez stanovitelnosti. Hodnoty absorbance kalibračních roztoků a charakteristiky kalibrační závislosti jsou uvedeny v tabulce II. Všechny vzorky byly proměřeny třikrát. Kontrola správné laboratorní praxe byla prováděna vřazováním vzorků certifikovaného referenčního materiálu lidských vlasů GBW 07601.

## Výsledky a jejich zpracování

Z výsledků měření byl počítán aritmetický průměr, směrodatná odchylka a interval spolehlivosti (na hladině významnosti  $\alpha = 0,05$ ). Informace obsažené v těchto datech však mají jen malou výpovídací hodnotu. Proto byly výsledky sjednoceňny a uspořádány podle pohlaví probandů a podle věku. Takto vytvořené soubory dat byly zpracovány za použití statistického aparátu<sup>13,14</sup>. Jednotlivé kroky byly voleny tak, aby umožnily odhalit zákonitosti a statistické odlišnosti, které jsou v těchto datech obsaženy. Soubory dat byly podrobeny testování – průzkumové analýze, analýze rozdělení dat, byly provedeny odhady momentových charakteristik a tvarových charakteristik.

Protože u některých souborů dat byly nalezeny vybočující hodnoty a nebyl potvrzen předpoklad normality, byly momentové charakteristiky vyjádřeny mediánem, horním a dolním kvartilem, interkvartilovým rozpětím a intervalem spolehlivosti. Každý soubor je navíc charakterizován uvedením počtu odlehlych hodnot.

Sumární statistické údaje jsou vyjádřeny v tabulce III. Pro porovnání těchto souborů dat bylo použito metody testování statistických hypotéz neparametrickými testy.

## Závěry

Srovnávací analýza souborů dat umožnila rozhodnout o rozdílech v obsahu selenu u jednotlivých skupin sledovaných osob okresu Ústí nad Labem. Můžeme konstatovat, že:

- a) Ženy, které byly v této práci sledovány, mají (s výjimkou věkové kategorie do 20 let) obecně nižší obsah selenu než stejná věková kategorie mužů.
- b) V souboru dat žen mají nejnižší koncentraci selenu ve vlasech ženy věkové kategorie nad padesát let, nejvyšší potom ženy do dvaceti let.
- c) V souborech dat mužů byl zjištěn nejvyšší obsah selenu ve vlasech u věkové skupiny 41 až 50 let, nejnižší naopak u věkové skupiny 31 až 40 a nad 50 let.
- d) Za kritickou hodnotu koncentrace selenu ve vlasech je považována hodnota 0,1 mg.g<sup>-1</sup> a nižší<sup>15</sup>. Porovnáme-li s tímto výsledky námi získané, je zřejmé, že příjem selenu ve sledované skupině žen nad 50 let je nedostatečný. Skupina žen 41 až 50 let se k této kritické hodnotě přibližuje.

Jestliže soubory dat vytvoříme pouze rozlišením pohlaví probandů a využijeme-li dříve získaných výsledků<sup>16</sup> z okresů Chomutov a Česká Lípa a s těmito výběrovými soubory dat provedeme srovnávací analýzu, zjistíme, že námi získané výsledky skupiny žen se shodují s hodnotami selenu ve vlasech žen z obou oblastí (Chomutov a Česká Lípa) a mužů z oblasti Česká Lípa. Sledovaná skupina mužů z okresu Ústí nad Labem má vyšší obsah selenu ve vlasech než skupina mužů z oblasti Chomutov<sup>16</sup>.

*Autoři děkují magistrátu města Ústí nad Labem za finanční podporu.*

## LITERATURA

1. Száková J., Mader P.: Chem. Listy 88, 164 (1994).
2. Dědina J., Fara M., Kolihová D., Korečková J., Musil J., Sychra V., Plško E.: *Vybrané metody analytické atomové spektrometrie*. ČSS, Praha 1987.
3. Schmidt F. J., Royer J. L.: Anal. Lett. 6, 17 (1973).
4. Blazheva T., Delijska A., Russeva E., Havezov I.: Comm. Chem. (Sofia) 22, 2 (1989).
5. Thompson K. C., Thomerson D. R.: Analyst (London) 99, 595 (1974).
6. Welz B., Melcher M.: Anal. Chem. 57, 427 (1985).
7. Gelman A. L.: Varian AA Instruments at Work. Firemní materiál AA-44, 1985.
8. Xi C., Huimin J., Guoan H.: Varian Instruments at Work. Firemní materiál AA-82, 1988.
9. Erlick K. A., Horowitz A. J.: Varian AA Instruments at Work. Firemní materiál AA-56, 1986.
10. Guo T., Erler W., Schulze H.: Atom. Spectrosc. 11, 24 (1990).
11. Barlow P. J., Sidani S. A., Lyons M.: Sci. Total Environ. 42, 121 (1985).
12. Šulženková J.: *Diplomová práce*. Univerzita J. E. Purkyně, Ústí nad Labem 1997.
13. Cihlář J., Pelikán Š.: *Statistika*. Univerzita J. E. Purkyně, Ústí nad Labem 1987.
14. Meloun M., Militký J.: *Statistické zpracování experimentálních dat*. Edice Plus, Praha 1994.
15. Magos L., Berg G. G.: *Biological Monitoring of Toxic Metals*. Plenum Press, New York 1988.
16. Nastoupilová J.: *Diplomová práce*. Univerzita J. E. Purkyně, Ústí nad Labem 1999.

**D. Frišová and J. Rejnek** (*Department of Chemistry, Pedagogical Faculty, J. E. Purkyně University, Ústí nad Labem*): **Monitoring of Selenium Content in Human Organism by Atomic Absorption Spectrometry**

Although selenium ranks among essential elements, but the range between concentrations with favourable and toxic effects on the human organism is relatively narrow. Determination of selenium in human hair was performed by AAS and supplemented by the hydride technique. By analysis of the obtained data it was found that the selenium content in female hair is generally lower than that in males of the same age category. The highest content was found in males under 50, the lowest in females over 50.

**VYUŽITÍ NĚKTERÝCH BIOLOGICKÝCH VZORKŮ  
PRO STANOVENÍ OBSAHU STOPOVÉHO  
MNOŽSTVÍ KOVŮ V LIDSKÉM ORGANISMU  
METODOU AAS\***

**JITKA PŮLPYTLOVÁ a JAROSLAV REJNEK**

*Katedra chemie, Pedagogická fakulta, Univerzita J. E. Purkyně, České mládeže 8, 400 96 Ústí nad Labem  
e-mail: rejnekj@pf.ujep.cz*

Došlo dne 15.III.2001

---

**Klíčová slova:** stanovení kovů, nehty, vlasy, AAS

---

## Úvod

Závažným ekologickým problémem je poměrně vysoký obsah některých kovů v ovzduší, vodě a půdě a z toho plynoucí zvýšený obsah těchto látek v rostlinných a živočišných organismech. Stanovení jejich množství slouží k posouzení míry znečištění životního prostředí těmito kovy. Ke stanovení stopových množství těžkých kovů v různých materiálech lze využít řady metod instrumentální analytické chemie. Nejpoužívanějšími metodami jsou dnes především metody atomové absorpcní spektrometrie, elektrochemické metody, rentgenové metody a nukleární aktivační techniky.

Velký rozvoj zaznamenaly metody atomové absorpcní spektrometrie<sup>1,2</sup>, a to jak v teoretickém rozpracování, tak i v instrumentálním vybavení a šíři analytických aplikací. Rozvoj této metody znamenal zvětšení citlivosti a posunutí meze detekce u řady stanovovaných kovů<sup>3</sup>.

Informace o hladinách kovů v organismu mohou poskytnout tělní tekutiny (krev, moč), tělní tkáně a kožní deriváty (vlasy, nehty). Vzhledem k možnostem pracoviště se jako nejschůdnější ukázala práce se vzorky vlasů a nehtů, především pro snazší a bezpečnější manipulaci s tímto materiélem. Vzorky vlasů a nehtů používané k analýze se získávají v souladu s obecnými zásadami pro odběr vzorků<sup>4–6</sup>, poté jsou dekontaminovány. Z řady postupů je doporučováno důkladné proprání v deionizované vodě a acetolu<sup>7–9</sup>. Následuje sušení vzorků v sušárně, ochlazení na laboratorní teplotu a uskladnění, přičemž nesmí dojít k sekundární kontaminaci. Takto upravený vzorek vlasů a nehtů je připraven pro další postup analytického rozboru.

Většina prvků je vázána v biologickém materiuu ve formě složitých sloučenin. Často jde o komplexní sloučeniny, popř. cheláty. Protože energie dodaná plamenem nestačí na rozbití vazeb v těchto sloučeninách a měřený prvek se jen velice obtížně uvolňuje, dochází ke zkreslení výsledků měření. Je proto nutné použít postupy rozkladu biologického materiálu tak, aby výsledky, které získáme, byly reprodukovatelné, statisticky významné a dále použitelné. Při hodnocení vhodnosti použitého způsobu mineralizace příslušného typu vzorku biologického materiálu se musí vzít v úvahu zvláště výtěžnost

daného postupu, míra odstranění složité struktury, ve které je prvek vázán, velikost navážky, spotřeba chemikálií a energií. Postupy určuje i technické vybavení pracoviště s ohledem na bezpečnost práce<sup>10</sup>.

Cílem této práce bylo stanovit množství chromu, kadmia, mědi, zinku a železa v nehtech a vlasech osob okresu Ústí nad Labem metodou atomové absorpcní spektrometrie a zjistit možné souvislosti mezi obsahy sledovaných analytů v obou biologických materiálech.

## Experimentální část

Odběr vlasů a nehtů u náhodně vybraných osob okresu Ústí nad Labem byl proveden v souladu s obecnými zásadami o odběru vzorků<sup>11</sup>. Poté byly vlasy a nehty promývány roztokem detergentu v deionizované vodě, dále deionizovanou vodou, acetonom, znova deionizovanou vodou a sušeny v sušárně při teplotě 100 °C po dobu 2 hodin. Takto dekontaminované vzorky byly mineralizovány.

Pro úpravu vzorků vlasů a nehtů byl na základě zhodnocení vhodnosti jednotlivých způsobů mineralizace<sup>4,12</sup> zvolen postup mineralizace na mokré cestě s použitím koncentrovaných kyselin H<sub>2</sub>SO<sub>4</sub>, HNO<sub>3</sub> a H<sub>2</sub>O<sub>2</sub> a postup mikrovlnné mineralizace. V prvním případě byla navážka vlasů a nehtů (do 1,5 g) v zábrusové destilační baňce přelita 5 cm<sup>3</sup> koncentrované kyseliny sírové a po 1 hodině stání bylo přidáno 10 cm<sup>3</sup> koncentrované kyseliny dusičné. Vzorek byl zahříván pod zpětným chladičem po dobu 5 hodin. Po vychladnutí vzorku bylo přidáno 5 cm<sup>3</sup> koncentrovaného peroxidu vodíku a zahříváno další 2 hodiny pod zpětným chladičem. Poté byl mineralizát na topné desce odkouřen do objemu 3–5 cm<sup>3</sup>, po vychladnutí doplněn 10 cm<sup>3</sup> deionizované vody a zfiltrován do odměrné baňky. Mineralizát byl po vychladnutí doplněn deionizovanou vodou na objem 25 cm<sup>3</sup>, přelit do polyethylenové nádoby a uchováván v chladničce při teplotě nižší než 6 °C. Podobným způsobem byly připraveny i slepé srovnávací vzorky.

Pro mikrovlnnou mineralizaci byl použit mineralizátor Uniclever. Postup destrukce vzorku byl volen se zřetelem na druh biologického materiálu a na množství navážky. V případě vlasů byly voleny navážky 0,5 g až 1,5 g, nehtů 0,5 g až 1 g. Rozklad byl prováděn v uzavřeném systému, který umožnil použít vyššího tlaku, jenž celý proces urychluje. K mineralizovanému vzorku byla přidána směs HNO<sub>3</sub> a H<sub>2</sub>O<sub>2</sub>. Teplota mineralizace je omezena materiélem mineralizační nádobky, nesmí být vyšší než 240 °C. Celý proces rozkladu byl naprogramován jako vícestupňový. Po vysokotlakém rozkladu byl systém otevřen a opatřen destilačním nástavcem. Nadbytečné množství rozpouštědla bylo oddestilováno v takovém množství, aby získaný objem mineralizátu nebyl větší než 3–5 cm<sup>3</sup>. Poté byl mineralizát zfiltrován do odměrné baňky objemu 10, 25 nebo 50 cm<sup>3</sup> (podle stanovovaného analytu a navážky vzorku) a do požadovaného objemu doplněn deionizovanou vodou.

K měření obsahu chromu, kadmia, mědi, zinku a železa bylo použito atomového absorpcního spektrometru SpectraAA 20+, při měření kadmia doplněného zakoncentrovávací kře-

\* Tato práce získala zvláštní ocenění v soutěži o cenu firmy Merck za nejlepší studentskou vědeckou práci v oboru analytická chemie 2.2.2001 v Olomouci.

mennou trubicí ACT - 80. Pro měření byly na spektrometru nastaveny parametry uvedené v tabulce I. Pro kalibraci bylo pro každý stanovaný kov připraveno pět kalibračních roztoků. U těchto roztoků byla změřena absorbance a sestrojena kalibrační závislost

$$A = f(c) \quad (1)$$

kde  $A$  je absorbance roztoku a  $c$  je koncentrace kovu v něm. Při použití této metody je nutné dodržet základní podmínku měření, linearitu závislosti absorbance na koncentraci kovu. Koncentrace kovu v kalibračním roztoku byla proto volena s ohledem na předpokládaný obsah kovu v mineralizátu a tak, aby splňovala uvedenou podmínku. Naměřené hodnoty absorbancí kalibračních roztoků s koncentracemi kovů v těchto roztocích a kalibrační charakteristiky jsou uvedeny v tabulce II. Měření v připravených roztocích mineralizátů probíhalo za stejných podmínek jako měření kalibračních roztoků. Kontrola správné laboratorní praxe byla prováděna vřazováním vzorků certifikovaného referenčního materiálu lidských vlasů GBW 07601.

#### Tabulka I

Parametry přístroje SPECTR AA 20+ pro měření obsahu Fe, Cd, Cr, Zn a Cu v experimentálním materiálu. Plamen acetylén–vzduch, vstupní tlak: acetylén 588 kPa, vzduch 3907 kPa

Parametr	Fe	Cd	Cr	Zn	Cu
Rychlosť proudění: vzduchu [ $\text{l} \cdot \text{min}^{-1}$ ]	12	12	12	12	12
acetylenu [ $\text{l} \cdot \text{min}^{-1}$ ]	1,3	1,5	1,8	1,3	1,3
Vlnová délka	248,3	228,3	359,9	213,9	324,8
záření [nm]					
Šířka štěrbiny [nm]	0,2	0,5	0,2	1,0	0,5
Žhavící proud [mA]	5,0	4,0	7,0	5,0	4,0
Korekce pozadí	ano	ano	ne	ano	ne
Počet opakování měření	3	3	3	3	3
Doba jednoho měření [s]	3	3	3	3	3
Poznámky	a	a	b		

<sup>a</sup> Měření prováděno se zakoncentrovávací trubicí ACT-80,  
<sup>b</sup> měření prováděno s hořákem otočeným kolmo na směr optické osy přístroje

#### Zpracování výsledků

Výsledky byly uspořádány podle sledovaného analytu, zkoumaného vzorku, pohlaví a věku probandů. Některé výběrové soubory jsou málo četné, proto je jejich vypovídací hodnota snížena a lze je jen obtížně zahrnout do sledovaných souvislostí. Proto byly vytvořeny soubory sjednocené, které zahrnují skupiny osob jednoho pohlaví pro sledovaný analyt a druh vzorku. Takto sjednocené výsledky byly zpracovány za použití statistického aparátu<sup>13,14</sup>. Jednotlivé kroky byly voleny tak, aby umožnily odhalit zákonitosti a statistické odlišnosti, které jsou v těchto datech obsaženy. Data byla podrobena testování (průzkumová analýza, analýza rozdělení dat, vyhod-

nocení souboru dat – odhadu momentových charakteristik a tvarových charakteristik). Protože u většiny výběrových souborů dat byly nalezeny vybočující hodnoty a nebyl potvrzen předpoklad normality, byly momentové charakteristiky vyjádřeny mediánem, intervalem spolehlivosti mediánu, horním a spodním quartilem. Všechny odhady byly provedeny na hladině významnosti  $\alpha = 0,05$ . Sumární statistické údaje jsou vyjádřeny v tabulce III. Pro porovnání těchto souborů dat bylo použito metody testování statistických hypotéz neparametrickými testy.

Vedle těchto základních statistických údajů nás však zajímala i případná souvislost mezi obsahem jednotlivých analytů v obou sledovaných materiálech a také případná souvislost mezi sledovanými analyty. Proto byly výběrové soubory dat mužů a žen podrobeny korelační analýze.

#### Zhodnocení výsledků a závěr

Ze statistického zpracování výsledků měření a porovnání výběrových souborů mužů a žen v závislosti na sledovaném experimentálním materiálu a věkové skupině probandů lze konstatovat, že:

1. Nižší obsah kadmia v nechtech oproti ostatním souborům má skupina žen věkové kategorie 21 až 40 let, ostatní skupiny probandů mají srovnatelný obsah. Ani mezi skupinou mužů proti skupině žen není podstatného rozdílu. Obsah kadmia ve vlasech nevykazuje u skupin probandů významných rozdílů. Skupina mužů do 20 let a žen ve věku do 40 let mají obsah kadmia ve vlasech mírně vyšší než ostatní skupiny probandů. Pokud soubory nerozlišíme podle věku, porovnání nevykazuje signifikativních rozdílů.
2. Nejnižší obsah chromu v nechtech byl zjištěn u souboru žen věkové kategorie do 40 let, naopak nejvyšší obsah byl stanoven u skupiny mužů ve věkové kategorii od 21 do 40 let. Obecně vykazují vyšší obsah chromu nehty mužů. Nejnižší obsah chromu ve vlasech byl zjištěn u skupiny mužů a žen věkové kategorie do 20 let, nejvyšší obsah potom u skupiny mužů a žen věkové kategorie mezi 21 a 40 roky. Pokud soubory nerozlišíme podle věku, vykazují vlasy mužů vyšší obsah chromu než vlasy žen.
3. Nejnižší obsah mědi v nechtech byl zjištěn u souboru žen věkové kategorie do 20 let, naopak nejvyšší obsah byl stanoven u skupiny mužů a žen ve věkové kategorii od 21 do 40 let. Pokud soubory nerozlišíme podle věku, porovnání nevykazuje signifikativních rozdílů. Hodnoty obsahu mědi ve vlasech probandů nevykazují při porovnání výběrových souborů významných rozdílů.
4. Hodnoty obsahu železa v nechtech probandů nevykazují při porovnání výběrových souborů významných rozdílů. Nejnižší obsah železa ve vlasech byl zjištěn u souboru žen a mužů věkové kategorie do 20 let, naopak nejvyšší obsah byl stanoven u skupiny mužů a žen ve věkové kategorii od 21 do 40 let. Pokud soubory nerozlišíme podle věku, porovnání nevykazuje signifikativních rozdílů.
5. Nejvyšší obsah zinku byl zjištěn v nechtech skupiny mužů ve věku od 21 do 40 let. Ostatní skupiny probandů nevykazují vůči sobě významných rozdílů. Pokud soubory nerozlišíme podle věku, vyšší obsah zinku obsahují nehty mužů. Hodnoty obsahu zinku ve vlasech probandů nevykazují významných rozdílů.

Korelační koeficienty a parciální korelační koeficienty

Tabulka II

Kalibrační závislosti pro měření množství železa, kadmia, mědi, zinku a chromu

Kal. roztok <i>w.10<sup>2</sup> [µg.cm<sup>-3</sup>]</i>	Fe		Cd		Cu		Zn		Cr	
	<i>A<sup>a</sup></i>	RSD <sup>b</sup>								
0,00	0,001	0	0,000	0	0,002	0	0,001	0	0,001	0
2,00	0,061	3,2	0,006	9,6	0,160	0,2	0,033	2,4	0,056	0,3
4,00	0,123	0,4	0,010	2,1	0,315	0,7	0,065	0,5	0,105	0,3
6,00	0,185	1,0	0,017	1,3	0,476	0,3	0,096	0,9	0,165	0,9
8,00	0,248	1,0	0,023	1,7	0,630	0,3	0,128	1,8	0,215	0,1
10,00	0,310	0,5	0,028	0,7	0,790	0,1	0,159	0,2	0,268	0,5
<i>Kalibrační charakteristiky<sup>c</sup></i>										
<i>K<sup>c</sup></i>	0,031		0,3		0,079		0,016		0,027	
<i>y<sub>c</sub></i>	2,9.10 <sup>-3</sup>		2,2.10 <sup>-3</sup>		7,4.10 <sup>-3</sup>		2,6.10 <sup>-3</sup>		7,7.10 <sup>-3</sup>	
<i>w<sub>c</sub></i>	1,0.10 <sup>-1</sup>		8,4.10 <sup>-3</sup>		7,0.10 <sup>-2</sup>		7,9.10 <sup>-2</sup>		8,1.10 <sup>-1</sup>	
<i>y<sub>d</sub></i>	6,0.10 <sup>-3</sup>		9,6.10 <sup>-3</sup>		1,3.10 <sup>-2</sup>		3,8.10 <sup>-3</sup>		1,3.10 <sup>-2</sup>	
<i>w<sub>d</sub></i>	2,0.10 <sup>-1</sup>		1,7.10 <sup>-2</sup>		1,4.10 <sup>-1</sup>		1,6.10 <sup>-1</sup>		4,1.10 <sup>-1</sup>	
<i>y<sub>s</sub></i>	1,1.10 <sup>-2</sup>		8,6.10 <sup>-3</sup>		2,0.10 <sup>-2</sup>		4,5.10 <sup>-3</sup>		2,0.10 <sup>-2</sup>	
<i>w<sub>s</sub></i>	3,7.10 <sup>-1</sup>		3,1.10 <sup>-2</sup>		2,3.10 <sup>-1</sup>		2,0.10 <sup>-1</sup>		6,6.10 <sup>-1</sup>	

<sup>a</sup> *A* – absorbance roztoku, <sup>b</sup> RSD – relativní směrodatná odchylka [%], <sup>c</sup> *K* – směrnice kalibrační přímky, *y<sub>c</sub>* – kritická úroveň absorbance, *w<sub>c</sub>* – kritická úroveň koncentrace [µg.cm<sup>-3</sup>], *y<sub>d</sub>* – limita detekce absorbance, *w<sub>d</sub>* – limita detekce koncentrace [µg.cm<sup>-3</sup>], *y<sub>s</sub>* – mez stanovitelnosti absorbance, *w<sub>s</sub>* – mez stanovitelnosti koncentrace [µg.cm<sup>-3</sup>]

Tabulka III

Sumarizace statistických údajů měření obsahu zinku, mědi, železa, kadmia a chromu ve vlasech a nechtech

Soubor <sup>a</sup>	Četnost souboru	Vlasy						Nehty					
		Medián [µg.g <sup>-1</sup> ]	F <sub>D</sub> <sup>b</sup> [µ.g <sup>-1</sup> ]	F <sub>H</sub> <sup>c</sup> [µg.g <sup>-1</sup> ]	L <sub>1</sub> <sup>d</sup> [µg.g <sup>-1</sup> ]	L <sub>2</sub> <sup>d</sup> [µg.g <sup>-1</sup> ]	Medián [µg.g <sup>-1</sup> ]	F <sub>D</sub> <sup>b</sup> [µg.g <sup>-1</sup> ]	F <sub>H</sub> <sup>c</sup> [µg.g <sup>-1</sup> ]	L <sub>1</sub> <sup>d</sup> [µg.g <sup>-1</sup> ]	L <sub>2</sub> <sup>d</sup> [µg.g <sup>-1</sup> ]		
Zinek													
Ž do 20	60	83,02	68,33	103,00	71,93	94,10	50,97	37,83	92,20	39,23	62,70		
Ž 21–40	69	84,20	64,41	106,83	79,77	88,63	61,99	48,32	119,33	40,05	83,93		
Ž 41–60	18	75,07	72,32	84,71	68,35	81,77	39,21	18,93	77,56	4,39	61,51		
Ž	147	83,95	67,58	105,80	78,57	88,33	55,35	37,93	106,11	46,06	64,64		
M do 20	60	94,94	71,04	111,18	86,27	103,60	55,64	45,50	90,86	46,69	64,69		
M 21–40	78	104,72	71,32	133,11	77,89	130,26	97,65	65,55	145,07	89,23	105,05		
M 41–60	15	102,07	77,06	114,69	74,71	129,43	102,20	60,08	311,61	0	297,58		
M	153	96,21	71,32	127,19	86,63	105,79	83,07	52,14	120,66	66,39	99,76		
Měď													
Ž do 20	60	8,68	5,82	13,82	7,37	9,99	3,14	1,08	9,07	1,69	4,57		
Ž 21–40	69	8,59	7,10	11,24	7,46	9,72	7,42	3,98	9,59	6,07	8,77		
Ž 41–60	18	8,22	6,83	8,98	6,81	8,98	1,56	3,89	25,10	0	24,20		
Ž	147	8,37	6,81	11,25	7,81	8,93	5,74	2,51	9,83	4,14	7,34		
M do 20	60	8,52	6,60	12,07	7,39	9,64	6,32	3,85	13,14	4,85	7,79		
M 21–40	78	9,26	7,50	10,35	8,90	9,62	7,76	5,51	9,39	6,60	8,59		
M 41–60	15	8,67	7,15	11,58	5,59	11,74	9,47	4,85	11,84	4,51	14,43		
M	153	9,17	6,93	11,33	8,64	9,70	7,16	4,71	10,92	6,29	8,03		
Železo													
Ž do 20	60	7,75	3,04	13,72	5,19	10,30	40,42	24,71	63,94	31,48	49,36		
Ž 21–40	69	13,20	6,61	21,58	9,57	16,82	29,59	10,67	60,64	18,18	41,00		
Ž 41–60	18	13,22	9,34	14,20	10,48	15,55	35,82	9,46	42,32	7,42	49,29		
Ž	147	11,15	5,36	17,12	9,09	13,21	35,38	16,61	60,15	30,04	40,72		
M do 20	60	5,69	3,43	10,82	4,09	7,29	48,31	23,92	61,46	31,37	65,23		
M 21–40	78	10,43	4,61	16,23	7,83	12,44	30,72	11,22	63,68	20,79	39,31		

Tabulka III – pokračování

Soubor <sup>a</sup>	Četnost souboru	Vlasy					Nehty				
		Medián [µg.g <sup>-1</sup> ]	F <sub>D</sub> <sup>b</sup> [µg.g <sup>-1</sup> ]	F <sub>H</sub> <sup>c</sup> [µg.g <sup>-1</sup> ]	L <sub>1</sub> <sup>d</sup> [µg.g <sup>-1</sup> ]	L <sub>2</sub> <sup>d</sup> [µg.g <sup>-1</sup> ]	Medián [µg.g <sup>-1</sup> ]	F <sub>D</sub> <sup>b</sup> [µg.g <sup>-1</sup> ]	F <sub>H</sub> <sup>c</sup> [µg.g <sup>-1</sup> ]	L <sub>1</sub> <sup>d</sup> [µg.g <sup>-1</sup> ]	L <sub>2</sub> <sup>d</sup> [µg.g <sup>-1</sup> ]
M 41–60	15	18,02	6,91	20,18	7,79	28,25	28,54	11,15	209,34	0	190,37
M	153	7,50	4,15	16,21	4,81	10,20	31,49	13,72	63,37	20,52	42,46
Kadmium											
Ž do 20	60	7,95	7,47	8,83	7,67	8,23	24,70	22,53	27,63	24,07	25,33
Ž 21–40	69	7,82	6,97	8,55	7,43	8,21	20,05	16,08	21,59	18,77	21,33
Ž 41–60	18	8,08	6,81	8,25	7,17	8,92	22,77	20,70	23,15	20,46	24,72
Ž	147	7,95	7,34	8,64	7,74	8,16	22,13	19,95	24,70	21,66	22,60
M do 20	60	7,95	7,31	8,58	7,56	8,34	22,74	21,57	27,04	21,08	24,41
M 21–40	78	7,42	5,58	8,22	6,86	7,98	22,97	18,20	27,73	20,56	25,26
M 41–60	15	6,62	6,30	7,56	5,69	7,55	24,40	18,93	29,33	17,48	31,32
M	153	7,56	6,29	8,35	7,32	7,79	22,85	18,74	27,62	21,60	24,10
Chrom											
Ž do 20	60	1,85	1,03	2,81	1,41	2,29	3,74	3,15	6,56	1,90	5,57
Ž 21–40	69	7,62	2,02	10,06	6,74	8,50	5,04	2,92	10,26	3,59	6,49
Ž 41–60	18	5,85	1,03	8,84	0	9,79	5,99	3,22	9,37	0,73	9,70
Ž	147	2,67	1,11	8,55	0,44	4,90	4,99	3,03	8,84	3,92	6,06
M do 20	60	2,16	1,02	7,94	1,48	2,84	5,53	3,29	8,29	4,13	6,93
M 21–40	78	8,08	6,78	31,75	5,84	10,28	7,73	4,53	12,23	6,35	9,09
M 41–60	15	9,09	7,49	29,66	0	27,71	7,49	4,34	15,29	0	15,11
M	153	7,47	1,92	29,66	6,66	8,28	6,79	4,15	10,55	5,84	7,74

<sup>a</sup> Ž – ženy, M – muži, do 20, 21–40, 41–60 – jednotlivé věkové kategorie, <sup>b</sup> F<sub>D</sub> – hodnota dolního kvartilu, <sup>c</sup> F<sub>H</sub> – hodnota horního kvartilu, <sup>d</sup> L<sub>1</sub>, L<sub>2</sub> – dolní a horní hranice intervalu spolehlivosti mediánu

umožňují hodnotit závislost proměnných. Porovnáme-li oba parametry závislosti obsahu sledovaných analytů v obou zkoumaných biologických materiálech náhodného souboru mužů a žen, můžeme konstatovat, že:

1. V neitech skupiny mužů existuje závislost mezi obsahem železa a zinku, slabší závislost mezi obsahem železa a kadmiem, mědi a zinku, chromu a železa a chromu a zinku. Ve vlasech skupiny mužů opět mezi obsahem železa a zinku a chromu a zinku. Poměrně silná negativní závislost byla prokázána ve vlasech mezi obsahem kadmia a chromu.
2. V neitech skupiny žen indikují výsledky závislost mezi kadmiem a mědí, železem a zinkem, slabší závislost mezi kadmiem a železem, kadmiem a zinkem, mezi chromem a železem, chromem a zinkem. Ve vlasech skupiny žen závislost mezi mědí a železem a chromem a zinkem, slabší závislost mezi chromem a mědí, chromem a železem a mědí a zinkem. Silná negativní závislost byla zjištěna mezi obsahem kadmia a chromu.
3. U obou skupin probandů byla zjištěna korelace mezi vlasy a nehty u chromu, mědi a zinku.

#### LITERATURA

1. Petříčková V., Záleská I.: Agrochémia 30, 3 (1990).
2. Petříčková V., Záleská I.: Agrochémia 30, 80 (1990).
3. Littlejohn D., Jowit R., Shuttler I. L., Sparkes S. T., Tyson J. F., Walton S. J.: J. Anal. At. Spect. 5, 179 R (1990).
4. Pikhart J., Gasparič J.: Chem. Listy 87, 16 (1993).
5. Ryan D. E., Holzbecher J., Stuart D. C.: Clin. Chem. 24, 1996 (1978).

6. Manson P., Zlotkin S.: Can. Med. Assoc. J. 133, 186 (1985).
7. Beneze K.: Fresenius' J. Anal. Chem. 338, 58 (1990).
8. Grandjean P.: Int. Arch. Occup. Environ. Health 42, 69 (1978).
9. Ahmed A. F. M., Elmubarak A. H.: Bull. Environ. Contam. Toxicol. 45, 139 (1990).
10. Šulzenková J.: Diplomová práce. Univerzita J. E. Purkyně, Ústí nad Labem 1998.
11. Guo T., Erler W., Schulze H.: Atom. Spectrosc. 11, 24 (1990).
12. Petrlíková M.: Diplomová práce. Univerzita J. E. Purkyně, Ústí nad Labem 2000.
13. Meloun M., Javůrek M.: Chemometrie, I. díl. VŠCHT, Pardubice 1986.
14. Meloun M., Militký J.: Statistická zpracování experimentálních dat. Edice Plus, Praha 1994.

**J. Půlpytllová and J. Rejnek** (*Department of Chemistry, Pedagogical Faculty, J. E. Purkyně University, Ústí nad Labem*): Use of Some Biological Samples for Determination of Content of Trace Amounts of Metals in Human Body by Atomic Absorption Spectrometry

The contents of iron, zinc, copper, chromium and cadmium in human hair and nails was determined by AAS. Statistical processing of the data showed a dependence of the contents on the sex and age of the tested people. Correlations between some of the monitored metals and the used biological material were found.

## RECENZE

W. J. Blau, P. Lianos, U. Schubert (Eds.):  
**Molecular Materials and Functional Polymers**  
 Springer-Verlag, Wien 2001. Stran 192; cena 228,- DEM,  
 ISBN 3-211-83597-0.

Svazek obsahuje sdělení přednesená na závěrečném semináři „Workshop“ COSTu (European Cooperation of Scientific and Technical Research) konaném v Patrasu v Řecku v červnu 2000, shrnujícím projektový program „Action on Molecular Materials and Functional Polymers“. Uvedení editoři vybrali 19 zde přednesených sdělení, která mají interdisciplinární charakter, skýtající mnohostranný efektivní pohled odborníků z chemie, fyziky, elektroniky, konstrukčního a materiálového inženýrství. V tomto výčtu jsou zahrnutы čtyři vyžádané referáty a 15 sdělení rozčleněných do tří oddílů: Molekulární materiály, Anorganické a hybridní anorganicko-organické materiály a Funkcionalizované polymery. Uvedená sdělení mají klasickou formu: abstrakt, úvod, výsledky a diskusi, experimentální část, závěr a seznam literatury. Nechybí ani formule, schémata, grafy a obrázky. Užívá se v nich zkratek pro techniky a postupy i substráty. Pozorný čtenář, pokud není přímo v dané oblasti odborník, najde alespoň jednou v článku zmíněný plný název. Přesto je škoda, že není v závěru svazku seznam použitých zkratek na místě rejstříku.

Témata se týkají ftalocyaninů, nelineárních optických materiálů z tekutých krystalů a anorganicko-organických hybridních látek, molekulárních magnetů, látek pro optické paměti na bázi azobenzenů, kompozitů nanotub a derivátů fullerenů. Lze v nich nalézt některé odpovědi k problematice fotovoltaických zařízení, fotoluminiscence polysilanů, polyalkylthiofenů a nanokompozitních gelů, elektronické vodivosti a elektrochromních okének. Vybrané články poskytují nové poznatky, ale ukazují i nové trendy v oblasti materiálového inženýrství. Ty jsou jistě dostupné i v odborných časopisech, leč svazek nabízí poznatky logicky příbuzné, i když ne bezprostředně související, skýtající badatelský nadhled i asociativní inspiraci. A to je asi hlavní klad této knihy.

Jaromír Hlavatý

K. Waisser, M. Pour:  
**Organická chemie II**  
 Karolinum, Praha 2000. ISBN 80-246-161-3.

V nakladatelství Karolinum vyšel v minulém roce druhý díl učebnice organické chemie, kterou napsali prof. RNDr. Karel Waisser, DrSc. a doc. RNDr. Milan Pour, PhD. z FaF UK v Hradci Králové pro posluchače své fakulty. Navazují tak na první díl učebnice, který napsal prof. Waisser a který vyšel v roce 1999 ve stejnojmenném nakladatelství (recenze: J. Pa-točka: Chem. Listy 93, 591 (1999)).

Recenzovaný díl učebnice spočívá ve třech tematicky odlišných kapitolách. Podobně jako první díl učebnice je založen na koncepci struktura v. chemické vlastnosti, je první kapitola druhého dílu založena na koncepci struktura v. fyzi-

kální vlastnosti organických sloučenin, které se obrázejí v jejich chování v elektrických a v magnetických polích. Popisuje fyzikálně-chemické metody používané k identifikaci a k charakterizaci organických sloučenin (IC, Raman, UV, CD, ORD a NMR) a organických intermediátů (ESR). Za velmi důležitou považují rovněž kapitolu o těch fyzikálních vlastnostech, které vyplývají z mezmolekulových interakcí. Každá z uvedených spektroskopických metod je uvedena nezbytným teoretickým výkladem, po kterém následují popis výpočetních a aplikačních možností při určování struktur sloučenin a účelně a smysluplně zvolené příklady jejich použití.

Ve druhé kapitole se autoři zabývají strukturou a vlastnostmi makromolekulárních sloučenin. Po vysvětlení základních pojmu se venují popisu derivátů přírodních makromolekulárních sloučenin a plastům připravovaným polymerizací spolu s uvedením hlavních mechanismů polymerizačních reakcí. Soustředují se na ty polymery a na ty jejich vlastnosti a oblasti jejich aplikací, s nimiž se budou absolvenci FaF v praxi setkávat.

Poslední kapitolou jsou otázky k oběma dílům Organické chemie, pomocí nichž si mohou studenti ověřovat stupeň porozumění probírané látce.

Knihu je doplněna rejstříkem a seznamem doporučené literatury pro první kapitolu.

Je dobré, že se prof. Waisser ujal napsání učebnice organické chemie pro farmaceuty. Je k tomu také patřičně kvalifikovan svojí dlouholetou pedagogickou a vedecko-výzkumnou praxí.

Text knihy je napsán srozumitelně a dobře se čte. Totéž ale nemohu tvrdit o vzorcích a reakčních schématech. V řadě z nich se autoři jakoby neodvážili pokročit v racionalizaci psaní strukturních vzorců až ke vzorcům skeletálním. Ty jsou pak „presyceny“ vodíkovými atomy tak, že se stávají až neprůhlednými, dochází v nich k „deformaci“ valenčních úhlů už v grafických nákresech a ztrácejí se v nich informace popisované v textu. Myslím, že mezi fyzikálně-chemickými metodami měly být zmíněny i hmotnostní spektrometrie a rentgenová strukturní analýza.

Učebnici bezesporu uvítají posluchači farmaceutických fakult a studenti biologických oborů, jakož i studenti středních škol s vyhraněným zájmem o studium přírodovědných oborů.

František Liška

K. Kirchner, W. Weisssteiner:  
**Organometallic Chemistry and Catalysis**  
 Springer-Verlag, Wien 2001. Stran 158; cena 228,- DEM,  
 ISBN 3-211-83599-7.

Publikace, která byla vydána jako zvláštní číslo časopisu *Monatshefte für Chemie* (vol. 131, číslo 12), poskytuje čtenáři formou dvou přehledných (reviews) a třinácti obvyklých článků informace o úzce speciálních oblastech základního výzkumu organokovové koordinační chemie a katalýzy. Jednotlivé příspěvky zabírají poměrně širokou oblast organoprvkové

chemie a byly voleny tak, aby poukázaly na současné trendy v oboru, jak ostatně dokládají už obě souhrnná sdělení. První z nich se zabývá aktivací molekulového vodíku na trojjaderných karbonylových klastrech ruthenia, které současně nesou  $\pi$ -koordinovaný polycylický aromatický ligand (H. Nagashima). Autor se zabývá přípravou a hydrogenací klastrů, jež poskytuje strukturně rozmanité sloučeniny nesoucí částečně hydrogenované aromaty jako ligandy, a výsledky uvádí v souvislostech s chováním jiných klastrů a katalyzou vícejaderními komplexy.

Druhý přehledný článek (K. Kircher a spol.) uvádí nové poznatky o chemii „znovuobjevené“ komplexní částice  $[\text{Ru}(\eta^5\text{-C}_5\text{H}_5)(\text{CH}_3\text{CN})_3]^+$ . Autoři nejprve stručně shrnují přípravu rozličných komplexů  $[\text{RuL}_3(\eta^5\text{-C}_5\text{H}_5)]$ , pro které je substitučně labilní kation výhodným prekurzorem, a pokračují příklady reakcí získaných sloučenin včetně jejich katalytických aplikací (např. v isomeracích allylových alkoholů a reakcích s alkiny).

Příspěvky v podobě řádných článků jsou rovněž rozmanité; lze však rozeznat několik základních zájmových okruhů:

- 1) studium koordinačních vlastností (organokovových) ligandů se zaměřením na struktury nových komplexů (v publikaci zastoupené například komplexy Cu(I) s 1,1'-bis(difenylfosfino)ferrocenem nebo komplexy Ag(I) s azobenzinem),
- 2) isomerace a strukturní dynamika sloučenin s organickými

$\pi$ -ligandy (isomerace a fluxionalita dvojjaderných palladnatých komplexů s můstkujícími difosfinovými a  $\eta^3$ -allylovými ligandy nebo studium kinetiky isomerace  $\eta^2$ -alkinových komplexů ruthenia na komplexy vinylidenové),

- 3) studie koordinačních sloučenin, které vystupují v katalytických cyklech, cílené k objasnění mechanismů katalyzovaných reakcí (např. příprava a redukce palladnatých komplexů a oxidativní adice benzylbromidu na získané Pd(0) částice – studium v souvislosti s karbonylacemi komplexy pomocí sloučenin palladia),
- 4) homogenní katalýza komplexy přechodných kovů je mezi příspěvky zastoupena oxidacemi alkoholů v přítomnosti cyklopentadienylových komplexů ruthenia, aminacemi alkenů katalyzovanými sloučeninami rhodia, hydrogenacemi monosubstituovaných pyridinů a furanů, hydrogenacemi v přítomnosti fosfinových ligandů odvozených od steroidů, chemo- a enantioselektivní hydrogenací kyseliny listové, sloučeninami iridia katalyzovanou hydroamidací norbornenu benzamidem či katalytickými aplikacemi komplexů rhodia s *P,O*-hybridním binaftylovým ligandem.

Soubor prací odpovídá své specializaci příležitostnému vydání odborného chemického časopisu a lze jej jen doporučit pracovníkům v oboru i všem, kteří si chtějí rozšířit obzor znalostí o chemii a aplikacích organokovů.

Petr Štěpnička

## ODBORNÁ SETKÁNÍ

### 30. konference „Syntéza a analýza léčiv“

17.–19. září 2001 hostila Farmaceutická fakulta Veterinární a farmaceutické univerzity v Brně 30. konferenci „Syntéza a analýza léčiv“, pořádanou tradičně Českou farmaceutickou společností při ČLS J. E. Purkyně – Sekcí syntetických léčiv a Sekcí farmaceutické kontroly a bioanalytiky a Slovenskou farmaceutickou společností, zastoupenou Sekcí farmaceutické chemie a farmaceutické analýzy ve spolupráci s hostitelem. Letošní, trideceniové – kultaté – konání, bylo navíc významné současně probíhajícími oslavami 10. výročí založení Farmaceutické fakulty na Veterinární a farmaceutické univerzitě v Brně.

Celkem bylo předneseno 31 plenárních příspěvků a vystaveno 79 plakátových sdělení, což představuje bohatou ženě, v minulých letech nebývalou. Mohlo by se zdát, že je to díky oslavám, pravděpodobnější je však vysvětlení, že farmaceutický výzkum se v České republice snaží pomalu dostávat na nohy ne proto, že by vlastní farmaceutická pracoviště byla více financována, ale spíše proto, že se na něm začínají podílet v širší míře i nefarmaceutická pracoviště, jak je to patrné ze spektra příspěvků. Jinak se na tomto tradičním česko-slovenském fóru objevili letos i dva zahraniční účastníci (prof. Leonardo Scapozza a Mgr. Pavel Pospíšil z ETH Zürich).

Náplň konference lze rozdělit do 4 bloků, a to na syntézu potenciálních léčiv, analýzu léčiv, znečištění, biologické dostupnosti a parametrů farmaceutické technologie při formulaci léčivého přípravku, dále oblast biologickou, reprezentovanou izolací látek přírodního původu a biologické aktivity reálných a potenciálních léčiv a oblast prezentace komerčních firem a profilů výzkumu pracovišť. Podle počtu příspěvků stojí na prvním místě farmaceutická kontrola (11 referátů, 33 posterů), dále syntéza léčiv (11 referátů a 30 posterů), následuje oblast přírodních látek a studia biologických aktivit (4 přednášky,

12 posterů) a nakonec prezentace (2 přednášky). Některé příspěvky zasahovaly do více oblastí, a je obtížné je jednoznačně zařadit. Mohlo by se zdát, že tak velký počet příspěvků navodí heterogenitu a roztríštěnost konference, pokud není vyhlášeno konkrétní téma. To se může opravdu jen zdát: samotná tradice těchto konferencí je založena právě na formování farmaceuticko-chemického profilu pracovníků v obou republikách dříve federálního státu; kromě toho má upozornit na určité „žhavé“ tematické záležitosti.

Některé příspěvky na konferenci pokládám za zvláště vhodné a potřebné – obohacování chemie léčiv biotechnologiemi, dobře promyšlenou konsekventní prací s enzymovými systémy (jako biologický screening) a nutnost použití dalších racionálních metod na úrovni doby stojí i zde před námi a budeme se muset přinutit je realizovat, jakkoli to bude náročné. Proto je velmi pěkné, že se v příspěvcích objevila sdělení např. o éře probiotik ve třetím mileniu (M. Ferenčík a spol.), o potenciálních fotodynamicky aktivních ftalocyaničech a jiných látkách těchto účinků, o nových trendech využití radionuklidů (I. Benkovský a spol.) a také to, co by měl vědět každý v analýze a syntéze léčiv o zdraví nebezpečných látkách (J. Šubert), ale i současnost a trendy v analytice toxikomanie (J. Klimeš a spol.) a některé další. Tyto konference širšího pléna farmaceutických chemiků by měly do budoucna ukázat, jak se sám tento obor bude v ČR identifikovat, co chceme dělat a jak daleko jít.

Konference působila velice příjemným dojmem, hostitel a organizátor ji po technické stránce dobré připravil, vzbuzovala naději do příštích let. Nelze nic lepšího, než si přát, aby tomu tak bylo i v příštím roce na Slovensku, kdy si farmaceutická veřejnost připomene půl století od vzniku samostatných farmaceutických fakult v tehdejším Československu.

*Lubomír Opletal*

## OSOBNÍ ZPRÁVY

### K sedmdesátinám prof. RNDr. Antonína Berky, DrSc.

Neúprosné zákonitosti kinetiky lidského věku vykazují 8.11.2001 na křive života prof. RNDr. Antonína Berky, DrSc. již 70 let. Rodilý „Kutnohorák“ absolvoval studia chemie na Karlově univerzitě. Od r. 1957 až do důchodového věku zde pracoval na katedře analytické chemie Přírodovědecké fakulty. Po stupních úspěchů kráčel nejdříve jako asistent, poté docent a od r. 1980 jako profesor analytické chemie.

Odbornou produkci prof. Berky potvrzuje více než 200 publikací v domácích a zahraničních časopisech. Monografie věnovaná novějším redoxním činidlům (spolu s prof. J. Zýkou a prof. J. Vulterinem) byla přeložena do angličtiny, němčiny, ruštiny a je stále citovanou prací v oblasti analytického využití redoxních reakcí. O jeho dalším pracovním vytížení svědčí, že během svého působení na Přírodovědecké fakultě úspěšně vykonával řadu funkcí. Byl proděkanem fakulty, vedoucím katedry analytické chemie, členem vědecké rady a pracoval v nejrůznějších odborných fakultních i celostátních komisích.

Během více než čtyřiceti let dokázal prof. Berka téměř „otcovským“ způsobem důsledně vést práci, ale i iniciovat samostatnou až tvůrčí činnost desítek svých diplomantů a doktorandů. O úrovni výsledných prací svědčí, že řada z nich byla

publikována v odborných časopisech a sbornících. Svoji vědeckovýzkumnou činnost dokázal vedle přípravy odborných chemiků spojit i s péčí o vzdělávání budoucích učitelů chemie. Zpracoval postupně sedm skript zaměřených na výuku analytické chemie. Vedl řadu diplomových prací studentů učitelství chemie tematicky zaměřených na studium chemických reakcí a řešení problémů ochrany životního prostředí. Jako ojedinělý lze označit počet prací, které spolu s těmito diplomanty publikoval.

Prof. Berka je pro mne vzorem, kterému se chci jako jeho žák alespoň trochu podobat. Je potěšitelné, že tak jako mnohokrát při řešení problémů analyticky využitelných reakcí, či problémů vyplývajících z lidského faktoru jednání spolupracovníků, opět i v současnosti nalezl ten správný klíč řešení. Pokud se vyjádřím ve smyslu jedné z jeho nejoblíbenějších analytických metod, stanovil bod ekvivalence pro radostnost života i v důchodekovském věku. Je jím to nejcennější – lidské vztahy. Rodina, potomci, ale i přátelé, spolupracovníci, kmenové pracoviště. Ze srdce jistě všichni, kteří prof. Berku známe, mu přejeme, aby tento stav dlouho vydržel.

Pavel Beneš

## VÝUKA CHEMIE

**ODBORNÉ PRÁCE STUDENTŮ PREGRADUÁLNÍHO  
STUDIA UČITELSTVÍ CHEMIE NA PEDAGOGICKÉ  
FAKULTĚ UNIVERZITY J. E. PURKYNĚ  
V ÚSTÍ NAD LABEM**

**JAROSLAV REJNEK**

Pedagogická fakulta, Univerzita J. E. Purkyně, České mládežce 8, 400 96 Ústí nad Labem  
e-mail: rejnekj@pf.ujep.cz

Došlo dne 5.IV.2001

### Úvod

Katedra chemie Pedagogické fakulty Univerzity Jana Evangelisty Purkyně v Ústí nad Labem připravuje ve svých studijních programech v magisterském studiu učitele chemie pro základní a střední školy, v bakalářském studiu technický management s chemickým zaměřením. Studijní programy zahrnují všechny základní chemické obory, rozšířené ve výběrových kurzech o nejnovější poznatky. Nedílnou součástí je také výchova k systematické odborné práci. Studenti se proto podílejí na řešení výzkumných úkolů katedry chemie. Tyto úkoly jsou orientovány do dvou základních směrů – didakti-

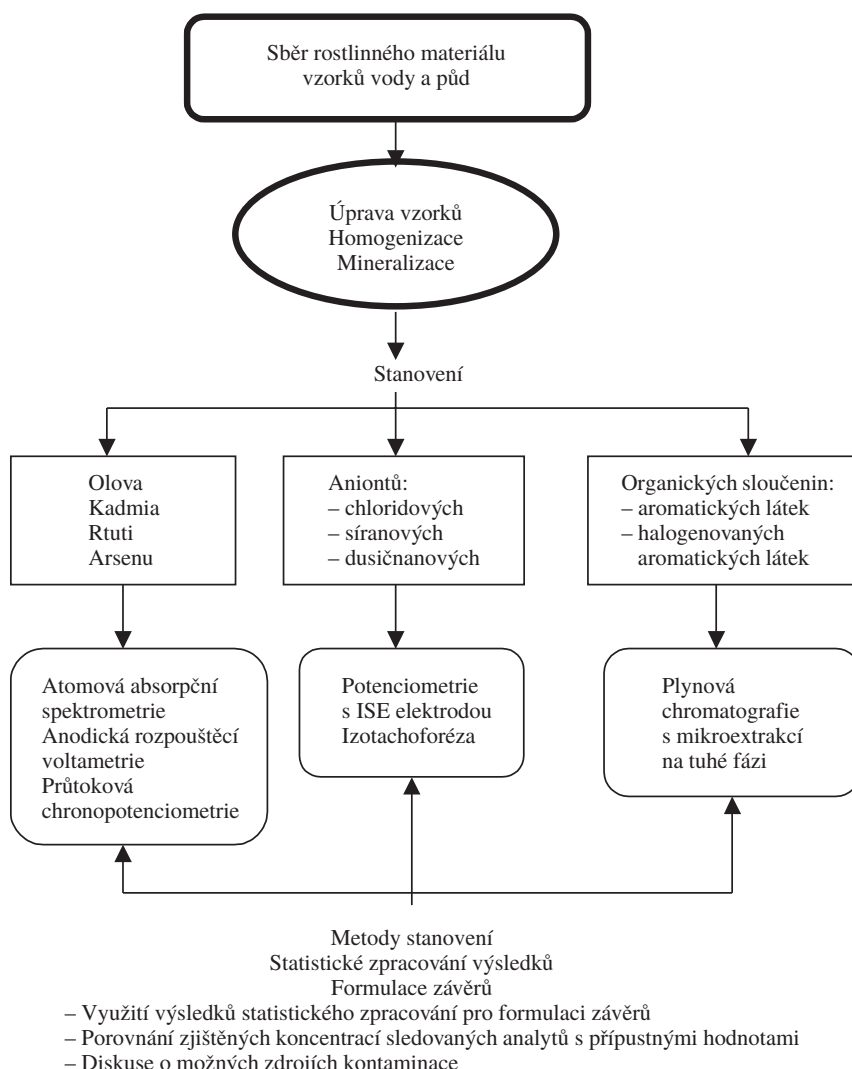


Schéma 1. Přehled pracovních úkonů při sledování některých kontaminantů v životním prostředí

ky chemie a chemie odborné. V tomto článku se zaměříme jen na výzkum prováděný v odborné chemii, zaměřený na využití instrumentálních analytických metod pro monitorování některých závažných kontaminantů v biologických materiálech.

## Monitorování obsahu některých kontaminantů v biologických materiálech

Uvolnění některých tabuizovaných informací přineslo zvýšený zájem společnosti o otázky stavu úrovně životního prostředí, možnosti jeho zlepšení a nastartovalo i odborné diskuse o cestách a metodách lidské společnosti, vedoucích k zachování jejího udržitelného vývoje. V současné době pronikají ekologické otázky a problémy s nimi spojené do všech vrstev lidské společnosti a do všech oborů lidské činnosti. Není však nic nebezpečnějšího než nekvalifikované rozhodnutí, založené spíše na emoci nebo intuici než na odborné znalosti věci. Proto své nezastupitelné místo získává i výchova společnosti na všech úrovních. Je samozřejmé, že svůj podíl musí splňovat také škola. Na tento úkol je nutné připravovat budoucí učitele zvláště těch oborů, které k ekologickým otázkám mají nejblíže, tedy i učitele chemie. Přiležitost nabízí všechny obory, některé z nich jsou k tomu předurčeny. Jedním z mnoha je laboratorní cvičení z analytických přístrojových metod a výzkum zaměřený na otázky stavu a ochrany životního prostředí. K tomuto laboratornímu cvičení a k jeho náplni můžeme přistupovat z několika aspektů. Cílem může být vytvoření uceleného přehledu se zřetelem na fyzikální a fyzikálně-chemické principy instrumentálních metod analytické chemie, demonstrace obecných principů správné laboratorní praxe a jejich bezpodmínečné uplatňování. Tyto cíle lze splnit i tehdy, orientujeme-li zaměření úloh do roviny s výrazně ekologickými aspekty. V tomto případě lze demonstrovat nejen výše uvedené cíle, ale i postup při stanovení kontaminantů ve vzorku půdy, vody nebo biologickém vzorku, tedy postup, kterým je sledováno znečištění životního prostředí. Konkrétní zaměření tohoto kursu lze ilustrativně demonstrovat schématem 1.

Vlastní práce začíná sběrem experimentálního materiálu (rostlinných vzorků, vzorků vod, půdy). Podle volby stanovaného analytu a metody stanovení jsou vzorky upravovány, např. povrchově dekontaminovány, homogenizovány a mineralizovány (převedení na anorganickou formu). Podle povahy vzorku je mineralizace prováděna metodou na suché nebo mokré cestě s využitím přístrojového vybavení s polouautomatickým nebo automatickým provozem (mineralizátor Apion a Progmin). Velmi efektivní se ukázala být mineralizace ve fokusovaném mikrovlnném poli (mineralizátor Uni-Clever). Vede nejen k úsporám energie a chemikálií, ale i k výrazným časovým úsporám. Podle povahy matrice experimentálního materiálu je proces mineralizace ukončen v průběhu 20–50 minut. Protože chod mikrovlnného mineralizátoru je řízen počítačem, je možné v průběhu mineralizace sledovat změny teploty, tlaku a výkonu mikrovlnného pole. Na základě zobrazení průběhu těchto fyzikálních veličin lze optimalizovat průběh mineralizace a diskutovat chemismus. Výsledkem chemického procesu je mineralizát, který je dále použit ke sledování zvolených analytů vhodnými instrumentálními metodami.

Tento způsob práce je pro studenty zajímavý z mnoha důvodů. Vedle ověření teoretických znalostí se seznámí s nejmodernější přístrojovou technikou a jejím použitím při vhodných praktických aplikacích. Uvědomí si význam chemie spíše z toho pozitivního pohledu. Jak se ukazuje, je tento systém vhodným motivujícím prvkem. Projevuje se to i ve zvýšeném zájmu studentů o spolupráci na odborných úkolech a o zpracování diplomových úkolů.

Z instrumentálních metod, uvedených ve schématu 1, je na pracovišti nejdůkladněji propracována metoda stanovení kovů metodou atomové absorpční spektrometrie. Protože atomový absorpční spektrometr SpectraA 20+ je vybaven plamenovou atomizací (pro atomizaci využívá tepelné energie plamene acetylenu s kyslíkem), je pro některé prvky (arsen, olovo) metoda málo citlivá. V těchto případech je využito hydridové techniky (přístroj je doplněn o hydridovou jednotkou VGA 76). S využitím této přístrojové techniky tak byly v letech 1990–2000 monitorovány územní oblasti Děčínska<sup>1</sup>, Jablonecka<sup>2</sup>, Ústecka<sup>3–5</sup>, Frýdlantska<sup>6</sup> a chráněné krajinné oblasti Labské pískovce<sup>7</sup>. Experimentálními materiály byly vzorky rostlinného původu a půdní vzorky, sbírané ve sledovaných oblastech. Monitorování obsahu některých toxicických prvků v územní oblasti je prováděno i nepřímo stanovováním arsenu, případně dalších prvků v lidském organismu, např. selenu, zinku nebo mědi. Experimentálním materiálem byl v tomto případě lidský vlas, odebraný lidské populaci severočeského regionu<sup>8–14</sup>. Vedle těchto aplikačních prací byly prováděny i výzkumy, které optimalizovaly stanovení arsenu, olova, kadmia, zinku, mědi a železa metodou atomové absorpční spektrometrie<sup>15</sup> a práce, které optimalizovaly mineralizační procesy zpracování biologických materiálů<sup>16</sup>. Některé z těchto prací byly zaslány do soutěží o nejlepší studentskou práci z oblasti ochrany a tvorby životního prostředí<sup>9,11</sup>, další<sup>13,14,16</sup> do soutěží o nejlepší studentskou práci v oboru analytické chemie. Vzhledem k omezenému rozsahu tohoto příspěvku není možné uvést výsledky výše uvedených prací. Případný zájemce se však s nimi může seznámit přímo v diplomových prácích nebo závěrečných zprávách grantových projektů. Přehledné informace je možné získat také na internetové adrese katedry chemie:

<http://www.ujep.cz/ujep/pf/kchem>.

## LITERATURA

1. Fleischerová R.: *Diplomová práce*. Univerzita J. E. Purkyně, Ústí nad Labem 1994.
2. Šikola J.: *Diplomová práce*. Univerzita J. E. Purkyně, Ústí nad Labem 1993.
3. Rottenborn H.: *Diplomová práce*. Univerzita J. E. Purkyně, Ústí nad Labem 1993.
4. Šmidová M.: *Diplomová práce*. Univerzita J. E. Purkyně, Ústí nad Labem 1994.
5. Palounková H.: *Diplomová práce*. Univerzita J. E. Purkyně, Ústí nad Labem 1996.
6. Gadasová L.: *Diplomová práce*. Univerzita J. E. Purkyně, Ústí nad Labem 1997.
7. Veseléňáková J.: *Diplomová práce*. Univerzita J. E. Purkyně, Ústí nad Labem 1998.
8. Nováková A.: *Diplomová práce*. Univerzita J. E. Purkyně, Ústí nad Labem 1994.

9. Mühlfeldová Z.: *Diplomová práce*. Univerzita J. E. Purkyně, Ústí nad Labem 1997.
10. Měchurová M.: *Diplomová práce*. Univerzita J. E. Purkyně, Ústí nad Labem 1997.
11. Müllnerová J.: *Diplomová práce*. Univerzita J. E. Purkyně, Ústí nad Labem 1998.
12. Nastoupilová J.: *Diplomová práce*. Univerzita J. E. Purkyně, Ústí nad Labem 1999.
13. Půlpytlová J.: *Diplomová práce*. Univerzita J. E. Purkyně, Ústí nad Labem 2000.
14. Frišová D.: *Diplomová práce*. Univerzita J. E. Purkyně, Ústí nad Labem 2000.
15. Šulženková J.: *Diplomová práce*. Univerzita J. E. Purkyně, Ústí nad Labem 1998.
16. Petrlíková M.: *Diplomová práce*. Univerzita J. E. Purkyně, Ústí nad Labem 2000.

**J. Rejnek** (*Department of Chemistry, Pedagogical Faculty, J. E. Purkyně University, Ústí nad Labem*): **Professional Work of Pregraduate Students of Chemistry Teaching at the Pedagogical Faculty of the J. E. Purkyně University in Ústí nad Labem**

The training of chemistry teaching students in systematic professional work is an integral part of their pregradual preparation. Its fundamentals are given in all branches of chemistry, but laboratory training in analytical chemistry, demonstrating application of instrumental methods, offer appropriate opportunities. The tasks are constructed to emphasize not only the principles of the methods but also their utilization in environmental analysis. An enhanced interest of students in the professional work appears, which results in their participation in projects and is also reflected in subjects of their diploma theses.

Odborná skupina organické, bioorganické a farmaceutické chemie ČSCH



# Sborník abstraktů

Konference  
Pokroky v organické, bioorganické  
a farmaceutické chemii

*36. Konference*

*19. – 21. listopadu 2001*

**redakce sborníku**

Irena Valterová, Vladimír Pouzar a Pavel Drašar

**organizační výbor**

prof. Otakar Červinka (čestný předseda),  
doc. Pavel Drašar (tajemník), doc. Dalimil Dvořák (místopředseda), ing. Jaroslav Kvíčala,  
doc. Jitka Moravcová (hospodářka), prof. Oldřich Paleta (předseda),  
dr. Vladimír Pouzar, ing. Alexandra Šilhánková, dr. Irena Valterová

Organizátoři konference si dovolují uvést na tomto čestném místě firmy a instituce, které významnou měrou pomohly k uskutečnění této konference. Budí jim za to v této formě vysloven dík.

**časopis Collection of Czechoslovak Chemical Communications**

**časopis Chemické listy**

**IVAX-CR, a.s., Opava**

**Léčiva, a.s., Praha**

**Merck, spol. s r.o., Praha**

**SciTech, spol. s r.o., Praha**

**Sigma-Aldrich, spol. s r.o., Praha**

**Ústav organické chemie a biochemie AV ČR, Praha**

**Vysoká škola chemicko-technologická, Praha**

## STEREOSELEKTIVNÍ AZA-ANULAČNÍ REAKCE

PETR BEŇOVSKÝ

Katedra organické chemie, Přírodovědecká fakulta, Masaryková univerzita, 611 37 Brno  
e-mail: benovsky@chemi.muni.cz

Vzhledem ke stálé vztřústající důležitosti enantioselektivní syntézy jsou hledány, zkoumány a zdokonalovány nové metody selektivní přípravy stereogenních center. Asymetrická aza-anulace, metoda stále více používaná, je reakce, jejíž příbuznost s asymetrickou Michaelovou adicí je nepopiratelná. Zřetelně to vyplývá ze srovnání s deracemizační alkylací zavedenou d'Angelem<sup>1</sup> (schéma 1).

Metodologie aza-anulace v sobě spojuje několik výhod: jednoduchý postup, mírné reakční podmínky, neutrální prostředí, vynikající regio- i stereoselektivitu a v neposlední řadě vysoké výtěžky<sup>2</sup>. Metoda je využívána pro praktické syntézy rozličného množství produktů (schéma 2)<sup>3</sup>. V poslední době se objevují publikace zmiňující použití této metodologie pro syntézu kombinatoriálních knihoven malých molekul<sup>4,5</sup>.

Aza-anulace je spolehlivá metoda přípravy stereogenních center na kvarterních uhlíkových atomech (schéma 3) a řadí se tak mezi významné chemické transformace<sup>6,7</sup>. Byla studio-

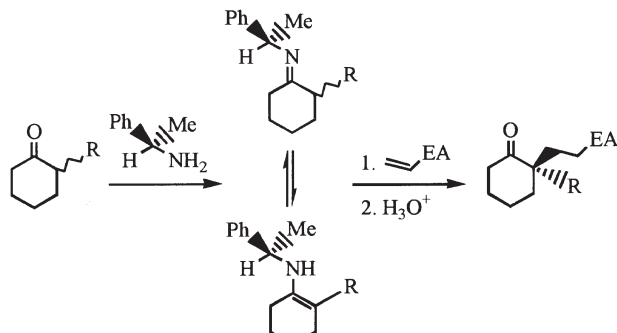


Schéma 1

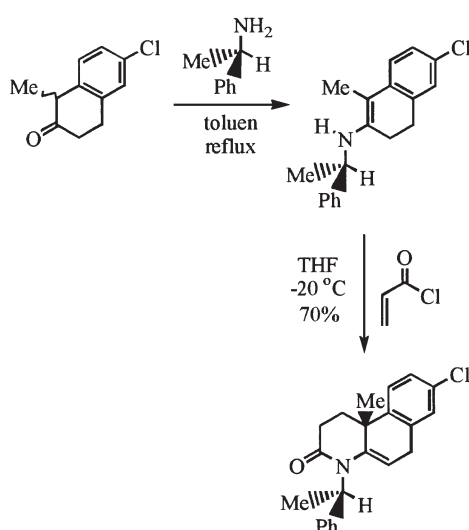


Schéma 2

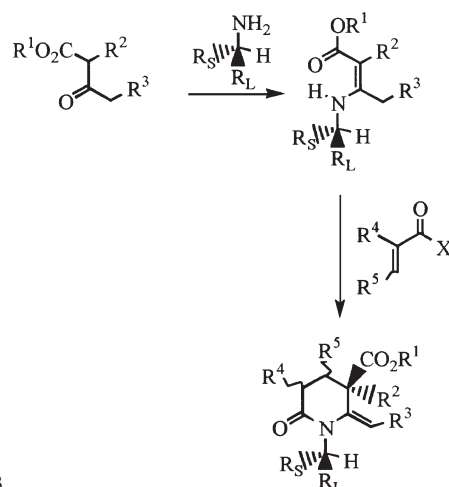


Schéma 3

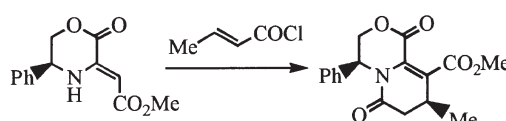


Schéma 4

vána i selektivita vzniku stereogenních center na uhlících  $\alpha$  a  $\beta$  laktamového kruhu a budou uvedeny syntetické příklady těchto reakcí (schéma 4)<sup>8</sup>.

Přednáška si klade za cíl vymezit pojmenování aza-anulační reakce a uvést příklady jejího využití s hlavním důrazem na stereoselektivitu. Budou diskutovány možnosti a případná omezení reakce, syntetické aplikace a také budou detailně rozebrány potenciální možnosti mechanismu aza-anulační reakce.

Na široké strukturní škále produktů bude demonstrováno obecné použití aza-anulace jako vhodné metody přípravy různých sloučenin, které mohou být použity jako inhibitory bioorganických procesů či jako modely látek aktivních v metabolismických přeměnách<sup>9</sup>.

## LITERATURA

1. d'Angelo J., Guingant A., Ricke C., Chiaroni: Tetrahedron Lett. 29, 2667 (1988).
2. Stille J. R., Barta N. S.: Stud. Nat. Prod. Chem. 18, 315 (1996).
3. Audia J. E., Lawhorn D. E., Deeter J. B.: Tetrahedron Lett. 34, 7001 (1993).
4. Paulvannan K., Chen T.: J. Org. Chem. 65, 6160 (2000).
5. Wagman A. S., Wang L., Nuss J. M.: J. Org. Chem. 65, 9103 (2000).
6. Barta N. S., Brode A., Stille J. R.: J. Am. Chem. Soc. 116, 6201 (1994).
7. Beňovský P.; Stephenson G. A., Stille J. R.: J. Am. Chem. Soc. 120, 2493 (1998).
8. Agami C., Hamon L., Kadouri-Puchot C., LeGuen V.: J. Org. Chem. 61, 5736 (1996).
9. Beholz L. G., Beňovský P., Ward D. L., Barta N. S., Stille J. R.: J. Org. Chem. 62, 1033 (1997).

## **GANJA, ZÁVOJE ZBAVENÁ – KLADY A ZÁPORY MOŽNÝCH TERAPEUTIK NA BÁZI THC**

**PAVEL DRAŠAR**

*Ústav organické chemie a biochemie, Akademie věd České republiky, Flemingovo n. 2, 166 10 Praha 6*

Vedle alkoholu a tabáku se na světě spotřebuje drog asi za polovinu jejich ceny dohromady. Mezi tyto „drogy“ patří i výrobek z konopí označovaný jako marihuana (Acapulco gold, Aunt Mary, bhang, cannabis, dagga, dope, ganja, grass, hash, hashish, hemp, charas, joint, kef, marihuana, Mary Jane, Mary-Ann, pot, reefer, sinsemilla, split, weed, česky pak gandza, haš, hašiš, hulení, marihuána, marijána, olejíček, pryskyřice, skank, tráva, [jednotlivé výrobky se mohou krajově lišit]), jenž je obvykle složen z listů a malých stonků (nelépe z lepkavých listů z vrcholu samičí rostliny zbavené a stonků a semen) a jehož spotřeba dosahuje asi čtvrtinu z výše uvedené spotřeby „drog“, tj. asi 15 % ceny spotřebovaného alkoholu (počítáno přes ceny). Jeho hlavní obsahová látka Δ9-THC či v hantýrce THC pak genericky jako dronabinol, jako preparát pak např. Marinol® či Nabilon [olejový roztok], je jedna z nejužívanějších „zneužívých“ přírodních látek, kterou jen v USA a Evropě užívá více než 20 milionů lidí a která ovlivňuje jak vnímání okolního světa subjektem, tak jeho vztahy k okolí, případně jako subjekt sociálního chování určitých skupin lidí či jednotlivců a má také řadu pozoruhodných biologických účinků. V rozporu s dlouho tradovanými názory, že v konopí, které roste u nás, není „dostatečné“ množství aktivních látek (především THC – jehož vlastnosti byly prostudovány nositelem Hanušovy medaile R. Mechoulamem v 60. letech minulého století), bylo již v sedmdesátých letech minulého století prokázáno některými pražskými chemiky, zabývajícími se chemií přírodních látek, že naše české konopí může být naopak ceněným zdrojem biologicky aktivních látek (slovenské je pak mezi „labužníky“ ceněno ještě více). Marihuana je zařazována do skupiny „recreational drugs“, což můžeme chápat trochu i jako slovní hříčku (podle Encarta® je „drug“: 1. substance podaná jako lék, přírodní či umělá látka podaná k léčení, prevenci anebo zjištění nemoci či k tislení bolesti, 2. nelegální substance, často návyková látka měnící chování či vnímání a je používána pro tento účinek). V této souvislosti pak může být termín vykládán dvěma způsoby, pozitivním a kriminálním.

Současná praxe v některých státech se oproštuje od diskutovaných a v některých kulturních státech již dokonce zrušených absolutních právních norem kriminalizujících pěstování a používání této drogy a pouští se do vědecké diskuse opodstatňující názor rostoucí skupiny lidí, že *Cannabis* a výrobky z něho mohou být mj. významnými nástroji v rukou povoláного lékaře (12. Merck index uvádí Δ9-THC jako antiemetikum) tak, jak je tomu u výrobků z celé řady jedovatých bylin. Není pravděpodobně lepší prostředek na utišení potíží při chemoterapii rakoviny, při zeleném zákalu, některých případech epilepsie, při zvracení, jako hypnotikum, aj. Na základě studia metabolismu obsahových látek konopí lze vysvětlit fakt, že požití marihuany může být prokázáno (např. imunochemicky v moči) i několik týdnů po vykoupení jedné cigarety

a stejně tak se může „vrátit“ její účinek naprostě neočekávaně několik týdnů po vykoupení jedné cigarety. Vzhledem k tomu, že v USA a Evropě lze nalézt data, že 10 % účastníků dopravních nehod bylo pod vlivem THC, asi nebude daleká doba, kdy po autonehodě bude odebrána, kromě zkoušky dechové či krevní, i moč na průkaz metabolitů skupiny THC. Mechanismus tohoto působení na motoriku je zřejmě spojen s endogenním THC receptorem, který obsazuje také endogenní anandamid a který určité sféry motoriky ovlivňuje.

Indian Hemp Commission, LaGuardia Blue Ribbon Committee a řada dalších dokumentů poskytuje pádné argumenty, odmítající na odborné, právní a kriminalistické bázi tvrzení, že marihuana je prostředek vyvolávající sklony ke kriminálnímu chování, že poškozuje mozek a že vede k návyku na „tvrdé“ drogy (ten poslední snad může pocházet z některých zdrojů v USA, kde se konopí kouří společně s krakem anebo kokainem – cituji: „... the use of marijuana dose not lead to morphine or heroin or cocaine addiction and no effort is made to create a market for these narcotics by stimulating the practice of marijuana smoking“).

Jak uvádí Iversen, konopí je démonizováno ve veřejných diskusích za situace, kdy dostupné vědecké informace jsou ignorovány, překrucovány či dokonce použity protivnou stranou všemi, kdo se ohánějí vědou jako propagandistickou zbraní, aniž o ní mnoho vědí.

Současný stav poznání možností lékařského použití výrobků z konopí a jeho rizik, včetně kriminalizovaného „zneužívání“ výrobků z konopí jako výše zmíněných rekreačních drog a možný vývoj společenského vnímání konopí v budoucnosti vede na srovnání požívání alkoholu a marihuany s její toxicitou, následky jejího kouření, forenzními aspekty, regionálním vnímáním těchto faktorů z různých koutů světa. Negativní fyziologické vlastnosti konopí jsou do té míry odrazující, že je skutečně vidět, že odpůrci legalizace marihuany nečtou odbornou literaturu. Mezi nejvážnější negativní vlastnosti bych uvedl, že oslabuje imunitní systém, negativně působí na pohybové schopnosti, vede ke vzniku psychóz, má negativní vliv na paměť, s největší pravděpodobností má stejně negativní vliv na průběh těhotenství jako alkohol a oproti mýtům o „vdechování vůně zdravého kořeněčka“ má stejný nebezpečný vliv na vznik plci rakoviny jako tabákové cigarety. Marihuana snižuje koncentraci pohlavních hormonů v krvi u obou pohlaví (což se zdá být v kontrastu s často uváděnými subjektivními výjemy popisovanými jako umocnění sexuálního prožitku či orgasmu samého po požití marihuany) a snižuje množství zdravých spermí v semenu.

Jak již bylo řečeno, jde zřejmě o léčivou rostlinu s konkrétními negativními i pozitivními vlastnostmi. Její užívání laiky by nemělo zřejmě být povoleno, leč užívání pod dozorem lékaře ano. Samostatnou kapitolou pak zůstane možnost jejího zneužití laiky i lékaři jako takovými.

### LITERATURA

1. Handrick G. R., Uliss D. B., Dalzell H. C., Razdan R. K.: Tetrahedron Lett. 1979, 681.
2. US 4 116 979 (Sheehan Inst. for Research; 26.9.1978; appl. 7.2.1977; prior. 28.11.1975, 24.6.1975).
3. US 4 381 399 (Aerojet; 26.4.1983; appl. 21.12.1981).
4. US 4 279 824 (L. O. McKinney; 21.7.1981; appl. 1.11.1979).

5. US 3 734 930 (US Dep. of Health; 22.5.1973; appl. 22.9.1971).
6. Straight R., Wayne A. W., Lewis E. G., Beck E. C.: Biochem. Med. 8, 341 (1973).
7. Ribi E., Smith R. F., Strain S. M., Petcoff D. G., Parker R., Goode G.: Prep. Biochem. 3, 209 (1973).
8. Mechoulam R., McCallum N. K., Burstein S.: Chem. Rev. (Washington, DC) 76, 75 (1976).
9. Kleemann-Engel Pharmaceutical Substances – Version 4.0. Georg Thieme Verlag, Stuttgart/New York 2001.
10. Mechoulam R.: *Marijuana: Chemistry, Pharmacology, Metabolism and Clinical Effects*. Academic Press, New York 1973.
11. House of Lords, Select Committee Reports, Science and Technology, *Therapeutic Uses of Cannabis*, 2nd Report, HL 50, 22 March 2001.
12. Iversen L. L.: *The Science of Marijuana*. Oxford University Press, Oxford 2000.
13. Encarta® World English Dictionary®, Microsoft Corporation, 1999.

## SUPRAMOLEKULÁRNÍ PŘÍSTUP K NANOTECHNOLOGIÍM

**VLADIMÍR KRÁL<sup>a</sup> a PAVEL DRAŠAR<sup>b</sup>**

<sup>a</sup>Ústav analytické chemie, VŠCHT, Technická 5, 166 28 Praha 6, <sup>b</sup>Ústav organické chemie a biochemie, AV ČR, Flerinovo n. 2, 166 10 Praha 6  
e-mail: kralv@vscht.cz, drasar@uochb.cas.cz

Zatímco organická chemie v posledních 50 letech dospěla k mistrovství ve vytváření kovalentních vazeb a se současnými metodikami je možné připravit téměř jakoukoliv požadovanou sloučeninu, existuje alternativní přístup, bouřlivě se rozvíjející současných dvacet let, kdy k tvorbě požadovaných funkčních systémů je využíváno nekovalentních interakcí. Supramolekulární chemie se zabývá způsoby jak ovládat tyto nevazebné interakce a organizovat více chemických entit do supramolekulárního komplexu, drženého v přesné orientaci mezi molekulárními silami.

I přes úžasný pokrok v syntetické chemii, kdy je dnes možné s vynaložením dostatečného úsilí syntetizovat jakoukoliv požadovanou molekulu, je stále nutné přiznat, že stále nedosahujeme úrovně na které jsou vytvářeny biologické systémy, kde výsledek není založen na velice pracné tvorbě kovalentních vazeb, ale na nekovalentním usprádání.

Zatímco v minulosti se supramolekulární chemie soustředila na komplexaci kationtů, aniontů a neutrálních látek, v současnosti je hlavním předmětem zájmu self-agregace a selfreplikace. Za použití vhodně navržených stavebních kamenů, je možné konstruovat velice složité funkční systémy. Stavba těchto systémů, založených na intra a intermolekulových nevazebných interakcích a tím i úspěch designu výsledného uspořádání ale závisí na navržení výchozích kamenů s vhodnou orientací a počtem funkčních skupin, které ji zajišťují.

Architektura vazebného místa musí být komplementární v geometrii, nábojové distribuci, velikosti a povaze vazebných

skupin a umožňuje vytváření supramolekulárních komplexů velikosti nanočástic. Informace pro konstrukci takových souborů už tedy musí být zakódována již v jednotlivých komponentech.

V přírodních systémech takové nekovalentní síly pracují kooperativně a vedou ke vzniku přesně definovaného systému, příkladem mohou být proteiny tvořené několika podjednotkami, struktura RNA a DNA, a buněčné membrány. Bylo ukázáno, že fosfolipidy tvoří dvojvrstvy spontánním procesem založeným na nekovalentních interakcích.

Molekulární architektura jednotlivých základních molekul, které mohou být i velmi jednoduché, je klíčová záležitost pro to aby byl zajištěn samoskladný proces vedoucí k tvorbě nanočastic, které mohou mít následně velice složitou architekturu. Takový přístup, vycházející z přístupu „bottom up assembly“, dává možnost ovládat přesně vlastnosti takových nových materiálů.

Jednoduché organické komponenty mohou být navrženy jako tektony, ze kterých je, na základě nekovalentních interakcí složen vlastní nanosystém. Cílem supramolekulární chemie je porozumět, jak řídit strukturu takových samoskladných systémů a jejich funkci.

V tomto příspěvku jsou mj. shrnutý postupy z literatury vedoucí na základě mnohonásobných vodíkových vazeb, k nanostrukturám a použití komplexace kationtů či aniontů k tvorbě takových systémů. Bude diskutována jejich aplikace pro nauku o materiálech, katalýzu, cílený transport lékových substancí, elektroniku a výstavbu molekulárních strojů a nanozařízení.

Představíme naše vlastní stavební kameny které testujeme pro použití v nanotechnologiích, výstavbě systémů rozpoznávajících struktury s vysokou selektivitou, ovládajících chirální rozpoznání a použitelné např. pro konstrukci selektivních elektrochemických sensorů či v specializovaných analytických procesech.

*Práce byla podpořena z grantu COST OC D12.2 a v rámci výzkumného záměru Z4 055 905.*

## LITERATURA

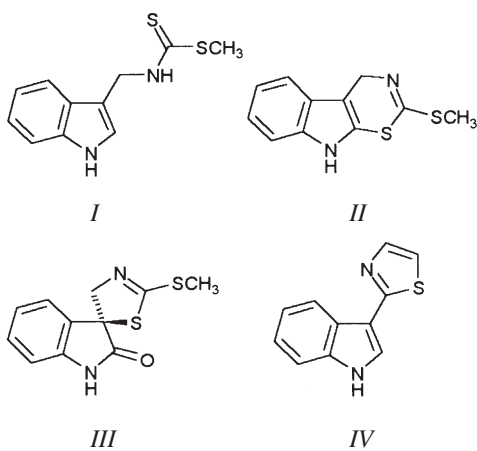
1. Brice L. J., Pirkle W. H., v knize: *Chiral Separations* (Ahuja S., ed.), str. 309 a odkazy tam uvedené. ACS, Washington DC 1997.
2. Dukh M., Černý I., Pouzar V., Král V., Barek J., Drašar P.: *US-SZ Workshop on Electrochemical Sensors. Book of Abstracts* (Barek J., Drašar P., ed), p. 5. Czech Chemical Society, Prague 2001.
3. Moriarty P.: Rep. Prog. Phys. 64, 297 (2001).
4. Service R. F.: Science 283, 27 (1999).
5. Kawasaki T., Tokuhiro M., Kimizuka N., Kunitake T.: J. Am. Chem. Soc. 123, 6792 (2001).
6. Friggeri A., van Manen H.-J., Auletta T., Li X.-M., Zapotoczny S., Schönherr H., Vancso G. J., Huskens J., van Veggel F. C. J. M., Reinhoudt D. N.: J. Am. Chem. Soc. 123, 6388 (2001).
7. Waybright S. M., Singleton C. P., Wachter K., Murphy C. J., Bunz U. H. F.: J. Am. Chem. Soc. 123, 1828 (2001).
8. Aoki K., Nakagawa M., Ichimura K.: J. Am. Chem. Soc. 122, 10997 (2000).

## **INDOLOVÉ FYTOALEXÍNY – ŠTRUKTÚRNE NEOVYKLNÉ PRÍRODNÉ LÁTKY**

PETER KUTSCHY

Katedra organickej chémie, PF UPJŠ, Moyzesova 11, 041 67 Košice, Slovenská republika, e-mail: kutschy@kosice.upjs.sk

Hypotéza o existencii fytoalexínov ako obranných látok rastlín bola publikovaná Müllerom v roku 1940 (cit.<sup>1</sup>), avšak prvý fytoalexín nazvaný pisatínl bol izolovaný z hrachu až o 20 rokov neskôr<sup>2</sup>. Od tej doby bolo z rôznych druhov rastlín izolovaných niekoľko sto fytoalexínov<sup>3</sup>, ktoré štruktúrne najčastejšie patria k terpénom, izoflavonoidom, polyénom, derivátom stilbénu a kyslíkatým heterocyklom. Tieto látky možno charakterizovať ako stresové metabolity, produkované rastlinami následkom biologického (fytopatogenné huby a baktérie), fyzikálneho (mechanické porušenie rastliny, UV svetlo) a chemického (fažké kovy) stresu. Osobitnú skupinu týchto prírodných látok tvorí okolo 30 fytoalexínov nájdených v kapištovitých rastlinách ako sú rôzne druhy kapusty, horčica, redkvička, kaleráb a pod. Ich neobyvklá štruktúra obsahuje indolové, prípadne oxindolové jadro, spojené s bočným refazom, alebo ďalším heterocyklom, obsahujúcim jeden, alebo dva atómy síry. Typickými predstaviteľmi týchto prírodných látok sú brasinín (*I*)<sup>4</sup>, cyklobrasinín (*II*)<sup>4</sup>, spirobrasinín (*III*)<sup>5</sup>, resp. kamalexín (*IV*)<sup>6</sup>. U indolových fytoalexínov bola okrem antimikrobiálnej zistená aj kanceroprotektívna<sup>7</sup> a protinádorová<sup>8</sup> aktivita. Pritomnosť indolových fytoalexínov v rastlinách, ktoré sú súčasťou našej stravy je dôvodom skúmania ich biologickej účinnosti. Nakoľko je izolácia z rastlín komplikovaná a poskytuje len malé množstvá látok, je potrebné tieto zlúčeniny syntetizovať. V prednáške budú prezentované niektoré pôvodné syntézy indolových fytoalexínov<sup>9-11</sup> za využitia chránených indolov, ako aj biomimetické syntézy skúmaných látok.



LITERATÚRA

1. Müller K. O., Börger H.: Arb. Biol. Anst. Reichanst. 23, 189 (1940).
  2. Cruickshank I. A. M., Perrin D. R.: Nature 187, 799 (1960).
  3. Daniel M., Purkayastha R. P.: *Handbook of Phytoalexin Metabolism and Action*. Marcel Dekker, New York 1995.

4. Takasugi M., Monde K., Katsui N., Shirata A.: Bull. Chem. Soc. Jpn. *61*, 285 (1988).
  5. Takasugi M., Monde K., Katsui N., Shirata A.: Chem. Lett. *1987*, 1361.
  6. Browne L. M., Conn K. L., Ayer W. A., Tewari J. P.: Tetrahedron *47*, 3909 (1991).
  7. Mehta R. G., Liu J., Constantinou A., Thomas C. F., Hawthorne H., You M., Gerhäuser C., Pezzuto J. M., Moon R. C., Moriarty R. M.: Carcinogenesis *16*, 399 (1995).
  8. Moody C. J., Roffey J. R. A., Stephens M. A., Stratford J.: Anti-Cancer Drugs *8*, 489 (1997).
  9. Kutschy P., Dzurilla M., Takasugi M., Török M., Achbergerová I., Homzová R.: Tetrahedron *54*, 3549 (1998).
  10. Suchý M., Kutschy P., Monde K., Goto H., Harada N., Takasugi M., Dzurilla M., Balentová E.: J. Org. Chem. *66*, 3940 (2001).
  11. Dzurilla M., Kutschy P., Záletová J., Ruzinský M., Kováčik V.: Molecules *6*, 716 (2001).

## BIOLOGICKY AKTIVNÍ DERIVÁTY GUANIDINU

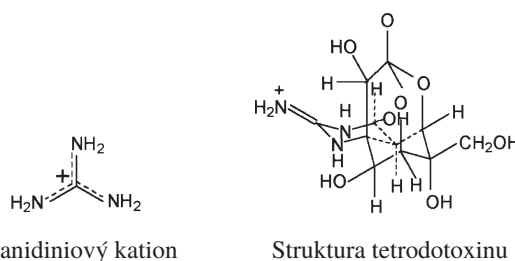
**JIŘÍ PATOČKA<sup>a</sup>, JIŘÍ CABAL<sup>a</sup>  
a GLENN D. KUEHN<sup>b</sup>**

<sup>a</sup>Katedra toxikologie, Vojenská lékařská akademie, 500 01 Hradec Králové, <sup>b</sup>New Mexico State University, MSC 3MLS, Las Cruces, NM 88003, USA, e-mail: patocka@pmfhk.cz, cabal@pmfhk.cz, gkuehn@nmsu.edu

Guanidin,  $\text{HN}=\text{C}(\text{NH}_2)_2$ , je silně bazická ( $\text{p}K_a$  13,6) dusíkatá sloučenina, jejíž četné deriváty patří mezi biologicky významné polyaminy<sup>1</sup>. S kyselinami tvoří soli, v nichž má „guanidiniový kation“ díky dokonalé mesomerii velmi malý obsah energie.

Guanidiniové soli jsou řazeny mezi tzv. „chaotropní látky“, což jsou chemikálie, které jsou schopny denaturovat proteiny i další biomakromolekuly a narušit jejich uspořádanou molekulární strukturu.

V poslední době nacházejí praktické využití v genovém inženýrství při biotechnologických aplikacích, jako např. guanidinokyanát. Guanidylový zbytek je součástí řady fyziologicky významných sloučenin, jako je arginin, kreatin, kreatinin, guanin apod. Zdrojem guanidylového zbytku látek biologického původu je fyziologicky významná aminokyselina L-arginin. Ta je nejen pravidelnou součástí všech bílkovin, ale také zdrojem oxidu dusnatého (NO), důležité signální molekuly, či např. agmatinu, který je považován za nový neuromediátor v CNS (cit.<sup>2</sup>). Jako neuromediátor se chová také jednoduchý dipeptid L-Tyr-L-Arg (kyotorfin). Arginin je také vý-



chozí látkou pro řadu biologicky aktivních látek, derivátů guanidinu, které nacházíme v mnoha živých organismech jako sekundární metabolity. Tyto látky, často s velmi zajímavou chemickou strukturou a unikátními biologickými účinky, jsou produkovaný sinicemi, mořskými mikroorganismy i makroorganismy, plísňemi, nižšími i vyššími houbami, rostlinami a jsou také součástí některých živočišných jedů. Syntetické deriváty guanidinu tvoří také početnou skupinu léčiv mnoha terapeutických kategorií.

V rostlinách jsou často nacházeny deriváty argininu, jako např. L-canavanin, toxická aminokyselina z některých motýlokvětých, která indukuje v živočišném organismu syntézu nefunkčních proteinů a je cytotoxická pro některé lidské rakovinné buněčné linie. Je také silným inhibitorem indukovatelné NO-syntázy (iNOS). Podobné vlastnosti mají také další deriváty guanidinu rostlinného původu, jako např. homoagmatin či bis-guanidinové deriváty arkain, audouin a hirudonin. Jinou skupinu rostlinných derivátů guanidinu představují např. hor-datiny, nalezené v různých druzích ječmene. Ty patří mezi tzv. fytoalexiny.

Guanidylová skupina je často součástí některých aminoglykosidových antibiotik jako např. phleomycinů, bleomycinů či cleomycinů, ale jejich biologický účinek není vázán na její přítomnost. Jiná situace je u některých tzv. mořských toxinů, jako je např. tetrodotoxin či saxitoxin. Jsou to složité polycyklické sloučeniny, v nichž přítomnost guanidinového uskupení je pro jejich biologickou účinnost nezbytná. Z dalších látok mořského původu jsou to např. crambiny a crambesidiny ze středomořské houby *Cramba cramba*, ptolomykaliny a betzelladiny, kyselina martinellová, cylindrospermopsin, styloguanidiny apod. U všech těchto látok je jejich toxicita spojena s přítomností guanidinového uskupení v molekule a jsou proto někdy řazeny mezi tzv. guanidinové toxiny. Jsou produkovaný zejména různými mořskými živočichy, ale také některými sinicemi a vykazují buď neurotoxický nebo hepatotoxický účinek. Guanidinové uskupení nalézáme také v četných toxinech pavouků. Jsou to acylpolyaminy jako např. argiotoxiny a agatoxiny (z jedu pavouků rodu *Argiope* a *Araneus*) či nephilatoxiny (rod *Nephilus*). Tyto neobyčejně účinné neurotoxiny jsou jedovaté zejména pro hmyz, ale mnohé z nich také pro savce.

Velmi toxicí látkou pavoučího jedu (*Plectreurus tristis*) je i poměrně jednoduchá molekula bis-agmatin-oxalamidu či agalatoxin v jedu pavouka *Agalenopsis aperta*.

Pro většinu uvedených látok je charakteristická vysoká toxicita, pohybující se u těch nejúčinnějších v  $\mu\text{g}\cdot\text{kg}^{-1}$ . Toxicita chemické látky je významným projevem její biologické aktivity, proto četné jedy a jím podobné syntetické deriváty nachází uplatnění také v medicíně jako léčiva četných chorob. Guanidinové uskupení je významným farmakoforem pro řadu látok<sup>3</sup>. Jako ukázkou chemické struktury typického „guanidinového toxinu“ lze uvést tetrodotoxin, smrtelně působící jed ryby „fugu“, která je oblíbenou pochoutkou japonské kuchyně. Ročně zemře na intoxikaci tetrodotoxinem, který je toxicním principem i některých dalších mořských ryb a živočichů, několik set lidí po celém světě.

Ze syntetických léčiv, pro něž je charakteristická přítomnost guanidylového zbytku nebo guanidinového seskupení v jejich molekule, je možno uvést např. perorální antidiabetika buformin, metformin či fenformin nebo periferní antihypertenziva jako je guanethidin, guanadrel, guanabenz, guanaf-

cin, clonidin, debrisoquin apod. Z dalších kategorií těchto léčiv jsou to např. antihistaminika cimetidin a tiotidin, anxiolytikum buspiron, koronární vasodilatancium dipyridamol, antikonvulzivum 1,3-di-(*o*-toyl)-guanidin, antialopetikum minoxidil, potenciální antikarcinostatikum nocodozol a antiastmatikum siguazodan. Guanidinové uskupení najdeme i v molekule trimethoprimu, antibakteriálně účinné látky, či amilorida, druhé generace centrálně účinných antihypertenziv.

Guanidin a jeho deriváty skýtají široké možnosti pro chemiku orientované na chemii přírodních látok, bioorganiku a farmaceutické chemiku, protože tyto látky vykazují široké spektrum biologických aktivit a nalézají vhodné uplatnění v medicíně a ostatních biologických vědách<sup>4</sup>. Složité polycyklické guanidinové struktury jsou výzvou pro syntetiky zaměřené na stereoselektivní reakce i pro teoretické chemiku.

## LITERATURA

1. Patočka J., Kuehn G. D.: Acta Medica (Hradec Králové) 43, 119 (2000).
2. Patočka J.: Bull. ČSBMB 28, 78 (2000).
3. Acharya A. N., Nefzi A., Ostresh J. M., Houghten R. A.: J. Comb. Chem. 3, 189 (2001).
4. Braekman J. C., Daloze D., Tavarez R., Hajdu E., Van Soest R. W. M.: J. Nat. Prod. 63, 193 (2000).

## GIBBERELLINY, NAKIENONY A INKRUSTOPORINY: RADOSTI A STRASTI SYNTÉZ MALÝCH, VYSOCE FUNKCIONALIZOVANÝCH MOLEKUL

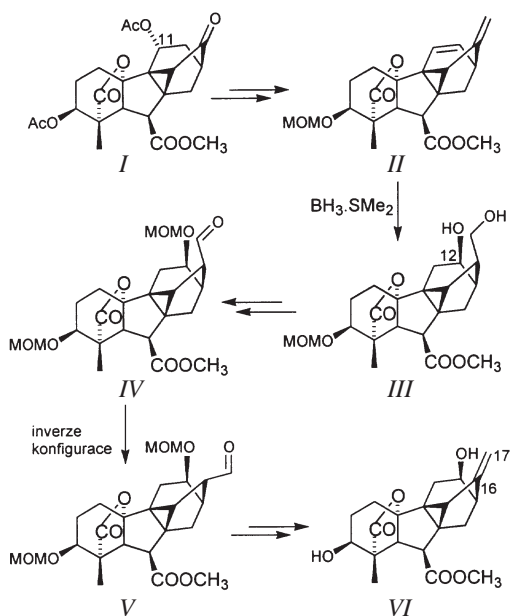
### MILAN POUR

Katedra anorganické a organické chemie, Farmaceutická fakulta, Univerzita Karlova, Heyrovského 1203, 500 05 Hradec Králové

Přednáška nositele Ceny Alfreda Badera za organickou chemii pro rok 2001.

NezanedbateLNý počet látok, o jejichž syntézu usilujeme, ať už z důvodu potvrzení struktury, ověření aplikovatelnosti určité metodologie nebo zajímavých biologických vlastností, se dá charakterizovat jako relativně malé molekuly s velkým počtem funkčních skupin. V závislosti na svém umístění v průběhu postupného směřování k syntetickému cíli ale mohou být nejrůznější skupiny pro organického chemika jak vitaným pomocníkem, tak komplikujícím faktorem.

Řadu ukázků takového chování funkčních skupin můžeme nalézt v syntézách rostlinných hormonů, gibberellinů a antheridiogenů<sup>1</sup>. Například při syntéze 9,15-cyklogibberellinů hydroxylovaných v kruhu C (látku VI) můžeme vycházet z intermediátu I s ochráněnou OH skupinou v poloze 11, do kterého jednoduchou úpravou zavedeme dvě dvojné vazby, jejichž vzájemná poloha hladce umožní funkcionálizaci polohy 12 pomocí souhry inter- a intramolekulární hydroborace. Je-li ale naším dalším cílem zavedení exocyklické dvojné vazby do polohy 16, pak prostorová blízkost hydroxylů v dial-koholu III komplikuje jakýkoliv pokus o eliminaci primární OH skupiny, neboť dochází k participaci hydroxylu v poloze



12. Jediným východiskem je selektivní použití chránících skupin, oxidace primárního alkoholu na aldehyd a bazicky katalyzovaná inverze konfigurace na C(16). Tyto kroky umožní prostorové oddálení obou interagujících funkcí, a tím i zavedení dvojné vazby do požadované polohy. Cenou, kterou za to musíme zaplatit, je prodloužení syntézy, které může vypadat i elegantně, ale v důsledku vždy znamená snížení efektivity celého postupu.

V tomto příspěvku budou, kromě již zmíněných parciálních syntéz rostlinných hormonů, rovněž diskutovány syntézy některých sekundárních metabolitů a jejich analogů, jako např. nakanionů<sup>2</sup> a inkrustoporinů<sup>3</sup>.

## LITERATURA

- Pour M., Willis A. C., Furber M., Mander L. N.: Tetrahedron 54, 13833 (1998).
- Pour M., Negishi E.: Tetrahedron Lett. 38, 525 (1997).
- Pour M., Špulák M., Buchta V., Kubanová P., Vopršalová M., Wsól V., Fáková H., Koudelka P., Pourová H., Schiller R.: J. Med. Chem. 44, 2701 (2001).

## ALTERNATIVNÍ TEORIE SUBSTITUČNÍCH EFEKTŮ A JEJICH APLIKACE

### OLDŘICH PYTELA

Katedra organické chemie, Fakulta chemicko-technologická, Univerzita Pardubice, 532 10 Pardubice  
e-mail: oldrich.pytela@upce.cz

Substituční efekty jsou zřejmě nejvýznamnějším způsobem dosažení jemné změny vlastností organické molekuly. Rozsah těchto změn v závislosti na substituci pak nese informaci o jejich podstatě. Interpretace vazby příčina – následek je spojena s matematickým modelem, v této oblasti chemie

nazývaným korelační vztah nebo korelační rovnice. Korelační vztahy v chemii jsou založeny na principu podobnosti mezi známým a zkoumaným, přičemž známé obvykle představuje nějakou vlastnost určité, dostatečně jednoduché a prozkoumané sloučeniny (např. disociace benzoové kyseliny), za definovaných standardních podmínek (např. ve vodě při 25,0 °C). Korelační vztahy mají určitý, často omezený obor platnosti. Obor platnosti nejstarší a dnes již klasické Hammettovy rovnice pro popis a interpretaci substitučních efektů je omezen na úzkou třídu aromatických sloučenin. Přestože díky využití této rovnice a jejích modifikací byly vyřešeny mechanismy mnohých reakcí a dalších dějů, pro univerzální popis substitučních efektů v organické chemii nepostačuje. Obecnější přístup je založen na předpokladu, že substituent má několik separovaných, vzájemně se neovlivňujících vlastností, které lze kvantitativně ocenit. Pozorovaný výsledek je podle tohoto přístupu součtem projevů jednotlivých efektů. Typicky se jedná o kombinaci induktivního a mesomerního efektu substituentu. Slabou tohoto jinak v praxi úspěšného přístupu jsou substituční konstanty, které jsou oproti definičnímu předpokladu navzájem částečně závislé. Vlastnosti takto popsané tedy nejsou přísně aditivní. Rovněž ne zcela vhodné určení substituční konstanty pro mesomerní efekt z Hammettových a dalších substitučních konstant zanáší do interpretace výsledků jistou vágnost.

Alternativní teorie substitučních efektů (ve zkratce AISE) je na rozdíl od předcházející teorie založena na předpokladu, že jeden každý substituent má jednu jedinou vlastnost. V závislosti na elektronově-strukturálních vlastnostech substituentu, reakčního centra a vzájemné interakci umožňujícího zbytku molekuly se pak jediná vlastnost substituentu může projevit na vlastnostech molekuly zcela rozdílným způsobem. V teorii AISE je vlastnost substituentu popsána jedinou substituční konstantou, která je svojí hodnotou velmi blízká substituční konstantě pro popis induktivního efektu. Tabelované hodnoty byly určeny matematicko-statistikním zpracováním velkého množství experimentálních dat. Tvar korelační rovnice AISE je zdánlivě složitější, než u klasických vztahů, a skládá se ze tří navzájem zcela nezávislých členů popisujících směrnice tří přímek se společným průsečíkem (svazek přímek). Každou přímkou tvoří jedna skupina substituentů. Substituenty I. třídy nemají žádné volné elektronové páry a působí tedy pouze po  $\sigma$ -vazbách efektem, který bychom mohli ztotožnit s induktivním efektem (např. vodík, alkyly). Mezi substituenty II. třídy, tzv. vnitřní nukleofily, jsou zařazeny substituenty s volným elektronovým párem na prvním atomu, kterým je substituent připojen na molekulu (např. halogeny, aminoskupina, hydroxyskupina apod.). Substituenty III. třídy, tzv. vnitřní elektrofily, mají polarizovanou násobnou vazbu mezi prvním a druhým atomem s polarizací směrem od molekuly (všechny substituenty obsahující karbonyl, nitroskupina apod.). Hodnota společného průsečíku musí být nalezena optimalizací, což je v současné době triviální záležitost. Výsledkem výpočtu jsou tři reakční konstanty velikostí a znaménkem srovnatelné s klasickými metodami, díky možným kombinacím však nesou více detailní informace o systému. Alternativní teorie substitučních efektů byla s úspěchem testována na rozsáhlém souboru experimentálních dat, včetně predikce různých substitučních konstant v klasických vztazích. Velmi vhodnou se AISE ukázala pro analýzu projevů *ortho*-efektu, zejména u komplikovaných systémů.

## LITERATURA

1. Pytela O.: Collect. Czech. Chem. Commun. **60**, 1502 (1995).
2. Pytela O.: Collect. Czech. Chem. Commun. **61**, 704 (1996).
3. Pytela O.: Collect. Czech. Chem. Commun. **61**, 1191 (1996).

**ANTICANCER CHEMOTHERAPEUTICS ELLIPTICINES:  
MOLECULAR MECHANISMS OF THEIR ACTION**

**MARIE STIBOROVÁ<sup>a</sup>, CHRISTIAN A. BIELER<sup>b</sup>,  
HEINZ H. SCHMEISER<sup>b</sup>, and EVA FREI<sup>b</sup>**

<sup>a</sup>Department of Biochemistry, Charles University, Albertov 2030, 128 40 Prague 2, <sup>b</sup>Department of Molecular Toxicology, German Cancer Research Center, 69 120 Heidelberg, Germany, e-mail: stiborov@natur.cuni.cz,

Ellipticine (5,11-dimethyl-6H-pyrido[4,3-*b*]carbazole) isolated from Apocynaceae plants (*i.e.* *Ochrosia borbonica*, *Excavatia coccinea*) and several of its derivatives are alkaloids exhibiting potent antineoplastic and anti-HIV activities. They are used in the therapy of breast cancer and have multiple cellular targets. Among these, the inhibition of topoisomerase II after intercalation into DNA, was hitherto considered the most important property for its cytotoxicity. It is evident that these mechanisms of ellipticine action, are not limited to cancer cells and may not explain sufficiently the specific antitumor activity of the compound. No discrimination between healthy tissues and tumor cells in ellipticine uptake is to be expected, because ellipticine is highly hydrophobic and enter cell membranes by diffusion. The specificity of the antitumor activity of ellipticine could result from other mechanisms of their action, which have not been elucidated as yet.

A cancer-specific cell-kill is known to be caused by several anticancer drugs, which are almost inactive until metabolized. Some of them covalently bind to DNA after being enzymatically activated. In order to elucidate whether these features might be responsible for the antitumor specificity as well as

a high efficiency of ellipticine, the potential of this anticancer agent to form DNA adducts after metabolic activation is examined. Since there is evidence that target tumors for ellipticine (*i.e.* breast cancer) express several drug-metabolizing cytochromes P450 at higher levels than peritumoral tissues, several cytochromes P450 are tested for their efficiencies to activate ellipticine.

Using [<sup>3</sup>H]-labeled ellipticine, we observed substantial microsomes (cytochrome P450)-dependent binding of ellipticine to DNA. In rat, rabbit, minipig and human microsomes, in reconstituted systems with isolated cytochrome P450 and in Supersomes<sup>TM</sup> containing recombinantly expressed human cytochromes P450, we could show that ellipticine forms a covalent DNA adducts detected by <sup>32</sup>P-postlabeling. The most potent activating human enzyme is CYP3A4, followed by CYP1A1, CYP1A2 and CYP1B1. Another minor adduct is formed independently of enzymatic activation. The <sup>32</sup>P-postlabeling analysis of DNA modified by activated ellipticine confirms the covalent binding to DNA as important type of DNA modification. V79 cells transfected with human CYP1A1, CYP1A2 and CYP3A4 showed high sensitivity towards ellipticine as did parental cells. Two adducts were also detected in DNA of these cells by <sup>32</sup>P-postlabeling as early as two hours after the addition of 1 mM ellipticine. The most efficient activator in these cells was CYP3A4, followed by CYP1A2 and CYP1A1. Cross referencing of ellipticine-DNA adducts formed in DNA of V79 cells with those formed in DNA with ellipticine *in vitro* by ion-exchange chromatography and reversed-phase HPLC demonstrated the identity of these adducts.

Activation of ellipticine to a DNA binding species by cytochromes P450 is an interesting finding in view of the compound's activity against breast cancer. These tumors express CYP3A4, CYP1B1 and CYP1A1, which we showed to effectively activate ellipticine. The cytochrome P450-dependent DNA adduct formation we describe is a novel mechanism for the ellipticine action and might, in part, explain its tumor specificity.

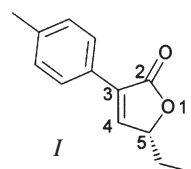
*Supported by Grant Agency of the Czech Republic (grant 203/01/0996) and the Ministry of Education of the Czech Republic (grant MSM 1131 00001).*

## ANALOGA INKRUSTOPORINU S TETRAZOLOVÝM JÁDREM

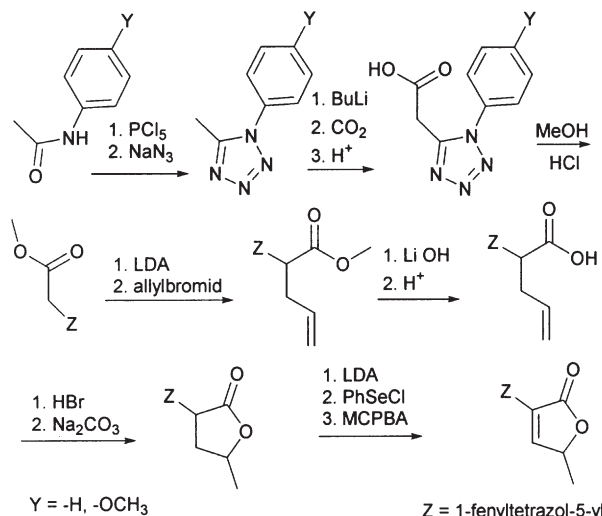
**VOJTECH BALŠÁNEK, JIŘÍ KUNEŠ,  
RADAN SCHILLER, MILAN POUR  
a KATERINA BORKOVÁ**

Katedra anorganické a organické chemie, Farmaceutická fakulta, Univerzita Karlova, Heyrovského 1203, 500 05, Hradec Králové, e-mail: balsanek@faf.cuni.cz

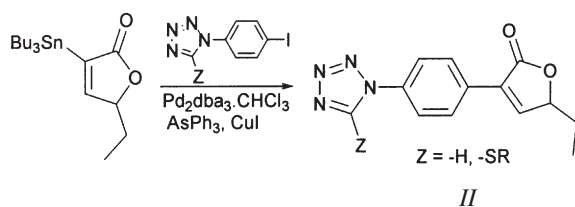
Připravili jsme sérii analog antifungálního sekundárního metabolitu (-)-inkrustoporinu<sup>1,2</sup> (*I*) s tetrazolovým jádrem, s cílem zjistit vliv zavedení tetrazolového zbytku na antifungální aktivitu.



Racemické 5-methyl-3-(1-fenyl-5-tetrazolyl)-2H,5H-furan-2-ony jsme připravovali podle následujícího schématu:



Struktura připravených derivátů byla ověřena pomocí <sup>1</sup>H a <sup>13</sup>C NMR spekter. Vzhledem k nestabilitě téhoto látek nebylo možno stanovit jejich antifungální aktivitu. Proto jsme přešli k syntéze stabilnějších analog s tetrazolovým zbytkem vázaným přes fenylové jádro (*II*). Syntéza probíhala podle následujícího schématu:



Práce byla realizována v rámci grantového projektu UK č. 27/1999/B a v rámci výzkumného záměru MŠMT 11160001.

## LITERATURA

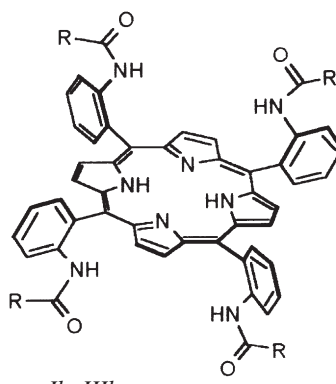
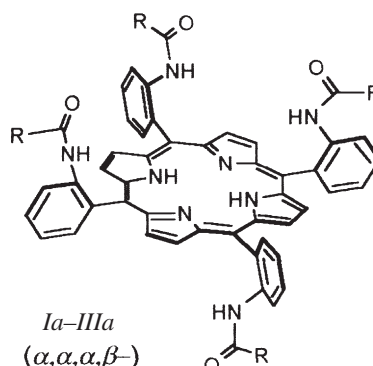
- Zapf S., Anke T., Sterner O.: Acta Chem. Scand. 49, 233 (1995).
- Yajima A., Mori K.: Liebigs Ann. Chem. 1996, 1091.

## NOVÉ FLUORACYLOVANÉ STABILNÍ ATROPOISOMERY SUBSTITUOVANÝCH PORFYRINŮ: PŘÍPRAVA A PŘEDBĚŽNÉ STUDIE KOMPLEXAČNÍCH VLASTNOSTÍ

**MICHAL BENEŠ<sup>a</sup>, OLDŘICH PALETA<sup>a\*</sup>,  
JITKA KOUTNIKOVÁ<sup>b</sup> a VLADIMÍR KRÁL<sup>b</sup>**

<sup>a</sup>Ústav organické chemie, <sup>b</sup>Ústav analytické chemie, Vysoká škola chemicko-technologická, Technická 5, 166 28 Praha 6, e-mail: paletao@vscht.cz

Substituenty připojené k porfirinovému skeletu mohou dramaticky ovlivnit spektrální, vazebné a komplexační vlastnosti tetrapyrrolového skeletu<sup>1</sup>.



Ia–IIIa  
( $\alpha,\alpha,\alpha,\beta-$ )

Ia, Ib      R =  $-CF_2-(CF_2)_5-CF_3$

IIa, IIb      R =  $-CF-\overset{|}{O}-CF_2\overset{|}{CF}-O-CF_2-CF_2-CF_3$

IIIa, IIIb      R =  $-CH_2-(CH_2)_5-CH_3$

Pro studium vlivů substituce jsme vypracovali syntézu N-perfluoracylovaných 5,10,15,20-tetrakis(2-aminofenyl)porfyrinů *I* a *II*, což jsou fluoranaloga porfyrinu *III*, u něhož jsou spektrální a komplexační vlastnosti již známé<sup>2,3</sup>.

Porfyrinové deriváty *I–III* byly připraveny z konfiguračně čistých atropoisomerů tetrakis(2-aminofenyl)porfyrinu. Acylační reakce probíhaly s úplnou stereoselektivitou. Byly tak připraveny následující fluoracylované stabilní atropoisomery substituovaných porfyrinů:  $\alpha,\alpha,\alpha,\beta$  (*Ia–IIIa*) a  $\alpha,\alpha,\beta,\beta$  (*Ib–IIIb*).

Vlastnosti, které byly a budou předmětem studia:

- komplexace organických látek,
- komplexace oxidů dusíku a dalších plynů,
- příprava sloučenin pro modelování membránových transportů,
- aplikace derivátů *I* a *II* jako fotosenzibilátorů pro fotodynamickou terapii rakoviny (PTD).

Tato práce byla provedena za finanční podpory GA ČR (grant č. 203/01/1311).

## LITERATURA

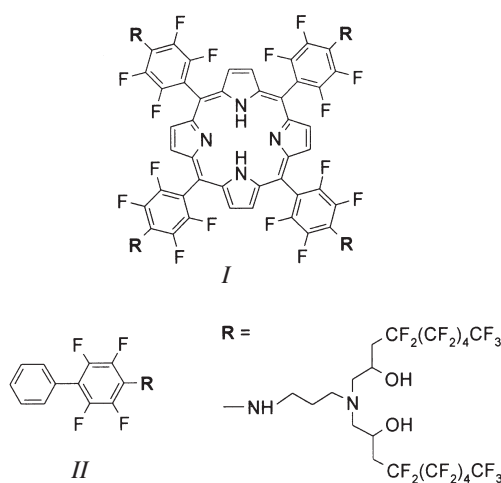
1. Shanmugathasan S., Edwads C., Boyle R. W.: Tetrahedron 56, 1025 (2000).
2. Barber C. D., Freitag-Beeston R. A., Whitten D. G.: J. Phys. Chem. 95, 4074 (1991).
3. Barber C. D., Lawrence D. S., Whitten D. G.: J. Phys. Chem. 96, 1204 (1992).

## NOVÉ DERIVÁTY PORFYRINU S PERIFERNÍMI PERFLUOROVANÝMI SEGMENTY PRO POTENCIÁLNÍ BIOMEDICINSKÉ APLIKACE

**MICHAL BENEŠ<sup>a</sup>, OLDŘICH PALETA<sup>a\*</sup>  
a VLADIMÍR KRÁL<sup>b</sup>**

<sup>a</sup>Ústav organické chemie, <sup>b</sup>Ústav analytické chemie, Vysoká škola chemicko-technologická, Technická 5, 166 28 Praha 6,  
e-mail: paletao@vscht.cz

V systémech přenášečů kyslíku by se mohly uplatnit nové porfyrinové deriváty obsahující perfluorované segmenty, kte-



ré obecně v molekulách i polymerech zvyšují schopnost rozpouštět plyny, mj. kyslík<sup>1</sup> a oxid uhličitý, a výrazně ovlivňují komplexační vlastnosti porfyrinového systému.

Pro tyto účely byla studována třístupňová syntéza porfyrinu *I*, která vychází z 5,10,15,20-tetrakis(2,3,4,5,6-pentafluorfenyl)-21*H*,23*H*-porfyrinu. Pro modelování této syntézy byl vybrán 2,3,4,5,6-pentafluorobifenyl, v němž fenylový kruh přijatelně modeluje vlastnosti konjugovaného systému porfyrinového kruhu (modelovou molekulu *II* se podařilo připravit).

Prvním krokem syntézy byla nukleofilní aromatická substituce fluoru v para-poloze částečně chráněným propan-1,3-diaminem<sup>2,3</sup> následovaná deproteckcí aminoskupiny. Perfluoralkylové řetězce byly do molekuly zavedeny reakcí volné aminové skupiny s perfluoralkylovaným epoxidem<sup>4</sup>.

## LITERATURA

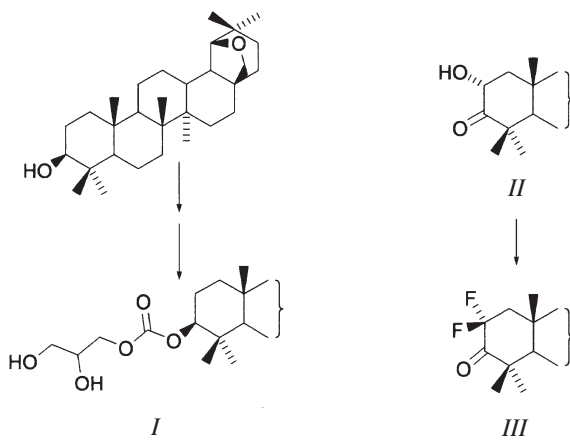
1. Riess J. G., v knize: *Blood Compatible Materials and Devices: Prospectives Towards the 21<sup>st</sup> Century*. Technomic, Lancaster 1990.
2. Muller D., Zeltser I., Bitan G., Gilon Ch.: J. Org. Chem. 62, 411 (1997).
3. Chaudhry M. T., Stephens R.: J. Chem. Soc. 1963, 4281.
4. Guyot B., Ameduri B., Boutevin B.: J. Fluorine Chem. 74, 233 (1995).

## DERIVATIZACE HYDROXYSKUPINY LUPANOVÝCH TRITERPENOIDŮ

**DAVID BIEDERMANN, MIROSLAV KVASNICA,  
JAN ŠAREK, JIŘÍ KLINOT a IVA TIŠLEROVÁ**

Katedra organické chemie, Přírodovědecká fakulta, Univerzita Karlova, Hlavova 8, 128 43, Praha 2  
e-mail: bidak@volny.cz, mirekvv@natur.cuni.cz

V nedávné době byla na našem pracovišti připravena řada lapanových triterpenoidů s významnou cytotoxickou aktivitou<sup>1</sup>. Během našich rozsáhlých studií vztahu struktury a aktivity se začala jevit jistá souvislost mezi hydrofilitou testovaných sloučenin a jejich cytotoxickou aktivitou. Proto byly připraveny dvě série sloučenin, v nichž byla hydroxylová skupina derivativizována hydrofilní anebo hydrofobní skupi-



nou. Jako zástupci prvej skupiny byly vzhledem k vysoce polárnímu charakteru vybrány monoglycerylkarbonáty. Druhou skupinu reprezentují lipofilní fluorderiváty.

Monoglycerylkarbonáty triterpenoidů typu I byly připraveny reakcí hydroxyderivátů s (2,2-dimethyl-1,3-dioxolan-4-yl)methyl chloroformiátem a následnou deprotekcí dioxolanového kruhu v kyselém prostředí.

Triterpenoidní fluorderiváty byly připraveny z hydroxyderivátů působením *N,N*-diethylaminosulfurtrifluoridu<sup>2</sup>. Tako byl získán z hydroxyketonu II i geminální difluorderivát III. Všechny sloučeniny připravené v rámci této práce byly testovány na *in vitro* cytotoxickou aktivitu. Struktury všech sloučenin byly potvrzeny 1D a 2D NMR, MS a IR spektry.

*Práce byla financována z grantů: Grant Nadace pro výzkum rakoviny Olomouc, GA ČR 203/00/1232, GA ČR 203/00/1549, GA UK 226/2000 a projektu MŠMT 113100001.*

#### LITERATURA

- Hajduch M., Sarek J.: Betulinines II. British patent, GB 0012823.1 (25th May 2000).
- Hudlický M., Pavlath A. E.: Chemistry of Organic Fluorine Compounds II.

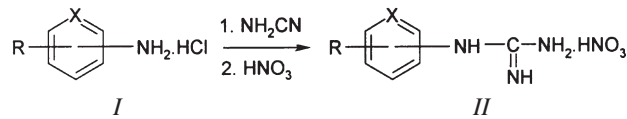
#### VLIV SUBSTITUCE NA ANTIMYKOBAKTERIÁLNÍ AKTIVITU SUBSTITUOVANÝCH PYRIDYL A FENYLGUANIDINIUM-NITRÁTŮ

**GABRIELA BRAUNEROVÁ<sup>a</sup>, KAREL PALÁT<sup>a</sup>, MIROSLAV ŠLOSÁREK<sup>b</sup> a JIŘÍ JANOTA<sup>b</sup>**

<sup>a</sup>Katedra anorganické a organické chemie, Farmaceutická fakulta, Univerzita Karlova, Heyrovského 1203, 500 05 Hradec Králové, <sup>b</sup>Státní zdravotní ústav, Šrobárova 48, 100 42 Praha 10, e-mail: braunero@faf.cuni.cz, palat@faf.cuni.cz

Statistiky Světové zdravotnické organizace WHO uvádějí, že tuberkulóza je každoročně příčinou úmrtí asi tří miliónů lidí.

V rámci studia látek s potenciálním antimykobakteriálním účinkem byla připravena série derivátů fenyl a pyridylguanidinových solí II. Tyto sloučeniny byly připraveny reakcí substituovaných fenyl resp. pyridylamoniových solí I s kyanamidem<sup>1,2</sup> v tavenině za vzniku substituovaných fenyl nebo pyridylguanidinů II, které byly izolovány ve formě solí s kyselinou dusičnou.



Látky byly testovány na antimykobakteriální aktivitu proti osmi kmenům mykobakterií.

Antimykobakteriální aktivita stoupá s délkou alifatického řetězce C<sub>6</sub>–C<sub>12</sub>, s dalším prodlužováním řetězce aktivita klesá.

Aromatická substituce vede ke snížení účinku. Nejúčinnější sloučeniny vykazují u atypických kmenů mykobakterií výrazně vyšší antimykobakteriální aktivitu než isoniazid.

*Naše práce byla podpořena Výzkumným záměrem MŠMT VZ 111600001 a grantem FRVŠ 1677/2001.*

#### LITERATURA

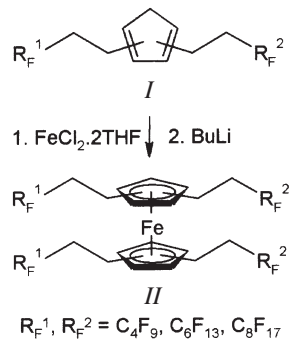
- Mc Kee R. M.: Am. Chem. J. 26, 209 (1901).
- Kämpf A.: Ber. Dtsch. Chem. Ges. 37, 1682 (1904).

#### FLUOROFILNÍ KOMPLEXY PŘECHODNÝCH KOVŮ NA BÁZI BIS[(PERFLUORALKYL)ETHYL]CYKLOPENTADIENŮ

**TOMÁŠ BŘÍZA<sup>a</sup>, JAROSLAV KVÍČALA<sup>a</sup>, OLDŘICH PALETA<sup>a</sup> a JAN ČERMÁK<sup>b</sup>**

<sup>a</sup>Ústav organické chemie, Vysoká škola chemicko-technologická, Technická 5, 166 28 Praha 6, <sup>b</sup>Ústav chemických procesů, AV ČR, Rozvojová 135, 165 02 Praha 6  
e-mail: kvicalaj@vscht.cz

Komplexy železa I a rhodia na bázi bis[(perfluoralkyl)ethyl]cyklopentadienů (II) vykazují dostatečnou fluorofilitu pro využití ve fluorové bifázové katalýze (FBC). Fluorcyklopentadieny II byly získány lithiací mono[(perfluoralkyl)ethyl]cyklopentadienů<sup>1</sup> a následnou reakcí s (perfluoralkyl)ethyl-triflát<sup>2</sup> jako směs čtyř regioisomerů. Lithiaci a následná reakce s chloridem železnatým poskytla fluorované ferroceny I jako směs tří regioisomerů, analogická reakce s dichlordikarbonyldrhodiem vedla ke směsi dvou regioisomerů komplexu rhodia substituovaného jednou molekulou fluorcyklopentadienu II. Fluorofilita všech sloučenin byla určena pomocí GLC.



*Práce byla provedena za podpory grantu GA ČR 203/99/0135.*

#### LITERATURA

- Hughes R. P., Trujillo H. A.: Organometallics 15, 286 (1996).
- Bříza T., Kvíčala J., Mysík P., Paleta O., Čermák J.: Synlett 2001, 5.

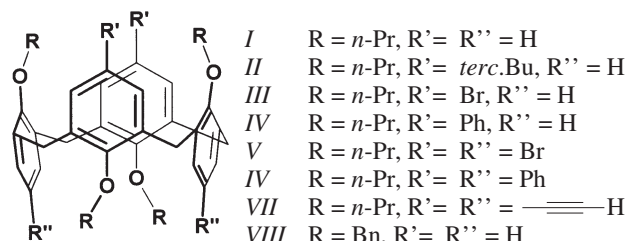
## STUDIUM KATION- $\pi$ INTERAKCÍ MEZI CALIX[4]ARENY V 1,3-ALTERNUJÍCÍ KONFORMACI A STŘÍBRNÝM KATIONTEM

**JAN BUDKA<sup>a</sup>, JAN SÝKORA<sup>b</sup>, IVANA CÍSAŘOVÁ<sup>c</sup>,  
VERONIKA MICHLOVÁ<sup>a</sup>, HANA PETŘÍČKOVÁ<sup>b</sup>,  
PAVEL LHOTÁK<sup>a</sup> a IVAN STIBOR<sup>a</sup>**

<sup>a</sup>Ústav organické chemie, <sup>b</sup>Ústav chemie pevných látek, Vysoká škola chemicko-technologická, Technická 5, 166 28 Praha 6, <sup>c</sup>Ústav anorganické chemie, Univerzita Karlova, Hlavova 8, 128 43 Praha 2, e-mail: budkaj@vscht.cz

Pro studium komplexací prostřednictvím kation- $\pi$  interakcí bylo připraveno 8 derivátů calix[4]arenu v 1,3-alternující konformaci.

Interakce mezi calix[4]areny a triflátem stříbrným byly studovány několika metodami:  
1) Pomocí technik <sup>1</sup>H NMR spektroskopie byly stanoveny asociační konstanty a stechiometrie komplexů.  
2) Přítomnost komplexů byla rovněž potvrzena pomocí MS-FAB spektroskopie.  
3) V případě derivátů I–IV a VIII se podařilo získat monokrystaly vhodné pro X-ray difraci, jejichž struktura byla úspěšně vyřešena.



Ukázalo se, že v případě derivátů V–VII ke komplexaci nedochází, calix[4]aren I–IV tvoří výhradně komplexy o stechiometrii 1:1, zatímco komplexy 1,3-alternátů I a VIII a triflátu stříbrného mají stechiometrii 1:2. Tato skutečnost je zajímavá zejména v případě derivátu I, jehož zjištěné výsledky se rozcházejí s dosud publikovanými údaji<sup>1</sup>.

### LITERATURA

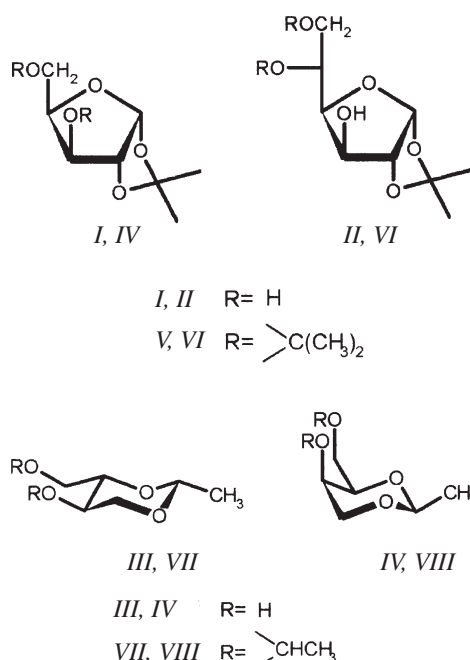
1. Ikeda A., Shinkai S.: J. Am. Chem. Soc. 116, 3102 (1994).

## PRODUKTY VZNIKAJÍCÍ PŮSOBENÍM LEWISOVÝCH KYSELIN NA O-ALKYLIDENDERIVÁTY ALDOS A ALDITOLŮ

**KATERINA BUCHALOVÁ, KAREL KEFURT,  
JITKA MORAVCOVÁ a JAN STANĚK**

Ústav chemie přírodních látek, Vysoká škola chemicko-technologická, Technická 5, 166 28 Praha 6  
e-mail: Karel.Kefurt@vscht.cz, Katerina.Buchalova@vscht.cz, Jitka.Moravcová@vscht.cz, Jan.Stanek@vscht.cz

Přestože jsou acetaly a ketaly v chemii sacharidů považovány za výbornou chránící skupinu, mohou za určitých pod-



mínek vykazovat svou vlastní reaktivitu. Tento jev lze pozorovat např. u reakcí probíhajících v přítomnosti Lewisových kyselin. Bylo zjištěno, že u roztoků látek I–IV dochází působením katalytického množství BF<sub>3</sub>.Et<sub>2</sub>O k částečné intermolekulární migraci chránících skupin. Vedle volných aldós resp. alditolů vznikají i deriváty V–VIII se dvěma chránícími skupinami.

U látek I a II byla kromě výše uvedené migrace pozorována významná spontánní polymerace za vzniku řetězců s počtem jednotek 2–15. Ve všech případech je množství a poměr vzniklých produktů závislý na teplotě, době reakce i množství použitého katalyzátoru.

Práce je součástí řešení výzkumného záměru MŠMT č. 223300006.

## ANTIMYKOBakteriální a antimykotická aktivita látek podobných salicylanilidům

**KAREL WAISSER<sup>a</sup>, OTAKAR BUREŠ<sup>a</sup>,  
PAVEL HOLÝ<sup>a</sup>, PETRA KUBANOVÁ<sup>b</sup>,  
VLADIMÍR BUCHTA<sup>b</sup> a JARMILA KAUSTOVÁ<sup>c</sup>**

<sup>a</sup>Katedra anorganické a organické chemie, <sup>b</sup>Katedra biologických a lékařských věd, Farmaceutická fakulta, Univerzita Karlova, 500 05 Hradec Králové, <sup>c</sup>Národní referentní laboratoř pro Mycobacterium kansasii, Krajská hygienická stanice, 728 92 Ostrava  
e-mail: waisser@faf.cuni.cz, buchta@faf.cuni.cz, jarmila.kaustova@khsova.cz

Salicylanilidy se vyznačují významnou biologickou aktivitou (antibakteriální aktivita, antituberkulotická a antimykotická aktivita, analgetická a protizánětlivá aktivita, neuroleptická aktivita, antiprotozoální a anthelmintická)<sup>1</sup>. V naší

pracovní skupině byly studovány jako potenciální antituberkulotika a antimykotika<sup>2</sup>. Cílem naší studie bylo zjistit, jaké budou vztahy mezi strukturou a aktivitou, pokud dojde k některým izosterním změnám v molekule. V souvislosti s tímto sdělením jsme provedli tyto záměny: a) Záměna –OH skupiny v molekulovém fragmentu kyseliny salicylové za –SH fragment. b) Záměna CH v poloze 6 v kruhu salicylové kyseliny za N. Jako výchozí látky jsou proto zvolili 2-sulfanylbenzoo-vou kyselinu a 3-hydroxypikolinovou kyselinu. Z výchozích sloučenin jsme připravili běžnými postupy příslušné anilidy.

Antimikrobiální aktivita byla sledována *in vitro*, a to vůči 4 kmenům mykobakterií a 10 kmenům hub patogenních pro člověka.

*Práce vznikla za podpory grantů GA ČR 203/99/0030, MŠMT 111 600 001 a MŠMT 111 600 002.*

#### LITERATURA

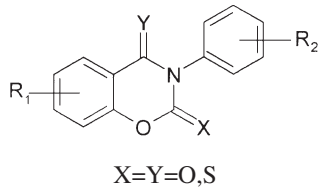
- Waisser K., Kubicová L.: *Cesk. Farm.* 42, 218 (1993).
- Waisser K., Hladúvková J., Kuneš J., Kubicová L., Klimešová V., Karajannis P., Kaustová J.: *Chem. Pap.* 55, 211 (2001).

#### QSAR STUDIE ANTIMYKOBAKTERIÁLNĚ AKTIVNÍCH LÁTEK ZE SKUPINY BENZOAZINDIONŮ A JEJICH SIRNÝCH ANALOG

KAREL WAISSEK<sup>a</sup>, OTAKAR BUREŠ<sup>a</sup>,  
PAVEL HOLÝ<sup>a</sup>, JARMILA KAUSTOVÁ<sup>b</sup>,  
RADEK OSWALD<sup>a</sup> a LUCIE JIRÁSKOVÁ<sup>a</sup>

<sup>a</sup>Katedra anorganické a organické chemie, Farmaceutická fakulta, Univerzita Karlova, 500 05 Hradec Králové, <sup>b</sup>Národní referentní laboratoř pro Mycobacterium kansasii, Krajská hygienická stanice, 728 92 Ostrava  
e-mail: waisser@faf.cuni.cz, jarmila.kaustova@khsova.cz

3-Fenyl-2H-1,3-benzoxazin-2,4(3H)-diony, 3-fenyl-1,3-(2H)-benzoxazin-4-thioxo-(3H)-2-ony a 3-fenyl-1,3-(2H)-benzoxazin-2,4-(3H)-dithiony se vyznačují významnou antimykobakteriální aktivitou. Cílem naší studie bylo zjistit vliv substituce v poloze 6 resp. 7 na biologickou aktivitu.



R<sub>1</sub> = H, 4-Cl, 4-CH<sub>3</sub>, 4-OCH<sub>3</sub>, 5-Br, 5-Cl, 5-F, 5-CH<sub>3</sub>, 5-OCH<sub>3</sub>, 5-NO<sub>2</sub>  
R<sub>2</sub> = 4-H; 4-CH<sub>3</sub>; 4-Cl; 3-Cl; 3,4-Cl<sub>2</sub>; 4-Br, 4-F, 3-F, 4-NO<sub>2</sub>, 3-NO<sub>2</sub>, 4-OCH<sub>3</sub>, 4-N(CH<sub>3</sub>)<sub>2</sub>, 4-CF<sub>3</sub>, 4-COOEt, 4-CN

Za tímto účelem jsme syntetizovali přes 350 sloučenin a stanovili u nich antimykobakteriální aktivitu. Antimykobakteriální aktivita byla sledována *in vitro*, a to vůči 4 kmenům mykobakterií. *M. tuberculosis*, *M. avium* a dvěma kmenům *M. kansasii*.

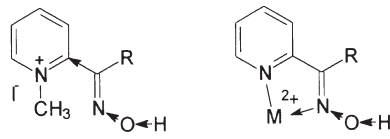
Práce byla podporována grantem GA UK 234/2000/BCH/FaF, GA ČR 203/99/0030 a výzkumným záměrem VZ MŠMT 111600001.

#### VLIV KOORDINACE IONTŮ KOVŮ NA REAKTIVITU OXIMŮ PŘI HYDROLÝZE ESTERŮ

**RADEK CIBULKA, FRANTIŠEK HAMPL**  
**a FRANTIŠEK LIŠKA**

*Ústav organické chemie, Vysoká škola chemicko-technologická, Technická 5, 166 28 Praha 6, e-mail: cibulkar@vscht.cz*

Anion vzniklý deprotonací oximové skupiny je účinným nukleofilem schopným atakovat molekulu esteru. Vysoká reaktivita (nukleofilita) oximátového iontu je způsobena  $\alpha$ -efektem sousedního dusíkového atomu. Aby byla zabezpečena dostatečná koncentrace nukleofilního oximátového iontu také při neutrálním pH, je nezbytné zvýšit kyselost oximové skupiny ( $pK_a$  alifatických či aromatických oximů je 11–13). Jednou z možností je zařazení elektronakceptorní skupiny do molekuly oximu. Tak např. kvartérní pyridiniové aldoximy a ketoximy (obr. 1,  $pK_a = 7,9$ –9,1) jsou velmi účinné při štěpení alkanoátů a fosfátů. Ještě většího efektu při zvýšení kyselosti oximové skupiny u pyridinových oximů lze docílit koordinací k iontům kovů (obr. 1b). Jak koordinace k iontu kovu, tak přítomnost elektronakceptorní skupiny však vedle zvýšení acidity oximu snižují nukleofilitu iontu vzniklého jeho deprotonací. Výsledná hydrolytická účinnost oximu či jeho komplexu je tak výsledkem těchto dvou protichůdných vlivů.



Obr. 1.

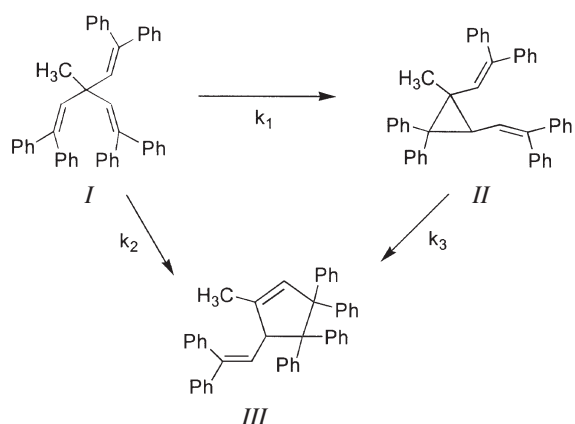
Práce se zabývá porovnáním „efektivnosti“ uvedených dvou způsobů aktivace oximové skupiny při hydrolyze alkanoátů. Jako modely byly zvoleny methyl(pyridin-2-yl)ketoxim, methyl(diazinyl)ketoxim a jejich komplexy s Ni<sup>2+</sup> a Zn<sup>2+</sup> ionty a 1-methyl-2-(1-hydroxyiminoethyl)pyridinium-jodid.

#### TRI- $\pi$ -METHANOVÝ PŘESMYK

**VLADIMÍR CÍRKVA<sup>a</sup> a HOWARD E. ZIMMERMAN<sup>b</sup>**

<sup>a</sup>Ústav chemických procesů, AV ČR, Rozvojová 135, 165 02 Praha 6, <sup>b</sup>University of Wisconsin, Madison, Department of Chemistry, University Ave. 1101, Madison, WI, USA  
e-mail: cirkva@icpf.cas.cz, zimmerman@chem.wisc.edu

Široce studovaný di- $\pi$ -methanový přesmyk<sup>1</sup> (Zimmermannův přesmyk) patří mezi [1,2] sigmatropní přesmyky, při kterých dochází k fotolytické isomeraci nekonjugovaných dienů na vinylcyklopropany. Podmínkou průběhu jsou dva



$\pi$  systémy vázané k centrálnímu  $sp^3$  hybridizovanému uhlíku. Tyto znalosti umožnily předpověď existenci tzv. tri- $\pi$ -methanového přesmyku, kdy je nutno, aby molekula obsahovala tři  $\pi$  systémy. První příklad tri- $\pi$ -methanového přesmyku byl pozorován pouze při ozařování krystalů (v pevné fázi)<sup>2</sup>, snaha objevit tuhú reakci při fotolýze roztoků však byla neúspěšná.

Pro studium byl vybrán nejjednodušší základní systém mající tři dvojné vazby, 3-methyl-3-(2,2-diphenylvinyl)-1,1,5,5-tetraphenyl-1,4-pentadien (*I*). Bylo nalezeno, že tento systém fotochemicky přesmykuje za vzniku cyklopentenového kruhu *III*. Tato látka *III* odpovídala tri- $\pi$ -methanové přeměně, což bylo potvrzeno x-ray spektroskopii. Zároveň byl také pozorován vznik di- $\pi$ -methanového produktu, vinylcyklopropanu *II*, který se přeměňuje za reakčních podmínek opět na cyklopenten *III*. Tento problém byl kineticky řešen<sup>3,4</sup> a stanoveny rychlostní konstanty jednotlivých produktů. Na tomto základě byl potvrzen fakt, že reakce probíhá přes tri- $\pi$ -methanový přesmyk.

Diskutovaný mechanismus tri- $\pi$ -methanového přesmyku je obdobný známému di- $\pi$ -methanovému přesmyku a závisí především na preferované konformaci a stérických vlivech v diradikálovém intermídiátu. Také byly studovány tri- $\pi$ -methanové systémy mající dvě esterové jednotky přímo vázané k dvojně vazbě a vliv senzibilace na průběh této fotoreakce. Byl nalezen také tri- $\pi$ -methanový přesmyk, který probíhá ze základního stavu, tj. bez fotochemické excitace. Jedná se o nový, kysele katalyzovaný přesmyk<sup>5</sup>.

## LITERATURA

- Zimmerman H. E., Armesto D.: Chem. Rev. 96, 3065 (1996).
- Zimmerman H. E., Zuraw M. J.: J. Am. Chem. Soc. 111, 7974 (1989).
- Zimmerman H. E., Církva V.: Org. Lett. 2, 2365 (2000).
- Zimmerman H. E., Církva V.: J. Org. Chem. 66, 1839 (2001).
- Zimmerman H. E., Církva V., Jiang L.: Tetrahedron Lett. 41, 9585 (2000).

## KONFORMAČNÍ CHOVÁNÍ THIACALIX[4]ARENŮ

MICHAL ČAJAN<sup>a</sup>, PAVEL LHOTÁK<sup>b</sup>,  
JAROSLAV KOČA<sup>a</sup> a IVAN STIBOR<sup>b</sup>

<sup>a</sup>Národní centrum pro výzkum biomolekul, PřF MU, Kotlářská 2, 612 00 Brno, <sup>b</sup>Ústav organické chemie, Vysoká škola chemicko-technologická, Technická 5, 166 28 Praha 6  
e-mail: cajan@chemi.muni.cz

Cyklické fenolické oligomery – calix[n]areny – představují díky své unikátní konkávní struktuře a modifikovatelné velikosti vnitřní kavity mimořádně atraktivní strukturální motiv pro supramolekulární aplikace<sup>1</sup>. Jejich význam rovněž umocňuje snadná příprava a následná regioselektivní modifikovatelnost základního skeletu. Jedním z možných způsobů de-derivatizace je také nahrazena methylenových můstek spojujících fenolické jednotky oligomeru jinými atomy či funkčními skupinami. Relativně novou podskupinu calix[n]arenů tedy reprezentují sloučeniny, obecně nazývané thiacalix[n]areny, v nichž jsou aromatické jednotky spojeny silnými můstky<sup>2</sup>. Tato strukturní změna vnáší do rodiny calixarenu nové vlastnosti, u klasického systému nepozorované.

Jedním z fenoménů charakteristických právě pro calix[n]-arenový skelet je specifita jeho konformačního chování. Calix[4]aren odvozený od *p*-terc.butylfenolu zaujímá díky intramolekulární vodíkovým vazbám mezi sousedícím hydroxylovými skupinami na dolním okraji kavity konickou konformaci, jež mimo jiné dala calixarenům jejich jméno. Jednoduchou alkylací hydroxylů na spodním okraji calix[4]-arenu získáme tetralkylderiváty, u nichž lze rozlišit čtyři známé základní konformace – konickou (*cone*), částečně konickou (*partial cone*), 1,2-střídavou (*1,2-alternate*) a 1,3-střídavou (*1,3-alternate*). V případě zavedení větších substituentů, například propylu, je calixarenový skelet zcela rigidizován a jednotlivé konformery lze izolovat jako chemická individua.

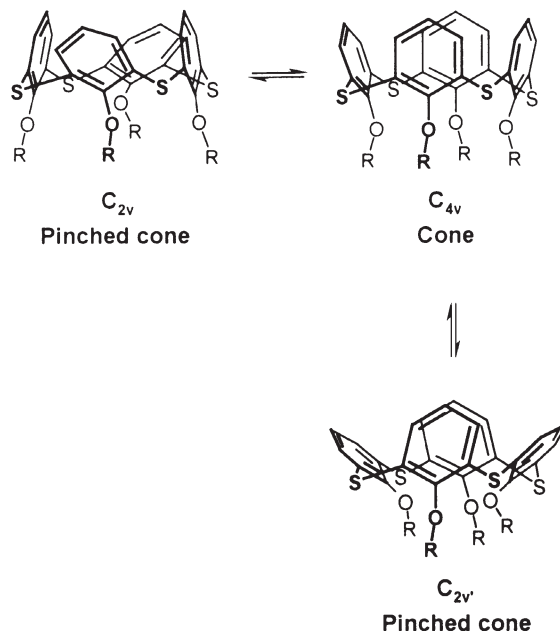


Schéma 1: *Pinched cone*  $\leftrightarrow$  *pinched cone* interkonverze thiacalixarenu

Dále bylo zjištěno, že konická  $C_{4v}$  (nebo  $C_4$ ) symetrická struktura pozorovaná v  $^1\text{H}$  NMR spektrech reprezentuje spíše tranzitní stav  $\text{pinched cone} \leftrightarrow \text{pinched cone}$  interkonverze (schéma 1), zatímco oba  $C_{2v}$  konformery ( $\text{pinched cone}$ ) představují na hyperploše potenciální energie lokální minima.

Tento proces byl experimentálně i teoreticky studován na řadě derivátů klasického calix[4]arenu, dosud však nebyl zcela jasně prokázán u jednoduchých alkylovaných calixarenů odvozených od nesubstituovaného fenolu. Stabilizace  $\text{pinched cone}$  konformerů těchto derivátů vyžaduje teploty nižší než 170 K, což indikuje zřejmě velmi nízkou energetickou bariéru jejich vzájemné interkoverze<sup>3</sup>. Inkorporace čtyřech atomů síry do calixarenového skeletu vede mimo jiné k dramatické změně konformačního chování a  $\text{pinched cone}$  konformer se stává stabilním již při normální teplotě<sup>4</sup>. Detailní prozkoumání hyperplochy potenciální energie v oblasti konických konformací umožnilo vysvětlení některých rozdílů v chování obou výše uvedených strukturních typů.

#### LITERATURA

1. Gutsche C. D.: *Calixarenes Revisited*, vyd. 1., sv. 6. The Royal Society of Chemistry, Cambridge 1998.
2. Harada T., Shinkai S.: J. Chem. Soc., Perkin Trans. 2 1995, 2231.
3. Kumagai H., Hasegawa M., Miyanari S., Sugawa Y., Sato Y., Hori T., Ueda S., Kamiyama H., Miyano, S.: Tetrahedron Lett. 38, 3971 (1997).
4. Čajan M., Lhoták P., Lang J., Dvořáková H., Stibor I., Koča J.: in preparation.

#### SYNTÉZA 15-HYDROXYLOVANÝCH STEROIDNÍCH HORMONU A JEJICH FYLOGENEZE

**IVAN ČERNÝ, PAVEL DRAŠAR  
a VLADIMÍR POUZAR**

Ústav organické chemie a biochemie, Akademie věd České Republiky, Flemingovo n. 2, 166 10 Praha 6  
e-mail: cerny@uochb.cas.cz

Standardními metodami steroidní chemie byly připraveny oba epimerní 15-hydroxyderiváty testosteronu a byla rozpracována chemická syntéza  $15\alpha$ -hydroxyprogesteronu. Cílové 15-hydroxylované steroidní hormony by měly sloužit jako srovnávací vzorky a dále jako výchozí materiál pro přípravu haptenu pro kompletaci kitu na jejich imunostanovení v gonádách mihule říční (*Lampetra fluviatilis*). Ve spolupráci s endokrinologickými pracovišti by měl celý projekt přispět k hlubšímu studiu fylogenetických rozdílů v povaze steroidních hormonů obratlovců.

*Tato práce byla provedena v rámci výzkumného záměru AV ČR Z4 055 905.*

#### LITERATURA

1. Hosoda H., Yamushita K., Chino N., Nambara T.: Chem. Pharm. Bull. 24, 1860 (1976).

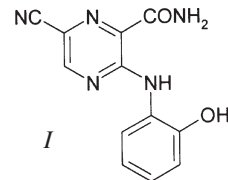
2. Černý I., Fajkoš J., Pouzar V.: Steroids 63, 58 (1996).
3. Kime D. E., Rafter J. J.: Gen. Comp. Endocrinol. 44, 69 (1981).

#### SYNTÉZA A BIOLOGICKÁ AKTIVITA 5-KYANO-RESP. 6-KYANO-3-ARYLAMINOPYRAZIN-2-KARBOXAMIDŮ

**MARTIN DOLEŽAL<sup>a</sup>, JANA BAJEROVÁ<sup>a</sup>  
a VLADIMÍR BUCHTA<sup>b</sup>**

<sup>a</sup>Katedra farmaceutické chemie a kontroly léčiv, <sup>b</sup>Katedra biologických a lékařských věd, Farmaceutická fakulta, Univerzita Karlova, Heyrovského 1203, 500 05 Hradec Králové, e-mail: dolezalm@faf.cuni.cz

Homolytickou amidací směsi 6- a 5-chlorpyrazin-2-karboxamidu pomocí formamidu byly získány v poměru 10:1 dva polohové isomery, 5- a 6-kyan-3-chlorpyrazin-2-karboxamid. Po izolaci sloupovou chromatografií byly oba isomery amidehalogenovány aromatickými aminy; 5-kyan-3-chlorpyrazin-2-karboxamid reagoval ochotně a za vysokých výtěžků (benzen, 80 °C, 30 minut, 80–90 %)<sup>1</sup>, zatímco 6-kyan-3-chlorpyrazin-2-karboxamid poskytoval produkty v nižších výtěžcích (*N,N*-dimethylformamid, 140 °C, 5 hodin, 20–30 %). Připravené látky byly podrobeny testování *in vitro* antimykobakteriální a antifungální aktivity. V obou testech byl nejaktivnější 6-kyan-3-(2-hydroxyfenylamino)pyrazin-2-karboxamid (*I*) (MIC = 0,78 µg.ml<sup>-1</sup> proti *Mycobacterium tuberculosis* H<sub>37</sub>Rv; MIC = 7,81–250 µmol.l<sup>-1</sup> proti všem testovaným houbovým kmenům). V případě *Absidia corymbifera* byl při odečítání MIC po 24 hod stejně účinný jako ketokonazol.



*Studie byla vypracována za podpory MŠMT ČR (č. FRVŠ 1676/G4/2001, Výzkumné záměry č. 11160001 a 11160002). Antimycobacterial data were provided by the Tuberculosis Antimicrobial Acquisition and Coordinating Facility (TAACF) through a research and development contract with the U.S. National Institute of Allergy and Infectious Diseases.*

#### LITERATURA

1. Doležal M., Hartl J., Lyčka A., Buchta V., Odlerová Z.: Collect. Czech. Chem. Commun. 60, 1236 (1995).

**SYNTÉZA, STRUKTURA A FUNGICIDNÍ  
AKTIVITA DERIVÁTŮ  
[2,6-BIS(DIMETHYLAMINOMETHYL)FENYL]  
DIFENYLSTANNYLBROMIDU**

**LIBOR DOSTÁL<sup>a</sup>, ALEŠ RŮŽIČKA<sup>a</sup>,  
ROMAN JAMBOR<sup>a</sup>, VLADIMÍR BUCHTA<sup>b</sup>,  
JAROSLAV HOLEČEK<sup>a</sup>**

<sup>a</sup>Katedra obecné a anorganické chemie, Fakulta chemicko-technologická, Univerzita Pardubice, Studentská 95, 532 09 Pardubice, <sup>b</sup>Fakulta biologických a medicínských věd, Farmaceutická fakulta, Karlova univerzita, Heyrovského 1203, 500 05 Hradec Králové, e-mail: libdostal@seznam.cz

Organocíničité sloučeniny jsou v poslední době intenzivně studovány vzhledem ke své *in vitro* a *in vivo* fungicidní aktivitě. Zejména triorganocíničité sloučeniny vykazují zajímavé výsledky vůči některým kmenům medicínsky významných hub a plísní. Limitujícím faktorem pro farmakologický výzkum a následné použití těchto sloučenin je jejich omezená rozpustnost ve vodě.

V rámci této práce bylo připraveno sedm originálních triorganocíničitých sloučenin (schéma 1) vykazujících zvýšenou rozpustnost ve vodě (200 mg/100 ml) kvůli své iontové struktuře. Struktura připravených sloučenin byla identifikována v roztoku pomocí <sup>1</sup>H, <sup>119</sup>Sn NMR spektroskopie a ESI-hmotnostní spektrometrie. V tuhé fázi byly sloučeniny studovány pomocí rentgenostrukturální analýzy<sup>1</sup> monokrystalického materiálu a pomocí <sup>13</sup>C a <sup>119</sup>Sn CP/MAS NMR spektroskopie.

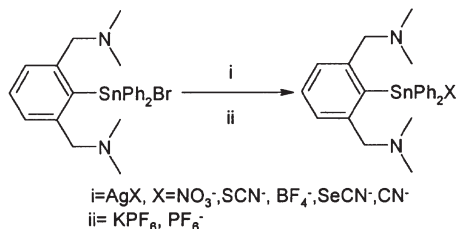


Schéma 1

Připravené sloučeniny byly testovány *in vitro* na některých medicínsky významných kmenech hub a plísní. Výsledky těchto testů spolu s popisem struktury sloučenin budou obsahem sdělení.

Autoři děkuji Ministerstvu školství (COST 8.20.) za finanční podporu.

**LITERATURA**

1. Jambor R., Císařová I., Růžička A., Holeček J.: Acta Crystallogr., Sect. C: Cryst. Struct. Commun. 57, 373 (2001).

**ANTIMYKOBAKTERIÁLNÍ ÚČINKY LÁTEK  
S BAZICKÝM FARMAKOFOREM:  
PIPERIDINOETHYLESTERY  
FENYLKARBAMOVÝCH KYSELIN**

**KAREL WAISSER<sup>a</sup>, KATERINA DRAŽKOVÁ<sup>a</sup>,  
JOZEF ČIZMÁRIK<sup>b</sup> a JARMILA KAUSTOVÁ<sup>c</sup>**

<sup>a</sup>Katedra anorganické a organické chemie, Farmaceutická fakulta, Univerzita Karlova, 500 05 Hradec Králové, <sup>b</sup>Katedra farmaceutickej chémie, Farmaceutická fakulta, Univerzita Komenského, 832 32 Bratislava, Slovenská republika, <sup>c</sup>Národní referentní laboratoř pro *Mycobacterium kansasii*, Krajská hygienická stanice, 728 92 Ostrava, e-mail: waisser@faf.cuni.cz, cizmarik@fpharm.uniba.sk, jarmila.kaustova@khssova.cz

V předchozí studii jsme sledovali vztahy mezi chemickou strukturou a antimykobakteriální aktivitou pyrrolidinoethyl-esterů fenylkarbamových sloučenin<sup>1</sup>. Cílem této práce je studie obdobných derivátů piperidinoethylesterů fenylkarbamových kyselin. Antimykobakteriální aktivita byla hodnocena *in vitro*, a to vůči *Mycobacterium tuberculosis*, *Mycobacterium kansasii* a *Mycobacterium avium*. Vztahy mezi strukturou a aktivitou byly kvantitativně hodnoceny. Všechny sloučeniny byly substituovány alkoxyksupinou na fenylu. Látky byly převážně aktivnější než odpovídající dříve studované sloučeniny. Velikost antimykobakteriálního účinku souvisela s délkou alkoxylu.

Práce vznikla na základě spolupráce českých a slovenských pracovišť a byla podporována granty GA ČR 203/99/0030, MŠMT 111 600 001 na české straně a grantem 1/8213/01 VEGA SR na slovenské straně.

**LITERATURA**

1. Waisser K., Čizmárik J., Dražková K., Kaustová J.: Cesk. Slov. Farm. 50, v tisku (2001).

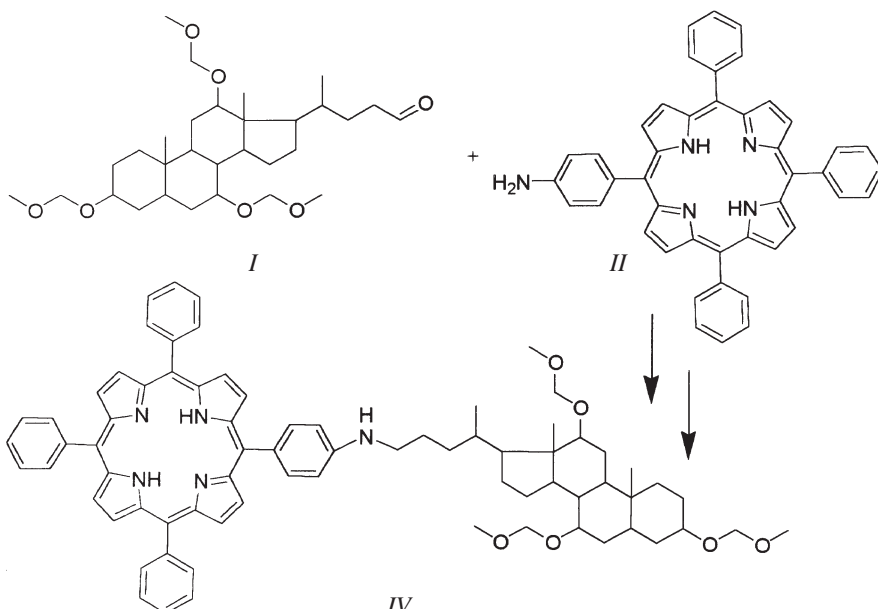
**PORPHYRIN RECEPTOR  
WITH SINGLE STEROID MOIETY**

**MYKHAYLO DUKH<sup>a,b</sup>, IVAN ČERNÝ<sup>b</sup>,  
VLADIMÍR POUZAR<sup>b</sup>, VLADIMÍR KRÁL<sup>a</sup>  
a PAVEL DRAŠAR<sup>b</sup>**

<sup>a</sup>Institute of Chemical Technology, Technická 5, 166 28 Prague 6, <sup>b</sup>Institute of Organic Chemistry and Biochemistry, AS CR, Flemingovo n. 2, 166 10 Prague 6  
e-mail: drasar@uochb.cas.cz

The chemistry of porphyrins equipped with substituted phenyl moieties in *meso*-positions was largely studied for a period of time<sup>1–3</sup>. Recently developed method allows the construction of such a system where chiral steroid molecule could affect the binding properties of the receptor.

Thus, the steroidal aldehyde *I* was condensed with 20-(4-aminophenyl)-5,10,15-triphenyl-porphyrin *II* (ref.<sup>4</sup> ratio 6:1, in dichloromethane, r.t.) to yield the Shiff-base *III*, which upon reduction by LAH in THF at 50 °C gave amine *IV*. The amine *IV* is presented as a basic compound for the construction of the



porphyrin receptors with steroid-induced chirality. The study of physico-chemical properties is under investigation.

*The project was supported by the grants of the Grant Agency of the Czech Republic No. 203/97/0695, of Ministry of Education of the Czech Republic (No. VS 97135), of COST No. OCD12.20, and Research project Z4055905.*

#### REFERENCES

- Davis A. P., Bonar-Law R. P., Sanders J. K. M., in book: *Comprehensive Supramolecular Chemistry*, V. 4. Supramolecular Reactivity and Transport: Bioorganic Systems. Pergamon 1996.
- Bonar-Law R. P., Mackay L. G., Walter C. J., Marvaud V., Sanders J. K. M.: Pure Appl. Chem. 66, 803 (1994).
- Bonar-Law R. P., Sanders J. K. M.: J. Chem. Soc., Chem. Commun. 1991, 574.
- Kruper Jr. W. J., Chamberlin T. A., Kochanny M.: J. Org. Chem. 54, 2753 (1989).

#### NETRADIČNÍ HYDROSTANNACE

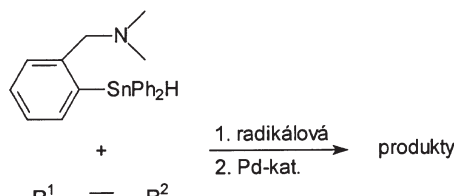
**MAREK DYMÁK, ALEŠ RŮŽIČKA,  
ROMAN JAMBOR a JAROSLAV HOLEČEK**

*Katedra obecné a anorganické chemie, Fakulta chemicko-technologická, Univerzita Pardubice, n. Čs. legií 565, 532 10 Pardubice, e-mail: marek.dymak@upce.cz*

Organocíničité sloučeniny jsou důležitými meziprodukty v organické syntéze, a proto je jejich přípravě věnována velká pozornost. Jednou z možností přípravy těchto sloučenin je hydrostannace<sup>1</sup>, což je adice organocíničitého hydridu na násobnou vazbu (schéma 1).

Byla studována reakce výše uvedeného organocíničitého hydridu s vybranou řadou nenasycených sloučenin za různých

podmínek. Vzhledem k povaze použitého hydridu (aktivace vazby Sn–H) by tato reakce měla mít specifický výsledek. Výtěžnost, regioselektivita a stereoselektivita reakce bude diskutována na základě <sup>1</sup>H, <sup>13</sup>C a <sup>119</sup>Sn NMR spektroskopie.



*Autoři by rádi poděkovali GA ČR (grant č. 203/00/0920) za finanční podporu.*

#### LITERATURA

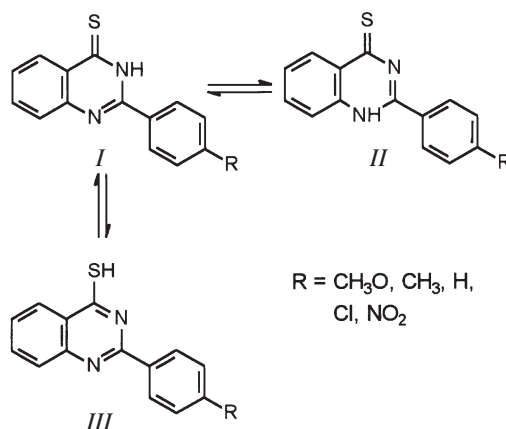
- Smith N. D., Mancuso J., Lautens M.: Chem. Rev. 100, 3257 (2000).

#### TAUTOMERIE DERIVÁTŮ 2-FENYLCHINAZOLIN-4-THONU

**JIŘÍ HANUSEK<sup>a</sup>, MILOŠ SEDLÁK<sup>a</sup>  
a MILAN ERBEN<sup>b</sup>**

<sup>a</sup>*Katedra organické chemie, <sup>b</sup>Katedra obecné a anorganické chemie, Fakulta chemicko-technologická, Univerzita Pardubice, n. Čs. legií 565, 532 10 Pardubice  
e-mail: Jiri.Hanusek@upce.cz*

V naší předchozí práci jsme se zabývali syntézou<sup>1</sup> a kinetikou<sup>2</sup> cyklizační reakce substituovaných 2-benzoylaminothiobenzamidů, které v bazickém prostředí poskytují ve velmi dobrém výtěžku deriváty 2-fenylchinazolin-4-thionu. Tyto



2-fenylchinazolin-4-thione se mohou vyskytovat ve třech tautomerních formách.

Na základě interpretace  $^{13}\text{C}$ -NMR, IR, Ramanových a UV spekter jsme zjistili, že preferovanou tautomerní formou je forma *I*, stejně jako u analogických, již dříve v literatuře studovaných 2-fenylchinazolin-4-onů.

Autoři příspěvku děkují GA ČR za poskytnutí finančních prostředků (grant č. 203/01/0227).

#### LITERATURA

1. Hanusek J., Hejtmánková L., Kubicová L., Sedlák M.: *Molecules* 6, 323 (2001).
2. Hanusek J., Sedlák M.: *Chem. Listy* 94, 789 (2000).

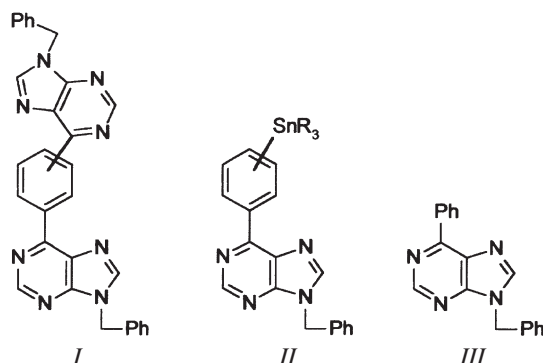
#### KAPLING 9-BENZYL-6-CHLORPURINU S 1,3- A 1,4-BIS(TRIALKYLCÍN)BENZENEM

**MARTINA HAVELKOVÁ<sup>a</sup>, DALIMIL DVORÁK<sup>a\*</sup>  
a MICHAL HOCEK<sup>b</sup>**

<sup>a</sup>Ústav organické chemie, Vysoká škola chemicko-technologická, Technická 5, 166 28 Praha 6, <sup>b</sup>Ústav organické chemie a biochemie, Akademie věd České republiky, Flemingovo n. 2, 166 10 Praha 6

Dvě molekuly purinu spojené v poloze 6 1,3- nebo 1,4-fenylenovým zbytkem představují analogii Watson-Crick duplexu.

Byla vypracována metoda přípravy těchto látek založená



na Stilleho kaplingu 1,3- a 1,4-bis(trialkylcín)benzenu s 9-benzyl-6-chlorpurinem. Přitom podle reakčních podmínek vznikají v přítomnosti Pd-katalyzátoru kromě požadovaného produktu *I* i sloučeniny *II* a *III* v různém poměru.

Práce byla provedena s podporou grantu 203/00/0036 GA ČR.

#### SROVNÁVACÍ STUDIE STRUKTUR AKTIVNÍCH CENTER GLYKOSYLTRANSFERAS A NÁVRH POTENCIÁLNÍCH INHIBITORŮ

**HELENA HEISSIGEROVÁ<sup>a</sup>, PETR KOČALKA<sup>a</sup>,  
JITKA MORAVCOVÁ<sup>a</sup> a ANNE IMBERTY<sup>b</sup>**

<sup>a</sup>Ústav chemie přírodních látok, Vysoká škola chemicko-technologická, Technická 5, 166 28 Praha 6, <sup>b</sup>Centre de recherches sur les macromolécules végétales, BP53, 38041 Grenoble cedex 9, France

e-mail: helena.heissigerova@vscht.cz, petr.kocalka@vscht.cz, jitka.moravcova@vscht.cz, anne.imberty@cermav.cnrs.fr

Sacharidy buněčných povrchů hrají dominantní roli v procesech biologického rozpoznávání, které se uplatňují při tak důležitých pochodech jako je imunitní odpověď, růst buněk nebo mezibuněčná komunikace. Studium selektivních inhibitorů glykosyltransferas (GT) účastnících se biosynthesy oligosacharidů buněčných povrchů, může vést k objevení nových, therapeuticky významných látok. Dospod však byly ve vývoji inhibitorů zaznamenány jen dílčí úspěchy.

Teprve v nedávné době byly vyřešeny 3D struktury glykosyltransferasy SpmA (cit.<sup>1</sup>) z *Bacillus subtilis*, hovězí  $\beta$ -1,4-galactosyltransferasy T1 (cit.<sup>2</sup>) a  $\alpha$ -1,3-galactosyltransferasy<sup>3</sup>, lidské  $\beta$ -1,3-glucuronyltransferasy<sup>4</sup>, bakteriální galactosyltransferasy LgtC (cit.<sup>5</sup>) z *Neisseria meningitidis* a králičí *N*-acetylglucosaminyltransferasy I (cit.<sup>6</sup>) díky roentgenové spektrometrii. Tato strukturní data poskytují první detailní pohled na vztah struktury a katalytické funkce.

Primární, sekundární a terciární struktury výše uvedených enzymů byly porovnány metodami „multiple alignment“ a superpozice 2D a 3D modelů. Byly vyhodnoceny konformační parametry ligandů a srovnány s hodnotami popsanými pro ligandy dalších enzymů užívajících nukleotid-cukry jako substráty. Dále byla modelována orientace a umístění syntetického inhibitoru<sup>7</sup> v aktivním centru  $\beta$ -1,4-galactosyltransferasy T1.

Na základě této teoretické studie byly navrženy struktury nových inhibitorů GT. Z nich byly připraveny  $\alpha$ -D-galactopyranosyl-1-fosfonát<sup>8</sup> a  $\alpha$ -D-galactopyranosyl-1-methylenfosfonát, jejichž biologická aktivita bude studována.

Práce je řešena za podpory grantu FRVŠ č. 634/2001.

#### LITERATURA

1. Charnock S. J., Davies G. J.: *Biochemistry* 38, 6380 (1999).
2. Gastinel L. N., Cambillau C., Bourne Y.: *EMBO J.* 13, 3546 (1999).
3. Gastinel L. N., Bignon C., Joziasse D. H.: *EMBO J.* 20, 638 (2001).
4. Pedersen L. C., Tsuchida K., Negishi M.: *J. Biol. Chem.* 275, 34580 (2000).

5. Persson K., Wakarchuk W. W., Strynadka N. C. J.: Nat. Struct. Biol. 8, 166 (2001).
6. Unligil U. M., Zhou S., Sarkar M., Rini J. M.: EMBO J. 19, 5269 (2000).
7. Hashimoto H., Endo T., Kajihara Y.: J. Org. Chem. 62, 1914 (1997).
8. Vaghefi M. M., Bernacki R. J., Robins R. K.: J. Med. Chem. 30, 1383 (1987).

## KINETIKA A MECHANISMUS RECYKLIZAČNÍ REAKCE SUBSTITUOVANÝCH S-(1-FENYL PYRROLIDIN-2-ON-3-YL)- -ISOTHIOURONIOVÝCH SOLÍ

**LUDMILA HEJTMÁNKOVÁ<sup>a</sup>,**  
**VLADIMÍR MACHÁČEK<sup>b</sup>** a **MILOŠ SEDLÁK<sup>b</sup>**

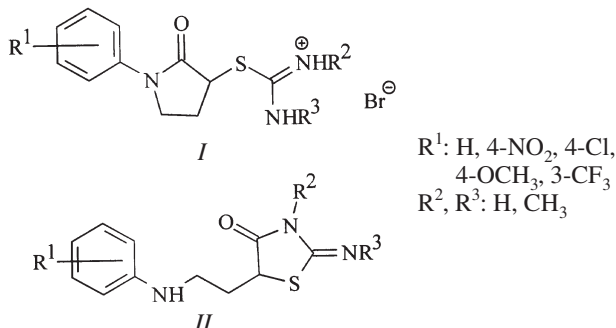
<sup>a</sup>Výzkumný ústav farmacie a biochemie, Dolní Měcholupy 130,  
102 01 Praha, <sup>b</sup>Katedra organické chemie, Fakulta chemicko-  
technologická, Univerzita Pardubice, n. Čs. legií 565, 532 10  
Pardubice

e-mail: vufb.pce@worldonline.cz, Milos.Sedlak@upce.cz

Thiomocovina, 1-methylthiomocovina a 1,3-dimethylthiomocovina poskytují reakcí se substituovanými 3-brom-1-fenylpyrrolidin-2-ony<sup>1</sup> odpovídající isothiuroniové soli. Zjistili jsme, že v bazickém prostředí rovnovážně vzniká isothiomocovina. Aminoskupina isothiomocoviny pak intramolekulárně nukleofilně atakuje amidický karbonyl pyrrolidinového cyklu přičemž dochází k jeho otevření a vzniku nového iminothiazolidinového heterocyklu. Tuto tandemovou recyklizační reakci můžeme klasifikovat jako transformaci heterocyklického skeletu za účasti tří atomů postranního řetězce<sup>2</sup>.

Podrobne jsme studovali kinetiku a mechanismus recyklizační reakce *Id* → *IId* ( $R^1: 4\text{-OCH}_3$ ,  $R^2: \text{H}$ ,  $R^3: \text{CH}_3$ ) ve vodných roztocích aminových pufů (N-methylmorpholin, morpholin, tris(hydroxymethyl)amin, ethanolamin a butylamin) v rozmezí pH 8,1 až 11,5 a v roztocích hydroxidu sodného (v rozmezí koncentrací  $1.10^{-3}$  až  $4.10^{-3}$  mol.l<sup>-1</sup>) při 25 °C a jednotkové iontové síle za podmínek reakce pseudoprvního řádu. Z uvedených závislostí jsme zjistili, že recyklizační reakce *Id* → *IId* je katalyzována jak bazickou, tak kyselou složkou pufu (obecná kyselá a obecná bazická katalýza) a pozorovaná rychlostní konstanta se v uvedeném prostředí řídí následující kinetickou rovnicí:

$$k_{\text{obs}} = k_o + k_{\text{OH}}[\text{OH}] + k_B[\text{B}] + k_{\text{HB}}[\text{BH}]$$



V roztocích hydroxidu sodného se rovnice zjednoduší na obecný tvar:

$$k_{\text{obs}} = k_o + k_{\text{OH}}[\text{OH}]$$

kde jsme na základě experimentální závislosti určili hodnotu  $k_{\text{OH}} = 32,5 \text{ l.mol}^{-1}\text{s}^{-1}$  (hodnota  $k_o$  je tomto případě nulová). Z konstant ( $k_{\text{extrapol}}$ ) získaných ze závislosti  $k_{\text{obs}}$  vs [B] extrapolací na nulovou koncentraci pufu a pak vynesených proti hodnotám pH v *N*-methylmorpholinových a morpholinových pufech jsme vypočetli hodnotu  $pK_a = 8,75 \pm 0,10$  pro látku *Id*. Pomocí této hodnoty pak bylo možno vypočít jednotlivé katalytické konstanty  $k_B$  a  $k_{\text{HB}}$  vztažené na reaktivní species (volná NH<sub>2</sub> skupina).

Autoři příspěvku děkují GA ČR za poskytnutí finančních prostředků (grant č. 203/01/0227).

## LITERATURA

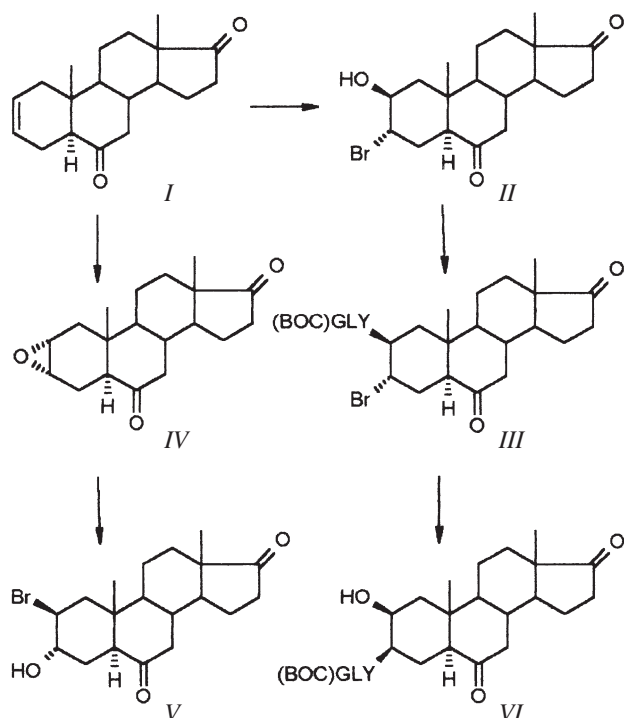
1. Sedlák M.: Chem. Listy 93, 734 (1999).
2. Van der Plas H. C.: J. Heterocycl. Chem. 37, 427 (2000).

## SYNTHESIS OF BRASSINOSTEROID LIGANDS FOR AFFINITY CHROMATOGRAPHY

**JAROSLAVA HNILIČKOVÁ, LADISLAV KOHOUT,**  
**and MILOŠ BUDĚŠÍNSKÝ**

Institute of Organic Chemistry and Biochemistry, Academy of Sciences of the Czech Republic, Flemingovo n. 2, 166 10 Prague 6, e-mail: jarka@uochb.cas.cz

In the course of our studies on structure-activity relationship of brassinosteroid<sup>1–3</sup> there was a need for the synthesis of



a compound which would bind to affinity carriers potentially useful for isolation of protein receptors from plant extracts. In this case we planned to bind the brassinosteroid part through an A ring function.

To elaborate the synthesis, we used 6,17-dioxo-5 $\alpha$ -androst-2-ene (*I*) as the starting material. An addition of hypobromous acid to a 2,3-double bond afforded 3 $\alpha$ -bromo-2 $\beta$ -hydroxy-5 $\alpha$ -androstan-6,17-dione (*II*). To determine the configuration of the adduct, we synthesized an isomeric bromohydride: 2 $\beta$ -bromo-3 $\alpha$ -hydroxy-5 $\alpha$ -androstan-6,17-dione (*V*) was formed by a hydrobromic acid cleavage of epoxide (*IV*) obtained on epoxidation of olefin *I*. The structures of these two bromohydrides follow from their NMR spectra before and after treatment with TAI. Bromohydride *II* was used for synthesis (BOC)glycine-ester (*III*) which on acetolysis of bromine atom afforded compound (*VI*) which will be used for binding experiment.

The authors acknowledge financial support by the grant GA CR No. 203/01/0083 and by research project No. Z4 055 905.

#### REFERENCES

- Slavíková B., Kasal A., Kohout L.: Collect. Czech. Chem. Commun. 63, 655 (1998).
- Brosa C., Zamora I., Terricabras E., Kohout L.: Collect. Czech. Chem. Commun. 63, 1635 (1998).
- Kohout L., Chodounská H., Macek T., Strnad M.: Collect. Czech. Chem. Commun. 65, 1754 (2000).

#### NEUROSTEROIDY; SYNTÉZA A AKTIVITA LIGANDŮ NMDA RECEPTORU

**HANA CHODOUNSKÁ<sup>a</sup>, BARBORA SLAVÍKOVÁ<sup>a</sup>, ALEXANDER KASAL<sup>a</sup>, LADISLAV KOHOUT<sup>a</sup>, GALYA ABDRACHMANOVÁ<sup>b</sup> a LADISLAV VYKLICKÝ ml.<sup>b</sup>**

<sup>a</sup>Ústav organické chemie a biochemie, Akademie věd České republiky, Flemingovo n. 2, 166 10 Praha 6, <sup>b</sup>Fyziologický ústav, Akademie věd České republiky, Vídeňská 1083, 142 20 Praha 4, e-mail: hchod@uochb.cas.cz

Neurosteroidy jsou látky syntetizované mitochondriemi gliových buněk. Klasické genomické působení steroidů, kdy po vytvoření komplexu s intramolekulárním steroidním receptorem a jeho transportu do jádra je modulována jaderná transkripcí, je charakterizováno prodlouženou dobou nástupu účinku (dny až týdny). Rychlé působení steroidů (zlomky sekund až minuty) bylo pozorováno a podrobnejší charakterizováno relativně nedávno. Tato aktivita steroidních derivátů ovlivňuje různé psychické (strach, poznávací schopnosti) a neurologické (křeče, excitotoxická buněčná smrt) funkce<sup>1</sup>.

Neurosteroidy uvolňované nervovou soustavou působí na funkci ionotropních receptorů pro přenašeče nervového signálu. Patří mezi ně i jeden z receptorů aktivovaných kyselinou glutamovou, NMDA receptor.

Nezbytným strukturním požadavkem pro aktivitu ve zmíněném receptoru je přítomnost polární substituce v poloze 3 steroidního skeletu. Tento požadavek splňují estery steroidu a kyseliny sírové nebo jantarové.

Reakcí steroidních alkoholů s komplexem oxidu sírového a pyridinu byly připraveny steroidní sulfáty<sup>2</sup>. Poloester kyseliny jantarové vznikl působením anhydridu kyseliny jantarové na steroidní substrát.

Aktivita připravených derivátů byla testována na motoneuronech řezů krysí míchy<sup>3</sup>. Přítomnost 20-oxo-pregn-5-en-3 $\beta$ -yl sulfátu zvyšuje elektrofyziologickou odpověď na kyselinu glutamovou, přítomnost 20-oxo-5 $\alpha$ -pregn-3 $\alpha$ -yl sulfátu a 20-oxo-5 $\beta$ -pregn-3 $\alpha$ -yl sulfátu tuto odpověď snižuje.

*Autoři děkuji za finanční podporu GA ČR (grant 203/01/0084 a výzkumný projekt Z4 055 905).*

#### LITERATURA

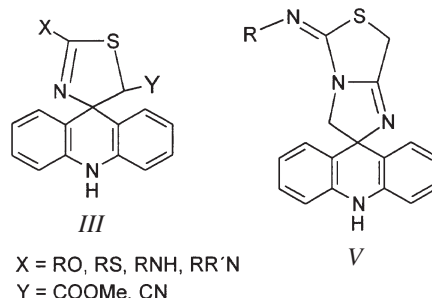
- Dorda M., Vlček K., Chodounská H., Vyklický L. ml.: Psychiatrie, Supplementum 3 5, 5 (2001).
- Arnoštová L., Pouzar V., Drašar P.: Steroids 57, 233 (1992).
- Abdrachmanova G., Chodounská H., Vyklický L. ml.: Eur. J. Neurosci. 14, 1 (2001).

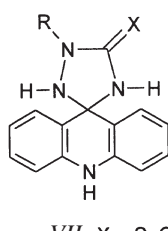
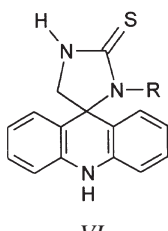
#### SYNTHESIS OF NEW SPIRO DIHYDROACRIDINES FROM 9-SUBSTITUTED ACRIDINYL SYNTHONS

**JÁN IMRICH<sup>a</sup>, JURAJ BERNÁT<sup>a</sup>,  
PAVOL KRISTIÁN<sup>a</sup>, KAREL D. KLIKA<sup>b</sup>,  
KALEVI PIHLAJA<sup>b</sup>, EVA BALENTOVÁ<sup>a</sup>,  
and MÁRIA VILKOVÁ<sup>a</sup>**

<sup>a</sup>Department of Organic Chemistry, Faculty of Science, P. J. Šafárik University, 041 67 Košice, Slovak Republic, <sup>b</sup>Department of Chemistry, University of Turku, SF-20014 Turku, Finland, e-mail: jimrich@kosice.upjs.sk, kpihlaja@utu.fi

Specific reactivity of a 9-isothiocyanatoacridine synthon *I* was utilized for preparation of reactive intermediates e.g. iminothiocarbonates *IIa*, dithiocarbamates *IIb*, thioamides *IIc* and thioureas *IId* which further cyclized to new spiro[dihydroacridine-9(10H),4'-thiazoli(di)nes] *III* and *IV* (ref.<sup>1</sup>). Analogous reaction of 9-aminomethylacridine with isothiocyanates and bromoacetonitrile afforded a new type of heterocycle spiro[dihydroacridine-9(10H),2'-2',7'-dihydro-3'H-imidazo[1,2-c]thiazol-5'-ylidene-amine] *V* (ref.<sup>2</sup>). Without the reagent, the intermediate thioureas spontaneously cyclized to spiro[dihydroacridine-9(10H),4'-imidazolidine]s *VI*. Reaction of *I* with phenyl and methylhydrazine submitted new 2'-substituted spiro[dihydroacridine-9(10H),5'-triazolidine]-3'-thio-





nes(ones) *VII* whereas 1-substituted (9-acridinyl)thiosemicarbazides did not undergo spirocyclization. Structure of compounds has been confirmed by spectral methods and x-ray crystallography.

*The authors are grateful to the Ministry of Education of the Slovak Republic and the Grant Agency for Science for the financial support (VEGA grant No. I/6077/99).*

## REFERENCES

- Kristian P., Bernát J., Imrich J., Danihel I., Suchár G., Chomča I., Hočová S., Bušová T., Guspanová J., Linden A.: *Molecules* 1, 181 (1996).
- Klika K. D., Bernát J., Imrich J., Chomča I., Sillanpaä R., Pihlaja K.: *J. Org. Chem.* 66, 4416 (2001).

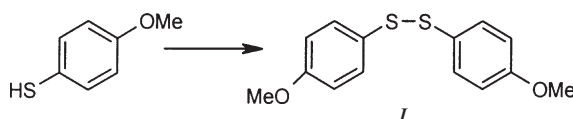
## VLIV MĚDĚNÝCH HETEROGENNÍCH KATALYZÁTORŮ S ODLIŠNÝMI ELEKTRONICKÝMI PARAMETRY NA VZNIK *bis*-(4-METHOXYFENYL)-DISULFIDU

**JOSEF JAMPÍLEK<sup>a</sup>, MARTIN DOLEŽAL<sup>a</sup>  
a BOHUMÍR DVOŘÁK<sup>b</sup>**

<sup>a</sup>Katedra farmaceutické chemie a kontroly léčiv, Farmaceutická fakulta, Univerzita Karlova, Heyrovského 1203, 500 05 Hradec Králové, <sup>b</sup>Ústav organické technologie, Fakulta chemické technologie, Vysoká škola chemicko-technologická, Technická 5, 166 28 Praha 6  
e-mail: *jamp@faf.cuni.cz, dolezalm@faf.cuni.cz, bohumir.dvorak@vscht.cz*

Při reakcích s 4-methoxybenzenthiolem na měděných katalyzátorech<sup>1</sup> se vyskytl problém dimerizace na *bis*-(4-methoxyfenyl)-disulfid (*I*).

Všechny reakce byly provedeny za konstantních podmínek s použitím různých typů měděných heterogenních katalyzátorů (typ: kov, polovodič, izolátor), s měděnou složkou v různých oxidačních stavech. Katalyzátory byly aplikovány v práškovité formě, jemná disperze účinné složky byla připravována srážecími nebo impregnačními postupy.



Studie byla vypracována za podpory MŠMT ČR (č. projektu LN00B125).

## LITERATURA

- Jampílek J., Doležal M., Dvořák B.: 53. sjezd chemických společností, sborník abstraktů, str. 268. Banská Bystrica, 3.–6.9.2001.

## STUDIUM VZTAHU MEZI EXPERIMENTÁLNĚ NAMĚŘENÝMI HODNOTAMI $pK_a$ *ortho*-SUBSTITUOVANÝCH ANILINU S TEORETICKY VYPOČTENÝMI VLASTNOSTMI

**EVA JIRÁSKOVÁ a MICHAL OTYEPKA**

*Katedra anorganické a fyzikální chemie, PřF UP, tř. Svobody 8, 771 46 Olomouc  
e-mail: jiraskov@risc.upol.cz, otyepka@risc.upol.cz*

Pojem *ortho*-efektu je znám od roku 1935, kdy jej L. P. Hammett definoval na Sympoziu „Kinetika reakce“ – 89. Národní setkání ACS v New York City. Dosud bylo objeveno mnoho projevů *ortho*-efektu a byla učiněna řada pokusů o jeho popis. Dnes se předpokládá, že *ortho*-efekt představuje sadu několika efektů, které působí v různých kombinacích (např. elektronové efekty, stericky bráněná rezonance, intramolekulární vodíková vazba a stericky bráněná solvatace reakčního centra ap.). Dosud však jasné fyzikálně-chemické vysvětlení *ortho*-efektu nebylo publikováno.

Nedávno M. E. Vaschettová a kol.<sup>1</sup> publikovala lineární vztah mezi experimentálními hodnotami  $pK_b$  monosubstituovaných anilinů a Mullikenovými parciálními náboji na aminoskupině. Závěrem práce shrnula, že příčinou *ortho*-efektu by mohla být vnitřní vodíková vazba. Její závěry byly publikovány na základě DFT výpočtu v úrovni B3LYP/6-31G(d). Tato jednoduchá myšlenka se zdá být přitažlivým vysvětlením, avšak byla ověřována na malé sadě dat. Proto jsme se rozhodli testovací sadu rozšířit a myšlenku M. E. Vaschettové prověřit na sadě 2-monosubstituovaných a 2,6-disubstituovaných anilinů, *N*-methylanilinu a *N,N*-dimethylanilinu.

Teoretické výpočty byly prováděny v úrovni B3LYP/6-311G(d,p) programem Gaussian 98 a spektrofotometricky změřené  $pK_a$  byly získány z literatury<sup>2</sup>.

Na základě myšlenky M. E. Vaschettové byl vypočten korelační koeficient mezi parciálními náboji aminoskupiny a  $pK_a$  pro všechny studované aniliny a činil  $r = -0,467$ . Tentýž korelační koeficient spočtený pouze pro 2-monosubstituované aniliny však činí  $r = -0,954$ , stejný korelační koeficient spočtený pro všechny 2-monosubstituované aniliny, *N*-methylaniliny a *N,N*-dimethylaniliny je roven  $r = -0,398$ . Je zřejmé že malý testovací soubor v práci M. E. Vaschettové vede k výsledku, který nemůže být snadno rozšířen na větší sadu molekul. Závěrem lze říci, že  $pK_a$  2-monosubstituovaných anilinů je v lineárním vztahu k Mullikenovým parciálním nábojům aminoskupiny. Jelikož jsou tyto parciální náboje obrazem elektronové hustoty, lze předpokládat, že nejdůležitějšími efekty přispívajícími k *ortho*-efektu u 2-monosubstituovaných anilinů jsou efekty elektronové a ostatní efekty mohou být zanedbány. Situace pro 2,6-disubstituované aniliny, *N*-methylaniliny a *N,N*-dimethylaniliny je komplikovanější a svou úlohu budou sehrávat i sterické efekty. Možná východiska pro jejich popis budou prezentována.

Poděkování Superpočítacovému centru v Brně za výpočetní čas, GA ČR za finanční příspěvek (grant č. 203/98/P095).

## LITERATURA

- Vaschetto M. E., Retamal B. A., Monkman A. P.: J. Mol. Struct. (Theochem) 468, 209 (1999).
- Jirásková E., Kulhánek J., Nevěčná T., Pytela O.: Collect. Czech. Chem. Commun. 64, 1253 (1999); Jirásková E., Nevěčná T., Kulhánek J., Pytela O.: Chem. Listy 94, 1001 (2000).

## FLUOROVANÉ MATERIÁLY PRO BIOMEDICINÁLNÍ VYUŽITÍ: SYNTÉZA A POLYMERACE NOVÝCH FLUOROVANÝCH AMFIFILNÍCH METHAKRYLÁTOVÝCH MONOMERŮ

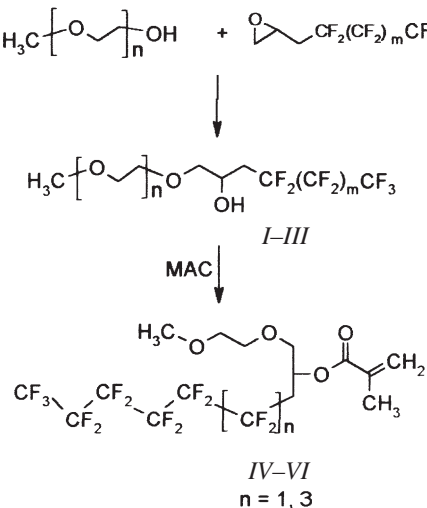
**ROBERT KAPLÁNEK<sup>a</sup>, OLDŘICH PALETA<sup>a</sup>,  
JIŘÍ MICHALEK<sup>b</sup> a MARIE TLUSTÁKOVÁ<sup>b</sup>**

<sup>a</sup>Ústav organické chemie, Vysoká škola chemicko-technologická, Technická 5, 166 28 Praha 6, <sup>b</sup>Ústav makromolekulární chemie, AV ČR, Heyrovského n. 2, 162 06 Praha 6  
e-mail: kaplanek@email.cz

Látky obsahující v molekule fluor našly široké uplatnění v medicíně mimo jiné jako biokompatibilní materiály<sup>1</sup>. Jednou z těchto aplikací jsou kontaktní nebo intraokulární čočky v očním lékařství. Příslušné polymery musejí vykazovat dobrou propustnost pro kyslík<sup>2</sup> a pokud možno určitou hydrofilnost. Obě tyto vlastnosti mají materiály obsahující jednak hydrofilní skupinu, jednak fluorované segmenty, které zvyšují transport kyslíku.

Pro výše uvedené použití jsme vypracovali syntézu nových monomerů IV–VI, které obsahují hydrofilní skupinu i perfluoralkylovou skupinu jako dvě větve esterové části molekuly monomeru.

Prvním stupněm syntézy je reakce hydrofilního oligoethylenglykolmono-methyletheru s perfluoralkylovaným epoxidem. Druhým stupněm je acylace meziproduktů I–III methakryloylchloridem podle již dříve vypracované metodiky<sup>3</sup>.



Monomery IV–VI jsou kopolymerovány s různými hydroxyalkylovanými methakrylátty, jako jsou (2-hydroxyethyl)-methakrylát (HEMA), diethylenglykol-methakrylát (DEGMA) atd. a s N-vinylalktamy (např. 1-vinyl-2-pyrrolidon). U kopolymerů připravených radikálovou kopolymerací jsou studovány optické, mechanické a transportní vlastnosti nabotnalych gelů.

Tato práce byla provedena za finanční podpory GA ČR (grant č. 106/00/1296).

## LITERATURA

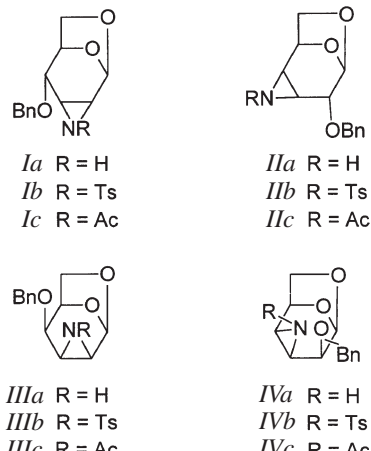
- Banks R. E., Lowe K. C.: *Fluorine in Medicine in the 21<sup>st</sup> Century*. UMIST, Manchester, UK 1994.
- Tigh B., v knize: *Fluorine in Medicine in the 21<sup>st</sup> Century* (Banks R. E., Lowe K. C., ed.). UMIST, Manchester, UK 1994.
- Církva V., Améduri B., Boutevin B., Paleta O.: J. Fluorine Chem. 84, 53 (1997).

## SYNTÉZA N-TOSYL A N-ACETYLEPIMINODERIVATŮ 1,6-ANHYDRO- $\beta$ -D-HEXOPYRANOS A JEJICH REAKTIVITA

**JINDŘICH KARBAN<sup>a</sup> a JIŘÍ KROUTIL<sup>b</sup>**

<sup>a</sup>Ústav chemických procesů, AV ČR, Rozvojová 135, 165 02 Praha 6, <sup>b</sup>Katedra organické chemie, Přírodovědecká fakulta, Univerzita Karlova, Albertov 6, 128 40 Praha 2  
e-mail: karban@icfp.cas.cz, kroutil@natur.cuni.cz

Reduktivní cyklizaci vicinálních azidotosylátů s trans-di-axiální orientací azidoskupiny a toslyoxyskupiny účinkem LiAlH<sub>4</sub> v tetrahydrofuranu jsme připravili epiminoderiváty Ia–IVa. Konfigurace získaných epiminů byla potvrzena difrací rentgenového záření. Jejich reakcí s tosylchloridem v pyridinu jsme získali N-tosylepiminy Ib–IVb a reakcí s acet-anhydridem v tetrahydrofuranu jsme připravili N-acetylepiminy Ic–IVc. Nukleofilní otevření aziridinového cyklu N-tosyl-epiminů Ib a IIb vybranými nukleofily (Cl<sup>–</sup>, Br<sup>–</sup>, I<sup>–</sup>, BnNH, BnOH, BnSH) probíhá stereospecificky na uhlíku C(3) a dává



produkty s *trans*-dixiální orientací tosylaminoskupiny a nukleofilu.

## LITERATURA

- Karban J., Buděšínský M., Černý M., Trnka T.: Collect. Czech. Chem. Commun. 66, 799 (2001).

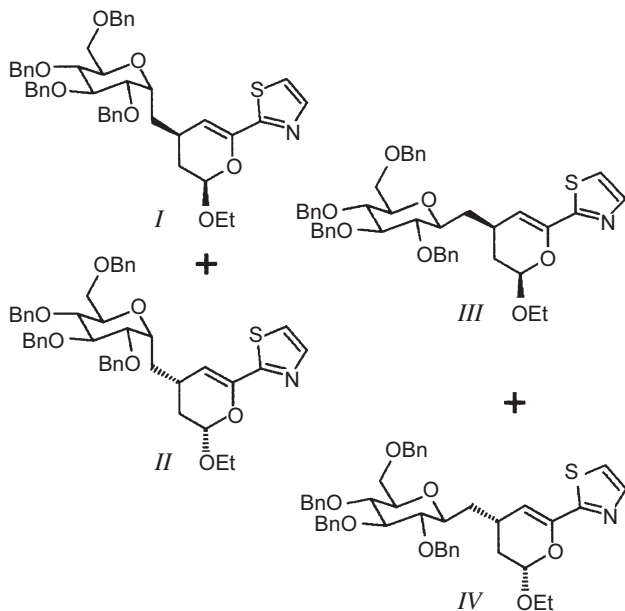
## TRANSFORMACE GLUKOPYRANOSYLPROOPENŮ NA PREKURSORY C-DISACHARIDŮ

**LADISLAV KNIEŽO<sup>a</sup>, PETR ŠTĚPÁNEK<sup>a</sup>,  
ONDŘEJ ŠIMÁK<sup>a</sup>, IVAN RAICH<sup>a</sup>  
a HANA DVOŘÁKOVÁ<sup>b</sup>**

<sup>a</sup>Ústav chemie přírodních látek, <sup>b</sup>Laboratoř NMR, Vysoká škola chemicko-technologická, Technická 5, 166 28 Praha 6,  
e-mail: Ladislav.Kniezo@vscht.cz

C-Disacharidy, tj. disacharidy, ve kterých je atom kyslíku glykosidické vazby nahrazen methylenovou skupinou, reprezentují skupinu látek, která byla v posledních letech intenzivně studována hlavně proto, že tyto látky jsou potenciálními inhibitory glykosidas, resp. glycosyltransferas<sup>1</sup>. Dosavadní způsoby syntézy C-disacharidů jsou založeny hlavně na vytvoření C–C vazeb mezi dvěma monosacharidy, nebo na vytvoření C–C vazby mezi monosacharidem a deriváty 7-oxabicyklo[2.2.1]heptan-2-onu (tzv. „naked sugar“), které se v sérii dalších reakcí transformují na novou hexopyranosu<sup>1,2</sup>. Pro syntézu (1→3)-C-disacharidů jsme se rozhodli využít našich předchozích zkušeností, podle kterých je možno hexopyranusu vybudovat z aldehydické skupiny<sup>3,4</sup>.

Ozonolýzou známých  $\alpha$  a  $\beta$  3-(D-glukopyranosyl)-1-propanu<sup>5,6</sup> byly připraveny příslušné aldehydy, které byly námi publikovaným postupem<sup>3,4</sup> transformovány na směs diastereoisomerů I + II, resp. III + IV. Získané diastereoisomery, které jsou prekursory (1→3)-C-disacharidů, byly separovány a je-



jich struktura byla stanovena na základě interpretace NMR spekter v konfrontaci se semiempirickými výpočty.

Práce byla provedena v rámci řešení výzkumného záměru MŠMT č. 223300006.

## LITERATURA

- Du Y., Linhardt P. J., Vlahov I. R.: Tetrahedron 54, 9913 (1998).
- Chapleur Y.: *Carbohydrate Mimics: Concepts and Methods*. Wiley, Weinheim 1998.
- Dondoni A., Kniežo L., Martinková M., Imrich J.: Chem. Eur. J. 3, 424 (1997).
- Kniežo L., Buděšínský M., Vojtíšek P., Martinková M.: Enantiomer 4, 351 (1999).
- Hosomi A., Sakata Y., Sakurai Y.: Carbohydr. Res. 171, 223 (1987).
- Best W., Ferro V., Harle J., Stick R. V., Matthew D., Tilbrook G.: Aust. J. Chem. 50, 463 (1997).

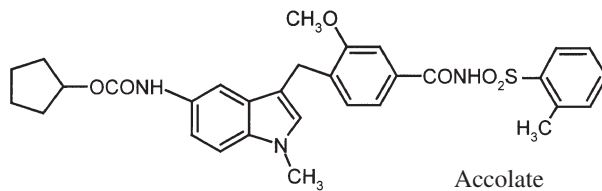
## STUDIUM ALKYLACE 5-NITROINDOLU

**VÁCLAV KOZMÍK, BEDŘICH KOŠATA  
a JIŘÍ SVOBODA**

Ústav organické chemie, Fakulta chemické technologie, Vysoká škola chemicko-technologická, Technická 5, 166 28 Praha 6  
e-mail: Vaclav.Kozmik@vscht.cz, Bedrich.Kosata@vscht.cz, Jiri.Svoboda@vscht.cz

V naší laboratoři byl v rámci uceleného výzkumu a vývoje nových inhibitorů lipoxygenas syntetizován standard substancie Accolate (ICI-204219).

Postup přípravy se opíral o patent<sup>1</sup> a následné publikace<sup>2,3</sup>. Nejproblematičtějším stupněm celé syntézy Accolatu byla Friedel-Craftsova alkylace 5-nitroindolu methylesterem kyseliny 4-bromethyl-3-methoxybenzoové. Protože alkylace 5-nitroindolu byly velmi málo propracovány<sup>1,2</sup>, podrobili jsme tuto alkylaci důkladnějšímu zkoumání za použití různých katalyzátorů, činidel a reakčních podmínek. Zjistili jsme, že některé získané výsledky této studie ne zcela odpovídají reakcím obecně uváděným v učebnicích organické chemie.



## LITERATURA

- Brown F. J., Bernstein P. R., Yee Y. K., Matassa V. G.: Eur. Pat. Appl. 199, 543 (1986).
- Matassa V. G., Maduskuie T. P., Jr., Shapiro H. S., Hesp B., Snyder D. W., Aharony D., Krell R. D., Keith R. A.: J. Med. Chem. 33, 1781 (1990).
- Bernstein P. R.: Drugs Future 19, 217 (1994).

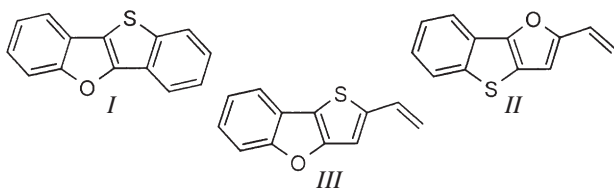
**STUDIUM CYKLOADIČNÍCH REAKCÍ  
VINYLDERIVÁTŮ BENZOTHIENO[3,2-*b*]FURANU  
A THIENO[3,2-*b*]BENZOFURANU**

**MILAN KURFÜRST, PAVEL PIHERA  
a JIŘÍ SVOBODA**

*Ústav organické chemie, Vysoká škola chemicko-technologická, Technická 5, 166 28 Praha 6  
e-mail: milan.kurfurst@vscht.cz, jiri.svoboda@vscht.cz*

V rámci našeho systematického výzkumu syntézy a reaktivit benzokondenzovaných 1,4-diheteropentalenů jsme se pokusili vypracovat syntézu substituovaných benzothieno[3,2-*b*]benzofuranů (*I*) pomocí cykloadičních reakcí 2-vinylbenzothieno[3,2-*b*]furanu (*II*) a 2-vinylthieno[3,2-*b*]benzofuranu (*III*).

Výchozí vinylderiváty *II* a *III* jsme připravili Wittigovou reakcí příslušných aldehydů s methylentrifenylofosforanem v průměrném výtěžku.



Ke studiu cykloadičních reakcí jsme zvolili následující dienofily: methyl-propiolát, maleinanhydrid, dimethyl-acetylendikarboxylát (DMAD) a nitroethylen. V případě prvních dvou poskytly reakce obou vinyl derivátů v očekávaný adukt, který se za podmínek reakce aromatizoval. Reakce vinylderivátů s DMAD byla komplikována následnou reakcí primárního adaktu s další molekulou DMAD. V případě látky *III* docházelo navíc jednak k přesmyku za vzniku kondenzovaného cyklopentathiopyranového systému, jednak k [2+2] reakci vinylové skupiny a tvorbě cyklobutenového derivátu. Cykloadiční reakce nitroethylenu byla rovněž komplikována sérií následných přeměn primárních [4+2] a [2+2] cykloaduktů.

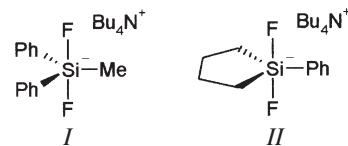
Z odlišného chování obou vinylderivátů v cykloadičních reakcích usuzujeme na rozdílnou aromaticitu materšských heterocyklických systémů.

**DIFLUORSILIKÁTY  
JAKO NUKLEOFILNÍ FLUORAČNÍ ČINIDLA**

**JAROSLAV KVÍČALA<sup>a</sup>, PETR MYSÍK<sup>a</sup>,  
BLANKA ŠTEFAČKOVÁ<sup>a</sup>, OLDŘICH PALETA<sup>a</sup>,  
JITKA MORAVCOVÁ<sup>b</sup>, HANA CHODOUNSKÁ<sup>c</sup>,  
JAN ŠAREK<sup>d</sup> a JIŘÍ KLINOT<sup>d</sup>**

<sup>a</sup>*Ústav organické chemie, <sup>b</sup>Ústav chemie přírodních látok, Vysoká škola chemicko-technologická, Technická 5, 166 28 Praha 6, <sup>c</sup>Ústav organické chemie a biochemie, Akademie věd, Flemingovo n. 2, 166 10 Praha 6, <sup>d</sup>Katedra organické chemie, Přírodovědecká fakulta, Univerzita Karlova, Albertov 6, 128 43 Praha 2, e-mail: kvicalaj@vscht.cz*

Reakcí TBAF se substituovanými fluorsilany jsme připravili sérii analogů tetrabutylamonium-fenyldifluordimethylsil-



likonátu (TAMPS)<sup>1,2</sup>, např. difenyldifluorsilikonát *I* a difluorsilolanuid *II*. Připravené difluorsilikáty jsou méně účinné než činidlo TAMPS. Nízkoteplotní <sup>19</sup>F NMR spektra ukázala, že difluorsilikáty s jednou fenylovou skupinou obsahují oba fluorové v apikálních polohách, zatímco v případě difluorsilikonátu *I* má významné zastoupení i konformer s jedním fluorovým v poloze pseudoekvatoreální. Pozorovaná <sup>19</sup>F spektra byla porovnána s hodnotami stínění vypočtenými metodou B3LYP-GIAO/6-311++G(3df,p). Činidlo TAMPS bylo využito pro fluorace vybraných analogů přírodních látok.

*Práce byla provedena za podpory grantu GA ČR 203/00/1232.*

**LITERATURA**

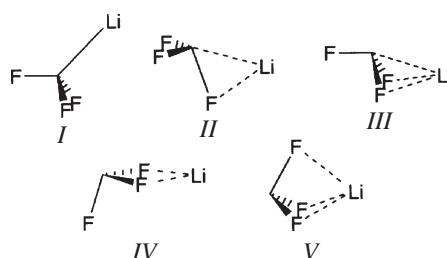
1. Albanese D., Landini D., Penso M.: Tetrahedron Lett. 36, 8865 (1995).
2. Kvíčala J., Mysík P., Paleta O.: Synlett 2001, 547.

**VÝPOČTY POVRCHŮ POTENCIÁLNÍ ENERGIE  
PRO CHLOR- A FLUORLITHIOMETHANY**

**JAROSLAV KVÍČALA, OLDŘICH PALETA  
a STANISLAV BÖHM**

*Ústav organické chemie, Vysoká škola chemicko-technologická, Technická 5, 166 29 Praha 6, e-mail: kvicalaj@vscht.cz*

Zatímco chlormethylthium, dichlormethylthium a trichlormethylthium jsou stabilní při -100 °C, analogické fluorované sloučeniny se rozkládají již při teplotách pod -140 °C. Výpočetní studie povrchů potenciální energie na úrovni MP2/6-311++G(d,p) ukázaly, že s rostoucím počtem halogenů v molekule substituovaného methylolithia se zvětšuje počet nalezených konformačních minim<sup>1</sup>. Pro trifluormethylthium tak bylo nalezeno pět rozdílných konformačních minim *I*–*V* s karbaniontovou strukturou. Rozklad halomethylthilií začíná z konformačního minima *II* s trojúhelníkovým uspořádáním uhlík-halogen–lithium. Zatímco relativní energie tranzitních stavů vzhledem ke globálnímu minimu klesají prudce s rostoucím počtem halogenů v molekule substituovaného methylolithia, u chlorovaných a fluorovaných derivátů methylolithia se stejn-



ným počtem halogenů jsou tyto energie překvapivě téměř shodné. Rozdíly v experimentálně pozorované stabilitě musí tedy způsobeny jinými faktory, které budou diskutovány.

Práce byla provedena za podpory grantu GA ČR 203/99/1630.

## LITERATURA

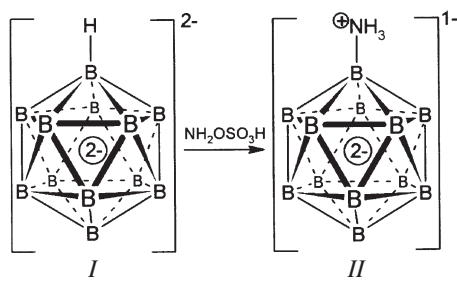
- Kvíčala J., Štambaský J., Böhm S., Paleta O.: J. Fluorine Chem., v tisku.

## POLYEDRICKÉ BORANOVÉ ANIONTY A ZÁCHYTNA NEUTRONOVÁ TERAPIE

**MAGDALENA KVÍČALOVÁ<sup>a</sup>, JAROMÍR PLEŠEK<sup>b</sup>, BOHUMÍR GRÜNER<sup>b</sup>, JOSEF HOLUB<sup>b</sup>, Zbyněk Janoušek<sup>b</sup>, Tomáš Jelínek<sup>b</sup>, JAROSLAV KVÍČALA<sup>c</sup> a OTOMAR KŘÍŽ<sup>a,b</sup>**

<sup>a</sup>KATCHEM, s.r.o., 250 68 Řež, <sup>b</sup>Ústav anorganické chemie, Akademie věd České republiky, 250 68 Řež, <sup>c</sup>Ústav organické chemie, Vysoká škola chemicko-technologická, Technická 5, 166 28 Praha 6, e-mail: magda@iic.cas.cz

Záchytná neutronová terapie je poměrně novou léčebnou metodou, která selektivně ničí maligní buňky v přítomnosti buněk normálních. Principem metody je transport sloučeniny obsahující isotop <sup>10</sup>B do nádorové buňky a následné ozáření nádoru pomalými neutrony, které vede k exotermnímu rozpadu isotopu <sup>10</sup>B. Typickým představitelem vhodné sloučeniny je natrium-sulfanylundekahydro-closo-dodekaborát (BSH), který patří mezi boranové polyedrické anionty. Charakteristickým znakem téhoto sloučenin je trojrozměrná aromaticita, jak bylo potvrzeno *ab initio* výpočty. Proto podléhají četným substitučním reakcím v blízké analogii k elektrofilní substituci na aromatickém jádře. *Closo*-borát I tak reaguje s hydroxylamin-O-sulfonovou kyselinou za vzniku substituovaného *creso*-borátu II s betainovou strukturou<sup>1</sup>.



Práce byla provedena za podpory grantů AV ČR S4032007 a GA ČR 104/99/1096.

## LITERATURA

- Hertler W. R., Raasch M. S.: J. Am. Chem. Soc. 86, 3661 (1964).

## SYSTEMATICKÉ MAPOVÁNÍ KONFORMAČNÍHO PROSTORU FLEXIBILNÍCH MONOSACHARIDŮ

**JÚLIA LUDIKOVÁ a IVAN RAICH**

Ústav chemie přírodních látek, Vysoká škola chemicko-technologická, Technická 5, 166 28 Praha 6  
e-mail: Julia.Ludikova@vscht.cz, Ivan.Raich@vscht.cz

Pro studium konformačního chování flexibilních sacharidů je důležitá znalost nejenom nejstabilnější konformace, tj. globálního energetického minima, ale i dalších relativně stabilních konformací, tj. lokálních minim. Systematické mapování konformačního prostoru umožňuje vytvářet energetické profily v závislosti na vybraných strukturních parametrech.

V případě studovaných sacharidů, tj. všech čtyř konfiguračních isomerů methyl-D-tetrofuranosidů, byly jako strukturní parametry použity konformační souřadnice buď podle Altony a Sundaralingama<sup>1</sup>, nebo podle Cremera a Popela<sup>2</sup>. V případě první notace, která je založena na endocyklických torzních úhlech, byly při systematickém mapování fixovány dva endocyklické úhly na předem zvolené hodnoty tak, aby byl pseudorotační itinerář rovnoměrně pokryt v celém uvažovaném rozmezí. Druhá notace je založena na kartézských souřadnicích atomů kruhu a vstupní geometrie pro systematické mapování byly generovány systematickým vychylováním dvou atomů kruhu nad a pod rovinu zbylých tří. Na příkladu silových polí MM3(96) a CFF9X/Discover je ilustrována nutnost použití obou způsobů generování při použití různých optimalizačních programů, resp. silových polí. Zpracování přibližně 20000 optimalizací pro každou strukturu a silové pole bylo ve všech případech provedeno stejně a energetické konformační profily jsou znázorněny ve formě 3D konturových map v polárních konformačních souřadnicích (fázový úhel pseudorotace, amplituda zprohýbání).

Kritériem správnosti použitých modelovacích metod byla konfrontace s experimentálními NMR daty a IČ spektry studovaných látek.

Práce je součástí řešení výzkumného záměru MŠMT č. 223300006.

## LITERATURA

- Altona C., Sundaralingam M.: J. Am. Chem. Soc. 94, 8205 (1972).
- Cremer P., Pople J. A.: J. Am. Chem. Soc. 97, 1354 (1975).

**NMR SPEKTROSKOPIE DERIVÁTŮ  
6-BENZYLAMINOPURINU. ČÁST II:  
KOMPLEXACE A HETERONUKLEÁRNÍ NMR**

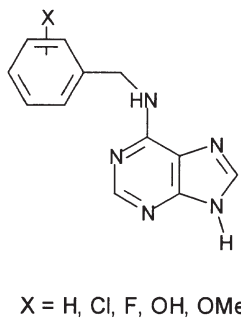
**MARCELA LUKÁŠKOVÁ<sup>a</sup>, JIŘÍ BRUS<sup>b</sup>,  
ZDENĚK TRÁVNÍČEK<sup>c</sup>, IGOR POPA<sup>c</sup>,  
KAREL DOLEŽAL<sup>c</sup> a RADEK MAREK<sup>a\*</sup>**

<sup>a</sup>Národní centrum pro výzkum biomolekul, Přírodovědecká fakulta, Masarykova univerzita, Kotlářská 2, 611 37 Brno,

<sup>b</sup>Ústav makromolekulární chemie, Akademie věd České republiky, Heyrovského n. 2, 162 06 Praha, <sup>c</sup>Katedra anorganické a fyzikální chemie, Univerzita Palackého, Křížkovského 10, 771 47 Olomouc

e-mail: marcela@chemi.muni.cz, rmarek@chemi.muni.cz

Deriváty 6-benzylaminopurinu jsou selektivními inhibitory cyklin-dependentních kinas (CDK)<sup>1</sup>. Bylo prokázáno, že inhibitory mohou sehrát klíčovou roli v terapii onemocnění souvisejících s deregulací buněčného cyklu (např. nádorových onemocnění)<sup>2</sup>. Aktivita těchto inhibitorů je významně ovlivněna nejen substitucí, ale i tvorbou komplexů, např. s Pt, Cu, Cd (cit.<sup>3,4</sup>).



Cílem práce je studium chemických vlastností některých 6-benzylaminopurinů pomocí NMR spektroskopie. NMR spektra purinů byla měřena v několika rozpouštědlech (DMSO, DMF, TFA) a za různé teploty. Při různých podmínkách tak byl mapován proces chemické výměny<sup>5</sup> probíhající nejen v roztoku, ale i v pevné fázi (MAS experiment). Komplexace, včetně stanovení místa koordinace, byly studovány pomocí heteronukleární NMR spektroskopie.

Práce byla podporována granty MŠMT LN00A016 (RM) a GA ČR 203/00/0152, 522/01/0275 (ZT).

**LITERATURA**

1. Strnad M.: Physiol. Plant. 101, 674 (1997).
2. Crews C. M., Mohan R.: Curr. Opin. Cell Biol. 4, 47 (2000).
3. Trávníček Z., Maloň M., Šindelář Z., Doležal K., Rolčík J., Kryštof V., Strnad M., Marek J.: J. Inorg. Biochem. 84, 23 (2001).
4. Trávníček Z.: nepublikované výsledky.
5. Marek R., Lukášková M., Brus J., Trávníček Z., Kolehmainen E.: Chem. Listy 95, 760 (2001).

**SROVNÁNÍ CHEMOPROTEKTIVNÍ AKTIVITY  
CHALKONŮ, DIHYDROCHALKONŮ  
A HOMOISOFLAVONOIDŮ**

**KAMILA LUNEROVÁ<sup>a</sup>, DAGMAR VESELÁ<sup>a</sup>,  
RENATA KUBÍNOVÁ<sup>a</sup>, PETR BARTOŠ<sup>b</sup>,  
EMIL ŠVAJDLENKA<sup>a</sup>, BARBORA FRAŇKOVÁ<sup>a</sup>,  
PAVEL JIRSA<sup>a</sup> a VÁCLAV SUCHÝ<sup>a</sup>**

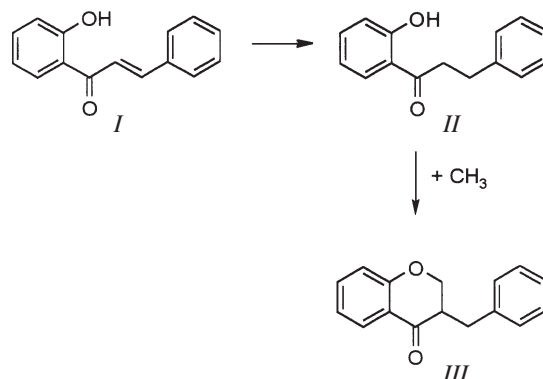
<sup>a</sup>Ústav přírodních léčiv, <sup>b</sup>Ústav chemických léčiv, FaF VFU, Palackého 1–3, Brno 612 42, e-mail: krisikovak@vfu.cz

Homoisoflavonoidy (*III*) jsou přírodní látky fenolického charakteru, které byly izolovány z rostlin *Eucomis bicolor*, *Muscaria comosum*, *Dracaena cinnabari*, *Scilla scilloides* aj.<sup>1</sup> V rostlinách vznikají<sup>1</sup> z chalkonů (*I*) a dihydrochalkonů (*II*). U všech tří uvedených typů látek byla zjištěna chemoprotektivní aktivita<sup>2,3</sup>.

Předložená práce se zabývá srovnáním antioxidační a chemoprotektivní aktivity jednotlivých typů těchto látek. Testovaly se jednak přírodní homoisoflavonoidy a chalkony izolované z *Dracaena cinnabari* a jednak látky připravené synteticky.

Izolace se prováděly sloupcovou chromatografií na silikagelu a polyamidu a přečištěny pomocí HPLC. Syntéza chalkonů vychází z vhodně substituovaných 2-hydroxyacetofenonů, které kondenzací s aromatickými aldehydy poskytují chalkony. Po redukcii na dihydrochalkon následuje za přítomnosti sodíku a mravenčanu ethylnatého cyclizace na příslušný homoisoflavonoid<sup>4</sup>. Sledovala se schopnost inhibice lipoperoxidace a dále schopnost inhibice bioaktivního isoenzymu cytochromu P450 1A1 ethoxyresorufin-*O*-deethylasy (EROD).

Z výsledků vyplývá, že pro chemoprotektivní aktivitu je rozhodující rozložení substituentů na kruhu A, přítomnost dvojné vazby  $\alpha,\beta$  u chalkonů a dihydrochalkonů a přítomnost hydroxylových skupin v polohách 5, 3' a 4' u homosoflavonoidů.



**LITERATURA**

1. Heller W., Tamm Ch.: Fortschr. Chem. Org. 40, 106 (1981).
2. Arty I. S., Timmerman H., Samhoedi M., Sastrohamidjojo, Sugiyanto, van der Goot H.: Eur. J. Med. Chem. 35, 449 (2000).
3. Juránek I., Suchý V., Stará D., Mašterová I., Gračáiová Z.: Pharmazie 48, 310 (1993).
4. Davis F. A., Bang Chi-Chen: J. Org. Chem. 58, 1751 (1993).

## ANTIMIKROBIALNÍ AKTIVITA NÍZKOMOLEKULÁRNÍCH POLYPHENOLŮ

**KAMILA LUNEROVÁ<sup>a</sup>, DAGMAR VESELÁ<sup>a</sup>,  
RENATA KUBÍNOVÁ<sup>a</sup>, VÁCLAV SUCHÝ<sup>a</sup>  
a JIŘÍ SMOLA<sup>b</sup>**

<sup>a</sup>Ústav přírodních léčiv VFU, <sup>b</sup>Ústav mikrobiologie a imunologie VFU, Palackého 1–3, 612 42 Brno, e-mail: kristkovak@vfu

Přírodní polyphenoly, mezi které řadíme flavonoidy a chalcony, vykazují celou řadu biologických aktivit. Vedle antioxidačního, chemoprotektivního, protizánětlivého a protinádorového účinku je můžeme zařadit také mezi fytoalexíny<sup>1,2</sup>.

U čtyřiceti látek ze skupiny flavonoidů, isoflavonoidů, homoisoflavonoidů, chalconů a dihydrochalconů byla testována antimikrobiální aktivita<sup>3</sup> na kmenech *Escherichia coli*, *Pseudomonas aeruginosa* a *Staphylococcus aureus*. Testované látky byly přírodního původu: 7,4'-dihydroxyflavan, 7,4'-dihydroxyflavon, 7-hydroxy-3-(4-hydroxybenzyl)chroman, 2,4,4'-trihydroxydihydrochalcon a 4,4'-dihydroxy-2-methoxy-dihydrochalcon izolované z *Dracaena cinnabari* Balf. a dva prenylované isoflavonoidy osajin a pomiferin izolované z *Maclura pomifera* Rafin. Dalších třicet chalconů, dihydrochalconů a homoisoflavonoidů bylo připraveno synteticky<sup>4</sup>.

Vůči kmeneům *S. aureus* a *E. coli* byla účinná většina testovaných dihydrochalconů a některé z homoisoflavonoidů, chalcony nevykazovaly aktivitu vůči žádnému z použitých kmenů. Ani v jednom případě zkoumané látky neinhibovaly růst *P. aeruginosa*. Nebyla potvrzena ani dříve publikovaná antimikrobiální aktivita osajinu a pomiferinu<sup>5</sup>.

### LITERATURA

- Pathak D., Pathak K., Singla A. K.: Fitoterapia 62, 371 (1991).
- Coxon T. D., O'Neill T. M., Mansfield J. W.: Phytochemistry 19, 889 (1980).
- Mitscher L. A., Ruey-Ping L., Bathala M. S: Lloydia 35, 157 (1972).
- Davis F. A., Bang Chi-Chen: J. Org. Chem. 58, 1751 (1993).
- Mahmoud Z. F.: Planta Med. 42, 299 (1981).

## AKTIVITA CHLORTHIOSALICYLANILIDŮ PROTI *Absidia corymbifera*

**MARTIN ŠUSTR<sup>a</sup>, MILOŠ MACHÁČEK<sup>a</sup>,  
LENKA KUBICOVÁ<sup>a</sup> a PETRA KUBANOVÁ<sup>b</sup>**

<sup>a</sup>Katedra anorganické a organické chemie, <sup>b</sup>Katedra biologických a lékařských věd, Farmaceutická fakulta, Univerzita Karlova, Heyrovského 1203, 500 05 Hradec Králové  
e-mail: machacek@faf.cuni.cz

Mukormykóza je vzácné, život ohrožující infekční onemocnění, vyvolané vláknitými houbami z řádu *Mucorales*. Většina těchto infekčních agens, mj. *Absidia corymbifera*, je primárně rezistentní k antimykotikům. Jedinou klinicky účinnou látkou je amfotericin B. V rámci výzkumu potenciálních antituberkulotik a antimykotik jsme pomocí Wagnerovy metody<sup>1</sup> připravili sérii 5-chlor- (*I*) a 3,5-dichlorthiosalicylanilidů (*II*) a studovali<sup>2</sup> *in vitro* jejich antifungální aktivitu proti

Tabulka I  
Aktivita látek *I* a *II* proti *A. corymbifera*

Látka	R	R'	MIC [μmol·dm <sup>-3</sup> ]
<i>Ia</i>	5-Cl	H	0,49
<i>Ib</i>	5-Cl	3-F	0,49
<i>Ic</i>	5-Cl	4-F	0,49
<i>Id</i>	5-Cl	4-Cl	0,49
<i>Ie</i>	5-Cl	3,4-Cl <sub>2</sub>	0,49
<i>If</i>	5-Cl	4-isoC <sub>3</sub> H <sub>7</sub>	0,49
<i> Ig</i>	5-Cl	4-C <sub>4</sub> H <sub>9</sub>	1,98
<i>Ih</i>	5-Cl	4-sek-C <sub>4</sub> H <sub>9</sub>	1,98
<i>Ii</i>	5-Cl	4-OCH <sub>3</sub>	0,49
<i>IIa</i>	3,5-Cl <sub>2</sub>	H	0,12
<i>IIb</i>	3,5-Cl <sub>2</sub>	3-Br	0,12
<i>IIc</i>	3,5-Cl <sub>2</sub>	4-F	0,12
<i>IId</i>	3,5-Cl <sub>2</sub>	4-Cl	0,24
<i>IIe</i>	3,5-Cl <sub>2</sub>	4-Br	0,12
<i>IIf</i>	3,5-Cl <sub>2</sub>	3,4-Cl <sub>2</sub>	0,98
<i>IIg</i>	3,5-Cl <sub>2</sub>	4-CH <sub>3</sub>	0,06
<i>IIh</i>	3,5-Cl <sub>2</sub>	4-C <sub>2</sub> H <sub>5</sub>	0,03
Amfotericin B			4,3

*A. corymbifera*. Minimální inhibiční koncentrace (MIC) jsou uvedeny v tabulce I. Látky překonávaly *in vitro* amfotericin B, zavedení dalšího atomu chloru do polohy 3 thioacylové části vedlo zpravidla ke zvýšení aktivity.

Práce byla podporována grantem FRVŠ 1680/G4/2001 a výzkumným záměrem MŠMT ČR MSM 11600001 a MSM 111600002.

### LITERATURA

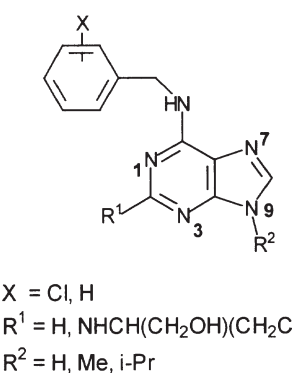
- Wagner G., Singer D., Weuffen W.: Pharmazie 21, 166 (1966).
- Klimešová V., Svoboda M., Waisser K., Macháček M., Buchta V., Odlerová Z.: Arch. Pharm. Pharm. Med. Chem. 329, 438 (1996).

## NMR SPECTROSCOPY OF 6-BENZYLAMINOPURINE ANALOGUES. PART I: <sup>15</sup>N NMR AND PROTONATION STUDY

**RADEK MAREK<sup>a</sup>, MARCELA LUKÁŠKOVÁ<sup>a</sup>,  
JIRÍ BRUS<sup>b</sup>, ZDENĚK TRÁVNÍČEK<sup>c</sup>,  
and ERKKI KOLEHMAINEN<sup>d</sup>**

<sup>a</sup>National Centre for Biomolecular Research, Faculty of Science, Masaryk University, Kotlářská 2, 611 37 Brno, <sup>b</sup>Institute of Macromolecular Chemistry, Academy of Sciences of the Czech Republic, Heyrovského n. 2, 162 06 Prague, <sup>c</sup>Department of Inorganic and Theoretical Chemistry, Palacký University, Křížkovského 10, 771 47 Olomouc, <sup>d</sup>Department of Chemistry, University of Jyväskylä, P.O. Box 35, FIN-40351 Jyväskylä, Finland, e-mail: rmarek@chemi.muni.cz,

Analogues of 6-benzylaminopurine are extensively investigated for their biological activity (inhibition of cyclin-de-



pendent kinases)<sup>1,2</sup>. The complexes of 6-benzylaminopurine derivatives are even more active than the free ligands<sup>3</sup>. Since nitrogen atom is the centre of primary interaction, <sup>15</sup>N NMR spectroscopy is a very sensitive probe for studying the protonation and complexation processes. The <sup>15</sup>N NMR parameters were investigated by gradient inverse techniques<sup>4</sup>. The principal components of <sup>15</sup>N chemical shielding tensors for selected compounds were determined by CP/MAS.

The proton in 4-chloro-6-benzylaminopurine (4Cl-BAP) is localised at nitrogen N-9, protons in  $(4\text{Cl-BAP})^+$   $\text{ClO}_4^-$  at nitrogens N-3, N-7 and protons in  $(4\text{Cl-BAP})^{2+}$   $(\text{CF}_3\text{COO})_2$  at nitrogens N-3, N-7 and N-9. Extended systematic study including <sup>13</sup>C NMR, CP/MAS data, and complexation will be presented in our additional contribution<sup>5</sup>.

This work was supported by the Ministry of Education of the Czech Republic (RM) (LN00A016) and Grant Agency of the Czech Republic (ZT) (203/00/0152, 522/01/0275).

## REFERENCES

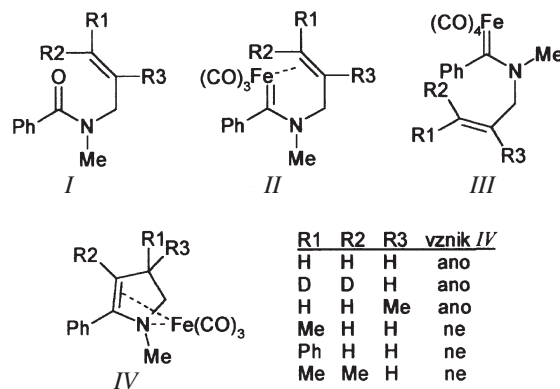
1. Strnad M.: Physiol. Plant. 101, 674 (1997).
2. Havlíček L., Hanuš J., Veselý J., Leclerc S., Meijer L., Shaw G., Strnad M.: J. Med. Chem. 40, 408 (1997).
3. Trávníček Z.: unpublished results.
4. Marek R., Lyčka A.: Curr. Org. Chem., in press.
5. Lukášková M., Marek R., Brus J., Trávníček Z., Popa I., Doležal K.: Chem. Listy 95, 759 (2001).

## TERMOLÝZA AMINOKARBENOVÝCH KOMPLEXŮ ŽELEZA: VZNIK $\eta^3$ -ENAMINOVÝCH KOMPLEXŮ ŽELEZA

**LUDĚK MECA a DALIMIL DVOŘÁK\***

Ústav organické chemie, Vysoká škola chemicko-technologická, Technická 5, 166 28 Praha 6  
e-mail: mecal@vscht.cz, dvorakd@vscht.cz

Reakcí  $\text{Fe}(\text{CO})_4^{2-}$  s  $N$ -allyl- $N$ -methylbenzamidem I a následným působením trimethylchlorosilanu vzniká směs chelatovaného II a nechelatovaného III karbenového komplexu. Zahříváním směsi vznikají neobvyklé  $\eta^3$ -enaminové komplexy IV s dobrým výtěžkem. Bude navržen mechanismus



reakce podpořené reakcemi značených sloučenin a *ab initio* výpočty.

Tato práce byla podporována GA ČR, grant 203/00/1240.

## ENZYMOVÁ HYDROLÝZA ACETÁTU JAKO ÚČINNÁ METODIKA PRO SELEKTIVNÍ CHRÁNĚNÍ POLYFUNKČNÍ MOLEKULY

**JITKA MORAVCOVÁ<sup>a</sup>, KAREL KEFURT<sup>a</sup>,  
JAN STANĚK<sup>a</sup> a PETER BIELY<sup>b</sup>**

<sup>a</sup>Ústav chemie přírodních látek, Vysoká škola chemicko-technologická, Technická 5, 166 28 Praha, <sup>b</sup>Chemický ústav SAV, Dúbravská cesta 9, Bratislava, Slovenská republika  
e-mail: Jitka.Moravcova@vscht.cz

Převedení hydroxylové skupiny cukrů na skupinu *O*-acetylou představuje jednoduchý a efektivní způsob chránění polyfunkční molekuly při glykosylacích a jiných transformacích. Enzymová hydrolyza esterů nebo esterifikace tvoří dnes asi 40 % všech biotransformací<sup>1</sup>. Kromě komerčních enzymů, jako je např. esterasa z vepřových jater (PLE, E.C.3.1.1.1.)<sup>2</sup>, se hledají i nové, původní esterasy z rostlinných i živočišných zdrojů.

Methyl-2,3,4-tri-*O*-acetyl- $\beta$ -D-arabino- a ribopyranosidy<sup>3</sup>, methyl-2,3,4-tri-*O*-acetyl- $\beta$ -D-ribofuranosid<sup>3</sup>, methyl-2,3-di-*O*-acetyl-5-deoxy- $\alpha$ ( $\beta$ )-D-xylo-,  $\alpha$ ( $\beta$ )-D-arabino-<sup>5</sup>-a- $\alpha$ ( $\beta$ )-L-arabinofuranosidy byly hydrolyzovány pomocí PLE. Na základě reakční kinetiky byla formulována obecná pravidla řídící regioselektivitu hydrolyzy. Methyl-2,3-di-*O*-acetyl-5-deoxypentofuranosidy byly použity ke studiu substrátové specificity acetylxylanesteras izolovaných ze *Schizophyllum commune*, *Streptomyces lividans* a *Trichoderma resei*.

Práce je součástí řešení výzkumného záměru MŠMT č. 22330006 a projektu GA ČR č. 203/01/1018.

## LITERATURA

1. Roberts S. M.: J. Chem. Soc., Perkin Trans 1 1998, 157.
2. Bashir N. B., Phythian S. J., Reason A. J., Roberts S. M.: J. Chem. Soc., Perkin Trans 1 1995, 2203.
3. Moravcová J., Kefurt K., Hladuvková R., Staněk J.: Collect. Czech. Chem. Commun. 65, 1619 (2000).

4. Moravcová J., Vanclová Z., Čapková J., Kefurt K., Staněk J.: J. Carbohydr. Chem. 16, 1011 (1997).
5. Moravcová J., Hamerník I., Funková G., Čapková J., Kefurt K.: J. Carbohydr. Chem. 17, 1191 (1998).

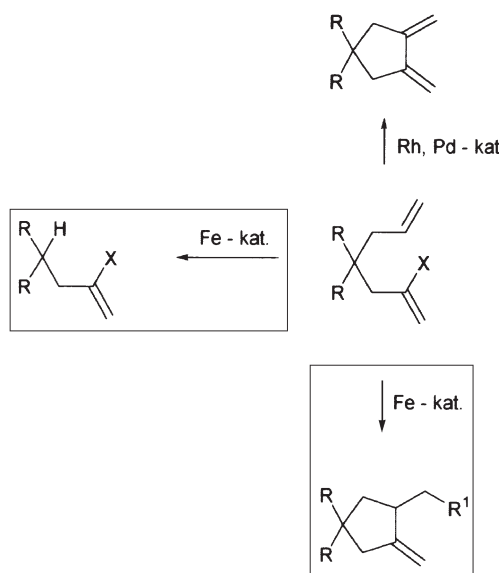
## KATALÝZA KOMPLEXY ŽELEZA: TVORBA *versus* ŠTĚPENÍ C–C VAZEB

MARTIN KOTORA\* a DAVID NEČAS

Katedra organické a jaderné chemie, Přírodovědecká fakulta, Univerzita Karlova, Hlavova 6, 128 43 Praha 2  
e-mail: kotora@natur.cuni.cz

Tvorba nových C–C vazeb katalyzovaná sloučeninami přechodných kovů je dnes nedílnou součástí organické syntézy. Některé kovy a jejich sloučeniny nacházejí větší či menší uplatnění v homogenní katalýze a jak bohužel ukazuje praxe, čím „lacinější kov“, tím menší je jeho uplatnění. Jako typický případ může sloužit železo, které je jedním z nejdůležitějších kovů pro lidskou společnost, a jeho sloučeniny. Sloučeniny železa jsou sice schopné katalyzovat celou řadu reakcí jako kaplingové reakce, cykloaddice, enové reakce, radikálové adice a v poslední době také polymerace olefinů, ale jejich rozšíření a uplatnění ve srovnání s ostatními přechodnými kovy je zatím minimální. V tomto příspěvku bychom rádi upozornili na některé zcela nové reakce katalyzované sloučeninami železa, které rozšiřují možnosti jeho použití. Zajímavou vlastností těchto reakcí je, že probíhají jinak, než jak k tomu dochází v případě použití katalýzy komplexy jiných přechodných kovů.

Typickým příkladem jsou cyclizační reakce  $\alpha,\omega$ -halo-dienů katalyzované komplexy přechodných kovů (Pd, Rh), které probíhají za vzniku 1,2-dimethylidencycloalkanů. V případě katalýzy železem však dochází nejen k cyklizaci, ale i k tvorbě další nové C–C vazby. Dalším zajímavým jevem je, že průběh reakce závisí na substituentech nacházejících se



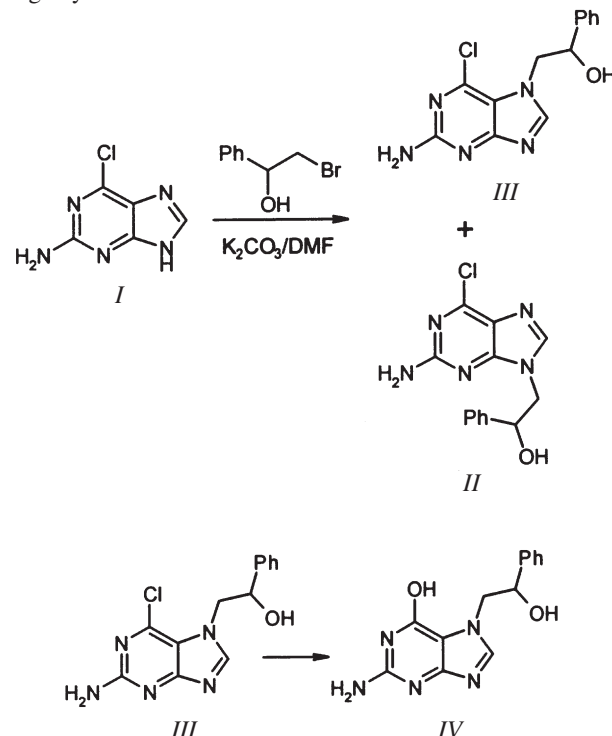
v molekule substrátu a místo cyklizace tak v některých případech dochází ke štěpení C–C vazeb.

## SYNTÉZA 7-N-(FENYLHYDROXYETHYL)GUANINU, BIOLOGICKÝCH INDIKÁTORŮ EXPOZICE STYRENU

JAN NOVÁK<sup>a</sup>, IGOR LINHART<sup>a</sup>,  
HANA DVOŘÁKOVÁ<sup>b</sup> a VLADISLAV KUBELKA<sup>b</sup>

<sup>a</sup>Ústav organické chemie, <sup>b</sup>Centrální laboratoře, Vysoká škola chemicko-technologická, Technická 5, 166 28 Praha 6  
e-mail: Novakhon@vscht.cz

U lidí exponovaných styrenu jsou fenylhydroxyethyl-deriváty guaninu významnými indikátory poškození DNA. 2-Amino-6-chlorpurin (*I*) poskytuje reakci s 2-brom-1-fenylethanolem směs příslušných 9-N- (*II*) a 7-N-derivátů (*III*). Hydrolyza derivátu *III* katalyzovaná 1,4-diazabi-cyklo[2.2.2]-octanem poskytla žádaný 7-N-(2-fenyl-2-hydroxyethyl)guanin (*IV*). Reakce aminochlorpurinu *I* s isomerním 2-brom-2-fenylethanolem za stejných podmínek nevede ke vzniku analogických 7-N- a 9-N-derivátů.



Guaninový adukt (*IV*) je možné očekávat jako nejvíce zastoupený DNA adukt v moči lidí a zvířat exponovaných styrenu a jeví se proto jako nadějný indikátor genotoxického účinku styrenu. Pro jeho snazší analytické stanovení pomocí hmotnostní spektrometrie byl reakcí s pentafluorbenzylbromidem převeden na elektroforetický derivát.

Autori děkují GA ČR za finanční podporu grantem 313/99/1460.

**STUDIUM VAZEBNÝCH MÓDŮ  
ISOPENTENYLADENINU A ROSCOVITINU  
V CDK2 METODOU MM-PB/GBSA**

**MICHAL OTYEPKA<sup>a</sup>, ZDENĚK KŘÍŽ<sup>b</sup>  
a JAROSLAV KOČA<sup>b</sup>**

<sup>a</sup>Katedra anorganické a fyzikální chemie, Přírodovědecká fakulta, Univerzita Palackého, tř. Svobody 26, 771 46 Olo-mouc,  
<sup>b</sup>Národní centrum pro výzkum biomolekul, Přírodovědecká fakulta, Masarykova univerzita, Kotlářská 2, 611 37 Brno  
e-mail: otyepka@risc.upol.cz, zdenek@chemi.muni.cz, jkoca@chemo.muni.cz

Jedním z východisek pro návrh účinných léčiv je i detailní popis a pochopení povahy interakce inhibitoru s enzymem. Cílem práce bylo studium vazebných módů inhibitorů cyklin-dependentní kinasy 2 (cdk2), která kontroluje přechod mezi fázemi G1/S buněčného cyklu a replikaci DNA. Deregulace tohoto proteinu byla prokázána v některých lidských tumorech a nádorových liniích, což inhibitory cdk2 předurčuje k potenciální aplikaci v nádorové terapii. Byly vybrány dva inhibitory z oblasti purinových derivátů isopentenyladenin a roscovitin, které se vážou do aktivního místa cdk2, avšak každý zaujímá jiný vazebný mód.

Vazebné módy byly analyzovány metodou energetické dekompoziční analýzy<sup>1</sup> a metodou MM-PB/GBSA (cit.<sup>2</sup>), které byly aplikovány na 1000ps dlouhé molekulárně dynamické simulace komplexů cdk2/inhibitor.

Tabulka I shrnuje jednotlivé příspěvky k volné vazebné energii inhibitoru k substrátu. Je zřejmé, že isopentenyladenin je elektrostaticky lepší inhibitor než roscovitin, ale celkově vykazuje menší vazebnou energii k enzymu než roscovitin, zejména kvůli van der Waalsovým příspěvkům. To dokazuje velký význam van der Waalsových příspěvků. Navíc se uka-zuje, že vazebný mód isopentenyladeninu by mohl, po modifikacích vedoucích ke zvýšení vdW kontaktů s enzymem, poskytovat východiska pro návrh velmi účinných a selektivních inhibitorů cdk2.

Tabulka I

Příspěvek [kcal.mol <sup>-1</sup> ]	cdk2/ roscovitin		cdk2/ isopentenyladenin	
	∅	sm.odchylka	∅	sm.odchylka
E <sub>electrostat</sub>	-14,2	3,5	-20,8	3,0
E <sub>vdW</sub>	-48,6	2,8	-32,3	2,3
<b>Poisson-Boltzmannova metoda</b>				
E <sub>nonpolar</sub>	-5,8	0,2	-4,2	0,1
E <sub>PB</sub>	37,5	3,1	27,5	2,0
E <sub>solvation</sub>	31,8	3,0	23,2	2,1
E <sub>total</sub>	-36,0	4,4	-29,7	2,5
<b>Zobecněná Bornova metoda</b>				
E <sub>nonpolar</sub>	-6,4	0,2	-4,4	0,2
E <sub>GB</sub>	50,2	4,3	38,9	2,8
E <sub>solvation</sub>	43,8	4,3	34,5	2,9
E <sub>total</sub>	-24,0	5,0	-18,5	2,9

Práce byla podpořena granty MSM 153100008, VS96095 MŠMT, 201/98/K041 GA ČR. Za výpočetní čas děkujeme Superpočítacovému centru v Brně.

**LITERATURA**

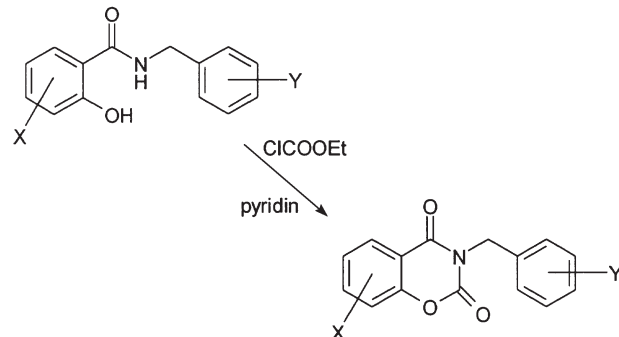
- Otyepka M., Kříž Z., Koča J.: J. Med. Chem., zasláno do tisku.
- Cheatham T. E., Srinivasan J., Case D. A., Kollman P. A.: Biomol. Struct. Dyn. 16, 265 (1998).

**PŘÍPRAVA PROTITUBERKULÓZNÍCH DERIVÁTŮ  
3-BENZYL-2H-1,3-BENZOXAZIN-2,4(3H)-DIONU**

**MILAN PEŘINA a KAREL WAISSE**

Katedra anorganické a organické chemie, Farmaceutická fakulta, Univerzita Karlova, Heyrovského 1203, 500 05, Hradec Králové, e-mail: perina@faf.cuni.cz

V předchozích pracích<sup>1,2</sup> bylo zjištěno, že substituované 3-fenyl-2H-1,3-benzoxazin-2,4(3H)-diony mají antimykobakteriální (antituberkulózní) aktivitu. Cílem této práce bylo připravit látky obdobné, v poloze 3 substituované benzylskupinou, a zjistit, zda se jedná o antimykobakteriálně účinné látky. Syntéza byla provedena reakcí výchozího substituovaného N-benzylsalicylamidu s ethylchloroformiatem v prostředí pyridinu. Skupina CH<sub>2</sub> zvyšuje lipofilitu, což vede převážně ke snížení rozpustnosti.



Substituenty z pohledu benzoxazinu:

X = H; 6-Br; 6-Cl; 6,8-Cl<sub>2</sub>; 6-Me; 6,8-Br<sub>2</sub>; 7-MeO; 6-NO<sub>2</sub>; 7-Cl, 8-MeO; 6-MeO  
Y = 4-F, 3,4-Cl<sub>2</sub>

Struktura připravených látek překrystalovaných převážně ze směsi ethanol-aceton byla ověřena IČ spektry, NMR spektry a elementární analýzou.

Připravené látky jsou v současně době testovány na antimykobakteriální aktivitu proti *Mycobacterium tuberculosis*, *M. avium* a *M. kansasii*.

Práce byla podporována granty č. 234/2000/BCH GA UK, 203/99/0030 GA ČR a projektem MŠMT MSM 11600001.

**LITERATURA**

- Waisser K., Macháček M., Dostál H., Gregor J., Kubicová L., Klimešová V., Kuneš J., Palát K. Jr., Hladívková J.,

- Kaustová J., Möllmann U.: Collect. Czech. Chem. Commun. 64, 1902 (1999).
2. Waisser K., Gregor J., Kubicová L., Klimešová V., Kuneš J., Macháček M., Kaustová J.: Eur. J. Med. Chem. 35, 733 (2000).

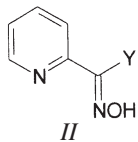
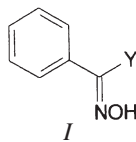
### $\alpha$ -SUBSTITUOVANÉ OXIMY JAKO KATALYZÁTORY HYDROLÝZY ESTERŮ

**JAN PÍCHA, RADEK CIBULKA,  
FRANTIŠEK HAMPL a FRANTIŠEK LIŠKA**

*Ústav organické chemie, Vysoká škola chemicko-technologická, Technická 5, 166 28 Praha 6, e-mail: pichaj@vscht.cz*

Anion vzniklý deprotonací oximové skupiny je účinným nukleofilem atakujícím esterovou funkci, a proto se aldoximy a ketoximy studují jako katalyzátory hydrolyzy esterů<sup>1</sup>. Hydrolytická účinnost oximů závisí jak na aciditě hydroxyiminoškupiny, která ovlivňuje koncentraci oximátových iontů, tak na jejich nukleofilitě. Přítomnost elektronakceptorní skupiny v sousedství hydroxyiminoškupiny lze zvýšit její aciditu. Tím však na druhé straně dochází ke snížení nukleofility oximátového iontu.

Zaměřili jsme se na sledování vzájemného vztahu mezi aciditou hydroxyiminoškupiny a nukleofilitou oximátového iontu při hydrolyze modelového substrátu (4-nitrofenyl)-acetátu (PNPA). Hydrolyzy byly prováděny v přítomnosti  $\alpha$ -substituovaných oximů obecného vzorce I a II, kde Y = CH<sub>3</sub>, H, pyridin-2-yl, CF<sub>3</sub>, CN, COCH<sub>3</sub>, COOCH<sub>3</sub>, COCF<sub>3</sub>, C<sub>6</sub>H<sub>5</sub>, 1-metyl-2-methylpyridinio.



Práce byla vypracována s finanční podporou GA ČR (grant č. 203/01/1093).

#### LITERATURA

1. Terrier F., Mac Cormack P., Kizilian E., Halle J. C., Demerseman P., Guir F., Lion C.: J. Chem. Soc., Perkin Trans. 2 1991, 153.

### PŘÍPRAVA HAPTEMŮ PRO IMUNOSTANOVENÍ $16\alpha$ -HYDROXYDEHYDROEPIANDROSTERONU

**VLADIMÍR POUZAR<sup>a</sup>, IVAN ČERNÝ<sup>a</sup>,  
OLDŘICH LAPČÍK<sup>b</sup>, MARTIN HILL<sup>b</sup>  
a RICHARD HAMPL<sup>b</sup>**

<sup>a</sup>Ústav organické chemie a biochemie, AV ČR, Flemingovo n. 2, 166 10 Praha 6, <sup>b</sup>Endokrinologický ústav, Národní 8, 116 94 Praha 1, e-mail: pouzar@uochb.cas.cz

16 $\alpha$ -Hydroxydehydroepiandrosteron (3 $\beta$ ,16 $\alpha$ -dihydroxyandrost-5-en-17-on) je další z hydroxylovaných metabolitů

dehydroepiandrosteronu<sup>1</sup>, na jehož imunostanovení se zaměřila naše pozornost. Základním předpokladem pro vypracování použitelné metody pro toto imunostanovení je syntéza vhodných haptenu. Na základě zkušeností byly navrženy hapteny s *O*-(karboxymethyl)oximovým můstkem (CMO) v počtu 7 nebo 19 steroidního skeletu.

Jako základní látky pro jejich syntézu byly zvoleny odpovídající 7-CMO a 19-CMO deriváty matečného dehydroepiandrosteronu. Byla tedy zvolena strategie syntézy, která předpokládá vytvoření poměrně labilního  $\alpha$ -ketolového seskupení až u látek, které mají v molekule CMO skupinu chráněnou jako methylester.

Pro přípravu  $\alpha$ -ketolového seskupení (16 $\alpha$ -hydroxy-17-oxo) byly uvažovány dvě metody. Prvá využívá jako intermediát enolacetát, následnou selektivní epoxidaci byl získán epoxyacetát, který kysele katalyzovaným přesmykem poskytl  $\alpha$ -acetoxyketon. Druhá metoda využívá přímé bromace 17-ketoderivátu a následnou selektivní „hydrolýzu“ na cílový hydroxyketon.

Práce byla provedena v rámci výzkumného záměru Z4 055 905 a řešení grantu GA ČR 203/01/0098.

#### LITERATURA

1. Hampl R., Stárka L.: Endocr. Regul. 34, 161 (2000).

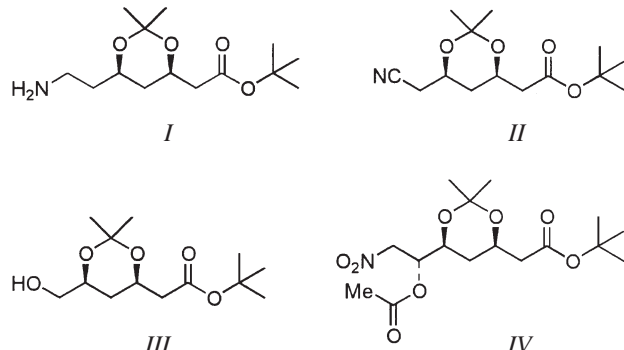
### NOVÝ ZPŮSOB SYNTÉZY *terc*.BUTYL (6-AMINOETHYL-2,2-DIMETHYL-1,3-DIOXAN-4-YL)ACETÁTU

#### STANISLAV RÁDL

VÚFB, Dolní Měcholupy 130, 102 01 Praha 10  
e-mail: radl@vufb.cz

V názvu uvedená sloučenina je klíčovým meziproduktem syntézy některých statinů, které jsou účinnými inhibitory HMG-CoA reduktasy. Je popsáno několik přístupů k syntéze *I*. Všechny dosud popsané metody syntézy této látky využívají *terc*.butyl(6-kyanomethyl-2,2-dimethyl-1,3-dioxan-4-yl)acetátu (*II*) jako klíčového meziproduktu.

Námi zvolený přístup je založen na komerční dostupnosti (4*R*,6*S*) *terc*.butyl(6-hydroxymethyl-2,2-dimethyl-1,3-dioxan-



-4-yl)acetátu (*III*), který Swernovou oxidací poskytl příslušný aldehyd. Tato látka zase reakcí s nitromethanem ve smyslu Henryho reakce poskytla *terc.* butyl[6-(1-hydroxy-2-nitroethyl)-2,2-dimethyl-1,3-dioxan-4-yl]acetát. Tento nitroalkohol byl acylován na acetoxysterivát *IV*. Zjistili jsme, že acetoxyskupinu v této sloučenině lze efektivně reduktivně eliminovat borohydridem sodným na odpovídající nitroderivát, který byl pak snadno za atmosférického tlaku katalyticky hydrogenován na amin *I*.

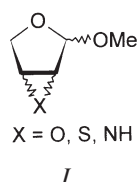
### *Ab initio* VÝPOČTY NMR A IČ PARAMETRŮ JEDNODUCHÝCH MONOSACHARIDŮ

IVAN RAICH<sup>a</sup>, PETR BOUŘ<sup>b</sup>, VLADIMÍR SYCHROVSKÝ<sup>c</sup>, JAKUB KAMINSKÝ<sup>a</sup> a TEREZA LABÍKOVÁ<sup>a</sup>

<sup>a</sup>Ústav chemie přírodních látek, Vysoká škola chemicko-technologická, Technická 5, 166 28 Praha 6, <sup>b</sup>ÚOCHB AV ČR, Flemingovo n. 2, 166 10 Praha 6, <sup>c</sup>ÚFCH AV ČR, Dolejšková 3, 182 23 Praha 8

e-mail: Ivan.Raich@vscht.cz, bour@uochb.cas.cz, Vladimir.Sychrovsky@jh-inst.cas.cz

Konformačně stálé furanosové sacharidy s tříčlenným heterocyklickým kruhem obecného vzorce *I* (cit.<sup>1</sup>) byly použity jako modelové látky pro *ab initio* výpočty a modelování jaderních spin-spinových interakčních konstant<sup>2</sup>, chemických posunů a IČ vibrací. V prvním případě byl proveden plně analytický výpočet konstant na úrovni B3LYP/IGLOII včetně všech důležitých magnetických členů v Hamiltoniu. Chemické posuny a IČ vibrace byly vypočteny standardními procedurami v programu Gaussian 98.



Optimalizované geometrie (B3LYP/6-311+G(d,p) pro výpočet NMR a IČ parametrů byly získány systematicky z několika výchozích modelů v obou možných obálkových konformacích <sup>0</sup>E a E<sub>0</sub>, lišících se orientacemi exocyklické methoxylové skupiny.

Konformační analýza s využitím *ab initio* výpočtů v tomto případě plně nahradí tradiční postup založený na použití empirické Karplusovy rovnice.

Práce je finančně podporována grantem GA AV ČR A4055104/127/01.

### LITERATURA

1. Jarý J., Raich I.: Carbohydr. Res. 242, 291 (1993).
2. Sychrovský V., Grafenstein J., Cremer D.: J. Am. Chem. Soc. 113, 3530 (2000).

### LINEÁRNÍ ŘETĚZENÍ KYSELINY ETIENOVÉ ESTEROVOU VAZBOU

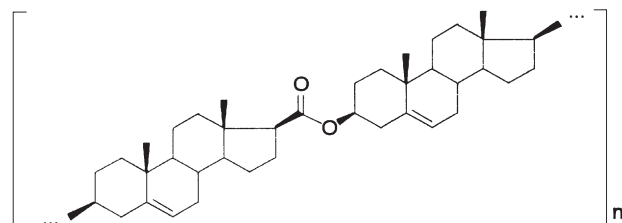
MIROSLAV RESCHEL, IVAN ČERNÝ,  
VLADIMÍR POUZAR a PAVEL DRAŠAR

Ústav organické chemie a biochemie, AV ČR, Flemingovo n. 2, 166 10 Praha 6

Oligoestery a zvláště pak cyklické, vzniklé ze steroidních hydroxykyselin, představují jednu z populárních skupin látek, sloužících k syntéze supramolekul<sup>1</sup>, receptorů<sup>2</sup> a látek, vmezejících se do biologických membrán<sup>3</sup>.

Cyklické tetraestery kyseliny choločové (cyklocholáty) pak představují útvar, podobný cyklodextrinům, mající však „převrácenou“ polaritu zevnitř navenek, schopný komplexovat jiné substráty v jiném prostředí<sup>4</sup>.

Záměr vybudovat „cykloetienát“ jako cyklický tetraester kyseliny etienové znamenal prostudovat podrobněji esterifikaci etienové kyseliny samu na sebe, ale i analogické reakce jejích vhodně chráněných derivátů.



V tomto sdělení předkládáme studium syntézy tetrameru kyseliny etienové s esterovou spojovací vazbou. Předpokládem a významnou odlišností od syntéz se žlučovými kyselinkami je relativně krátká esterová spojka s omezenou pohyblostí. Za použití nitrátu jako chránící skupiny pro hydroxyl a methylesteru pro karboxyl etienové kyseliny byl postupně vybudován lineární tetraester.

Práce byla podpořena z grantu COST OC D12.2 a v rámci výzkumného záměru Z4 055 905.

### LITERATURA

1. Davis A. P.: Chem. Soc. Rev. 1, 243 (1993).
2. Evans S. M., Burrows C. J., Venanzi C. A.: J. Mol. Struct. 334, 193 (1995).
3. Janout V., Di Giorgio C., Regen S. L.: J. Am. Chem. Soc. 122, 2671 (2000).
4. Bonar-Law R. P., Sanders J. K. M.: Tetrahedron Lett. 33, 2071 (1992).

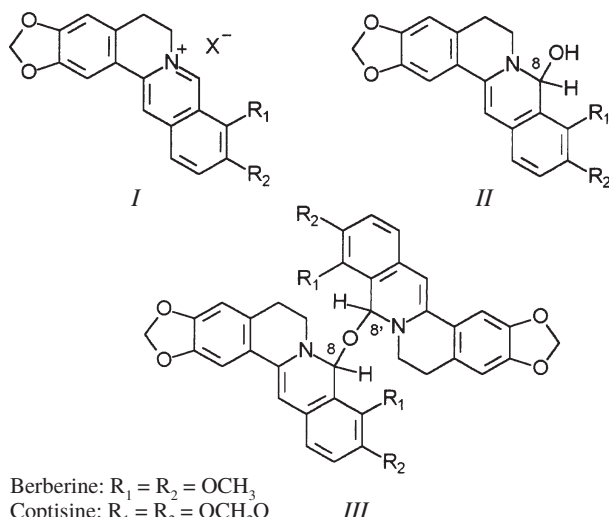
## NMR STUDY OF BERBERINE AND COPTISINE FREE BASES

**PAVLÍNA SEČKÁŘOVÁ<sup>a</sup>, STANISLAV MAN<sup>b</sup>,  
JIŘÍ DOSTÁL<sup>c</sup>, ROGER DOMMISSE<sup>d</sup>,  
and RADEK MAREK<sup>a\*</sup>**

<sup>a</sup>National Center for Biomolecular Research, <sup>b</sup>Department of Organic Chemistry, Faculty of Science, Masaryk University, Kotlářská 2, 611 37 Brno, <sup>c</sup>Department of Biochemistry, Faculty of Medicine, Masaryk University, Komenského n. 2, 662 43 Brno, <sup>d</sup>Department of Chemistry, University of Antwerp RUCA, Groenenborgerlaan 171, B-2020 Antwerpen, Belgium, e-mail: pavlina@chemi.muni.cz

Berberine and coptisine belong to the group of quaternary protoberberine alkaloids (QPA). They show anticancer<sup>1,2</sup> and antimarial<sup>3</sup> effects and inhibit the DNA topoisomerase<sup>4</sup>. In Europe, the best source of berberine is the root of *Berberis vulgaris* L. Coptisine is the main alkaloid of *Chelidonium majus* L. QPA occur also in the other plants of *Berberidaceae*, *Papaveraceae*, *Ranunculaceae* and other families<sup>5</sup>.

In the presence of OH<sup>-</sup> anion, the iminium bond of QPA (*I*) is attacked and the 8-hydroxyderivative called pseudobase (*II*) is formed. Free bases of alkaloids berberine and coptisine were investigated by NMR spectroscopy. Pseudobases (*II*) predominate in NaOH-alkalized solutions of QPA. However, we managed to confirm a formation of two diastereomers of a bimolecular aminoacetal (*III*) as minor components. It is for the first time that the formation of PA bimolecular free base was detected and unequivocally confirmed. NMR data of protoberberines in DMSO-d<sub>6</sub>, C<sub>6</sub>D<sub>6</sub>, and CD<sub>2</sub>Cl<sub>2</sub> solutions will be presented.



The financial support of this work by the Ministry of Education (LN00A016) is gratefully acknowledged.

## REFERENCES

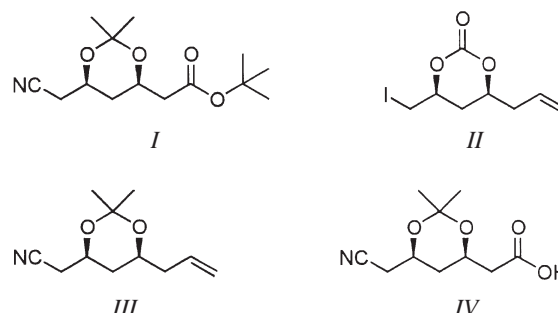
- Slaninová I., Táborská E., Bochořáková H., Slanina J.: Cell Biol. Toxicol. 17, 51 (2001).
- Fukuda K., Hibiya Y., Mutoh M., Koshiji M., Akao S., Fujiwara H.: J. Ethnopharmacol. 66, 227 (1999).
- Iwasa K., Kim H. S., Wataya Y., Lee D. U.: Eur. J. Med. Chem. 33, 65 (1998).
- Krishnan P., Bastow K. F.: Anti-Cancer Drug Des. 15, 255 (2000).
- Ikram M.: Planta Med. 28, 351 (1970).

## SYNTETICKÁ STUDIE PŘÍPRAVY *terc*.BUTYL (6-KYANOMETHYL-2,2-DIMETHYL-1,3-DIOXAN-4-YL)ACETÁTU

**JAN STACH a STANISLAV RÁDL**

VÚFB, Dolní Měcholupy 130, 102 01 Praha 10  
e-mail: stach@vufb.cz

V patentové literatuře je popsáno několik metod syntézy v názvu uvedené sloučeniny *I*, která je obvyklým klíčovým meziproduktem syntézy některých statinů. V rámci našich studií syntézy těchto látek jsme se rozhodli prověřit metodu založenou na jodlaktonizaci hepta-1,6-dien-4-olu na 4-allyl-6-jodomethyl-1,3-dioxan-2-on (*II*), který byl v několika krocích převeden na (6-allyl-2,2-dimethyl-1,3-dioxan-4-yl)acetonitril (*III*). Tento meziprodukt poskytl *cis*-(6-kyanomethyl-2,2-dimethyl-1,3-dioxan-4-yl)octovou kyselinu (*IV*).



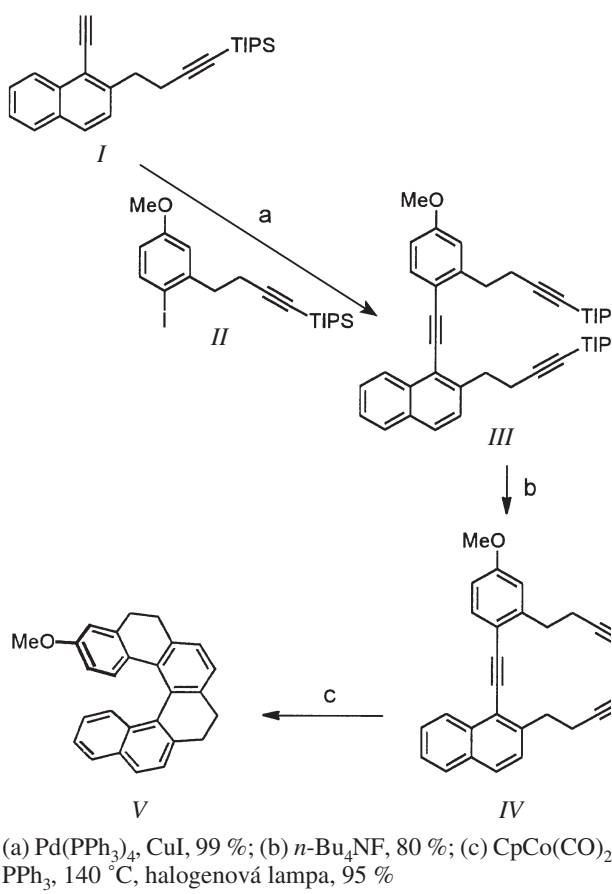
V rámci krátkého sdělení bude popsána námi vyvinutá modifikace tohoto postupu, který vychází z produktu jodlaktonizace *II* a několika námi vyvinutými stupni poskytuje kyselinu *IV* v podstatně lepších výtežích než původní postup. Stručně budou zmíněny i neúspěšné přístupy, včetně pokusů o štěpení *cis*-*IV* na (4*R*,6*R*) a (4*S*,6*S*) isomery.

## MODULÁRNÍ SYNTÉZA SUBSTITUOVANÝCH HELICENŮ A JEJÍ ENANTIOSELEKTIVNÍ VERZE

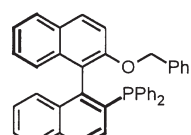
**FILIP TEPLÝ, IRENA G. STARÁ\*,  
ADRIAN KOLLÁROVIČ, IVO STARY\*,  
DAVID ŠAMAN a MILOŠ BUDĚŠÍNSKÝ**

Ústav organické chemie a biochemie, AV ČR, Flemingovo n. 2, 166 10 Praha 6, e-mail: stara@uochb.cas.cz

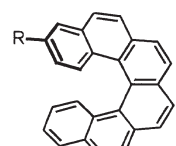
Inherentně chirální substituované heliceny jsou předurčeny k tomu, aby v budoucnosti hrály významnou roli v různých oblastech chemie. Vyvinuli jsme modulární or-



(a)  $\text{Pd}(\text{PPh}_3)_4$ ,  $\text{CuI}$ , 99 %; (b)  $n\text{-Bu}_4\text{NF}$ , 80 %; (c)  $\text{CpCo}(\text{CO})_2$ ,  $\text{PPh}_3$ , 140 °C, halogenová lampa, 95 %



(S)-(-)-VI (cit.<sup>3</sup>)



VII  
R =  $\text{PPh}_2$ , OH,  $\text{NH}_2$ ,  $\text{CO}_2\text{Me}$

ganometrický způsob přípravy funkcionizovaných helicenů, který je založen na intramolekulární [2+2+2] cykloisomerizaci triinů za katalýzy Co(I) nebo Ni(0) (cit.<sup>1</sup>).

Sonogashirův coupling synteticky snadno přístupných stavebních bloků I a II poskytuje triin III. Po deprotekci terminálních acetylenických jednotek dochází v klíčovém stupni ke Co-katalyzované cyklizaci triinu IV za vzniku substituovaného tetrahydro[6]helicenu V v téměř kvantitativním výtěžku. Tuto reakci, při níž vzniká helikální uspořádání, lze provést enantioselektivně s pomocí chirálních ligandů. Cyklizací látky IV za  $\text{Ni}(\text{cod})_2/(S)\text{--VI}$  katalýzy vzniká (+)-V s 75 % ee. Funkcionizovaný tetrahydro[6]helicen V lze standardními postupy převést na příslušné deriváty [6]helicenu VII.

Tato metodologie může být použita pro syntézu i jiných  $\text{CH}_3\text{O}$ -substituovaných [6]- nebo [7]helicenů.

Podporováno GA ČR (reg. č. 203/99/1448) a ÚOCHB AV ČR (výzkumný projekt č. Z4 055 905).

## LITERATURA

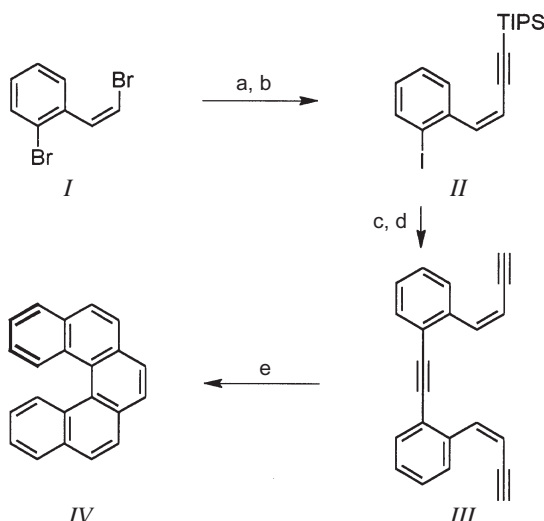
- (a) Stará I. G., Starý I., Kollárovič A., Teplý F., Šaman D., Tichý M.: J. Org. Chem. 63, 4046 (1998); (b) Stará I. G., Starý I., Kollárovič A., Teplý F., Vyskočil Š., Šaman D.: Tetrahedron Lett. 40, 1993 (1999).
- Uozumi Y., Tanahashi A., Lee S.-Y., Hayashi T.: J. Org. Chem. 58, 1945 (1993).

## SYNTÉZA [5]-, [6]- A [7]HELICENU POMOCÍ Ni(0)- A Co(I)-KATALYZOVANÉ ISOMERIZACE AROMATICKÝCH cis,cis-DIENTRIINŮ

FILIP TEPLÝ, IRENA G. STARÁ\*, IVO STARÝ\*, LUBOMÍR RULÍŠEK a DAVID ŠAMAN

Ústav organické chemie a biochemie, AV ČR, Flemingovo n. 2, 166 10 Praha 6, e-mail: stary@uochb.cas.cz

Vyvinuli jsme nový způsob přípravy helicenů, který je založen na isomerizaci energeticky bohatých aromatických cis,cis-dientriinů a odpovídá konceptu atomové ekonomie<sup>1</sup>. Příprava [5]helicenu vychází ze známého<sup>2</sup> (*Z*)- $\beta,\alpha$ -dibromstyrenu I, který je převeden v průběhu čtyř jednoduchých syntetických kroků na klíčový aromatický cis,cis-dientriin III. Za katalýzy Ni(0) podléhá okamžitě tato látka intramolekulární [2+2+2] cykloisomerizaci za vzniku [5]helicenu IV v dobrém výtěžku, zatímco Co(I) katalýzou je méně efektivní. Bě-



(a)  $\text{HC}\equiv\text{CTIPS}$ ,  $\text{Pd}(\text{PPh}_3)_4$ ,  $\text{CuI}$ , 99 %; (b)  $t\text{-BuLi}$ ,  $\text{I}_2$ , 98 %; (c)  $\text{HC}\equiv\text{CH}$ ,  $\text{Pd}(\text{PPh}_3)_4$ ,  $\text{CuI}$ , 79 %; (d)  $n\text{-Bu}_4\text{NF}$ , 92 %; (e)  $\text{Ni}(\text{cod})_2$  (20 %),  $\text{PPh}_3$  (40 %), 64 %



V



VI

hem této energeticky výhodné reakce ( $\Delta H = -156 \text{ kcal.mol}^{-1}$ , DFT výpočet) dochází k posunu šesti  $\pi$ -elektronů a následně k simultánnímu uzavření tří nových aromatických kruhů. Podobným způsobem jsme připravili [6]helicen *V* and [7]helicen *VI*.

*Podporováno GA ČR (reg. č. 203/99/1448) a ÚOCHB AV ČR (výzkumný projekt č. Z4 055 905).*

## LITERATURA

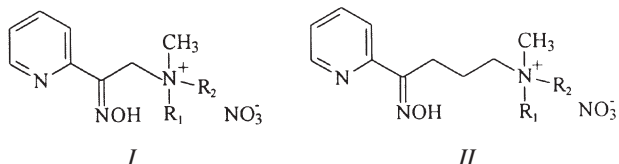
1. Trost B. M.: *Science* 254, 1471 (1991).
2. Yasuike S., Shiratori S., Kurita J., Tsuchiya T.: *Chem. Pharm. Bull.* 47, 1108 (1999).

## NOVÉ AMFIFILNÍ LIGANDY PRO TRANSPORT IONTŮ PŘES KAPALNOU MEMBRÁNU

**EVA SVOBODOVÁ, RADEK CIBULKA,  
FRANTIŠEK HAMPL a FRANTIŠEK LIŠKA**

*Ústav organické chemie, Vysoká škola chemicko-technologická, Technická 5, 166 28 Praha 6  
e-mail: svobodoe@seznam.cz*

Lipofilní *N,N*-dialkyl-*N*-methyl-2-hydroxyimino-2-(pyridin-2-yl)ethanaminiové soli *I*, syntetizované dříve na našem pracovišti vykazují schopnost transportovat ionty kovů ( $\text{Cu}^{2+}$ ,  $\text{Ni}^{2+}$ ,  $\text{Pd}^{2+}$ ) přes kapalnou membránu<sup>1</sup>. Účinnost a selektivita nosičů *I* při transportu iontů kovů závisí na počtu a délce hydrofobních alkylových řetězců. Další možností ovlivnění transportních schopností ligandů *I* by mohlo být prodloužení alkylového řetězce spojujícího ligandové seskupení hydroxyimino-2-(pyrididyl)methylovou skupinu a kvartérní amoniovou skupinu. Proto byly navrženy a syntetizovány ligandy *II*, které mají spojovací řetězec prodloužen o dvě methylenové jednotky oproti ligandů *I*.



Ukázalo se, že připravené ligandy *II* jsou účinnými nosiči  $\text{Cu}^{2+}$  iontů přes kapalnou membránu. Rychlosť transportu  $\text{Cu}^{2+}$  iontů přes fázové rozhraní prostřednictvím nosičů *II* vzrůstala s jejich lipofilitou.

Z porovnání účinnosti ligandů *I* a *II* při transportu iontů  $\text{Cu}^{2+}$  vyplývá, že prodloužení spojovacího řetězce mezi chelativní částí ligandu a kvartérní amoniovou skupinou z jedné methylenové jednotky (ligandy *I*) na tři (ligandy *II*) má výrazný pozitivní vliv na transportní schopnosti těchto amfifilních ligandů.

## LITERATURA

1. Cibulka R., Hampl F., Šmidrkal J., Liška F.: *Tetrahedron Lett.* 40, 6849 (1999).

## GALANTHAMIN

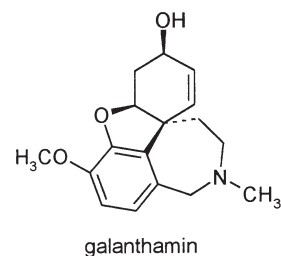
**LUCIE ŠEVELOVÁ a GABRIELA KREJČOVÁ**

*Katedra toxikologie, Vojenská lékařská akademie, 500 01 Hradec Králové, e-mail: sevelova@pmfhk, krejcova@pmfhk*

Galanthamin je fenanthridinový alkaloid izolovaný ze snězenek (rod *Galanthus*) a narcisů (rod *Narcissus*) čeledi Amaryllidaceae. V medicíně se používá již od 60. let, a to převážně ve Východní Evropě pro svůj antikurarový efekt k antagonizaci neuromuskulární blokády a pro terapii neurologických poruch. Působí jako antagonist dechového útlumu navozeného opioidy. I když je strukturně velmi podobný kodeinu, nemá analgetický účinek. V současnosti je hlavní terapeutické využití galanthaminu v léčbě Alzheimerovy choroby<sup>1</sup>. Galanthamin signifikantně zlepšuje kognitivní, funkční i behaviorální symptomy této choroby.

Galanthamin je selektivní kompetitivní inhibitor acetylcholinesterasy a allosterický modulátor nikotinových acetylcholinových receptorů. Tato schopnost galanthaminu modulovat nikotinové receptory a tím zvyšovat účinek a produci acetylcholinu je významným faktorem zvýhodňujícím galanthamin před ostatními terapeutiky Alzheimerovy choroby<sup>2</sup>. Selektivita galanthaminu k acetylcholinesterase vs. butyrylcholinesterase může snižovat riziko jeho nežádoucích účinků v porovnání s neselektivními inhibitory cholinesteras (např. takrin, fysostigmin).

Pro vazebné schopnosti galanthaminu a tedy jeho biologický účinek jsou v molekule důležitá 4 místa: hydroxylová skupina cyklohexenového kruhu, cyklohexenový kruh, methoxyskupina a terciární aminoskupina. Byly připraveny a také testovány různé deriváty galanthaminu: *O*- a *N*-substituované deriváty, konjugáty, estery<sup>3</sup>.



Syntéza galanthaminu je v porovnání s izolací z přírodních zdrojů finančně náročná. Galanthamin se získává především z bledule letní (*Leucojum aestivum*) (průměrně 1,64 % hmotnosti suché rostliny). Syntéza je možná např. z isovanilinu a tyraminu. Další možný způsob je využití intermediátu biologicky významného hydrobenzazepinu, který je dostupný z prekurzoru cinnamonnitrilu.

Galanthamin v biologických materiálech je možné stanovit několika metodami – HPLC, zónovou kapilární elektroforezou, průtokovou injekční analýzou, radioimunoanalýzou nebo enzymoimunoanalýzou.

Účinky této látky svědčí o další možnosti využití, např. jako profylaktikum otravy organofosfáty. Přírodní látka s podobnými účinky – huperzin A, již byla v zahraničí v této souvislosti úspěšně testována.

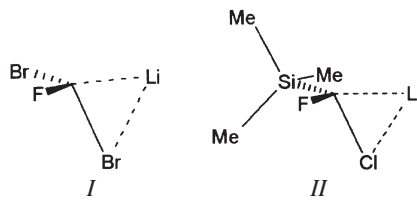
## LITERATURA

1. Fulton B., Benfield P.: Drugs Aging 9, 60 (1996).
2. Sramek J. J., Frackiewicz E. J., Cutler N. R.: Exp. Opin. Invest. Drugs 9, 2393 (2000).
3. Bores G. M., Huger F. P., Petko W.: J. Pharmacol. Exp. Ther. 277, 728 (1996).

FLUORHALOLITHIOMETHANY  
A JEJICH SILYLOVANÉ ANALOGYJAROSLAV KVÍČALA, JAN ŠTAMBASKÝ,  
MARTIN SKALICKÝ a OLDŘICH PALETA

Ústav organické chemie, Vysoká škola chemicko-technologická, Technická 5, 166 28 Praha 6, e-mail: kvicalaj@vscht.cz

Fluorhalolithiomethany jsou extrémně nestálé a pouze dibromfluormethylolithium (*I*) je možné generovat a reagovat s elektrofily při  $-140^{\circ}\text{C}$  za Barbierovských podmínek<sup>1</sup>. Výpočty minim na površích potenciální energie pro bromfluor- a chlorfluorolithiomethany na úrovni MP2/6-31+G(d,p)<sup>2</sup> ukázaly, že globální minima pro difluorhalolithiomethany mají charakteristické trojúhelníkovité seskupení uhlík–halogen–lithium s extrémně dlouhou vazbou uhlík–halogen. Atom křemíku stabilizuje sousední karbanion natolik, že (*terc.*butyldimethylsilyl)bromfluormethylolithium je stálé při  $-100^{\circ}\text{C}$  (cit.<sup>3</sup>). Povrchy potenciální energie pro silyované analogy



fluorhalolithiomethanů (FLMS), např. chlorfluor(trimethylsilyl)methylolithium (*II*), byly studovány výpočetními metodami. Nalezená minima jsou analogická nesilyovaným sloučeninám. (Fluorhalomethyl)silany, prekursory FLMS, byly připraveny třemi různými postupy a jejich lithiací a další reakce byly studovány.

*Práce byla provedena za podpory grantu GA ČR 203/99/1630.*

## LITERATURA

1. Kuroboshi M., Yamada N., Takebe Y., Hiyama T.: Synlett 1995, 987.
2. Kvíčala J., Štambaský J., Böhm S., Paleta O.: J. Fluorine Chem., v tisku.
3. Shimizu M., Hata T., Hiyama T.: Tetrahedron Lett. 38, 4591 (1997).

ANTIMYKOBAKTERIÁLNÍ  
3,5-DICHLORSALICYLANILIDY –  
INHIBITORY HILLOVY REAKCE**MARTIN ŠUSTR<sup>a</sup>, KATARÍNA KRÁLOVÁ<sup>b\*</sup>**  
**a LENKA KUBICOVÁ<sup>a</sup>**

<sup>a</sup>Katedra anorganické a organické chemie, Farmaceutická fakulta, Univerzita Karlova, Heyrovského 1203, 500 05 Hradec Králové, <sup>b</sup>Chemický ústav, Prírodovedecká fakulta, Univerzita Komenského, Mlynská dolina, 842 15 Bratislava, Slovenská republika  
e-mail: sustr@faf.cuni.cz, kralova@fns.uniba.sk

Salicylanilidy vykazují v závislosti na substituci široké spektrum biologických aktivit<sup>1</sup>. 3,5-Dichlorsalicylanilidy (*I*) různě substituované v anilidové části molekuly ( $\text{R}' = \text{H}; 3'\text{-F}; 4'\text{-F}; 3'\text{-Cl}; 4'\text{-Cl}; 3',4'\text{-Cl}_2; 3'\text{-Br}; 4'\text{-Br}; 4'\text{-CH}_3; 4'\text{-C}_2\text{H}_5; 4'\text{-OCH}_3; 3'\text{-NO}_2; 4'\text{-N}(\text{CH}_3)_2$ ) byly připraveny jako potenciální antituberkulotika zahříváním kyseliny 3,5-dichlorsalicylové s příslušnými anilinami a  $\text{PCl}_3$  v chlorbenzenu.

Vliv *I* na inhibici rychlosti vývoje kyslíku v chloroplastech špenátu byl studován spektrofotometricky<sup>2</sup> v přítomnosti akceptoru elektronů 2,6-dichlorfenol-indofenolu (DPIP). Studované látky inhibovaly fotosyntetický transport elektronů v chloroplastech špenátu, hodnoty poloviční inhibiční koncentrace ( $\text{IC}_{50}$ ) byly v rozmezí od  $1,5 \mu\text{mol} \cdot \text{dm}^{-3}$  ( $\text{R}' = 3\text{-NO}_2$ ) do  $119,8 \mu\text{mol} \cdot \text{dm}^{-3}$  ( $\text{R}' = 4\text{-N}(\text{CH}_3)_2$ ).

Inhibiční aktivita studovaných sloučenin významně závisela na Hammettově konstantě  $\sigma$  substituentu  $\text{R}'$ :

$$\log(1/\text{IC}_{50}) = 4,936 (\pm 0,075) - 0,168 (\pm 0,108)\sigma + \\ + 1,303 (\pm 0,143)\sigma^2 \\ r = 0,947; s = 0,188; F = 43,6; n = 13$$

Po přidání umělého donoru elektronů 1,5-difenylkarbazi- du (DPC) se známým místem účinku (intermediáty  $\text{Z}^+/\text{D}^+$ ) k chloroplastům inhibovaným anilidy *I* docházelo ke kompletnej obnově redukce DPIP. Z toho vyplývá, že jádro fotosystému (PS) 2 (P 680) a část elektronového transportního řetězce – přinejmenším až po plastochinon – zůstala nepoškozená. Získané výsledky jsou v souladu s výsledky získanými pro 5-brom- a 3,5-dibromsalicylanilidy, u kterých jsme pomocí EPR spektroskopie prokázali, že interagují s tyrosiny  $\text{Tyr}_Z$  a  $\text{Tyr}_D$ , lokalizovanými v proteinech  $\text{D}_1$  a  $\text{D}_2$  na donorové straně PS 2 (cit.<sup>3</sup>).

*Práce byla podporována granty VEGA MŠ SR č. 1/7262/20 a FRVŠ č. 1680/G4/2001 a výzkumným záměrem MŠMT ČR MSM 11600001.*

## LITERATURA

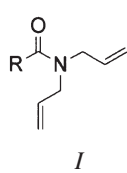
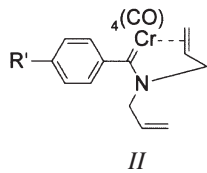
1. Kubicová L., Waisser K.: Česk. Farm. 41, 208 (1992).
2. Králová K., Šeršeň F., Csöllei J.: Biol. Plant. 34, 253 (1992).
3. Králová K., Kubicová L., Šeršeň F., Waisser K.: Zborník príspevkov 3. 51. Zjazd chemických spoločností, 6.–9. 9. 1999, Nitra, H-PO66. STU Bratislava, 1999.

## SYNTÉZA A VLASTNOSTI AMINOKARBENOVÝCH KOMPLEXŮ CHROMU S KOORDINOVANOU DVOJNOU VAZBOU V POSTRANNÍM ŘETĚZCI

**TOMÁŠ TOBRMAN a DALIMIL DVORÁK\***

Ústav organické chemie, Vysoká škola chemicko-technologická, Technická 5, 166 28 Praha 6

Reakcí *N,N*-diallylamidů karboxylových kyselin *I* s karbonylátmi přechodných kovů a  $\text{Me}_3\text{SiCl}$  vznikají přímo chelatované aminokarbenové komplexy. Bude diskutován vliv struktury výchozího amidu *I* na vznik chelatovaného karbenového komplexu chromu *II*. U připravených karbenových komplexů *II* byla stanovena velikost  $\Delta G^*$  rotace okolo vazby aromát-karbenový uhlík. Vzájemná orientace koordinované dvojné C=C vazby a dvojně vazby kov uhlík u komplexu *II*,  $\text{R}' = \text{H}$  byla určena s využitím NOE efektu.

*I**II*

$\text{R} = \text{H}, \text{Me}, \text{Ph}, 4\text{-ClC}_6\text{H}_4,$        $\text{R}' = \text{CF}_3, \text{H}_4, \text{CO}_2\text{Me},$   
 $4\text{-MeC}_6\text{H}_4, 4\text{-MeOC}_6\text{H}_4,$        $\text{Cl}, \text{OMe}, \text{CH}_3$   
 $4\text{-CF}_3\text{C}_6\text{H}_4, 4\text{-CO}_2\text{MeC}_6\text{H}_4$

Tento projekt byl financován GA ČR (grant č. 203/00/1240).

## THEORETICAL STUDY OF $^{15}\text{N}$ CHEMICAL SHIELDING TENSORS OF $\text{N}^7$ - AND $\text{N}^9$ -SUBSTITUTED PURINE DERIVATIVES

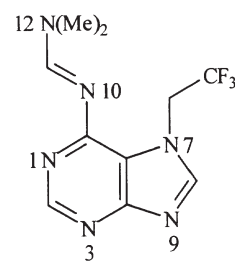
**JAROMÍR TOUŠEK<sup>a</sup>, RADEK MAREK<sup>b</sup>, JIŘÍ BRUS<sup>c</sup>, LAJOS KOVÁCS<sup>d</sup>, and DANA HOCKOVÁ<sup>e</sup>**

<sup>a</sup>Department of Theoretical and Physical Chemistry, <sup>b</sup>National Center for Biomolecular Research, Faculty of Science, Masaryk University, Kotlářská 2, 611 37 Brno, <sup>c</sup>Institute of Macromolecular Chemistry, Academy of Sciences of the Czech Republic, Heyrovského n. 2, 162 06 Prague, <sup>d</sup>Department of Medicinal Chemistry, University of Szeged, Dóm tér. 8, H-6720 Szeged, Hungary, <sup>e</sup>Institute of Organic Chemistry and Biochemistry, Academy of Sciences of the Czech Republic, Flemingovo n. 2, 166 10 Prague

e-mail: tousek@chemi.muni.cz

Since the nitrogens of nucleosides and nucleotides play an important role in the molecular recognition of these compounds,  $^{15}\text{N}$  NMR became a method of choice in this field.  $^{15}\text{N}$  NMR parameters of selected adenine and guanine derivatives were investigated using gradient inverse techniques<sup>1</sup>. In order to study the individual components of the  $^{15}\text{N}$  chemical shielding tensors and their differences for pairs of  $\text{N}^7/\text{N}^9$ -isomers,  $^{15}\text{N}$  CP/MAS spectra were recorded and quantum chemical calculations of chemical shielding tensors were carried out<sup>2</sup>.

Based on the results of the calculations performed with the

*I*

7-(2,2,2-Trifluoroethyl)- $N^6$ -{(dimethylamino)methylene]adenine

purine analogue *I* the quantum chemical calculations were performed as follows: geometry was optimized by RHF/6-31G\*\* method and chemical shielding tensors were computed by B3LYP/6-31G\*\* method (all calculations were performed with the Gaussian 94 (cit.<sup>3</sup>) and deMon<sup>4</sup> software). The results obtained enabled the assigning of the experimentally determined chemical shifts and determining the orientations of the particular components of the shielding tensors. Rmsd between the calculated and experimental values is approximately 6 ppm, that is ~1 % of the  $^{15}\text{N}$  chemical shift scale.

## REFERENCES

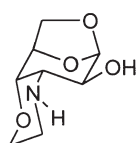
1. Marek R., Lyčka A.: Curr. Org. Chem., in press.
2. Marek R., Brus J., Toušek J., Kovács, L., Hocková D.: manuscript in preparation.
3. Frisch M. J., Trucks G. W., Schlegel H. B., Gill P. M. W., Johnson B. G., Robb M. A., Cheeseman J. R., Keith T., Petersson G. A., Montgomery J. A., Raghavachari K., Al-Laham M. A., Zakrzewski V. G., Ortiz J. V., Foresman J. B., Cioslowski J., Stefanov B. B., Nanayakkara A., Challacombe M., Peng C. Y., Ayala P. Y., Chen W., Wong M. W., Andres J. L., Replogle E. S., Gomperts R., Martin R. L., Fox D. J., Binkley J. S., Defrees D. J., Baker J., Stewart J. P., Head-Gordon M., Gonzalez C., Pople J. A.: Gaussian 94, Revision D.4. Gaussian Inc., Pittsburg (PA) (1995).
4. Malkin V. G., Malkina O. L.: MASTER-CS Program. Universite de Montreal, Quebec 1994.

## SYNTÉZA 3,10,12-TRIOXA-6-AZA-TRICYKLO[7.2.1.0<sup>2,7</sup>] DODEKANOVÉHO SKELETU

**TOMÁŠ TRTEK<sup>a</sup>, MILOSLAV ČERNÝ<sup>a</sup>, TOMÁŠ TRNKA<sup>a</sup> a MILOŠ BUDĚŠÍNSKÝ<sup>b</sup>**

<sup>a</sup>Katedra organické chemie, Univerzita Karlova, Hlavova 2030, 120 00 Praha 2, <sup>b</sup>Ústav organické chemie a biochemie, Flemingovo n. 2, 166 10 Praha 6

Oxiranové deriváty 1,6-anhydro-hexopyranos reagují díky rigiditě svého skeletu s vysokou regio- a stereoselektivitou. Díky tomu jsou používány s výhodou jako chirální synthytoke stereoselektivním syntézám cukerných i necukerných sloučenin. V našem případě byly použity k výstavbě nové hetero-



cyklické molekuly 3,10,12-trioxa-6-aza-tricyklo[7.2.1.0<sup>2,7</sup>]dekan-8-olu i některých jeho derivátů jako potencionálně biologicky aktivních sloučenin se zatím blíže nespecifikovanou biologickou aktivitou.

#### LITERATURA

- Jindřich J., Černý M., Trnka T., Buděšínský M.: Collect. Czech. Chem. Commun. 56, 2950 (1991).

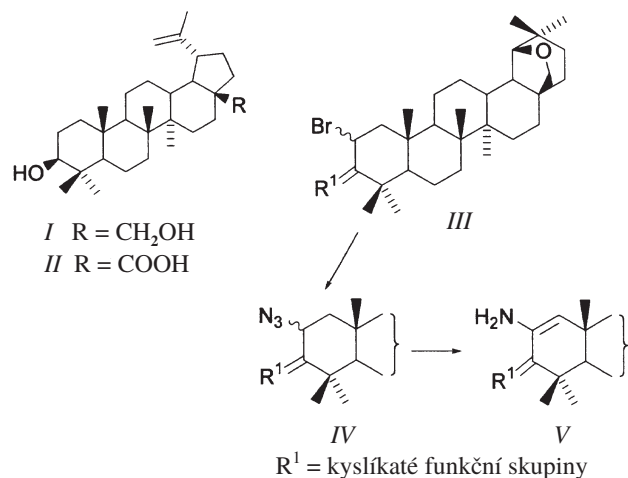
#### NOVÉ CYTOTOXICKÉ TRITERPENOIDNÍ DERIVÁTY S DUSÍKATÝMI FUNKČNÍMI SKUPINAMI NA KRUHU A

**MILAN URBAN, JAN ŠAREK, JIŘÍ KLINOT  
a IVA TIŠLEROVÁ**

Katedra organické chemie, Přírodovědecká fakulta, Univerzita Karlova, Hlavova 8, 128 43, Praha 2  
e-mail: murban@natur.cuni.cz

Výzkum triterpenoidních derivátů vedl na našem pracovišti k objevu sloučenin s významnou cytotoxickou aktivitou proti buněčným liniím CEM-lymfoblastické leukemie (TCS<sub>50</sub> < 10 mmol·l<sup>-1</sup>) (cit.<sup>1</sup>). Další strukturně aktivitní studie vedly k závěru, že cytotoxicitu výrazně ovlivňuje přítomnost polárních funkčních skupin. V minulosti byl již zkoumán vliv přítomnosti různých kyslíkatých funkčních skupin na cytotoxicitu sloučenin připravených z betulinu<sup>1</sup> I a kyseliny betulinové<sup>2</sup> II.

Nyní se náš zájem soustředí také na deriváty lupanu a 18 $\alpha$ -oleananu, modifikované různými dusíkatými funkčními skupinami. Syntézy vychází z bromderivátu III nebo jeho analoga, 2-brom-3-oxolupan-28-ové kyseliny, ze kterých byly připraveny azidoderiváty typu IV, které následnou eliminací posky-



tly enaminy obecného vzorce V. Z enaminů V byly pyrolyzou získány dimerní eniminoketony. Všechny nové sloučeniny, připravené v rámci této práce jsou testovány na *in vitro* cytotoxickou aktivitu. Struktury všech připravených sloučenin byly potvrzeny 1D a 2D NMR, MS a IR spektry.

Práce byla financována z grantů: Grant Nadace pro výzkum rakoviny Olomouc, GA ČR 203/00/I232, GA ČR 203/00/1549, GA UK 226/2000 a projektu MŠMT 113100001.

#### LITERATURA

- Hajdúch M., Šarek J.: Betulinines I. British patent, GB 0012526.0, (23rd May 2000).
- Urban M.: Diplomová práce. Univerzita Karlova, Praha 2000.

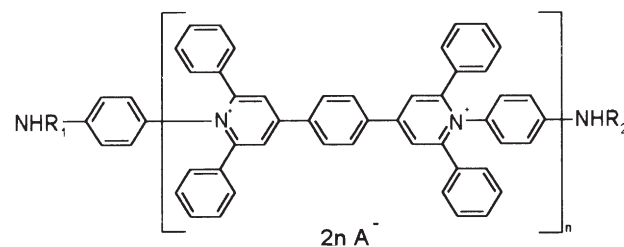
#### SYNTÉZA POLYPYRIDINOVÝCH IONTŮ PRO MOLEKULOVOU ELEKTRONIKU

**MICHAL VALÁŠEK<sup>a</sup>, JAROSLAV PECKA<sup>a</sup>,  
JINDŘICH JINDŘICH<sup>a</sup> a JOSEF MICHL<sup>b</sup>**

<sup>a</sup>Katedra organické chemie, Přírodovědecká fakulta, Univerzita Karlova, Hlavova 2030, 128 40 Praha 2, <sup>b</sup>Department of Chemistry and Biochemistry, University of Colorado, Boulder, CO 80309-0215, U.S.A.

Poslední desetiletí se zájem chemie ubírá k novým materiálům využitelným v molekulové elektronice. Námi připravené polypyridiniové ionty slouží jako konstrukční články v molekulárně elektronických obvodech (diodách<sup>1</sup>, logických sítíček), ve kterých dochází k přenosu negativního náboje (elektronů) pomocí oxidačně redukčních procesů.

Cílem našeho projektu bylo připravit lineární oligomery polypyridinového typu s obecnou strukturou znázorněnou na obr. 1 a přesně definovanou délkou nepřesahující 10 nm, zakončené jak volnou, tak ochráněnou aminoskupinou (nejčastěji pomocí acetátu). Syntéza těchto [n]ewirů vychází ze tří základních molekul: *p*-fenylen-bis-4,4'-(2,6-difenylnipyryliového) iontu<sup>2</sup>, diamino nebo monoamino[1]ewiru<sup>3</sup>, *p*-fenylenediaminu případně 4-aminoacetanilidu a závisí pouze na poměru a pořadí přidávání těchto reaktantů do reakční směsi. Jako anionty byly použity a studovány nejenom trifláty ale i chloridové, chloristany, trifluoracetáty a dokonce i dodekamethylkarba-clososo-dodekakarboráty(-)<sup>4</sup> CB<sub>11</sub>Me<sub>12</sub><sup>-</sup>.



n = 1–5; R<sub>1</sub>, R<sub>2</sub> = H, Ac; A<sup>-</sup> = TfO<sup>-</sup>, ClO<sup>-</sup>, Cl<sup>-</sup>, CF<sub>3</sub>COO<sup>-</sup>, CB<sub>11</sub>Me<sub>12</sub><sup>-</sup>

Obr.1. [n]Ewiro

Tento projekt byl financován z grantů ONR/DARPA N00014-99-1-0474 a GA ČR 203/01/0644.

## LITERATURA

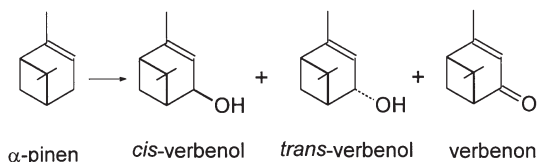
1. Rouhy M. A.: Chem. Eng. News 79, 46 (2001).
2. Dimroth K., Reichardt Ch.: Liebigs Ann. Chem. 727, 93 (1969).
3. Huang S. A. X., Chuang K. C.: Polymer 41, 5001 (2000).
4. King B. T., Noll B. C., Michl J.: J. Am. Chem. Soc. 118, 10902 (1996).

## TRANSFORMACE $\alpha$ -PINENU TKÁŇOVÝMI KULTURAMI SMRKU (*Picea abies*)

**IRENA VALTEROVÁ<sup>a</sup>, MARICA LINDMARK<sup>b</sup>, DAN ISAKSSON<sup>b</sup>, KRISTINA SJÖDIN<sup>b</sup>, HANS-ERIK HÖGBERG<sup>b</sup> a TOMÁŠ VANĚK<sup>a</sup>**

<sup>a</sup>Ústav organické chemie a biochemie, Akademie věd České republiky, Flemingovo n. 2, 166 10 Praha, <sup>b</sup>Department of Natural and Environmental Sciences, Chemistry, Mid Sweden University, S-851 70 Sundsvall, Sweden  
e-mail: irena@uochb.cas.cz

Oba enantiomery  $\alpha$ -pinenu byly transformovány tkáňovými kulturami smrku (*Picea abies*) na *cis*- a *trans*-verbenol. Delší reakční časy vedly k tvorbě verbenonu, který se již dále netransformoval. Oba enantiomery  $\alpha$ -pinenu poskytly stejné produkty, avšak s odlišnou absolutní konfigurací. Časový průběh transformace ukazuje na rychlejší tvorbu produktu z (*S*)-(-)- $\alpha$ -pinenu než v případě jeho (*R*)-(+)enantiomeru.



Použijeme-li jako substrát *cis*-verbenol, dojde k rychlé tvorbě *trans*-verbenolu a po delší době narůstá množství vzniklého verbenonu. *Trans*-verbenol se transformuje na jediný produkt – verbenon. Verbenon sám se působením buněčných kultur smrku nemění. Transformace *cis*-verbenolu značeného deuteriem v poloze 4 prokázala, že isomerizace *cis*-verbenol/*trans*-verbenol neprobíhá přes verbenon.

Transformace  $\alpha$ -pinenu je velmi rychlá. Již po 3 hodinách bylo ve směsi produktů přítomno kolem 35 % *trans*-verbenolu. Malá množství produktů byla detekována i po přidání substrátu a okamžitém zpracování reakční směsi. Navíc bylo zjištěno, že i filtrát buněčné suspenze transformuje  $\alpha$ -pinen na stejné produkty. Tyto výsledky ukazují na přítomnost enzymů rozpustných ve vodě.

Práce byla provedena v rámci výzkumného záměru Z4 055 905 a za podpory Ministerstva školství ČR (projekty COST OC828.20 a FRVŠ 0655/G4).

## STUDIUM BIOSYNTÉZY SEMIOCHEMÍKÁLÍ U ČMELÁKŮ

**ANNA LUXOVÁ<sup>a</sup>, ALEŠ SVATOŠ<sup>b</sup> a IRENA VALTEROVÁ<sup>b</sup>**

<sup>a</sup>Ústav přírodních látok, Fakulta potravinářské a biochemické technologie, Vysoká škola chemicko-technologická, Technická 5, 166 28 Praha 6, <sup>b</sup>ÚOCHB AV ČR, Flemingovo n. 2, 166 10, Praha 6, e-mail: luxova@uochb.cas.cz, irena@uochb.cas.cz

Značkovací feromon čmeláků je produkován labiální žlázou samců v období jejich námluv a páření. Typickým chováním samců je tzv. patrolování, při němž samci obletují svá teritoria označená feromonem a k těmto místům lákají samičky svého druhu. Složení feromonu je druhově specifické a obsahové látky patří mezi nasycené a nenasycené alkoholy, aldehydy, estery a acyklické terpenické alkoholy.

Pro biosyntetické experimenty jsme použili dva druhy – čmeláka skalního (*Bombus lapidarius*) a čmeláka hájového (*Bombus lucorum*). Samci obou druhů produkují v labiální žláze nevětvené alifatické sloučeniny. Ve žláze *B. lucorum* jsou nejvíce zastoupenými chemickými sloučeninami estery mastných kyselin, a to především ethyltetradekanoát a (*Z*)-ethyltetradec-9-enoát. Po aplikaci izotopicky značené palmitové kyseliny [ $^2\text{H}_{31}$ ]-hexadekanové do těla samců byly v extraktech labiálních žláz nalezeny pomocí GC-MS předpokládané metabolity: [ $^2\text{H}_{29}$ ]-ethylhexadec-9-enoát a [ $^2\text{H}_{31}$ ]-ethylhexadekanovát. Zkrácení řetězce za tvorby deuterovaného ethyltetradecenoátu pozorováno nebylo. U druhu *B. lapidarius* jsou hlavními složkami samčího značkovacího feromonu alkoholy, především (*Z*)-hexadec-9-en-1-ol. Zde bylo zjištěno, že značená hexadekanová kyselina se sledem biochemických reakcí přemění až na [ $^2\text{H}_{31}$ ]-hexadekan-1-ol a [ $^2\text{H}_{29}$ ]-hexadec-9-en-1-ol.

Získané výsledky naznačují přítomnost desaturačních a oxiдаčně-redukčních enzymů v labiálních žlázách samců čmeláků. Tyto enzymy jsou schopny transformovat nasycené mastné kyseliny, pocházející patrně z primárního metabolismu, na semiochemikálie. Znalost biosyntetických drah vedoucích k tvorbě semiochemikálií u hmyzu nám pomůže objasnit jejich biogenezi a souvislosti se základním metabolismem.

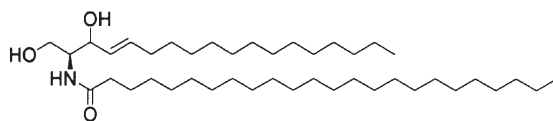
Práce byla provedena v rámci výzkumného záměru Z4 055 905 a za podpory Ministerstva školství ČR (projekty COST OC828.20 a FRVŠ 0655/G4).

## MECHANISMUS ÚČINKU AKCELERANTŮ TRANSDERMÁLNÍ PENETRACE ZALOŽENÝ NA INTERAKCI S CERAMIDY STRATUM CORNEUM

**KATEŘINA VÁVROVÁ<sup>a</sup>, ALEXANDR HRABÁLEK<sup>a</sup>, KAREL PALÁT<sup>a</sup> a PAVEL DOLEŽAL<sup>b</sup>**

<sup>a</sup>Katedra anorganické a organické chemie, <sup>b</sup>katedra farmaceutické technologie, Farmaceutická fakulta, Univerzita Karlova, Heyrovského 1203, 500 05 Hradec Králové

Hlavní limitací podání léčiv přes kůži je její nejsvrchnější vrstva – stratum corneum (SC)<sup>1</sup>, a to především díky složení



Obr. 1. Ceramid 2

intercelulárních lipidů a jejich strukturálnímu uspořádání<sup>2</sup>. Nejdůležitější polární lipidy SC představuje strukturně heterogenní skupina 7 typů ceramidů (obr. 1).

V současné době nejpoužívanějším přístupem k usnadnění průniku léčiv přes kůži je použití akcelerantů transdermální penetrace. Mechanismus účinku nejaktivnějších a nejméně toxicických akcelerantů pravděpodobně spočívá právě v jejich interakci s ceramidy SC.

Byla vyslovena myšlenka, že pro zajištění této interakce musí existovat určitá podobnost mezi molekulou akcelerantu a ceramidy<sup>3</sup>. Není však známo, kde leží hranice v podobnosti, tedy kdy ještě daná molekula uspořádání ceramidů naruší a vyvolá akcelerační efekt a kdy její vlastnosti budou již ceramidům natolik podobné, že je bude tato molekula schopná nahradit.

Cílem této práce bylo připravit řadu analogů ceramidů, kde je polární hlava molekuly tvořena aminokyselinami, případně hydroxykyselinou a hydrofobní část dvěma alkylovými řetězci o délce 11 až 18 uhlíků.

*Tato práce byla uskutečněna za finanční podpory GA UK, grant č. 256/2001/B-CH/FaF a Výzkumného záměru MSM 111600001.*

## LITERATURA

1. Scheuplein R. J., Blank I. H.: Physiol. Rev. 51, 702 (1971).
2. Potts R. O., Francoeur M. L.: J. Invest. Dermatol. 96, 495 (1991).
3. Hrabálek A., Doležal P., Palát K.: Perspectives of Percutaneous Penetration, Vol. 7A (2000).

## PŘÍPRAVA SUBSTITUOVANÝCH 5-THIOXOPERHYDROIMIDAZO[4,5-d]IMIDAZOL- -2-ONU SMĚSNOU CRISS-CROSS CYKLOADICÍ

**JIRÍ VERNER a MILAN POTÁČEK**

Katedra organické chemie, Přírodovědecká fakulta, Masaryková univerzita, Kotlářská 2, 611 37 Brno  
e-mail: jverner@chemi.muni.cz

Zatímco criss-cross cykloadice 2,3-diaza-1,3-butadienů (azinů) (*I*) je poměrně dobře prostudována (schéma 1), reakce na 1,4-diaza-1,3-butadienech (glyoxaliminech) (*III*) (schéma 2) je popsána pouze v ojedinělých případech. Tak Sakamoto<sup>1</sup> publikoval cykloadici 1,1'-biisochinolinů s aryl a benzoylisokyanáty a Takahashi<sup>2</sup> cykloadici trimethylsilylisothiocyanátu s alifatickými a aromatickými glyoxaliminy.

Naše experimenty prokázaly, že 1,4-diaza-1,3-butadieny

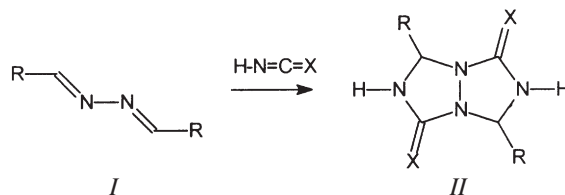


Schéma 1

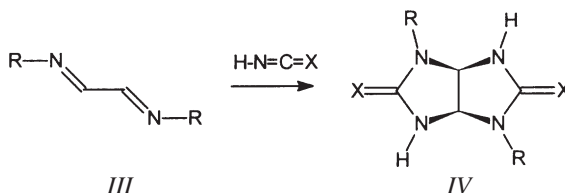


Schéma 2

(*III*) poskytují criss-cross produkty (*IV*) s isokyanatom (X = O) a isothiocyanatom (X = S) kyselinou v dobrých výtěžcích.

Nově byly nalezeny podmínky pro uskutečnění smíšené criss-cross cykloadice, kde hlavním reakčním produktem jsou nesymetrické kondenzované heterocyklické sloučeniny s jedním pětičlenným kruhem s oxosupinou a druhým s thioxosupinou.

Tak lze jednoduchým způsobem připravit složité nesymetrické sloučeniny.

## LITERATURA

1. Sakamoto M., Tomimatsu Y., Miyazawa K., Tokoro K.: Yakugaku Zasshi. 92, 1462 (1972).
2. Masahiko T., Shinji T.: Heterocycles 31, 883 (1990).

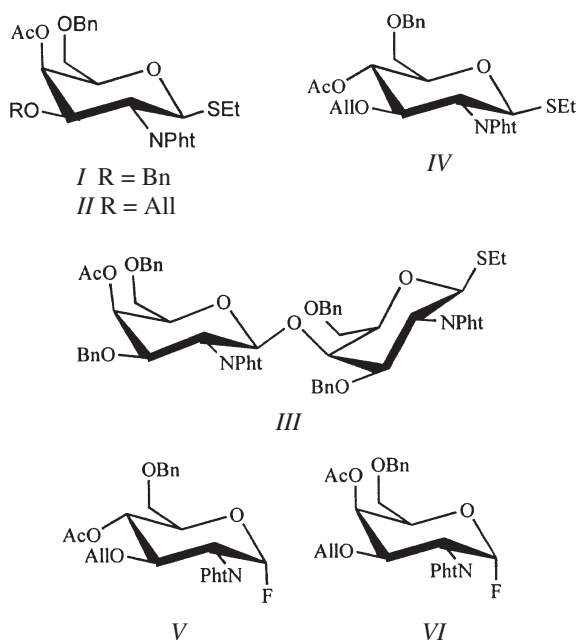
## PŘÍPRAVA SUBSTITUOVANÝCH 2-AMINO-D-HEXOPYRANOS

**JAN VESELY<sup>a</sup>, JINDŘICH JINDŘICH<sup>a</sup>,  
MIROSLAV LEDVINA<sup>b</sup> a TOMÁŠ TRNKA<sup>a</sup>**

*<sup>a</sup>Katedra organické chemie, Přírodovědecká fakulta, Univerzita Karlova, Hlavova 2030, 128 40 Praha 2, <sup>b</sup>ÚOCHB AV ČR, Flemingovo n. 2, 166 10, Praha 6  
e-mail: jxvesely@natur.cuni.cz*

Sacharidy a jejich konjugáty (glykoproteiny, glykolipidy) patří k látkám nejčastěji se vyskytujícím v přírodě, a proto jsou velmi vhodným výchozím materiálem pro řadu syntéz.

Smyslem naší práce byla syntéza orthogonálně chráněných cukerných jednotek, které je možno využít pro efektivní krokovou syntézu nové skupiny cyklických oligosacharidů tvořených 2-amino-2-deoxy-D-hexopyranosovými jednotkami s 1,2-trans-(1→4)-O-glykosidi ckou vazbou. Podmínu pro axiální a ekvatoriální orientaci vazeb na uhlících C-1 a C-4 pyranosových stavebních jednotek, která je nezbytná pro kon-



strukci cyklických oligosacharidů, splňují v oblasti 2-amino-2-deoxy-D-hexopyranos jednotky odvozené od D-galaktosaminu a D-mannosaminu. Jako výchozí látka pro přípravu jednotek I a II byl použit D-glukosamin, který byl po derivatizaci následně transformován inverzí konfigurace na uhlíku C-4. Vhodnost stavební jednotky I pro *de novo* syntézu cyklických oligosacharidů byla potvrzena přípravou disacharidu III. V rámci použití *O*-allylové chráničí skupiny v případě thioglykosidů II a IV byla věnována pozornost přípravě glykosylfluoridů V, VI, jež jsou perspektivní skupinou glykosyl-donorů pro glykosylační reakce.

Tato práce byla podporována GA ČR (projekt 203/00/0071) a MŠMT (projekt 1131 0001).

#### REAKCE DTBBQ S AMINOKYSELINAMI A DIPEPTIDY

**JARMILA VINŠOVÁ<sup>a</sup> a VÁCLAV HORÁK<sup>b</sup>**

<sup>a</sup>Farmaceutická fakulta, Univerzita Karlova, Heyrovského 1203, 500 05 Hradec Králové, <sup>b</sup>Georgetown University, Washington DC 20057-1227, USA, e-mail: vinsova@faf.cuni.cz

Bыло зjištěno, že 3,5-di-*tert*.butylbenzochinon (DTBBQ) napodobuje biologicky aktivní pyridoxal v několika chemických transformacích<sup>1–4</sup>.

Předmětem našeho zájmu je zjistit, do jaké míry je možné považovat DTBBQ jako modelovou látku pyridoxalu. Do studie byly vzaty některé aminokyseliny: glycín, alanin, fenylalanin, tyrosin, tryptofan, methionin, dále některé jejich estery a amidy. Z dipeptidů kombinace obsahující aminoskupinu na primárním uhlíku (Gly-Gly, Gly-Leu, Gly-Tyr) a sekundárním N-koncovém uhlíku (Ala-Gly, Phe-Phe, Leu-Gly).

Prvním krokem je reakce mezi karbonylem v poloze 1

a primární aminoskupinou za tvorby chinonmonoiminu, což je analogická reakce pyridoxalové aldehydické skupiny s primární aminoskupinou substrátu. V závislosti na okolí aminoskupiny dvojná vazba chinoniminu migruje za vzniku Schiffovy báze nebo dochází ke štěpení C–C vazby. Regioselektivita prvního kroku je kontrolována objemnými *tert*.butyllovými skupinami. Místo mnohem obecnější 1,4-adice u chinonu dochází k reakci nukleofilu se stericky méně chráněným karbonylem v poloze 1. Transformace chinoniminu na Schiffovu basi zahrnuje přeměnu chinonového systému na aromatický. Energie získaná aromatizací se stává řídící silou spontánní chemické transformace.

Reakce DTBBQ s výše použitymi aminokyselinami vedou zatím jednoznačně k dekarboxylaci za vzniku 2-substituovaných 5,7-diterc.butyl-benzo[*d*][1,3]oxazolů. Pokud je karboxylová skupina převedena na jinou funkci, k cyklizaci nedochází.

U dipeptidů majících na N-konci glycín dochází rovněž k zacyklizování na benzoxazolový kruh. U ostatních probíhá oxidativní deaminace za vzniku příslušných ketoderivátů. Jejich příprava bude v další fázi vývoje metody využita k selektivním redukcím na hydroxyacylaminokyseliny což jsou vlastně nejjednodušší didepsipeptidy, jejichž využití ve farmaceutické chemii skýtá široké pole možností.

Práce vznikla za finanční podpory grantu GA ČR 203/01/0442 a Výzkumného zaměru MSM 111 6 0000 1.

#### LITERATURA

- Corey E. J., Aichiawa K.: J. Am. Chem. Soc. 91, 1429 (1969).
- Klein R. F. X., Bargas L. M., Horák V.: J. Org. Chem. 53, 5994 (1988).
- Horák V., Mermersky Y., Guirgous D. B.: Collect. Czech. Chem. Commun. 59, 227 (1994).
- Mermersky Y.: Thesis. Georgetown University, Washington DC 1994.

#### MORFOLIN-2,5-DIONY, PŘÍPRAVA A BIOLOGICKÁ AKTIVITA

**JARMILA VINŠOVÁ<sup>a</sup>, VLADIMÍR BUCHTA<sup>b</sup>  
a JARMILA KAUSTOVÁ<sup>c</sup>**

<sup>a</sup>Katedra anorganické a organické chemie, <sup>b</sup>Katedra biologických a lékařských věd, Farmaceutická fakulta, Univerzita Karlova, Heyrovského 1203, 500 05 Hradec Králové, <sup>c</sup>Krajská hygienická stanice, Partyzánské n. 7, 728 92 Ostrava, e-mail: vinsova@faf.cuni.cz

Strategie syntézy cykloidopeptidů vycházela z analoga syntézy cyklopeptidů cyklizací tvorbou amidické vazby.

*N*-chráněná aminokyselina (Cbo) byla kondenzována s ethyl (methyl) esterem hydroxykyseliny (kyseliny L-mléčné). Jako kondenzační činidlo byl použit DCC za katalýzy dimethylaminopyridinu. Vzniklý lineární depsipeptid chráněný na *N*-konci byl deblokován hydrogenolýzou, jejíž průběh byl optimalizován (čas, teplota, tlak). Bylo však zjištěno, že dochází k nukleofilnímu ataku esterové vazby a z reakční směsi byl izolován mimo jiné i cyklický dipeptid. Proto byl tento typ syntézy dále modifikován použitím jiných chránících skupin (Boc, FMOC, acetyl) z hlediska typu jejich odbourání ( $H_2/Pd$  za normálního tlaku, zvýšeného tlaku, kyselé odbourávání –  $HBr/CH_3COOH$ ,  $HCl/CH_3COOH$ ,  $CF_3COOH$ , bazické –  $NH_3/CHCl_3$ , sek. báze). Rovněž byla aplikována i různá aktivační a kondenzační činidla (ONp, ONSu, OpCp, DCC, CDI,  $SOCl_2$ ). Z těchto syntéz se nepodařilo izolovat požadovaný morfolin-2,5-dionový derivát, i když nelze vyloučit, že v menší míře vznikl, avšak čisticí operací pravděpodobně docházelo k otevírání cyklu. Proto bylo přistoupeno k cyklizaci tvorbou esterové vazby. Nejprve byla připravena *O*-terc.butylhydroxykyselina, která byla kondenzována s esterem aminokyseliny (DCC v dichlormethanu za katalýzy DMAP). Vzniklé estery byly konvergovány v příslušné cyklickédepsipeptidy dvěma způsoby. K esterifikaci *N*-hydroxyacylaminokyseliny (cyklizaci) došlo varem v benzenu nebo toluenu za katalýzy methansulfonové kyseliny. Problémem však byla většinou velmi malá rozpustnost *N*-hydroxyacylaminokyseliny v nepolárních rozpouštědlech. Určitých výsledků jsme získali při použití BOP, reakce však vedla k velmi nízkému výtěžku. Nejlepších výsledků bylo dosaženo cyklizací *N*-(2-brompropionyl)- $\alpha$ -aminokyseliny.

Vzhledem k tomu, že některé depsipeptidy mají antibiotické vlastnosti, inhibují růst mykobakterií, svými komplexotvornými vlastnostmi mohou selektivně zasahovat do aktivního přenosu alkalických kovů přes buněčné membrány<sup>1</sup>, byla u 6 zástupců morfolin-2,5-dionů provedena studie tuberkulostatické a antifungální aktivity.

Práce vznikla za finanční podpory grantu GA ČR 203/01/0442 a Výzkumného záměru MSM 111600001.

#### LITERATURA

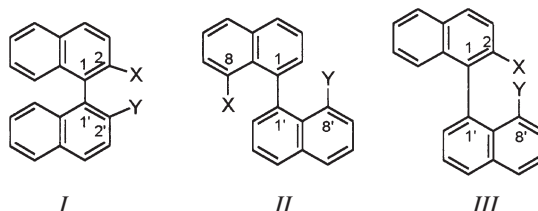
1. Vinšová J., Kasafírek E.: Chem. Listy 92, 197 (1998).

#### 2,8'-DISUBSTITUOVANÉ-1,1'-BINAFTYLY A JEJICH POUŽITÍ V ASYMETRICKE KATALÝZE

**ŠTĚPÁN VYSKOČIL<sup>\*a</sup>, LUDĚK MECA<sup>a</sup>,  
IVA TIŠLEROVÁ<sup>a</sup>, IVANA CÍSAŘOVÁ<sup>a</sup>,  
YURI N. BELOKON<sup>b</sup> a PAVEL KOČOVSKÝ<sup>\*c</sup>**

<sup>a</sup>Katedra organické chemie, PřF UK, 12840 Praha 2, <sup>b</sup>A. N. Nesmeyanov Institute of Organo-Element Compounds, 117813, Moskva, Russia, <sup>c</sup>Department of Chemistry, University of Glasgow, Glasgow G12 8QQ, UK  
e-mail: stepanv@natur.cuni.cz

2,2'-Disubstituované 1,1'-binaftyly I patří mezi nejdůležitější ligandy používané v asymetrické syntéze. Zatímco



první generace ligandů I obsahovala identické substituenty X a Y (např. BINOL, BINAP)<sup>1</sup>, novější vyvinuté binaftyly obsahovaly rozdílné funkční skupiny (např. NOBIN, MOP, MAP)<sup>2</sup>. Další skupina, 1,1'-binaftyly s koordinujícími skupinami v 8,8'-pozicích II, vedla u některých aplikací k vysokým asymetrickým indukcím<sup>3</sup>. Širší použití těchto látek je ovšem komplikováno jejich nízkými racemizačními bariérami<sup>3</sup>. Naším cílem byla příprava 2,8'-disubstituovaných 1,1'-binaftytlů III, jež lze považovat za kombinaci ligandů I a II. Klíčovým krokem umožňujícím syntézu těchto látek je Suzukiho coupling. Transformaci funkčních skupin byly připraveny ligandy iso-MOP (III, X = OMe, Y = PPh<sub>2</sub>) a iso-NOBIN (X = OH, Y = NH<sub>2</sub>). Obě látky byly připraveny v enantiomerně čistých formách a jejich konfigurace byla určena rentgenoskopickou analýzou klíčového intermediátu (X = OH, Y = Br). Měření racemizačních bariér ukázalo, že stabilita látek III je srovnatelná se stabilitou látek I ( $\Delta G_{rac}^*$  40 kcal·mol<sup>-1</sup>), zatímco racemizační bariéry látek II jsou nižší než 30 kcal mol<sup>-1</sup>. iso-NOBIN a jeho deriváty byly použity jako ligandy pro asymetrickou katalýzu. Bylo prokázáno, že v některých případech vede použití těchto látek k mnohem vyšším enantioselektivitám než poskytují binaftyly typu I.

#### LITERATURA

1. Ojima I.: *Catalytic Asymmetric Synthesis*, 2. vyd. Wiley, New York 2000.
2. Kočovský P., Malkov A., Vyskočil Š., Lloyd-Jones G. C.: Pure Appl. Chem. 71, 1425 (1999).
3. (a) Meyers A. I., Price A.: J. Org. Chem. 63, 412 (1998); (b) Kolotuchin S. V., Meyers A. I.: J. Org. Chem. 64, 7921 (1999) a citace tam uvedené; (c) Fuji K., Sakurai M., Kinoshita T., Kawabata T.: Tetrahedron Lett. 39, 6323 (1998).

#### REAKCE AKTIVOVANÝCH NITROBENZENŮ S KYANIDEM A METHYLKYANACETÁTEM, ANEBO KONKURENCE MEZI MECHANISMY $S_NAr$ A $S_NAr^H$

#### TOMÁŠ WEIDLICH

VÚOS a.s., 530 02 Pardubice-Rybitví  
e-mail: Tomas.Weidlich@vuosas.cz

Kyanidový ion reaguje s aktivovanými nitroaromaty většinou mechanismem  $S_NAr^H$ , přičemž produktem jeho reakce s aktivovanými nitrobenzeny (I) bývá substituovaný benzonitril (II), schéma 1.

Náhodně bylo objeveno, že přidáním esteru kyanocto-

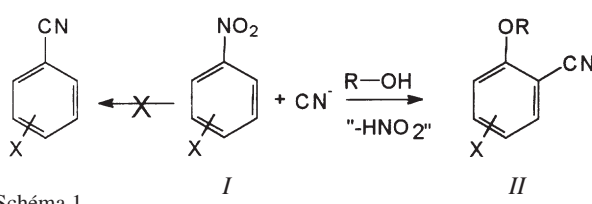


Schéma 1

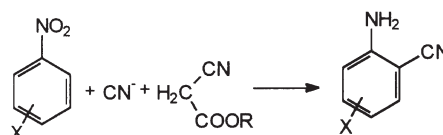


Schéma 2

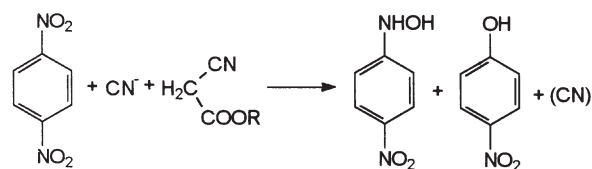


Schéma 3

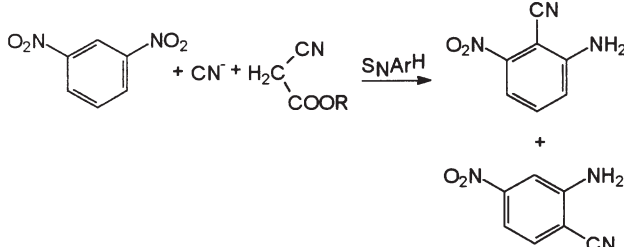


Schéma 4

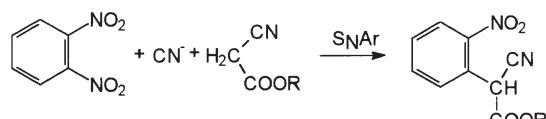


Schéma 5

vé kyseliny k substrátu nedochází k substituci nitroskupiny, nýbrž k její redukci, viz schéma 2.

Při studiu syntetického rozsahu reakce se však ukázalo, že ne vždy probíhá dle schématu 2.

Extrémní chování bylo pozorováno při provedení reakce s 1,2-, 1,3- a 1,4-dinitrobenzenem, kdy působením methyl-kyanocetátu a kyanidu vznikaly zcela jiné typy sloučenin. U 1,4- -dinitrobenzenu dochází k redukci nebo náhradě nitroskupiny (viz schéma 3).

1,3-Dinitrobenzen reaguje „očekávaným“ mechanismem  $S_NAr^H$  (schéma 4), kyanid se uplatní jako nukleofil.

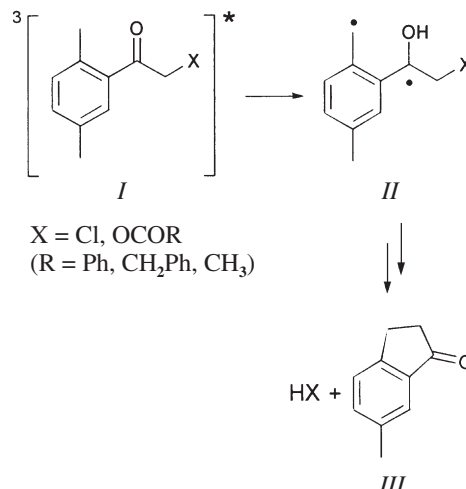
1,2-Dinitrobenzen za stejných podmínek reaguje mechanismem  $S_NAr$ . Kyanidový ion se zde uplatňuje pouze jako báze.

## APLIKACE 2,5-DIMETHYLFENACYL FOTOLABILNÍ CHRÁNÍCÍ SKUPINY

**MIROSLAV ZABADAL a PETR KLÁN**

Katedra organické chemie, Přírodovědecká fakulta, Masarykova univerzita, Kotlářská 2, 611 37 Brno  
e-mail: mzabadal@chemi.muni.cz, klan@sci.muni.cz

V minulém roce jsme navrhli 2-oxo-2-(2',5'-dimethylfenyl)ethyl (dimethylfenacyl) chromofor (*DMP*) jako chránící skupinu pro karboxylové kyseliny<sup>1,2</sup>, sulfáty a fosfáty. Odstranění této fotolabilní chránící skupiny je založeno na intramolekulárním odštěpení vodíku z methylové skupiny v *ortho*-poloze<sup>3</sup>. Jedná se o přímou fotolýzu, která nepotřebuje spoluúčast žádné další látky. Reakce *DMP* esteru probíhá přes tripletový excitovaný stav *I*, 1,4-biradikál *II* a enol. Odštěpení karboxylové kyseliny v benzenu je doprovázeno vznikem příslušné kyseliny ve vysokém výtěžku (85–95 %,  $\Phi \sim 0,2$ –0,25) a 6-methyl-1-indanonu *III*. Přítomnost nukleofilu (např. methanolu) způsobuje vznik 2-(methoxymethyl)-5-methylacetofenonu jako dalšího vedlejšího produktu.



Jednoduchost experimentu, dobrá stabilita skupiny v bázickém i kyselém prostředí, vysoké kvantové výtěžky a reaktivita v široké oblasti UV záření (254–366 nm) umožňuje další využití této fotolabilní chránící skupiny v oblasti organické syntézy, biochemie i fotofyzice. Skupina byla např. využita při syntézách ve vodním prostředí<sup>4</sup> nebo jako chromofor pro stanovení rychlostní konstanty přenosu energie.

## LITERATURA

1. Klán P., Zabadal M., Heger D.: Org. Lett. 2, 1569 (2000).
2. Zabadal M., Pelliccioli A. P., Klán P., Wirz J.: J. Phys. Chem. A, v tisku.
3. Pelliccioli A. P., Klán P., Zabadal M., Wirz J.: J. Am. Chem. Soc. 123, 7931 (2001).
4. Růžička R., Zabadal M., Klán P.: Synth. Commun., v tisku.

## ANTIMYKOBATERIÁLNĚ AKTIVNÍ 1,2,4-TRIAZOLY

VĚRA KLIMEŠOVÁ<sup>a</sup>, LENKA ZAHAJSKÁ<sup>a</sup>  
a JARMILA KAUSTOVÁ<sup>b</sup>

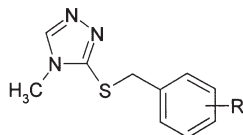
<sup>a</sup>Katedra anorganické a organické chemie, Farmaceutická fakulta, Univerzita Karlova, Heyrovského 1203, 500 05 Hradec Králové,

<sup>b</sup>Národní referenční laboratoř pro Mycobacterium kansasii, Krajská hygienická stanice, Partyzánské n. 7, 728 92 Ostrava

e-mail: klimeso@faf.cuni.cz, 95zal2001@faf.cuni.cz, jarmila.kaustova@khssova.cz

V práci jsme se zaměřily na 3-benzylsulfanyl-4-methyl-1,2,4-triazoly se substitucí v benzylové části molekuly. Látky byly připraveny alkylací 1,2,4-triazol-3-thiolu příslušně substitovanými benzylhalogenidy.

Byla testována jejich antimykobakteriální aktivita proti kmenům *Mycobacterium tuberculosis*, *M. avium*, *M. kansasii* (v Šulově půdě mikrometodou pro stanovení minimální inhibiční koncentrace). Aktivita výše zmíněných látek byla porovnána s aktivitou v poloze 4 nemethylovaných analog<sup>1,2</sup>.



R = H, 4-Cl, 3-Br, 4-CN, 4-CSNH<sub>2</sub>, 2,4-(NO<sub>2</sub>)<sub>2</sub>, 3,5-(NO<sub>2</sub>)<sub>2</sub>

Práce byla podporována granty 21/1999 GA UK, 1682/2001 GA FRVŠ a Výzkumným záměrem MSM 111 600001.

## LITERATURA

- Zahajská L., Klimešová V., Kaustová J.: 53. Zjazd chemických spoločností, Zborník príspevkov, str. 216 (2001).
- Zahajská L., Klimešová V., Kaustová J.: XXV. Konference organických chemiků, Sborník konference, PO 44 (2001).

SYNTÉZA PORFYRINŮ SUBSTITUOVANÝCH  
V *meso*-POLOHÁCH STEROIDY  
S MONOSACHARIDOVÝMI KOTVAMI

KAREL ZELENKA<sup>a</sup>, TOMÁŠ TRNKA<sup>a</sup>,  
PAVEL DRAŠAR<sup>b</sup> a MYKHAYLO DUKH<sup>b</sup>

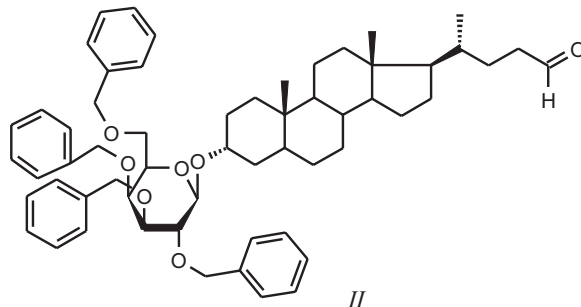
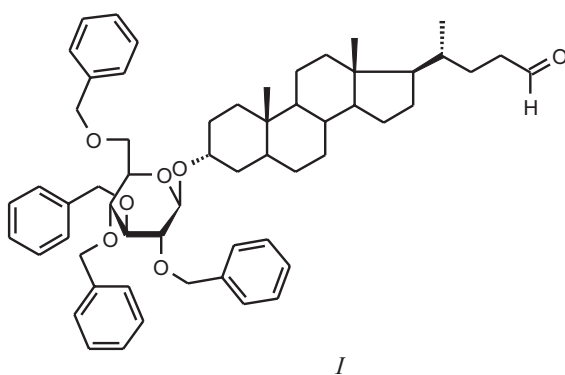
<sup>a</sup>Katedra organické chemie, Univerzita Karlova, Hlavova 2030, 120 00 Praha 2, <sup>b</sup>Ústav organické chemie a biochemie, Flemingovo n. 2, 166 10 Praha 6

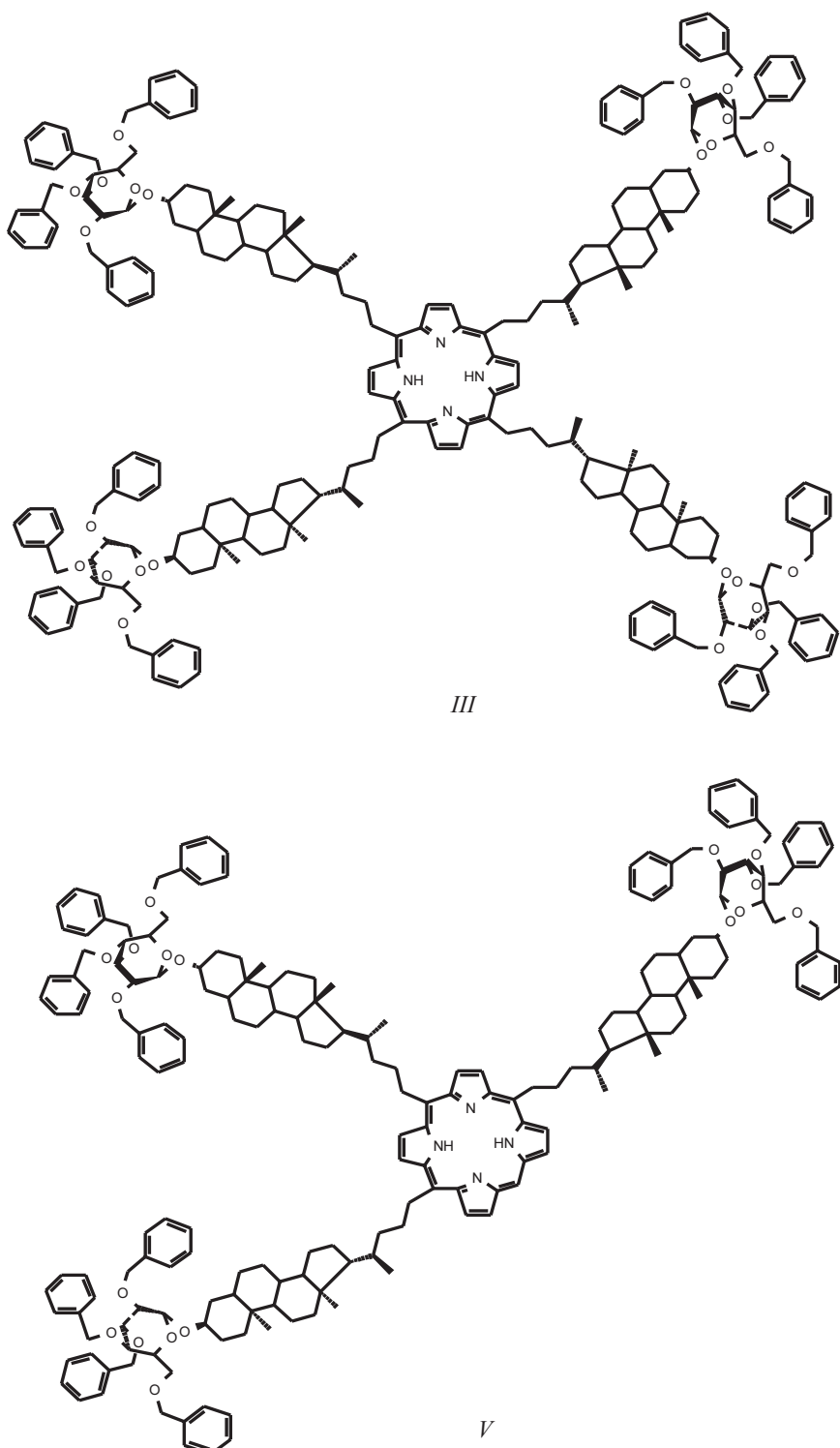
Porfyriny a jejich deriváty, které jsou velmi důležitou skupinou konjugovaných tetrapyrrolických makrocyclů studovaných zejména pro jejich biologickou aktivitu a možné praktické aplikace a to např. analytické, medicinální či technologické.

Cílem této práce bylo prozkoumat možnosti přípravy nových derivátů odvozených od porfyrinu. Tyto deriváty měly obsahovat jako základ porfyrinový kruh, jako postraní řetězce v *meso*-polohách (tj. na uhlících 5', 10', 15', 20') na porfyrinu měl být připojen steroid, který měl být na hydroxy skupině v poloze 3 $\alpha$  spojen glykosidickou vazbou se sacharidem, nebo jeho deriváty.

Nejprve bylo nutno připravit steroidní glykosylovaný aldehyd. Jako látky pro přípravu aldehydů I a II bylo použito lithocholové kyseliny, D-glukosy a D-galaktosy. Dále byly připraveny porfyriny III a IV (D-galakto) a také V a VI (D-galakto).

Látky III, IV a V, VI jsou velice perspektivní a po jejich





odchránění (debenzylaci) dostaneme molekuly, které by mohly být biologicky aktivní a použitelné pro praktické aplikace. Tato práce měla za úkol vybudovat syntetický potenciál pro přípravu oligopyrrolových makrocyclů se steroidy a cukernými zbytky tak, aby v následujících projektech mohl být cíleně

syntetizován systém např. s jednou, případně dvěma cukernými kotvami.

*Tato práce byla podporována grantovým projektem č. MSM 1131 00001 a byla též součástí výzkumného záměru Z4055 905.*

**Jmenný rejstřík**

Abdrachmanova G. 753  
 Bajerová J. 748  
 Balentová E. 753  
 Balšánek V. 742  
 Bartoš P. 759  
 Belokon Y. N. 775  
 Beneš M. 742, 743  
 Beňovský P. 735  
 Bernát J. 753  
 Biedermann D. 743  
 Bieler Ch. A. 741  
 Biely P. 761  
 Böhm S. 757  
 Borková K. 742  
 Bouř P. 765  
 Braunerová G. 744  
 Brus J. 759, 760, 770  
 Bříza T. 744  
 Buděšínský M. 752, 766, 770  
 Budka J. 745  
 Buchalová K. 745  
 Buchta V. 745, 748, 749, 774  
 Bureš O. 745, 746  
 Cabal J. 738  
 Cibulká R. 746, 768, 764  
 Církva V. 746  
 Císařová I. 745, 775  
 Čajan M. 747  
 Čermák J. 744  
 Černý I. 748, 749, 764, 765  
 Černý M. 770  
 Čižmárik J. 749  
 Doležal K. 759  
 Doležal M. 748, 754  
 Doležal P. 772  
 Dommissé R. 766  
 Dostál J. 766  
 Dostál L. 749  
 Drašar P. 736, 737, 748, 749,  
     765, 777  
 Dražková K. 749  
 Dukh M. 749, 777  
 Dvořák B. 754  
 Dvořák D. 751, 761, 770  
 Dvořáková H. 756, 762  
 Dymák M. 750  
 Erben M. 750  
 Fraňková B. 759  
 Frei E. 741  
 Grüner B. 758  
 Hampl F. 746, 768, 764  
 Hanusek J. 750  
 Havelková M. 751  
 Heissigerová H. 751  
 Hejtmánková L. 752  
 Hill M. 764

Hniličková J. 752  
 Hocek M. 751  
 Hocková D. 770  
 Höglberg H.-E. 772  
 Holeček J. 749, 750  
 Holub J. 758  
 Holý P. 745, 746  
 Horák V. 774  
 Hrabálek A. 772  
 Chodounská H. 753, 757  
 Imberty A. 751  
 Imrich J. 753  
 Isaksson D. 772  
 Jambor R. 749, 750  
 Jampílek J. 754  
 Janota J. 744  
 Janoušek Z. 758  
 Jelínek T. 758  
 Jindřich J. 771, 773  
 Jirásková E. 754  
 Jirásková L. 746  
 Jirsa P. 759  
 Kaminský J. 765  
 Kaplánek R. 755  
 Karban J. 755  
 Kasal A. 753  
 Kaustová J. 745, 746, 749,  
     774, 777  
 Kefurt K. 745, 761  
 Klán P. 776  
 Klika K. D. 753  
 Klimešová V. 777  
 Klinot J. 743, 757, 771  
 Kniežo L. 756  
 Koča J. 747, 763  
 Kočalka P. 751  
 Kočovský P. 775  
 Kohout L. 752, 753  
 Kolehmainen E. 760  
 Kollárovič A. 766  
 Košata B. 756  
 Kotora M. 762  
 Koutníková J. 742  
 Kovács L. 770  
 Kozmík V. 756  
 Král V. 737, 742, 743, 749  
 Králová K. 769  
 Krejčová G. 768  
 Kristian P. 753  
 Kroutil J. 755  
 Kříž O. 758  
 Kříž Z. 763  
 Kubanová P. 745, 760  
 Kubelka V. 762  
 Kubicová L. 760, 769  
 Kubínová R. 759, 760

Kuehn G. D. 738  
 Kuneš J. 742  
 Kurfürst M. 757  
 Kutschy P. 738  
 Kvásnica M. 743  
 Kvíčala J. 744, 757, 757, 758,  
     769  
 Kvíčalová M. 758  
 Labíková T. 765  
 Lapčík O. 764  
 Ledvina M. 773  
 Lhoták P. 745, 747  
 Lindmark M. 772  
 Linhart I. 762  
 Liška F. 746, 768, 764  
 Ludiková J. 758  
 Lukášková M. 759, 760  
 Lunerová K. 759, 760  
 Luxová A. 772  
 Macháček M. 760  
 Macháček V. 752  
 Man S. 766  
 Marek R. 759, 760, 766, 770  
 Meca L. 761, 775  
 Michálek J. 755  
 Michl J. 771  
 Michlová V. 745  
 Moravcová J. 745, 751, 757,  
     761  
 Mysík P. 757  
 Nečas D. 762  
 Novák J. 762  
 Oswald R. 746  
 Otyepka M. 754, 763  
 Palát K. 744, 772  
 Paleta O. 742, 743, 744, 755,  
     757, 757, 769  
 Patočka J. 738  
 Pecka J. 771  
 Peřina M. 763  
 Petříčková H. 745  
 Pihera P. 757  
 Pihlaja K. 753  
 Pícha J. 764  
 Plešek J. 758  
 Popa I. 759  
 Potáček M. 773  
 Pour M. 739, 742  
 Pouzar V. 748, 749, 764, 765  
 Pytela O. 740  
 Rádl S. 764, 766  
 Raich I. 756, 758, 765  
 Reschel M. 765  
 Rulíšek L. 767  
 Růžička A. 749, 750  
 Sečkárová P. 766

Sedláček M. 750, 752  
 Schiller R. 742  
 Schmeiser H. H. 741  
 Sjödin K. 772  
 Slavíková B. 753  
 Skalický M. 769  
 Smola J. 760  
 Stach J. 766  
 Staněk J. 745, 761  
 Stará I. G. 766, 767  
 Starý I. 766, 767  
 Stibor I. 745, 747  
 Stiborová M. 741  
 Suchý V. 759, 760  
 Svatoš A. 772  
 Svoboda J. 756, 757  
 Svobodová E. 768  
 Sychrovský V. 765  
 Sýkora J. 745  
 Šaman D. 766, 767  
 Šarek J. 743, 757, 771  
 Ševelová L. 768  
 Šimák O. 756  
 Šlosárek M. 744  
 Štambaský J. 769  
 Štefáčková B. 757  
 Štěpánek P. 756  
 Šustr M. 760, 769  
 Švajdlenka E. 759  
 Teplý F. 766, 767  
 Tišlerová I. 743, 771, 775  
 Tlustáková M. 755  
 Tobrman T. 770  
 Toušek J. 770  
 Trávníček Z. 759, 760  
 Trnka T. 770, 773, 777  
 Trtek T. 770  
 Urban M. 771  
 Valášek M. 771  
 Valterová I. 772  
 Vaněk T. 772  
 Vávrová K. 772  
 Verner J. 773  
 Veselá D. 759, 760  
 Veselý J. 773  
 Vilková M. 753  
 Vinšová J. 774  
 Vyklický L. ml. 753  
 Vyskočil Š. 775  
 Waisser K. 745, 746, 749,  
     763  
 Weidlich T. 775  
 Zabadal M. 776  
 Zahajská L. 777  
 Zelenka K. 777  
 Zimmerman H. E. 746

**Author Index**

## OBSAH

<b>ÚVODNÍK</b>	693
<b>REFERÁTY</b>	
<b>Fotolabilní chránící skupiny</b>	694
M. Zabadal a P. Klán	
<b>Inhibitory mikrotubulů</b>	700
J. Patočka, A. Strunecká a M. Stiborová	
<b>NOMENKLATURA A TERMINOLOGIE</b>	
<b>Doporučení IUPAC</b>	708
The Naming of New Elements	
(J. Kahovec)	
<b>LABORATORNÍ PŘÍSTROJE A POSTUPY</b>	
<b>Stanovení stopových množství 1-nitronaftalenu pomocí moderních polarografických a voltametrických metod na rtuťových elektrodách</b>	709
K. Pecková, J. Barek a J. Zima	
<b>NMR analýza výluhů alterovaných uhlí</b>	713
M. Peňáz, J. Bohdálková a E. Kozubek	
<b><math>^{29}\text{Si}</math> NMR strukturní analýza vzorků vodních skel</b>	716
L. Mokoš, E. Kozubek, P. Jelínek a J. Pavlovský	
<b>Monitorování obsahu selenu v lidském organismu metodou AAS</b>	719
D. Frišová a J. Rejnek	
<b>Využití některých biologických vzorků pro stanovení obsahu stopového množství kovů v lidském organismu metodou AAS</b>	722
J. Půlpýtlová a J. Rejnek	
<b>RECENZE</b>	726
<b>ODBORNÁ SETKÁNÍ</b>	728
<b>OSOBNÍ ZPRÁVY</b>	729
<b>VÝUKA CHEMIE</b>	730
<b>LIBLICE '2001</b>	
<b>Plenární přednášky</b>	735
<b>Krátká sdělení a postery</b>	742

## CONTENTS

<b>EDITORIAL</b>	693
<b>REVIEW ARTICLES</b>	
<b>Photoremoveable Protecting Groups</b>	694
M. Zabadal and P. Klán	
<b>Microtubule Inhibitors</b>	700
J. Patočka, A. Strunecká, and M. Stiborová	
<b>NOMENCLATURE AND TERMINOLOGY</b>	
<b>IUPAC Recommendation</b>	708
The Naming of New Elements	
(J. Kahovec)	
<b>LABORATORY EQUIPMENT AND METHODS</b>	
<b>Determination of Trace Amounts of 1-Nitronaphthalene by Modern Polarographic and Voltammetric Methods Using Mercury Electrodes</b>	709
K. Pecková, J. Barek, and J. Zima	
<b>NMR Analysis of Extracts of Modified Coals</b>	713
M. Peňáz, J. Bohdálková, and E. Kozubek	
<b><math>^{29}\text{Si}</math> NMR Structure Analysis of Water Glass Samples</b>	716
L. Mokoš, E. Kozubek, P. Jelínek, and J. Pavlovský	
<b>Monitoring of Selenium Content in Human Organism by Atomic Absorption Spectrometry</b>	719
D. Frišová and J. Rejnek	
<b>Use of Some Biological Samples for Determination of Content of Trace Amounts of Metals in Human Body by Atomic Absorption Spectrometry</b>	722
J. Půlpýtlová and J. Rejnek	
<b>BOOK REVIEWS</b>	726
<b>MEETINGS</b>	728
<b>PERSONAL NEWS</b>	729
<b>EDUCATION IN CHEMISTRY</b>	730
<b>LIBLICE '2001</b>	
<b>Plenary Lectures</b>	735
<b>Short Communications and Posters</b>	742

**CHEMICKÉ LISTY** • ročník/volume 95 (2001), čís./no. 11 • **LISTY CHEMICKÉ**, roč./vol. 125, ČASOPIS PRO PRŮMYSL CHEMICKÝ, roč./vol. 111 • **ČASOPIS ASOCIAČE ČESKÝCH CHEMICKÝCH SPOLEČNOSTÍ** • Bulletin roč./vol. 32 • Vydává Česká společnost chemická ve spolupráci s Vysokou školou chemicko-technologickou v Praze, s Českou společností průmyslové chemie a Ústavem organické chemie a biochemie AV ČR, za finanční podporu Ministerstva školství, mládeže a tělovýchovy (projekt LP 0001), Nadace Český literární fond a kolektivních členů ČSCH • Published by the Czech Chemical Society • VEDOUCÍ REDAKTOR/EDITOR-IN-CHIEF: B. Kratochvíl • REDAKTOŘI/EDITORS: J. Barek, Z. Bělohlav, P. Drašar, J. Gut, J. Hetflejš, P. Chuchvalec, J. Podešva, P. Rauch, J. Volke, M. Bláhová (Bulletin), M. Ferles (Bulletin), B. Valter (Bulletin), I. Valterová (Bulletin), R. Liboska (webové stránky), P. Zámostný (webové stránky) • ZAHRANIČNÍ A OBLASTNÍ REDAKTOŘI/FOREIGN AND REGIONAL EDITORS: F. Švec (USA), L. Opletal (Hradec Králové), J. Soušek (Olomouc), J. Šibor (Brno) • VÝKONNÁ REDAKTORKA/EDITORIAL ASSISTANT: M. Setničková • REDAKČNÍ RADA/ADVISORY BOARD: E. Borsig, M. Černá, L. Červený, E. Dibusová, M. Drdák, J. Hanika, J. Churáček, Č. Jech, I. Kadlecová, J. Káš, J. Koubek, T. Míšek, J. Pacák, V. Pačes, O. Paleta, I. Stibor, V. Šimánek, R. Zahradník • ADRESA PRO ZASÍLÁNÍ PŘÍSPĚVKŮ, INZERCI, INFORMACE O PŘEDPLATNÉM, OBJEDNÁVKY A PRODEJ JEDNOTLIVÝCH ČÍSEL/MANUSCRIPTS IN CZECH, SLOVAK OR ENGLISH CAN BE SENT TO: Chemické listy, Novotného lávka 5, 116 68 Praha 1; tel./phone +420(2) 2108 2370, fax +420(2) 2222 0184, e-mail: chem.listy@csvts.cz, IČO 444715 • SOUHRNY NA INTERNETU/PREPUBLISHED ABSTRACTS ON URL: <http://staff.vscht.cz/chem-listy/index.html> • TISK: PORS 052, Školní náměstí 11, 537 33 Chrudim; SAZBA: SF SOFT, Jinonická 329, 158 00 Praha 5 • Copyright © 2001 Chemické listy/Ceská společnost chemická • Cena výtisku 100 Kč, roční předplatné 2001 (12 čísel) 1034 Kč. Předplatné ve Slovenské republice 2310 Kč. Pro členy ČSCH je sleva 50 %, pro studenty 70 % • DISTRIBUTION ABROAD: KUBON & SAGNER, POB 34 01 08, D-80328 Munich, FRG; Annual subscription for 2001 (12 issues) DEM 440 • Podávání novinových zásilek povoleno ČP s.p. OZ VČ, č.j. PP/I 5333/95 • This journal has been registered with the Copyright Clearance Center, 2322 Rosewood Drive, Danvers, MA 01923, USA, where the consent and conditions can be obtained for copying the articles for personal or internal use. • Pokyny pro autory najdete v čísle 7/97 na straně 492, nebo budou zaslány na požadání, zkratky odb. časopisů viz 10/97 str. 911 • Instructions for authors will be sent on request. • Chemické listy obsahující Bulletin jsou zasílány zdarma všem individuálním a kolektivním členům ČSCH a ČSPCH v ČR i zahraničí, do všech relevantních knihoven v ČR a významným představitelům české chemie a chemického průmyslu. V rámci dohod o spolupráci i členům dalších odborných společností. SAZBA BULLETINU: B. Valter, SEKRETARIÁT ČSCH: Novotného lávka 5, tel., fax +420(2) 2222 0184, e-mail: mblahova@csvts.cz